

COMMITTENTE:



DIREZIONE LAVORI:



APPALTATORE:



PROGETTAZIONE:	PROGETTISTA:	DIRETTORE DELLA PROGETTAZIONE
RAGGRUPPAMENTO TEMPORANEO PROGETTISTI	Prof. Ing. MARCO PETRANGELI	Ing. PIETRO MAZZOLI Responsabile integrazione fra le varie prestazioni specialistiche

PROGETTO ESECUTIVO

ITINERARIO NAPOLI-BARI
RADDOPPIO TRATTA CANCELLO-BENEVENTO
I° LOTTO FUNZIONALE CANCELLO-FRASSO TELESINO E VARIANTE ALLA LINEA ROMA-NAPOLI VIA CASSINO NEL COMUNE DI MADDALONI
PONTI E VIADOTTI DI LINEA

Tratta Canello-Frasso Telesino - VIADOTTO dal km 10+326 al km 11+737: Viadotto S. Michele
 Pile 27 e 28: Relazione di calcolo

APPALTATORE		SCALA:
CONSORZIO CFT IL DIRETTORE TECNICO Geom. C. Bianchi 13/09/2018		-

COMMESSA LOTTO FASE ENTE TIPO DOC. OPERA/DISCIPLINA Progr. REV.
I F 1 N 0 1 E Z Z C L V I 0 6 0 5 0 2 0 B

Rev.	Descrizione	Redatto	Data	Verificato	Data	Approvato	Data	Autorizzato Data
A	Emissione	L. Gasperoni	11/07/2018	M. Petrangeli	11/07/2018	P.Mazzoli	11/07/2018	M. Petrangeli 13/09/2018
B	Emissione	L. Gasperoni	13/09/2018	M. Petrangeli	13/09/2018	P.Mazzoli	13/09/2018	

  	ITINERARIO NAPOLI – BARI RADDOPPIO TRATTA CANCELLO – BENEVENTO I° LOTTO FUNZIONALE CANCELLO - FRASSO TELESINO E VARIANTE ALLA LINEA ROMA-NAPOLI VIA CASSINO NEL COMUNE DI MADDALONI – PROGETTO ESECUTIVO												
Pile 27 e 28: Relazione di calcolo	<table border="1"> <thead> <tr> <th>COMMESSA</th> <th>LOTTO</th> <th>CODIFICA</th> <th>DOCUMENTO</th> <th>REV.</th> <th>FOGLIO</th> </tr> </thead> <tbody> <tr> <td>IF1N</td> <td>01 E ZZ</td> <td>CL</td> <td>VI0605 020</td> <td>B</td> <td>3 di 137</td> </tr> </tbody> </table>	COMMESSA	LOTTO	CODIFICA	DOCUMENTO	REV.	FOGLIO	IF1N	01 E ZZ	CL	VI0605 020	B	3 di 137
COMMESSA	LOTTO	CODIFICA	DOCUMENTO	REV.	FOGLIO								
IF1N	01 E ZZ	CL	VI0605 020	B	3 di 137								

Indice

1	PREMESSA	6
2	NORMATIVA E DOCUMENTI DI RIFERIMENTO.....	7
2.1	NORMATIVE.....	7
2.2	ELABORATI DI RIFERIMENTO.....	8
3	MATERIALI.....	9
3.1	CALCESTRUZZO PER FUSTO PILA E PULVINO.....	9
3.2	CALCESTRUZZO PER PLINTO DI FONDAZIONE.....	10
3.3	CALCESTRUZZO PER PALI DI FONDAZIONE.....	11
3.4	ACCIAIO PER BARRE DI ARMATURA	12
4	CARATTERIZZAZIONE GEOTECNICA.....	13
4.1	CARATTERIZZAZIONE GEOTECNICA	13
5	DESCRIZIONE DELLA STRUTTURA	14
6	ANALISI DEI CARICHI	19
6.1	PERMANENTI STRUTTURALI (G1).....	19
6.1.1	PESO PROPRIO IMPALCATI.....	19
6.1.2	PESO PROPRIO PILA	21
6.2	PERMANENTI NON STRUTTURALI (G2).....	21
6.2.1	BALLAST (G21).....	21
6.2.2	PERMANENTI NON STRUTTURALI GENERICI (G22).....	23
6.2.3	RIEMPIMENTO PILA E TERRENO DI RICOPRIMENTO	24
6.3	CARICHI DA TRAFFICO	25
6.3.1	CARICHI VERTICALI DA TRAFFICO (Q1).....	34
6.3.2	AZIONI DI AVVIAMENTO E FRENATURA (Q2).....	48
6.3.3	FORZA CENTRIFUGA (Q3).....	63
6.3.4	SERPEGGIO (Q4).....	78
6.4	CARICHI VARIABILI (Q5).....	85
6.4.1	AZIONI DEL VENTO (Q51).....	85
6.5	AZIONI INDIRETTE (Q6).....	94
6.5.1	RESISTENZE PARASSITE NEI VINCOLI (Q61).....	94
6.6	EFFETTI D'INTERAZIONE (Q7).....	95
6.6.1	VARIAZIONI TERMICHE DELL'IMPALCATO (Q71).....	95
6.6.2	AZIONI DI FRENATURA E AVVIAMENTO	96
6.6.3	INFLESSIONE DELL'IMPALCATO DOVUTA AI CARICHI VERTICALI DA TRAFFICO	96

  	ITINERARIO NAPOLI – BARI RADDOPPIO TRATTA CANCELLO – BENEVENTO I° LOTTO FUNZIONALE CANCELLO - FRASSO TELESINO E VARIANTE ALLA LINEA ROMA-NAPOLI VIA CASSINO NEL COMUNE DI MADDALONI – PROGETTO ESECUTIVO												
Pile 27 e 28: Relazione di calcolo	<table border="1"> <thead> <tr> <th>COMMESSA</th> <th>LOTTO</th> <th>CODIFICA</th> <th>DOCUMENTO</th> <th>REV.</th> <th>FOGLIO</th> </tr> </thead> <tbody> <tr> <td>IF1N</td> <td>01 E ZZ</td> <td>CL</td> <td>VI0605 020</td> <td>B</td> <td>4 di 137</td> </tr> </tbody> </table>	COMMESSA	LOTTO	CODIFICA	DOCUMENTO	REV.	FOGLIO	IF1N	01 E ZZ	CL	VI0605 020	B	4 di 137
COMMESSA	LOTTO	CODIFICA	DOCUMENTO	REV.	FOGLIO								
IF1N	01 E ZZ	CL	VI0605 020	B	4 di 137								

6.7	AZIONI SISMICHE (E)	97
6.7.1	SPETTRI DI PROGETTO ALLO SLV	98
7	COMBINAZIONI DI CARICO	101
8	ANALISI DELLE SOLLECITAZIONI.....	105
8.1	MODELLO DI CALCOLO E.F.	105
8.2	MASSE E FORZE SISMICHE.....	105
8.3	CARICHI ELEMENTARI	110
8.3.1	RIEPILOGO DEGLI SCARICHI DALL'IMPALCATO	110
8.4	SOLLECITAZIONI DI CALCOLO	114
8.4.1	SOLLECITAZIONI ALLA BASE DEL FUSTO PILA	114
8.4.2	SOLLECITAZIONI ALL'INTRADOSSO DEL PLINTO DI FONDAZIONE.....	117
8.4.1	SOLLECITAZIONI DISTRIBUITE IN TESTA AI PALI DI FONDAZIONE	117
9	VERIFICHE STRUTTURALI DEL FUSTO PILA.....	118
9.1	GEOMETRIA DELLA SEZIONE DI VERIFICA E ARMATURA.....	118
9.1.1	ARMATURA LONGITUDINALE	118
9.1.2	ARMATURA TRASVERSALE	118
9.1.3	VERIFICA DELL'ARMATURA MINIMA.....	119
9.2	VERIFICA SLU A FLESSIONE	122
9.3	VERIFICA SLU A TAGLIO	124
9.4	VERIFICA SLE TENSIONALE	125
9.5	VERIFICA SLE A FESSURAZIONE.....	125
9.6	VERIFICA DEGLI SPOSTAMENTI.....	125
10	VERIFICHE STRUTTURALI DEI PALI DI FONDAZIONE	126
10.1	GEOMETRIA DELLA SEZIONE DI VERIFICA E ARMATURA.....	126
10.2	VERIFICA SLU A PRESSOFLESSIONE	126
10.3	VERIFICA SLU A TAGLIO	128
10.4	VERIFICA SLE TENSIONALE	129
10.5	VERIFICA SLE A FESSURAZIONE.....	129
11	VERIFICHE STRUTTURALI DEL PLINTO DI FONDAZIONE	130
11.1	VERIFICHE SLU-SLE CON MECCANISMO TIRANTE-PUNTONE	130
11.1.1	GEOMETRIA DEL TIRANTE-PUNTONE	132
11.1.2	SEZIONE DEL TIRANTE DI ARMATURA E DELLA BIELLA COMPRESSA.....	133
11.1.3	VERIFICHE SLU DELLE TENSIONI NORMALI.....	134
11.1.4	VERIFICHE SLE DELLE TENSIONI NORMALI.....	134
11.2	VERIFICA SLU A PUNZONAMENTO	135

  	ITINERARIO NAPOLI – BARI RADDOPPIO TRATTA CANCELLO – BENEVENTO I° LOTTO FUNZIONALE CANCELLO - FRASSO TELESINO E VARIANTE ALLA LINEA ROMA-NAPOLI VIA CASSINO NEL COMUNE DI MADDALONI – PROGETTO ESECUTIVO												
Pile 27 e 28: Relazione di calcolo	<table border="1"> <thead> <tr> <th>COMMESSA</th> <th>LOTTO</th> <th>CODIFICA</th> <th>DOCUMENTO</th> <th>REV.</th> <th>FOGLIO</th> </tr> </thead> <tbody> <tr> <td>IF1N</td> <td>01 E ZZ</td> <td>CL</td> <td>VI0605 020</td> <td>B</td> <td>5 di 137</td> </tr> </tbody> </table>	COMMESSA	LOTTO	CODIFICA	DOCUMENTO	REV.	FOGLIO	IF1N	01 E ZZ	CL	VI0605 020	B	5 di 137
COMMESSA	LOTTO	CODIFICA	DOCUMENTO	REV.	FOGLIO								
IF1N	01 E ZZ	CL	VI0605 020	B	5 di 137								

11.3 VERIFICA SLE A FESSURAZIONE.....136

12 INCIDENZE.....137

  	ITINERARIO NAPOLI – BARI RADDOPPIO TRATTA CANCELLO – BENEVENTO 1° LOTTO FUNZIONALE CANCELLO - FRASSO TELESINO E VARIANTE ALLA LINEA ROMA-NAPOLI VIA CASSINO NEL COMUNE DI MADDALONI – PROGETTO ESECUTIVO												
Pile 27 e 28: Relazione di calcolo	<table border="1"> <tr> <td>COMMESSA</td> <td>LOTTO</td> <td>CODIFICA</td> <td>DOCUMENTO</td> <td>REV.</td> <td>FOGLIO</td> </tr> <tr> <td>IF1N</td> <td>01 E ZZ</td> <td>CL</td> <td>VI0605 020</td> <td>B</td> <td>6 di 137</td> </tr> </table>	COMMESSA	LOTTO	CODIFICA	DOCUMENTO	REV.	FOGLIO	IF1N	01 E ZZ	CL	VI0605 020	B	6 di 137
COMMESSA	LOTTO	CODIFICA	DOCUMENTO	REV.	FOGLIO								
IF1N	01 E ZZ	CL	VI0605 020	B	6 di 137								

1 PREMESSA

Nell'ambito dell'*Itinerario Napoli-Bari* si inserisce il *Raddoppio della Tratta Canello – Benevento - 1° Lotto Funzionale Canello-Frasso Telesino e Variante alla Linea Roma-Napoli Via Cassino nel Comune di Maddaloni* (compreso il *Collegamento Merci con lo scalo di Marcianise - Collegamento Benevento-Marcianise*) oggetto della Progettazione Esecutiva in esame.

Oggetto della presente relazione è il dimensionamento degli elementi in elevazione e fondazione costituenti le Pile P27 e P28 del *Viadotto S. Michele_VI06*.

Nella presente relazione sono riportati in forma sintetica i risultati della analisi delle sollecitazioni e delle verifiche strutturali del fusto pila, del plinto di fondazione e dei pali di fondazione, con riferimento alla pila avente la maggiore altezza di fusto tra quelle indicate.

Pila	H fusto [m]	H tot [m]
P27	7.0	8.9
P28	7.0	8.9

Nell'allegato 2 alla presente relazione sono riportati in forma completa i risultati delle analisi delle sollecitazioni e delle verifiche strutturali della pila avente altezza maggiore tra quelle appartenenti al gruppo di pile preso in considerazione.

Nel seguito si procede al calcolo dello stato di sollecitazione ed alle verifiche dei vari elementi costituenti la pila, nei confronti degli Stati Limite Ultimi strutturali di presso-flessione e taglio e degli stati limite di esercizio di fessurazione e tensionale.

Si esegue inoltre la determinazione delle azioni massime sui pali di fondazione e la verifica del plinto di fondazione nei confronti degli stati limite ultimi e di esercizio strutturali.

Sono eseguite infine le verifiche strutturali dei pali di fondazione nei confronti degli stati limite ultimi e di esercizio strutturali.

  	ITINERARIO NAPOLI – BARI RADDOPPIO TRATTA CANCELLO – BENEVENTO I° LOTTO FUNZIONALE CANCELLO - FRASSO TELESINO E VARIANTE ALLA LINEA ROMA-NAPOLI VIA CASSINO NEL COMUNE DI MADDALONI – PROGETTO ESECUTIVO												
Pile 27 e 28: Relazione di calcolo	<table border="1"> <thead> <tr> <th>COMMESSA</th> <th>LOTTO</th> <th>CODIFICA</th> <th>DOCUMENTO</th> <th>REV.</th> <th>FOGLIO</th> </tr> </thead> <tbody> <tr> <td>IF1N</td> <td>01 E ZZ</td> <td>CL</td> <td>VI0605 020</td> <td>B</td> <td>7 di 137</td> </tr> </tbody> </table>	COMMESSA	LOTTO	CODIFICA	DOCUMENTO	REV.	FOGLIO	IF1N	01 E ZZ	CL	VI0605 020	B	7 di 137
COMMESSA	LOTTO	CODIFICA	DOCUMENTO	REV.	FOGLIO								
IF1N	01 E ZZ	CL	VI0605 020	B	7 di 137								

2 NORMATIVA E DOCUMENTI DI RIFERIMENTO

2.1 NORMATIVE

Sono state prese a riferimento le seguenti Normative nazionali ed internazionali vigenti alla data di redazione del presente documento:

- [1] *Ministero delle Infrastrutture, DM 14 gennaio 2008, «Approvazione delle nuove norme tecniche per le costruzioni»*
- [2] *Ministero delle Infrastrutture e Trasporti, circolare 2 febbraio 2009, n. 617 C.S.LL.PP., «Istruzioni per l'applicazione delle Nuove norme tecniche per le costruzioni di cui al decreto ministeriale 14 gennaio 2008»*
- [3] *Istruzione RFI DTC INC PO SP IFS 001 - Specifica per la progettazione e l'esecuzione dei ponti ferroviari e di altre opere minori sotto binario*
- [4] *Istruzione RFI DTC INC CS SP IFS 001 - Specifica per la progettazione geotecnica delle opere civili ferroviarie*
- [5] *Istruzione RFI DTC INC PO SP IFS 002 - Specifica per la progettazione e l'esecuzione di cavalcavia e passerelle pedonali sulla sede ferroviaria*
- [6] *Istruzione RFI DTC INC PO SP IFS 003 - Specifica per la verifica a fatica dei ponti ferroviari*
- [7] *Istruzione RFI DTC INC PO SP IFS 004 - Specifica per la progettazione e l'esecuzione di impalcati ferroviari a travi in ferro a doppio T incorporate nel calcestruzzo*
- [8] *Istruzione RFI DTC INC PO SP IFS 005 - Specifica per il progetto, la produzione, il controllo della produzione e la posa in opera dei dispositivi di vincolo e dei coprigiunti degli impalcati ferroviari e dei cavalcavia*
- [9] *Eurocodice 1 – Azioni sulle strutture, Parte 1-4: Azioni in generale – Azioni del vento (UNI EN 1991-1-4)*
- [10] *Regolamento (UE) N.1299/2014 della Commissione del 18 Novembre 2014 relativo alle specifiche tecniche di interoperabilità per il sottosistema "infrastruttura" del sistema ferroviario dell'Unione europea*

  	ITINERARIO NAPOLI – BARI RADDOPPIO TRATTA CANCELLO – BENEVENTO I° LOTTO FUNZIONALE CANCELLO - FRASSO TELESINO E VARIANTE ALLA LINEA ROMA-NAPOLI VIA CASSINO NEL COMUNE DI MADDALONI – PROGETTO ESECUTIVO												
Pile 27 e 28: Relazione di calcolo	<table border="1"> <thead> <tr> <th>COMMESSA</th> <th>LOTTO</th> <th>CODIFICA</th> <th>DOCUMENTO</th> <th>REV.</th> <th>FOGLIO</th> </tr> </thead> <tbody> <tr> <td>IF1N</td> <td>01 E ZZ</td> <td>CL</td> <td>VI0605 020</td> <td>B</td> <td>8 di 137</td> </tr> </tbody> </table>	COMMESSA	LOTTO	CODIFICA	DOCUMENTO	REV.	FOGLIO	IF1N	01 E ZZ	CL	VI0605 020	B	8 di 137
COMMESSA	LOTTO	CODIFICA	DOCUMENTO	REV.	FOGLIO								
IF1N	01 E ZZ	CL	VI0605 020	B	8 di 137								

2.2 ELABORATI DI RIFERIMENTO

Vengono presi a riferimento tutti gli elaborati grafici progettuali di pertinenza.

  	ITINERARIO NAPOLI – BARI RADDOPPIO TRATTA CANCELLO – BENEVENTO I° LOTTO FUNZIONALE CANCELLO - FRASSO TELESINO E VARIANTE ALLA LINEA ROMA-NAPOLI VIA CASSINO NEL COMUNE DI MADDALONI – PROGETTO ESECUTIVO												
Pile 27 e 28: Relazione di calcolo	<table border="1"> <thead> <tr> <th>COMMESSA</th> <th>LOTTO</th> <th>CODIFICA</th> <th>DOCUMENTO</th> <th>REV.</th> <th>FOGLIO</th> </tr> </thead> <tbody> <tr> <td>IF1N</td> <td>01 E ZZ</td> <td>CL</td> <td>VI0605 020</td> <td>B</td> <td>9 di 137</td> </tr> </tbody> </table>	COMMESSA	LOTTO	CODIFICA	DOCUMENTO	REV.	FOGLIO	IF1N	01 E ZZ	CL	VI0605 020	B	9 di 137
COMMESSA	LOTTO	CODIFICA	DOCUMENTO	REV.	FOGLIO								
IF1N	01 E ZZ	CL	VI0605 020	B	9 di 137								

3 MATERIALI

3.1 CALCESTRUZZO PER FUSTO PILA E PULVINO

Classe C32/40

$R_{ck} =$	40.00	MPa	Resistenza caratteristica cubica
$f_{ck} = 0,83 R_{ck} =$	33.20	MPa	Resistenza caratteristica cilindrica
$f_{cm} = f_{ck} + 8 =$	41.20	MPa	Valore medio resistenza cilindrica
$\alpha_{cc} =$	0.85		Coeff. rid. per carichi di lunga durata
$\gamma_M =$	1.50	-	Coefficiente parziale di sicurezza SLU
$f_{cd} = \alpha_{cc} f_{ck} / \gamma_M =$	18.81	MPa	Resistenza di progetto
$f_{ctm} = 0,3 f_{ck}^{(2/3)} =$	3.10	MPa	Resistenza media a trazione semplice
$f_{ctm} = 1,2 f_{ctm} =$	3.72	MPa	Resistenza media a trazione per flessione
$f_{ctk} = 0,7 f_{ctm} =$	2.17	MPa	Valore caratteristico resistenza a trazione (frattile 5%)
$\sigma_c = 0,55 f_{ck} =$	18.26	MPa	Tensione limite in esercizio in comb. Rara (rif. §1.8.3.2.1 [3])
$\sigma_c = 0,40 f_{ck} =$	13.28	MPa	Tensione limite in esercizio in comb. quasi perm. (rif. §1.8.3.2.1 [3])
$E_{cm} = 22000 (f_{cm}/10)^{(0,3)} =$	33643.00	MPa	Modulo elastico di progetto
$\nu =$	0.20		Coefficiente di Poisson
$G_c = E_{cm} / (2(1 + \nu)) =$	14018.00	MPa	Modulo elastico tangenziale di progetto
Condizioni ambientali =	Debolmente aggressive		
Classe di esposizione =	XC4		
$c =$	4.00	cm	Copriferro minimo
$w =$	0.20	mm	Apertura massima fessure in esercizio in comb. Rara (rif. §1.8.3.2.4 [3])

  	ITINERARIO NAPOLI – BARI RADDOPPIO TRATTA CANCELLO – BENEVENTO I° LOTTO FUNZIONALE CANCELLO - FRASSO TELESINO E VARIANTE ALLA LINEA ROMA-NAPOLI VIA CASSINO NEL COMUNE DI MADDALONI – PROGETTO ESECUTIVO												
Pile 27 e 28: Relazione di calcolo	<table border="1"> <thead> <tr> <th>COMMESSA</th> <th>LOTTO</th> <th>CODIFICA</th> <th>DOCUMENTO</th> <th>REV.</th> <th>FOGLIO</th> </tr> </thead> <tbody> <tr> <td>IF1N</td> <td>01 E ZZ</td> <td>CL</td> <td>VI0605 020</td> <td>B</td> <td>10 di 137</td> </tr> </tbody> </table>	COMMESSA	LOTTO	CODIFICA	DOCUMENTO	REV.	FOGLIO	IF1N	01 E ZZ	CL	VI0605 020	B	10 di 137
COMMESSA	LOTTO	CODIFICA	DOCUMENTO	REV.	FOGLIO								
IF1N	01 E ZZ	CL	VI0605 020	B	10 di 137								

3.2 CALCESTRUZZO PER PLINTO DI FONDAZIONE

Classe C28/35

$R_{ck} =$	35.00	MPa	Resistenza caratteristica cubica
$f_{ck} = 0,83 R_{ck} =$	29.05	MPa	Resistenza caratteristica cilindrica
$f_{cm} = f_{ck} + 8 =$	37.05	MPa	Valore medio resistenza cilindrica
$\alpha_{cc} =$	0.85		Coeff. rid. per carichi di lunga durata
$\gamma_M =$	1.50	-	Coefficiente parziale di sicurezza SLU
$f_{cd} = \alpha_{cc} f_{ck} / \gamma_M =$	16.46	MPa	Resistenza di progetto
$f_{ctm} = 0,3 f_{ck}^{(2/3)} =$	2.83	MPa	Resistenza media a trazione semplice
$f_{ctm} = 1,2 f_{ctm} =$	3.40	MPa	Resistenza media a trazione per flessione
$f_{ctk} = 0,7 f_{ctm} =$	1.98	MPa	Valore caratteristico resistenza a trazione (frattile 5%)
$\sigma_c = 0,55 f_{ck} =$	15.98	MPa	Tensione limite in esercizio in comb. Rara (rif. §1.8.3.2.1 [3])
$\sigma_c = 0,40 f_{ck} =$	11.62	MPa	Tensione limite in esercizio in comb. quasi perm. (rif. §1.8.3.2.1 [3])
$E_{cm} = 22000 (f_{cm}/10)^{(0,3)} =$	32588.00	MPa	Modulo elastico di progetto
$\nu =$	0.20		Coefficiente di Poisson
$G_c = E_{cm} / (2(1 + \nu)) =$	13578.00	MPa	Modulo elastico tangenziale di progetto
Condizioni ambientali =	Ordinarie		
Classe di esposizione =	XC2		
$c =$	4.00	cm	Copriferro minimo
$w =$	0.30	mm	Apertura massima fessure in esercizio in comb. Rara (rif. §1.8.3.2.4 [3])

  	ITINERARIO NAPOLI – BARI RADDOPPIO TRATTA CANCELLO – BENEVENTO I° LOTTO FUNZIONALE CANCELLO - FRASSO TELESINO E VARIANTE ALLA LINEA ROMA-NAPOLI VIA CASSINO NEL COMUNE DI MADDALONI – PROGETTO ESECUTIVO												
Pile 27 e 28: Relazione di calcolo	<table border="1"> <thead> <tr> <th>COMMESSA</th> <th>LOTTO</th> <th>CODIFICA</th> <th>DOCUMENTO</th> <th>REV.</th> <th>FOGLIO</th> </tr> </thead> <tbody> <tr> <td>IF1N</td> <td>01 E ZZ</td> <td>CL</td> <td>VI0605 020</td> <td>B</td> <td>11 di 137</td> </tr> </tbody> </table>	COMMESSA	LOTTO	CODIFICA	DOCUMENTO	REV.	FOGLIO	IF1N	01 E ZZ	CL	VI0605 020	B	11 di 137
COMMESSA	LOTTO	CODIFICA	DOCUMENTO	REV.	FOGLIO								
IF1N	01 E ZZ	CL	VI0605 020	B	11 di 137								

3.3 CALCESTRUZZO PER PALI DI FONDAZIONE

Classe C25/30

$R_{ck} =$	30.00	MPa	Resistenza caratteristica cubica
$f_{ck} = 0,83 R_{ck} =$	24.90	MPa	Resistenza caratteristica cilindrica
$f_{cm} = f_{ck} + 8 =$	32.90	MPa	Valore medio resistenza cilindrica
$\alpha_{cc} =$	0.85		Coeff. rid. per carichi di lunga durata
$\gamma_M =$	1.50	-	Coefficiente parziale di sicurezza SLU
$f_{cd} = \alpha_{cc} f_{ck} / \gamma_M =$	14.11	MPa	Resistenza di progetto
$f_{ctm} = 0,3 f_{ck}^{(2/3)} =$	2.56	MPa	Resistenza media a trazione semplice
$f_{ctm} = 1,2 f_{ctm} =$	3.07	MPa	Resistenza media a trazione per flessione
$f_{ctk} = 0,7 f_{ctm} =$	1.79	MPa	Valore caratteristico resistenza a trazione (frattile 5%)
$\sigma_c = 0,55 f_{ck} =$	13.70	MPa	Tensione limite in esercizio in comb. Rara (rif. §1.8.3.2.1 [3])
$\sigma_c = 0,40 f_{ck} =$	9.96	MPa	Tensione limite in esercizio in comb. quasi perm. (rif. §1.8.3.2.1 [3])
$E_{cm} = 22000 (f_{cm}/10)^{(0,3)} =$	31447.00	MPa	Modulo elastico di progetto
$\nu =$	0.20		Coefficiente di Poisson
$G_c = E_{cm} / (2(1 + \nu)) =$	13103.00	MPa	Modulo elastico tangenziale di progetto
Condizioni ambientali =	Ordinarie		
Classe di esposizione =	XC2		
$c =$	6.00	cm	Copriferro minimo
$w =$	0.30	mm	Apertura massima fessure in esercizio in comb. Rara (rif. §1.8.3.2.4 [3])

  	ITINERARIO NAPOLI – BARI RADDOPPIO TRATTA CANCELLO – BENEVENTO I° LOTTO FUNZIONALE CANCELLO - FRASSO TELESINO E VARIANTE ALLA LINEA ROMA-NAPOLI VIA CASSINO NEL COMUNE DI MADDALONI – PROGETTO ESECUTIVO												
Pile 27 e 28: Relazione di calcolo	<table border="1"> <thead> <tr> <th>COMMESSA</th> <th>LOTTO</th> <th>CODIFICA</th> <th>DOCUMENTO</th> <th>REV.</th> <th>FOGLIO</th> </tr> </thead> <tbody> <tr> <td>IF1N</td> <td>01 E ZZ</td> <td>CL</td> <td>VI0605 020</td> <td>B</td> <td>12 di 137</td> </tr> </tbody> </table>	COMMESSA	LOTTO	CODIFICA	DOCUMENTO	REV.	FOGLIO	IF1N	01 E ZZ	CL	VI0605 020	B	12 di 137
COMMESSA	LOTTO	CODIFICA	DOCUMENTO	REV.	FOGLIO								
IF1N	01 E ZZ	CL	VI0605 020	B	12 di 137								

3.4 ACCIAIO PER BARRE DI ARMATURA

B450C

$f_{yk} \geq$	450.00	MPa	Tensione caratteristica di snervamento
$f_{tk} \geq$	540.00	MPa	Tensione caratteristica di rottura
$(f_t / f_y)_{k \geq}$	1.15		
$(f_t / f_y)_{k <}$	1.35		
$\gamma_s =$	1.15	-	Coefficiente parziale di sicurezza SLU
$f_{yd} = f_{yk} / \gamma_s =$	391.30	MPa	Tensione caratteristica di snervamento
$E_s =$	210000.00	MPa	Modulo elastico di progetto
$\epsilon_{yd} =$	0.20	%	Deformazione di progetto a snervamento
$\epsilon_{uk} = (A_{gt})_k$	7.50	%	Deformazione caratteristica ultima
$\sigma_s = 0,75 f_{yk} =$	337.50	MPa	Tensione in esercizio in comb. Rara (rif. §1.8.3.2.1 [3])

  	ITINERARIO NAPOLI – BARI RADDOPPIO TRATTA CANCELLO – BENEVENTO I° LOTTO FUNZIONALE CANCELLO - FRASSO TELESINO E VARIANTE ALLA LINEA ROMA-NAPOLI VIA CASSINO NEL COMUNE DI MADDALONI – PROGETTO ESECUTIVO												
Pile 27 e 28: Relazione di calcolo	<table border="1"> <thead> <tr> <th>COMMESSA</th> <th>LOTTO</th> <th>CODIFICA</th> <th>DOCUMENTO</th> <th>REV.</th> <th>FOGLIO</th> </tr> </thead> <tbody> <tr> <td>IF1N</td> <td>01 E ZZ</td> <td>CL</td> <td>VI0605 020</td> <td>B</td> <td>13 di 137</td> </tr> </tbody> </table>	COMMESSA	LOTTO	CODIFICA	DOCUMENTO	REV.	FOGLIO	IF1N	01 E ZZ	CL	VI0605 020	B	13 di 137
COMMESSA	LOTTO	CODIFICA	DOCUMENTO	REV.	FOGLIO								
IF1N	01 E ZZ	CL	VI0605 020	B	13 di 137								

4 CARATTERIZZAZIONE GEOTECNICA

4.1 CARATTERIZZAZIONE GEOTECNICA

Per la definizione della categoria di suolo delle opere appartenenti alla tratta in oggetto si rimanda all'elaborato progettuale "IF1N.0.1.E.ZZ.RB.GE.00.0.5.001.A - Relazione geotecnica generale di linea delle opere all'aperto".

  	ITINERARIO NAPOLI – BARI RADDOPPIO TRATTA CANCELLO – BENEVENTO I° LOTTO FUNZIONALE CANCELLO - FRASSO TELESINO E VARIANTE ALLA LINEA ROMA-NAPOLI VIA CASSINO NEL COMUNE DI MADDALONI – PROGETTO ESECUTIVO												
Pile 27 e 28: Relazione di calcolo	<table border="1"> <tr> <td>COMMESSA</td> <td>LOTTO</td> <td>CODIFICA</td> <td>DOCUMENTO</td> <td>REV.</td> <td>FOGLIO</td> </tr> <tr> <td>IF1N</td> <td>01 E ZZ</td> <td>CL</td> <td>VI0605 020</td> <td>B</td> <td>14 di 137</td> </tr> </table>	COMMESSA	LOTTO	CODIFICA	DOCUMENTO	REV.	FOGLIO	IF1N	01 E ZZ	CL	VI0605 020	B	14 di 137
COMMESSA	LOTTO	CODIFICA	DOCUMENTO	REV.	FOGLIO								
IF1N	01 E ZZ	CL	VI0605 020	B	14 di 137								

5 DESCRIZIONE DELLA STRUTTURA

Il Viadotto S. Michele_VI06, a doppio binario, si estende tra le progressive km 10+326 e km 11+737 della *Tratta Canello-Benevento – I° Lotto funzionale Canello-Frasso Telesino*, per uno sviluppo complessivo di 1411 m, ed è realizzato con 55 campate isostatiche di cui:

- 51 campate di luce in asse sottostrutture pari a 25.00 m, realizzate con impalcati della tipologia a 4 cassoncini in c.a.p.;
- 4 campate (tra la pila P8 e la pila P9 e tra la pila P49 e la pila P52) di luce in asse sottostrutture pari a 34.00 m, realizzate con implacati della tipologia misto acciaio-calcestruzzo. L'adozione di tali campate speciali si è resa necessaria sia per sovrappassare, con il minimo intervento possibile, lo "svincolo Capitone" della S.S. di *Fondo Valle Isclero*, sia per sovrappassare, garantendo la necessaria visibilità, la deviazione della S.S. n°265.

L'opera, di scavalco di una zona di terreno agricolo, scavalca in particolare:

- a) il *Fosso Valle Boschina* tra le pile P5 e P6 alla progressiva km 10+430;
- b) il *Torrente Valle Pietra Rossa* tra le pile P15 e P16 alla progressiva km 10+664;
- c) la deviazione della S.S. n°265 tra le pile P8 e P9 alla progressiva 10+536.580;
- d) lo svincolo della S.S. di *Fondo Valle Isclero* tra le pile P49 e P52 alla progressiva 11+602.631.

Il viadotto è costituito da due tipologie di impalcato: a cassoncini in c.a.p. e misto acciaio calcestruzzo.

La prima tipologia di impalcato è realizzata con 4 cassoncini accostati in c.a.p. e soletta gettata in opera. La luce è pari a 25.00 m misurata in asse pile. La lunghezza complessiva delle travi prefabbricate è pari a 24.30 m e la luce tra gli appoggi è pari a 22.80 m. La larghezza dell'impalcato è pari a 13.70 m. L'armamento è di tipo tradizionale su ballast.

La seconda tipologia di impalcato è realizzata con sezione mista acciaio calcestruzzo e presenta una campata di lunghezza 34.00m in asse ai varchi, mentre la luce tra gli appoggi è pari a 32.40m. L'impalcato ha una larghezza costante di 13.70m ed è costituito da 4 travi saldate a doppio "T" di altezza 2,08m, poste ad interasse di 2,8m e solidarizzate da traversi reticolari. L'armamento è di tipo tradizionale su ballast.

Le pili sono realizzate in c.a.o. gettato in opera e hanno altezze fusto che variano tra 3.0m e 20.8m. Presentano un fusto a sezione rettangolare cava di dimensioni esterne 2.6mx8.6m con raccordi di raggio pari ad 1m ed un motivo "a lesena" nella parte centrale del fusto su tutti e quattro i lati. Le dimensioni esterne diventano 3.3m x 8.6m ove l'altezza della pila al netto del pulvino è superiore a 12.0 m.

Le fondazioni sono realizzate con plinti rettangolari in c.a. con pali trivellati del diametro Φ 1200 mm e del Φ 1500 mm, posti ad un interasse pari a 3 diametri.

Con riferimento alle sottostrutture prese in considerazione nella presente relazione, le tipologie di impalcato, la geometria del fusto e la geometria del plinto e dei pali sono sintetizzate nella seguente tabella:

Pila	Impalcato precedente	Impalcato successivo	Fusto	Dimensioni plinto	Pali
P27	4 c.a.p. (L=25m)	4 c.a.p. (L=25m)	2.6m x 8.6m x 7.0m	12m x 16.5m x 2.5m	12 \emptyset 1500
P28	4 c.a.p. (L=25m)	4 c.a.p. (L=25m)	2.6m x 8.6m x 7.0m	12m x 16.5m x 2.5m	12 \emptyset 1500

A seguire si riportano delle immagini che illustrano la geometria della pila (prospetto frontale e sezione orizzontale del fusto) e del plinto di fondazione (vista in pianta).

SEZIONE/PROSPETTO TRASVERSALE

Scala 1:50

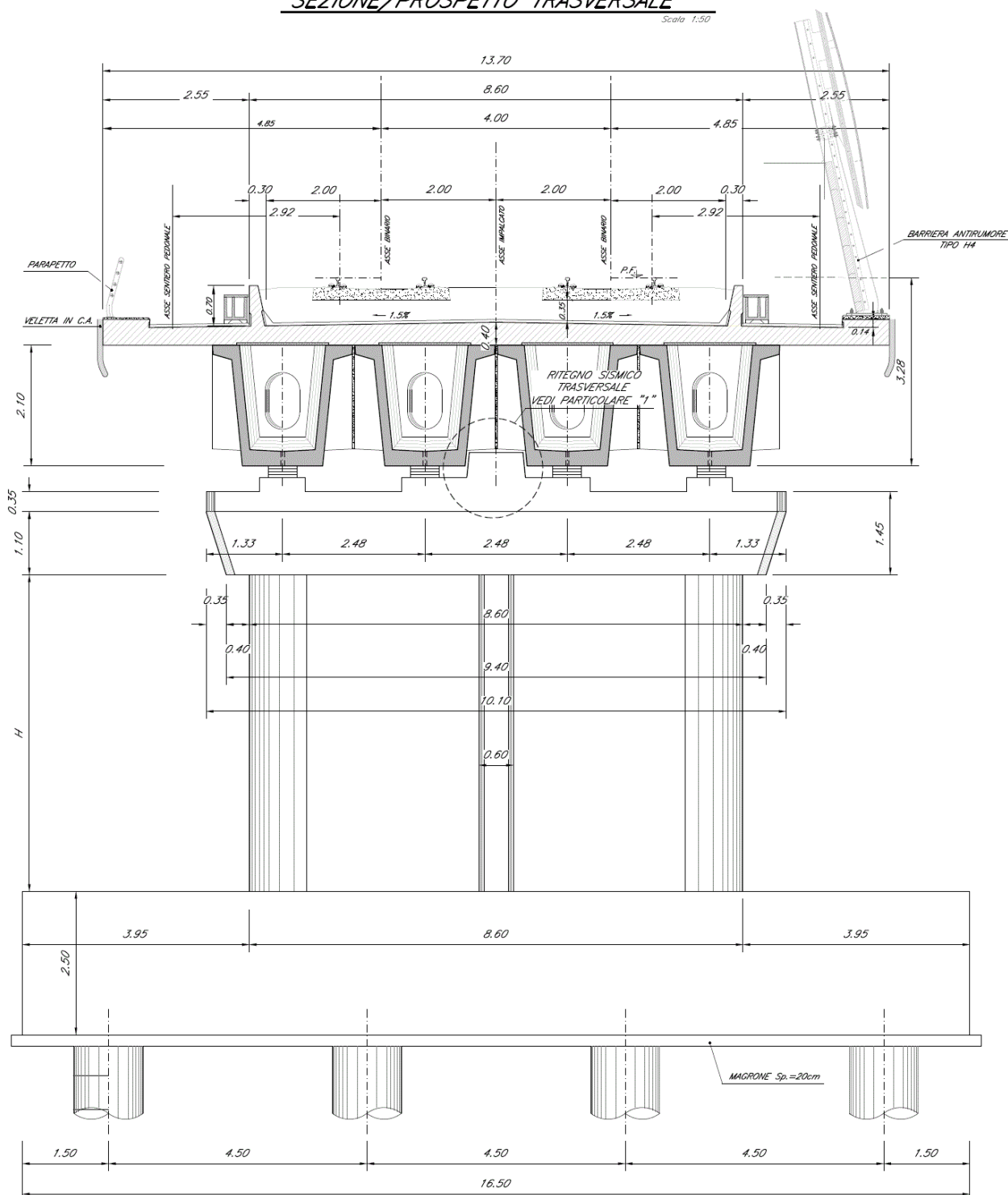


Figura 1 – Pila, prospetto frontale [m]

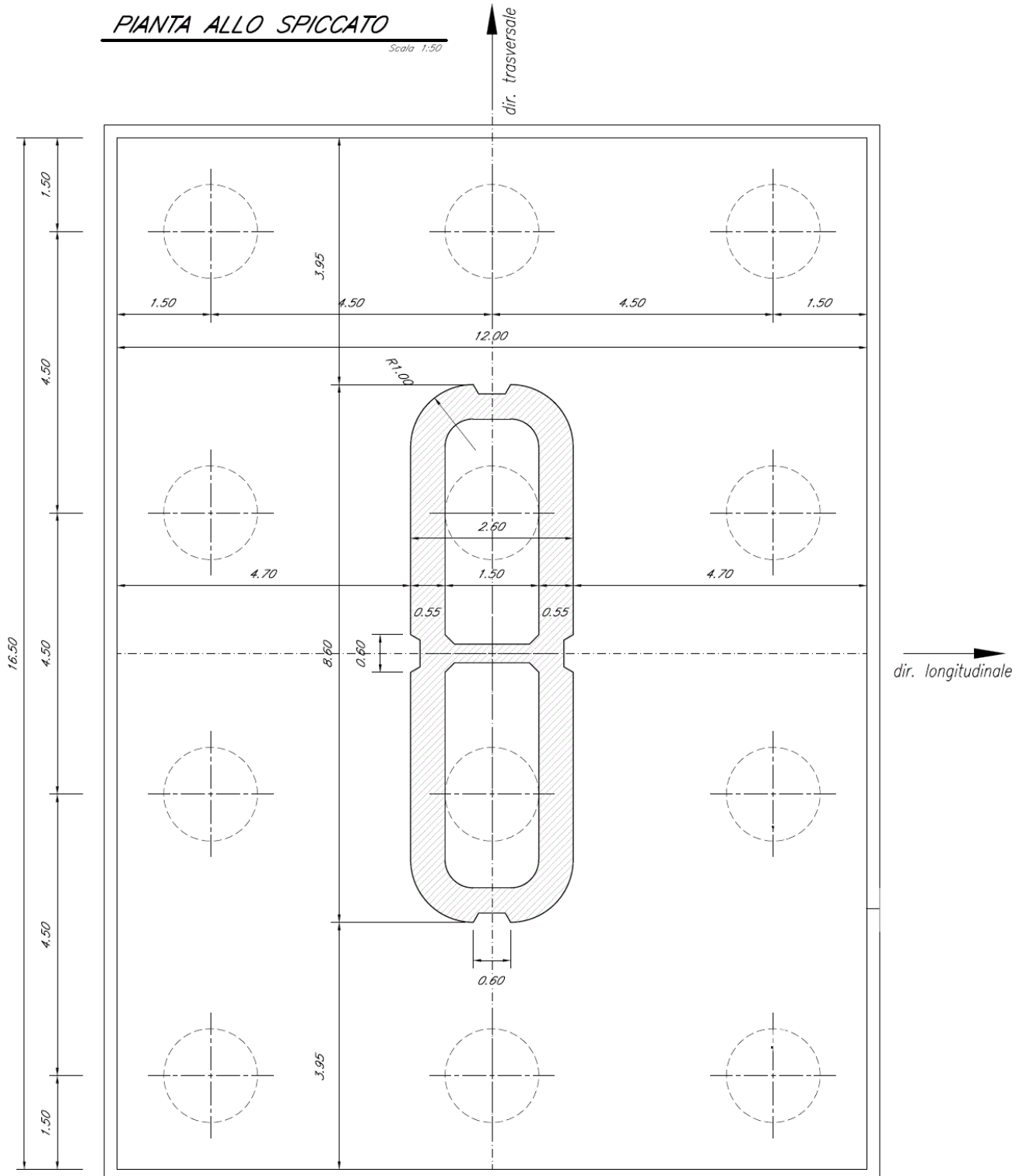


Figura 2 – Plinto di fondazione e pali, vista in pianta - Sezione del fusto pile [m]

Le seguenti figure illustrano la geometria del pulvino della pila in prospetto longitudinale, differenziata a seconda delle tipologie di impalcato che afferisce alla pila i-esima.

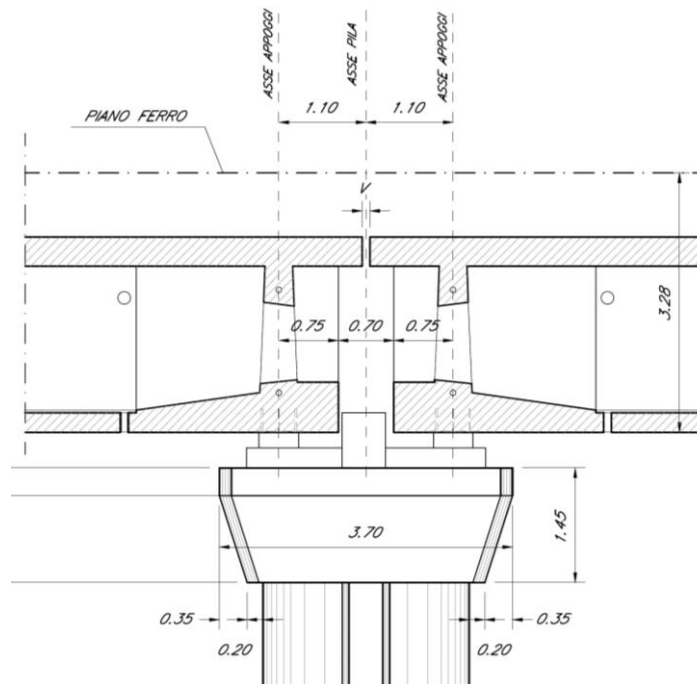


Figura 3 – Pila, prospetto longitudinale – Due impalcati CAP

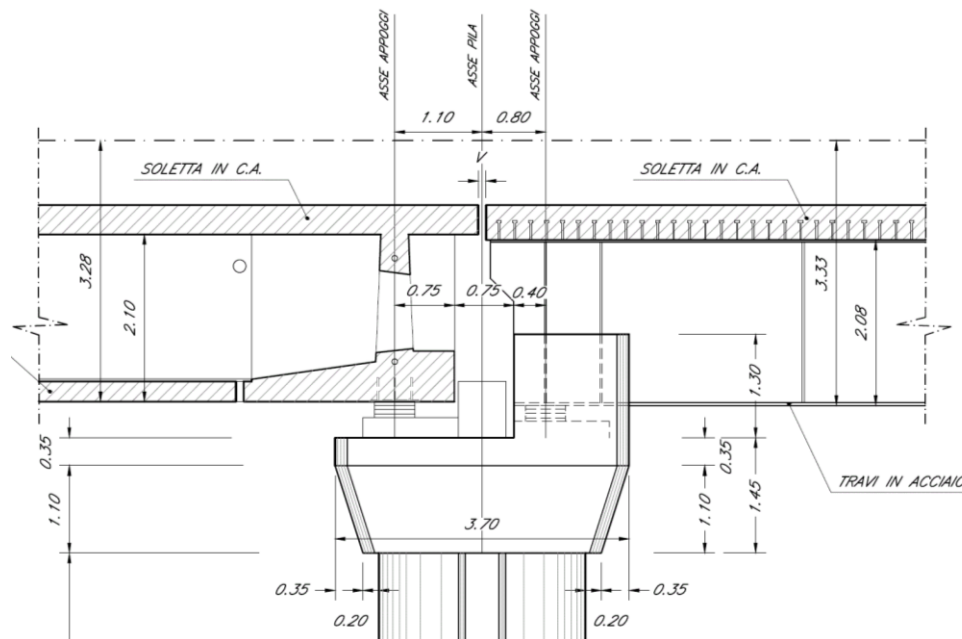


Figura 4 – Pila, prospetto longitudinale – Impalcato CAP e impalcato a struttura mista [m]

	ITINERARIO NAPOLI – BARI RADDOPPIO TRATTA CANCELLO – BENEVENTO I° LOTTO FUNZIONALE CANCELLO - FRASSO TELESINO E VARIANTE ALLA LINEA ROMA-NAPOLI VIA CASSINO NEL COMUNE DI MADDALONI – PROGETTO ESECUTIVO												
Pile 27 e 28: Relazione di calcolo	<table border="1"> <thead> <tr> <th>COMMESSA</th> <th>LOTTO</th> <th>CODIFICA</th> <th>DOCUMENTO</th> <th>REV.</th> <th>FOGLIO</th> </tr> </thead> <tbody> <tr> <td>IF1N</td> <td>01 E ZZ</td> <td>CL</td> <td>VI0605 020</td> <td>B</td> <td>18 di 137</td> </tr> </tbody> </table>	COMMESSA	LOTTO	CODIFICA	DOCUMENTO	REV.	FOGLIO	IF1N	01 E ZZ	CL	VI0605 020	B	18 di 137
COMMESSA	LOTTO	CODIFICA	DOCUMENTO	REV.	FOGLIO								
IF1N	01 E ZZ	CL	VI0605 020	B	18 di 137								

Si riportano a seguire due immagini che illustrano lo schema vincolare della campata isostatica i-esima ed il relativo dettaglio della pila i-esima (sono rappresentati due impalcati tipologici).

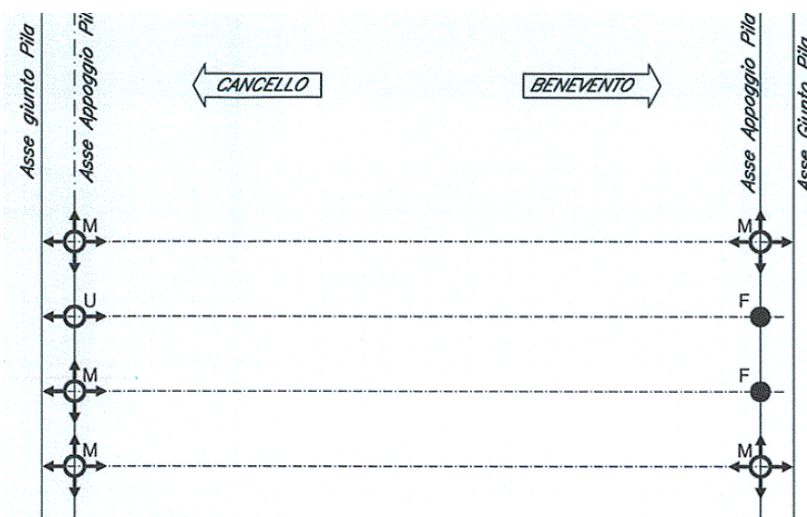
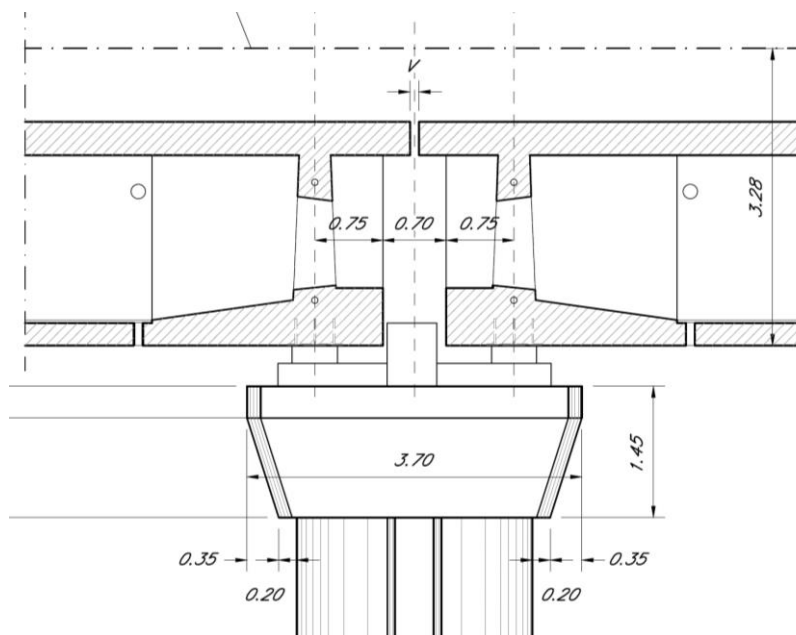


Figura 5 – Viadotto VI06 – Schema vincolare campata isostatica i-esima

Impalcato “precedente” – Fisso longitudinale

Impalcato “successivo” – Mobile longitudinale



← dir. Cancello

dir. Benevento →

Figura 6 – Viadotto VI06 – Schema vincolare pila i-esima

  	ITINERARIO NAPOLI – BARI RADDOPPIO TRATTA CANCELLO – BENEVENTO I° LOTTO FUNZIONALE CANCELLO - FRASSO TELESINO E VARIANTE ALLA LINEA ROMA-NAPOLI VIA CASSINO NEL COMUNE DI MADDALONI – PROGETTO ESECUTIVO					
	Pile 27 e 28: Relazione di calcolo	COMMESSA IF1N	LOTTO 01 E ZZ	CODIFICA CL	DOCUMENTO VI0605 020	REV. B

6 ANALISI DEI CARICHI

Di seguito si riporta l'analisi dei carichi agenti sulla pila e derivanti dagli impalcati afferenti.

Le azioni e le reazioni riportate sono riferite al seguente sistema di riferimento:

- asse 1 o asse X : asse longitudinale;
- asse 2 o asse Y : asse trasversale;
- asse 3 o asse Z : asse verticale.

6.1 PERMANENTI STRUTTURALI (G1)

6.1.1 PESO PROPRIO IMPALCATI

L'impalcato a singola campata isostatica, di luce pari a 25 m in asse ai giunti (22,80 m asse appoggi), è costituito da 4 cassoncini in c.a.p. solidarizzati da trasversi gettati in opera. La soletta è di spessore variabile tra 30 cm e 40 cm ed è anch'essa gettata in opera su predalles prefabbricate.

I carichi afferenti al peso proprio degli impalcati sono calcolati sulla base delle caratteristiche geometriche e del peso unitario di ciascun elemento, come riportato a seguire.

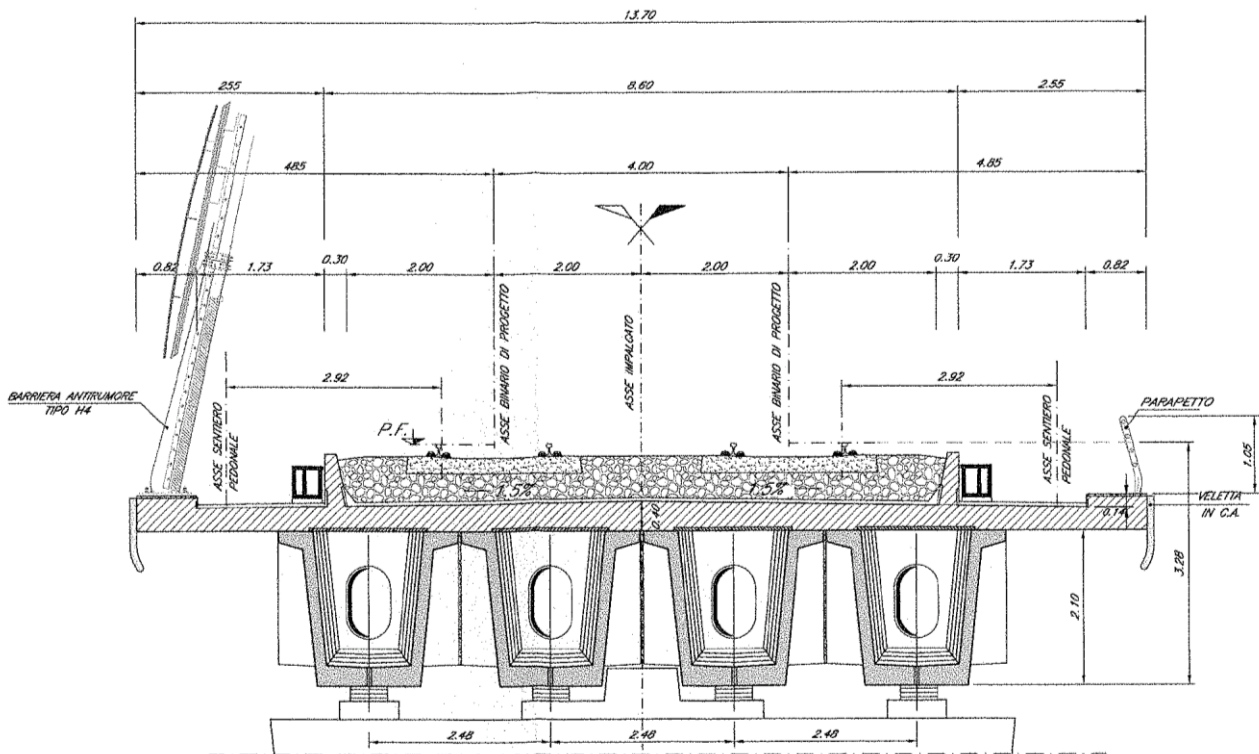


Figura 7 – Impalcato quadri cassone in c.a.p. (L=25m) – Sezione trasversale tipologica [m]

  	ITINERARIO NAPOLI – BARI RADDOPPIO TRATTA CANCELLO – BENEVENTO I° LOTTO FUNZIONALE CANCELLO - FRASSO TELESINO E VARIANTE ALLA LINEA ROMA-NAPOLI VIA CASSINO NEL COMUNE DI MADDALONI – PROGETTO ESECUTIVO												
Pile 27 e 28: Relazione di calcolo	<table border="1"> <tr> <td>COMMESSA</td> <td>LOTTO</td> <td>CODIFICA</td> <td>DOCUMENTO</td> <td>REV.</td> <td>FOGLIO</td> </tr> <tr> <td>IF1N</td> <td>01 E ZZ</td> <td>CL</td> <td>VI0605 020</td> <td>B</td> <td>20 di 137</td> </tr> </table>	COMMESSA	LOTTO	CODIFICA	DOCUMENTO	REV.	FOGLIO	IF1N	01 E ZZ	CL	VI0605 020	B	20 di 137
COMMESSA	LOTTO	CODIFICA	DOCUMENTO	REV.	FOGLIO								
IF1N	01 E ZZ	CL	VI0605 020	B	20 di 137								

IMPALCATO-SX

IMPALCATO-DX

Peso proprio travi

A,1 sezione testata =	2,01	m2	2,01	m2
A,1 sezione media transizione =	1,60	m2	1,60	m2
A,1 sezione corrente =	1,13	m2	1,13	m2
L,testata =	1,50	m	1,50	m
L,zona transizione =	3,60	m	3,60	m
L,corrente =	19,20	m	19,20	m
L,tot =	24,30	m	24,30	m
V,1 trave =	30,47	m3	30,47	m3
peso unitario travi =	25,00	kN/m3	25,00	kN/m3
P,1 trave =	761,78	kN	761,78	kN

Peso proprio trasversi

A,1 sez trasverso testata =	2,76	m2	2,76	m2
A,1 sez trasverso corrente =	3,64	m2	3,64	m2
s,trasverso testata =	0,40	m	0,40	m
s,trasverso corrente =	0,25	m	0,25	m
V,1 trave trasversi =	4,03	m3	4,03	m3
peso unitario trasversi =	25,00	kN/m3	25,00	kN/m3
P,1 trave trasv =	100,70	kN	100,70	kN

Peso proprio totale travi e trasversi

P,1 trave+trasv =	862,48	kN	862,48	kN
N,travi =	4,00		4,00	
P,tot travi+trasv =	3449,90	kN	3449,90	kN

Peso proprio soletta

  	ITINERARIO NAPOLI – BARI RADDOPPIO TRATTA CANCELLO – BENEVENTO I° LOTTO FUNZIONALE CANCELLO - FRASSO TELESINO E VARIANTE ALLA LINEA ROMA-NAPOLI VIA CASSINO NEL COMUNE DI MADDALONI – PROGETTO ESECUTIVO												
Pile 27 e 28: Relazione di calcolo	<table border="1"> <thead> <tr> <th>COMMESSA</th> <th>LOTTO</th> <th>CODIFICA</th> <th>DOCUMENTO</th> <th>REV.</th> <th>FOGLIO</th> </tr> </thead> <tbody> <tr> <td>IF1N</td> <td>01 E ZZ</td> <td>CL</td> <td>VI0605 020</td> <td>B</td> <td>21 di 137</td> </tr> </tbody> </table>	COMMESSA	LOTTO	CODIFICA	DOCUMENTO	REV.	FOGLIO	IF1N	01 E ZZ	CL	VI0605 020	B	21 di 137
COMMESSA	LOTTO	CODIFICA	DOCUMENTO	REV.	FOGLIO								
IF1N	01 E ZZ	CL	VI0605 020	B	21 di 137								

A soletta =	5,05	m ²	5,05	m ²
L impalcato =	25,00	m	25,00	m
peso unitario soletta =	25,00	kN/m ³	25,00	kN/m ³

P soletta =	3156,25	kN	3156,25	kN
-------------	---------	----	---------	----

Peso proprio totale impalcato

Peso impalcato =	6606,15	kN	6606,15	kN
------------------	---------	----	---------	----

Risultanti reazioni vincolari

F1 =	0		0	
F2 =	0		0	
F3 =	3303	kN	3303	kN
M1 =	0		0	
M2 =	0		0	
M3 =	0		0	

6.1.2 PESO PROPRIO PILA

I carichi afferenti al peso proprio degli elementi costituenti la pila (fusto, pulvino e fondazioni) sono calcolati sulla base delle caratteristiche geometriche di ciascun elemento e considerando un peso unitario del calcestruzzo pari a 25,00 kN/m³.

6.2 PERMANENTI NON STRUTTURALI (G2)

I carichi permanenti non strutturali sono costituiti dal peso della massicciata, dal peso delle barriere antirumore e dal peso delle canalette portacavi. In aggiunta ai permanenti non strutturali portati dagli impalcato si hanno anche quelli costituiti dal riempimento della pila e dal sovraccarico del terreno di ricoprimento del plinto.

La normativa distingue tra ballast e permanenti non strutturali generici nell'assegnazione dei valori del coefficiente di combinazione (rif. §1.8.3.1 [3]), per questo motivo nei paragrafi a seguire i due casi di carico vengono trattati separatamente.

6.2.1 BALLAST (G21)

Secondo il §1.3.2 [3], ove non si eseguano valutazioni più dettagliate, la determinazione dei carichi permanenti portati relativi al peso della massicciata, armamento e dell'impermeabilizzazione potrà effettuarsi assumendo convenzionalmente, per linea in rettilineo, un peso di volume pari a 18,00 kN/m³, applicato su tutta la larghezza media compresa fra i muretti paraballast, per un'altezza media fra p.f. ed estradosso impalcato pari a 0,80 m. Per i ponti in curva si assume un peso convenzionale di 20 kN/m³.

  	ITINERARIO NAPOLI – BARI RADDOPPIO TRATTA CANCELLO – BENEVENTO I° LOTTO FUNZIONALE CANCELLO - FRASSO TELESINO E VARIANTE ALLA LINEA ROMA-NAPOLI VIA CASSINO NEL COMUNE DI MADDALONI – PROGETTO ESECUTIVO												
Pile 27 e 28: Relazione di calcolo	<table border="1"> <tr> <td>COMMESSA</td> <td>LOTTO</td> <td>CODIFICA</td> <td>DOCUMENTO</td> <td>REV.</td> <td>FOGLIO</td> </tr> <tr> <td>IF1N</td> <td>01 E ZZ</td> <td>CL</td> <td>VI0605 020</td> <td>B</td> <td>22 di 137</td> </tr> </table>	COMMESSA	LOTTO	CODIFICA	DOCUMENTO	REV.	FOGLIO	IF1N	01 E ZZ	CL	VI0605 020	B	22 di 137
COMMESSA	LOTTO	CODIFICA	DOCUMENTO	REV.	FOGLIO								
IF1N	01 E ZZ	CL	VI0605 020	B	22 di 137								

IMPALCATO - SX

IMPALCATO - DX

Peso ballast

p,ballast rettilifo =	18,00	kN/m3	18,00	kN/m3
p,ballast curva =	20,00	kN/m3	20,00	kN/m3
tracciato in curva (S/N) =	S		S	
p,ballast =	20,00	kN/m3	20,00	kN/m3
s ballast =	0,80	m	0,80	m
L ballast =	8,30	m	8,30	m
L impalcato =	25,00		25,00	
P,tot ballast =	3320,00	kN	3320,00	kN

Muretti paraballast

A,muretti paraballast (2) =	0,287	m2	0,287	m2
peso unitario muretti =	25,00	kN/m3	25,00	kN/m3
P,tot muretti =	179,13	kN	179,13	kN

Peso totale massicciata

Peso totale massicciata =	3499,13	kN	3499,13	kN
---------------------------	---------	----	---------	----

Risultanti reazioni vincolari

F1 =	0		0	
F2 =	0		0	
F3 =	1750	kN	1750	kN
M1 =	0		0	
M2 =	0		0	
M3 =	0		0	

  	ITINERARIO NAPOLI – BARI RADDOPPIO TRATTA CANCELLO – BENEVENTO I° LOTTO FUNZIONALE CANCELLO - FRASSO TELESINO E VARIANTE ALLA LINEA ROMA-NAPOLI VIA CASSINO NEL COMUNE DI MADDALONI – PROGETTO ESECUTIVO												
Pile 27 e 28: Relazione di calcolo	<table border="1"> <tr> <td>COMMESSA</td> <td>LOTTO</td> <td>CODIFICA</td> <td>DOCUMENTO</td> <td>REV.</td> <td>FOGLIO</td> </tr> <tr> <td>IF1N</td> <td>01 E ZZ</td> <td>CL</td> <td>VI0605 020</td> <td>B</td> <td>23 di 137</td> </tr> </table>	COMMESSA	LOTTO	CODIFICA	DOCUMENTO	REV.	FOGLIO	IF1N	01 E ZZ	CL	VI0605 020	B	23 di 137
COMMESSA	LOTTO	CODIFICA	DOCUMENTO	REV.	FOGLIO								
IF1N	01 E ZZ	CL	VI0605 020	B	23 di 137								

6.2.2 PERMANENTI NON STRUTTURALI GENERICI (G22)

6.2.2.1 AFFERENTI ALL'IMPALCATO

Secondo il §1.3.2 [3], nella progettazione di nuovi ponti ferroviari dovranno essere sempre considerati i pesi le azioni e gli ingombri associati all'introduzione delle barriere antirumore, anche nei casi in cui non ne sia originariamente prevista la realizzazione, assumendo un peso pari a 4,00 kN/m² ed un'altezza minima di 4,00 m misurata dall'estradosso della soletta. Cautelativamente si considerano presenti barriere H4 ad entrambe le estremità dell'impalcato.

IMPALCATO - SX

IMPALCATO - DX

Peso barriere antirumore

P,barriere =	4,00	kN/m ²	4,00	kN/m ²
B.A. lato sx =	H4		H4	
B.A. lato sdx =	H4		H4	
H,barriera sx (min. 4m) =	5,40	m	5,40	m
H,barriera dx (min. 4m) =	5,40	m	5,40	m
L impalcato =	25,00	m	25,00	m
P,tot barriere =	1080,00	kN	1080,00	kN

Peso cordoli, muretti paraballast, velette

A,cordoli =	0,36	m ²	0,36	m ²
A,veletta =	0,19	m ²	0,19	m ²
P,tot arredi =	342,00	kN	342,00	kN

Peso canalette portacavi

P,canalette =	5,00	kN/m	5,00	kN/m
P,tot canalette =	125,00	kN	125,00	kN

Permanenti non strutturali totali

Permanenti tot =	1547,00	kN	1547,00	kN
------------------	---------	----	---------	----

  	ITINERARIO NAPOLI – BARI RADDOPPIO TRATTA CANCELLO – BENEVENTO I° LOTTO FUNZIONALE CANCELLO - FRASSO TELESINO E VARIANTE ALLA LINEA ROMA-NAPOLI VIA CASSINO NEL COMUNE DI MADDALONI – PROGETTO ESECUTIVO												
Pile 27 e 28: Relazione di calcolo	<table border="1"> <thead> <tr> <th>COMMESSA</th> <th>LOTTO</th> <th>CODIFICA</th> <th>DOCUMENTO</th> <th>REV.</th> <th>FOGLIO</th> </tr> </thead> <tbody> <tr> <td>IF1N</td> <td>01 E ZZ</td> <td>CL</td> <td>VI0605 020</td> <td>B</td> <td>24 di 137</td> </tr> </tbody> </table>	COMMESSA	LOTTO	CODIFICA	DOCUMENTO	REV.	FOGLIO	IF1N	01 E ZZ	CL	VI0605 020	B	24 di 137
COMMESSA	LOTTO	CODIFICA	DOCUMENTO	REV.	FOGLIO								
IF1N	01 E ZZ	CL	VI0605 020	B	24 di 137								

Risultanti reazioni vincolari

F1 =	0		0	
F2 =	0		0	
F3 =	774	kN	774	kN
M1 =	0		0	
M2 =	0		0	
M3 =	0		0	

6.2.3 RIEMPIMENTO PILA E TERRENO DI RICOPRIMENTO

Il riempimento della pila ed il terreno di ricoprimento del plinto costituiscono un carico permanente portato agente sul plinto di fondazione al livello dell'estradosso plinto.

Le forze risultanti così calcolate vengono considerate come forze concentrate agenti in corrispondenza dell'estradosso del plinto.

Peso terreno di ricoprimento

Area ingombro pila:

dlong	2.6 m
dtrasv	8.6 m
A	22.36 m ²

Peso terreno:

dlong	12 m
dtrasv	16.5 m
hterr	0.75 m
gterr	20 kN/m ³
Wterr	2635 kN

Peso riempimento pila

Assente.

Permanenti non strutturali pila totali

Pari a Wterr.

	ITINERARIO NAPOLI – BARI RADDOPPIO TRATTA CANCELLO – BENEVENTO I° LOTTO FUNZIONALE CANCELLO - FRASSO TELESINO E VARIANTE ALLA LINEA ROMA-NAPOLI VIA CASSINO NEL COMUNE DI MADDALONI – PROGETTO ESECUTIVO												
Pile 27 e 28: Relazione di calcolo	<table border="1"> <thead> <tr> <th>COMMESSA</th> <th>LOTTO</th> <th>CODIFICA</th> <th>DOCUMENTO</th> <th>REV.</th> <th>FOGLIO</th> </tr> </thead> <tbody> <tr> <td>IF1N</td> <td>01 E ZZ</td> <td>CL</td> <td>VI0605 020</td> <td>B</td> <td>25 di 137</td> </tr> </tbody> </table>	COMMESSA	LOTTO	CODIFICA	DOCUMENTO	REV.	FOGLIO	IF1N	01 E ZZ	CL	VI0605 020	B	25 di 137
COMMESSA	LOTTO	CODIFICA	DOCUMENTO	REV.	FOGLIO								
IF1N	01 E ZZ	CL	VI0605 020	B	25 di 137								

6.3 CARICHI DA TRAFFICO

Le azioni verticali associate ai convogli ferroviari si schematizzano mediante i modelli di carico teorici LM71 e SW/2.

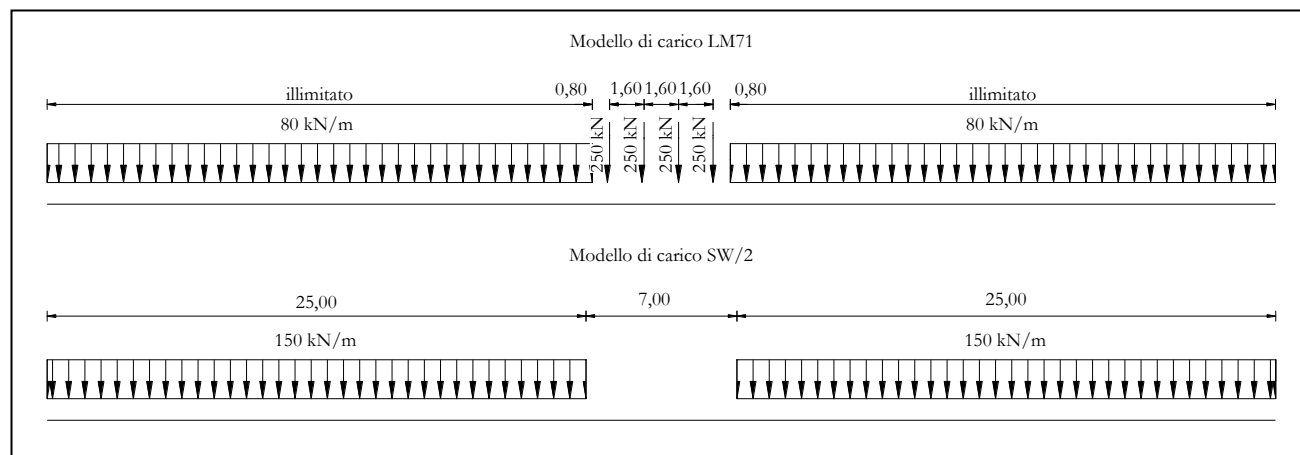


Figura 8 – Modelli di carico teorici LM71 e SW/2

Le differenti disposizioni degli assi e delle stese di carico considerate sono state definite in modo tale da massimizzare gli scarichi sulla pila:

- **Disposizione 1:** disposizione atta a massimizzare lo scarico assiale sulla pila. Prevede entrambi i binari di entrambe le campate caricate con i modelli LM71 e SW/2. Gli assi del LM71 e la stesa di carico di 25 m del SW/2 sono centrati sulla pila.
- **Disposizione 2:** disposizione atta a massimizzare il momento longitudinale (momento che “gira” intorno all’asse trasversale) sulla pila. Prevede entrambi i binari di un solo impalcato caricate con i modelli LM71 e SW/2. Gli assi del modello LM71 e la stesa di carico di 25 m del modello SW/2 sono posizionati a partire dall’estremità sinistra dell’impalcato di destra.
- **Disposizione 3:** disposizione atta a massimizzare il momento trasversale (momento che “gira” intorno all’asse longitudinale) sulla pila. Prevede un solo binario di entrambi gli impalcati caricato il modello SW/2. La stesa di carico di 25 m del modello SW/2 è centrata sulla pila.
- **Disposizione 4:** disposizione atta a massimizzare il momento trasversale (momento che “gira” intorno all’asse longitudinale) sulla pila. Prevede un solo binario di entrambi gli impalcati caricato con il modello LM71. Gli assi del LM71 sono centrati sulla pila.
- **Disposizione 5:** disposizione atta a massimizzare lo scarico assiale sulla pila e contemporaneamente a creare un momento longitudinale (che “gira” intorno all’asse trasversale) sulla pila. Prevede entrambi i binari di entrambe le campate caricate con i modelli LM71 e SW/2. Gli assi del LM71 e la stesa di carico di 25 m del SW/2 sono posizionati a partire dall’estremità sinistra dell’impalcato di destra.
- **Disposizione 6:** disposizione atta a massimizzare lo scarico assiale sulla pila. Prevede entrambi i binari di entrambe le campate caricate con i modelli LM71 e SW/2. Gli assi del LM71 ed il tratto scarico di 7 m del SW/2 sono centrati sulla pila.
- **Disposizione 7:** disposizione atta a minimizzare lo scarico assiale sulla pila e contemporaneamente a massimizzare il momento longitudinale (momento che “gira” intorno all’asse trasversale). Prevede entrambi i binari di un solo impalcato caricate con i modelli LM71 e SW/2. Gli assi del modello LM71 e la stesa di carico di 25 m del modello SW/2 sono posizionati a partire dall’estremità sinistra dell’impalcato di destra.

Pile 27 e 28: Relazione di calcolo

COMMESSA	LOTTO	CODIFICA	DOCUMENTO	REV.	FOGLIO
IF1N	01 E ZZ	CL	VI0605 020	B	26 di 137

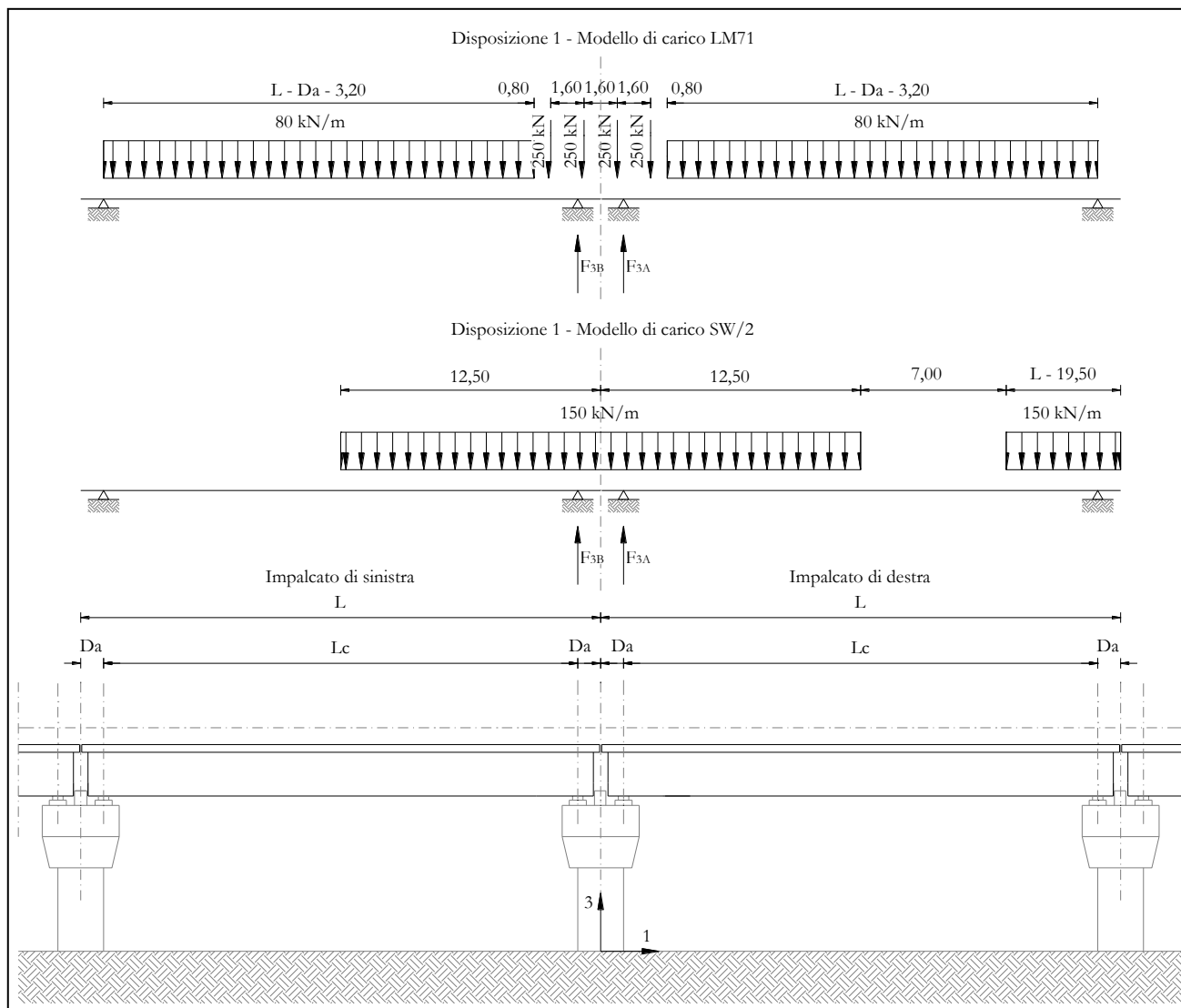


Figura 9 – Disposizione di carico 1

Pile 27 e 28: Relazione di calcolo

COMMESSA	LOTTO	CODIFICA	DOCUMENTO	REV.	FOGLIO
IF1N	01 E ZZ	CL	VI0605 020	B	27 di 137

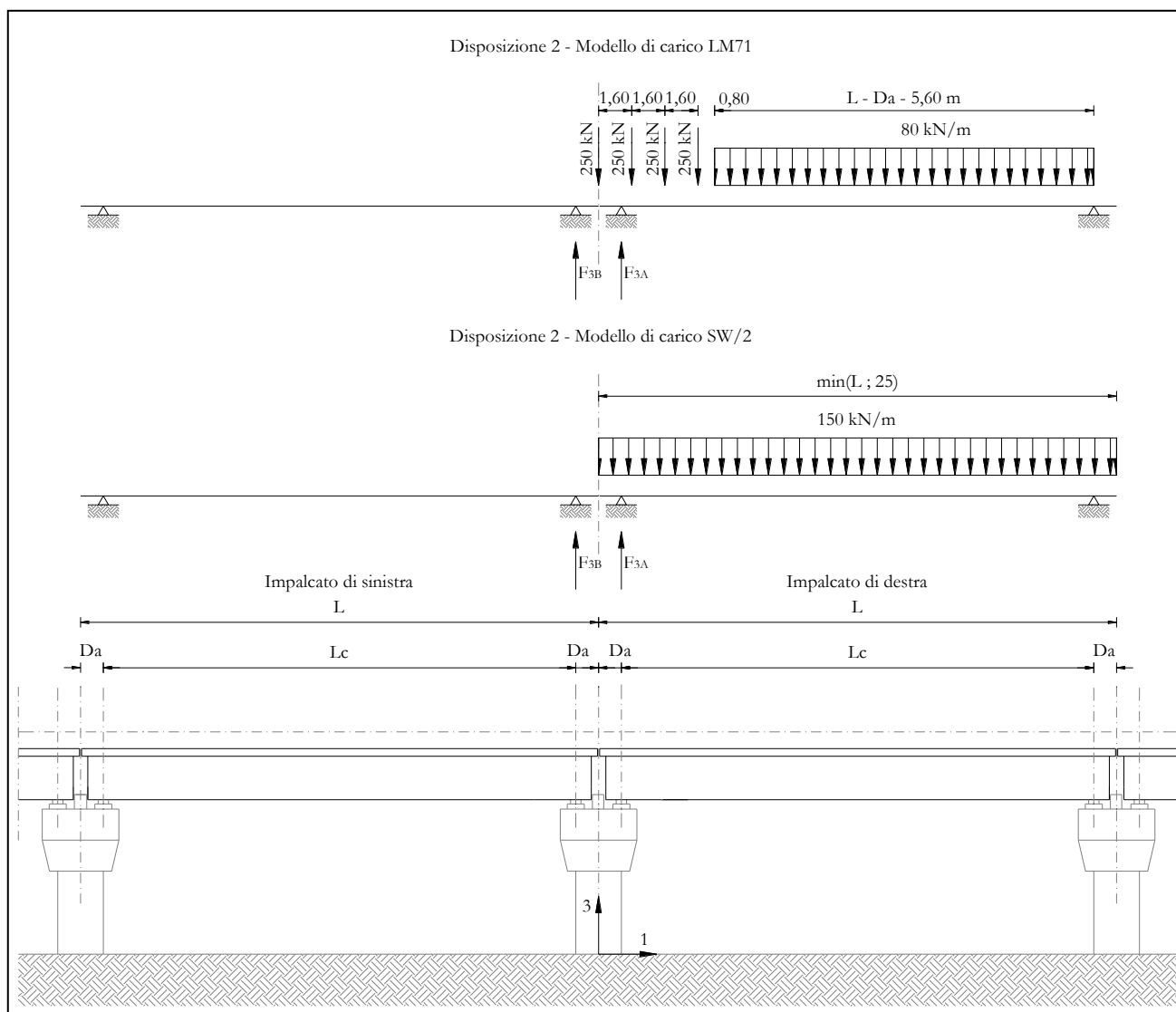


Figura 10 – Disposizione di carico 2

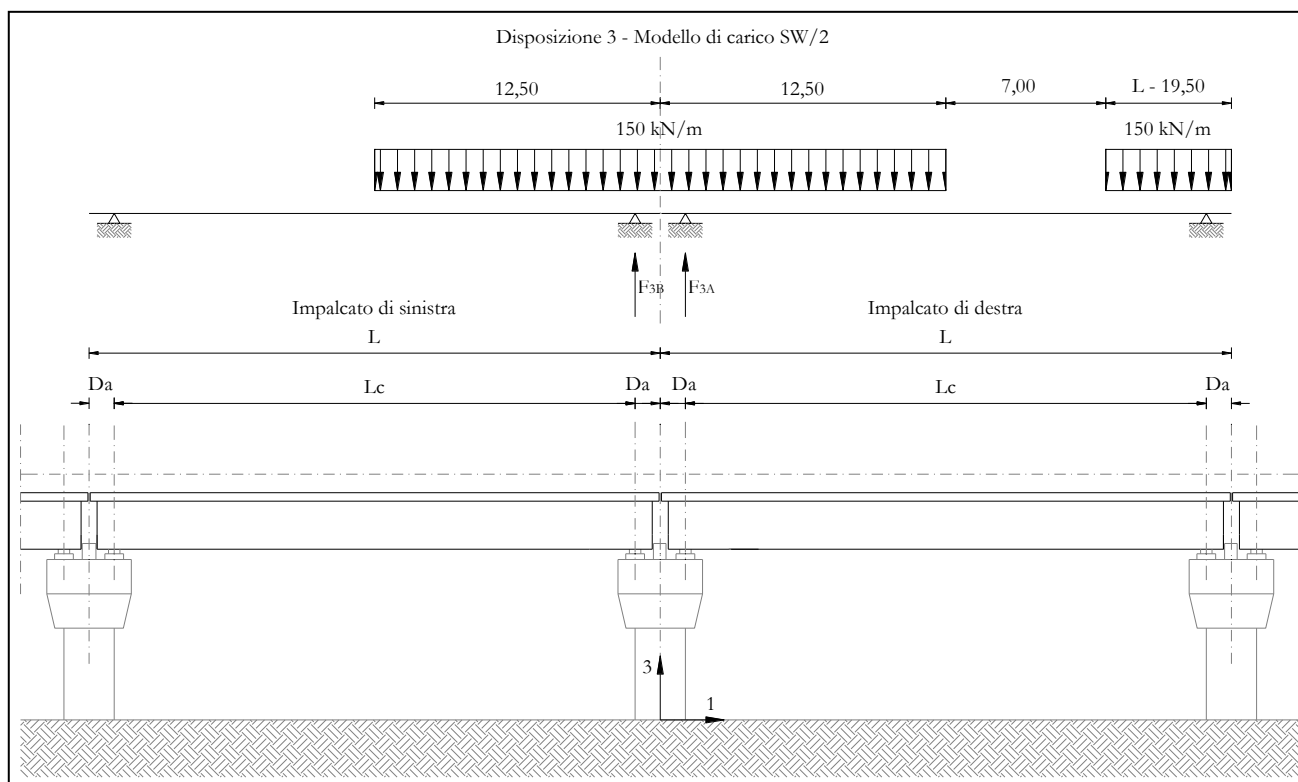


Figura 11 – Disposizione di carico 3

Pile 27 e 28: Relazione di calcolo

COMMESSA	LOTTO	CODIFICA	DOCUMENTO	REV.	FOGLIO
IF1N	01 E ZZ	CL	VI0605 020	B	29 di 137

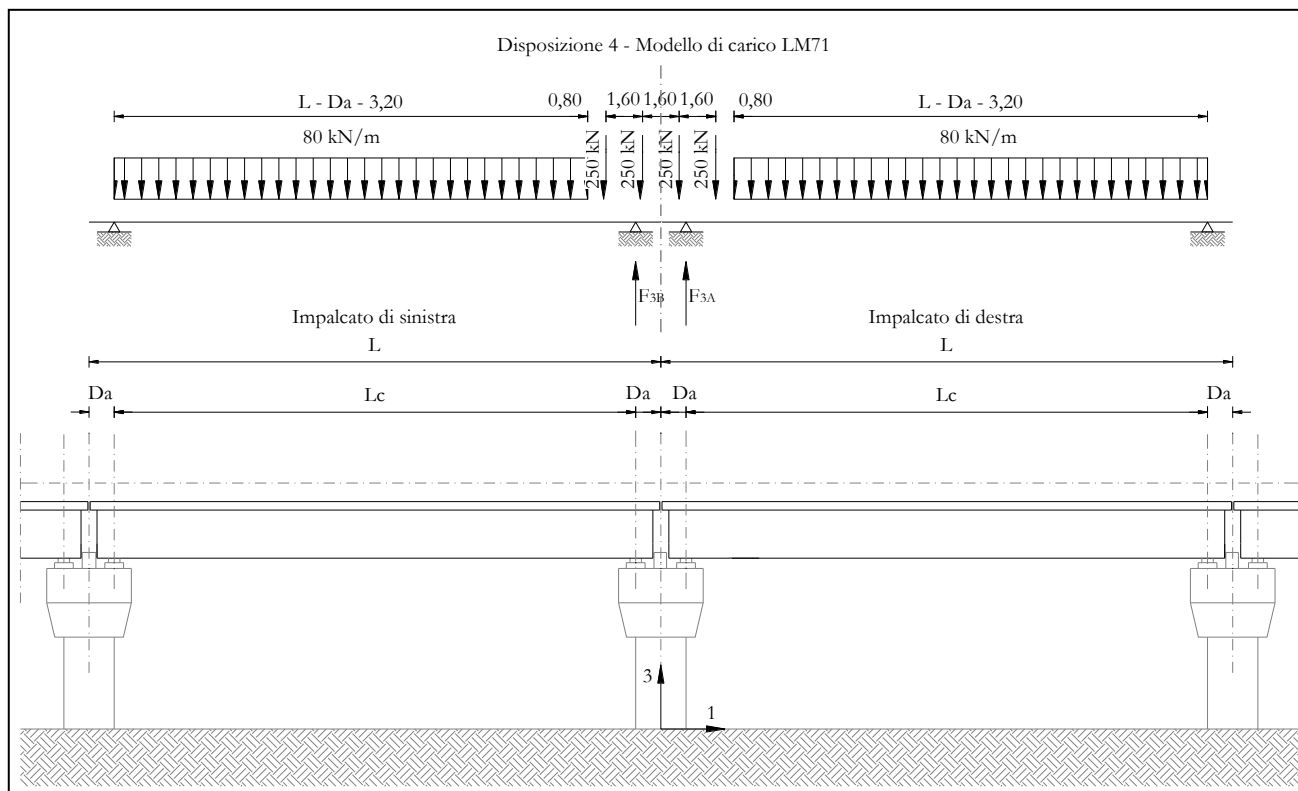


Figura 12 – Disposizione di carico 4

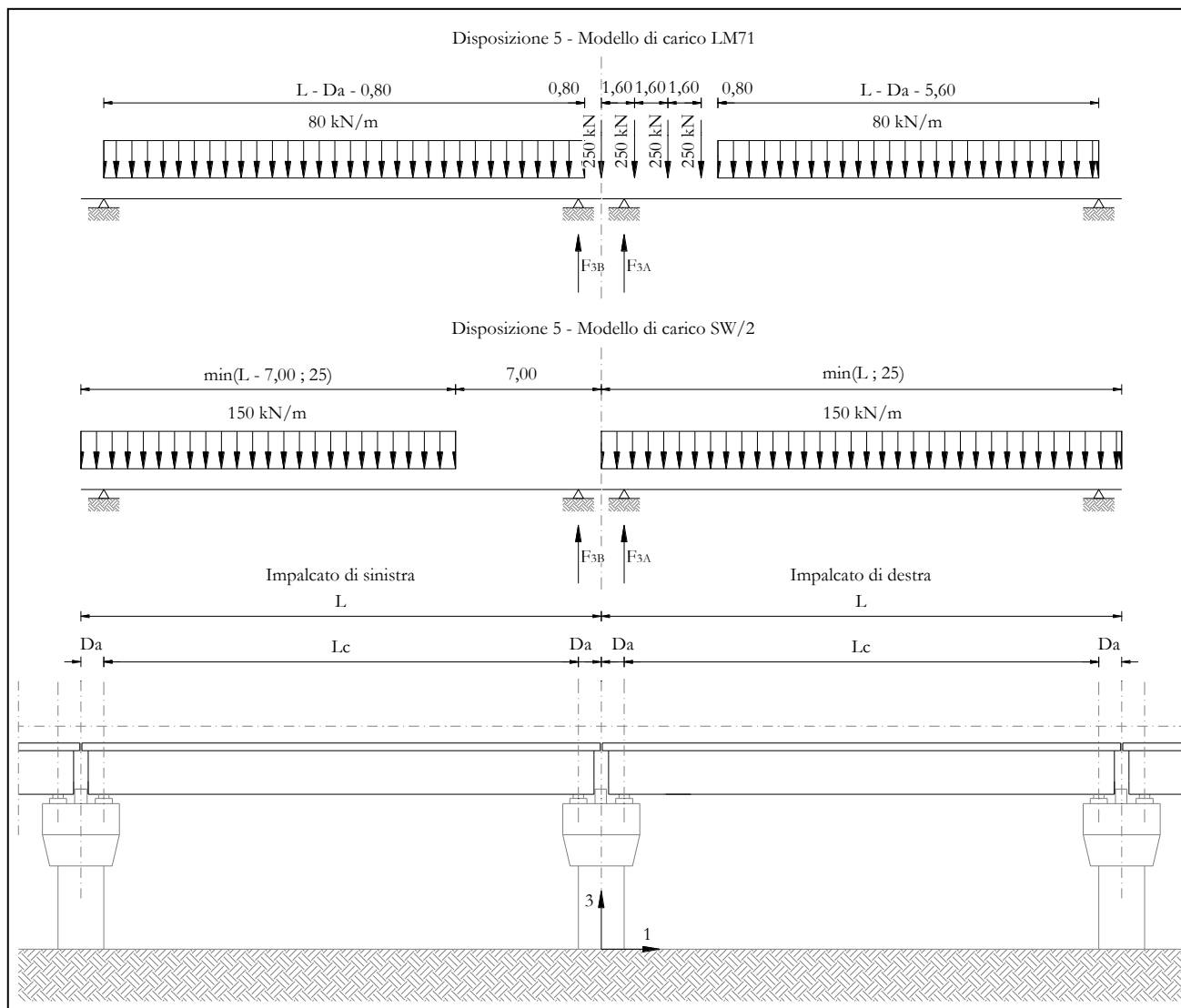


Figura 13 – Disposizione di carico 5

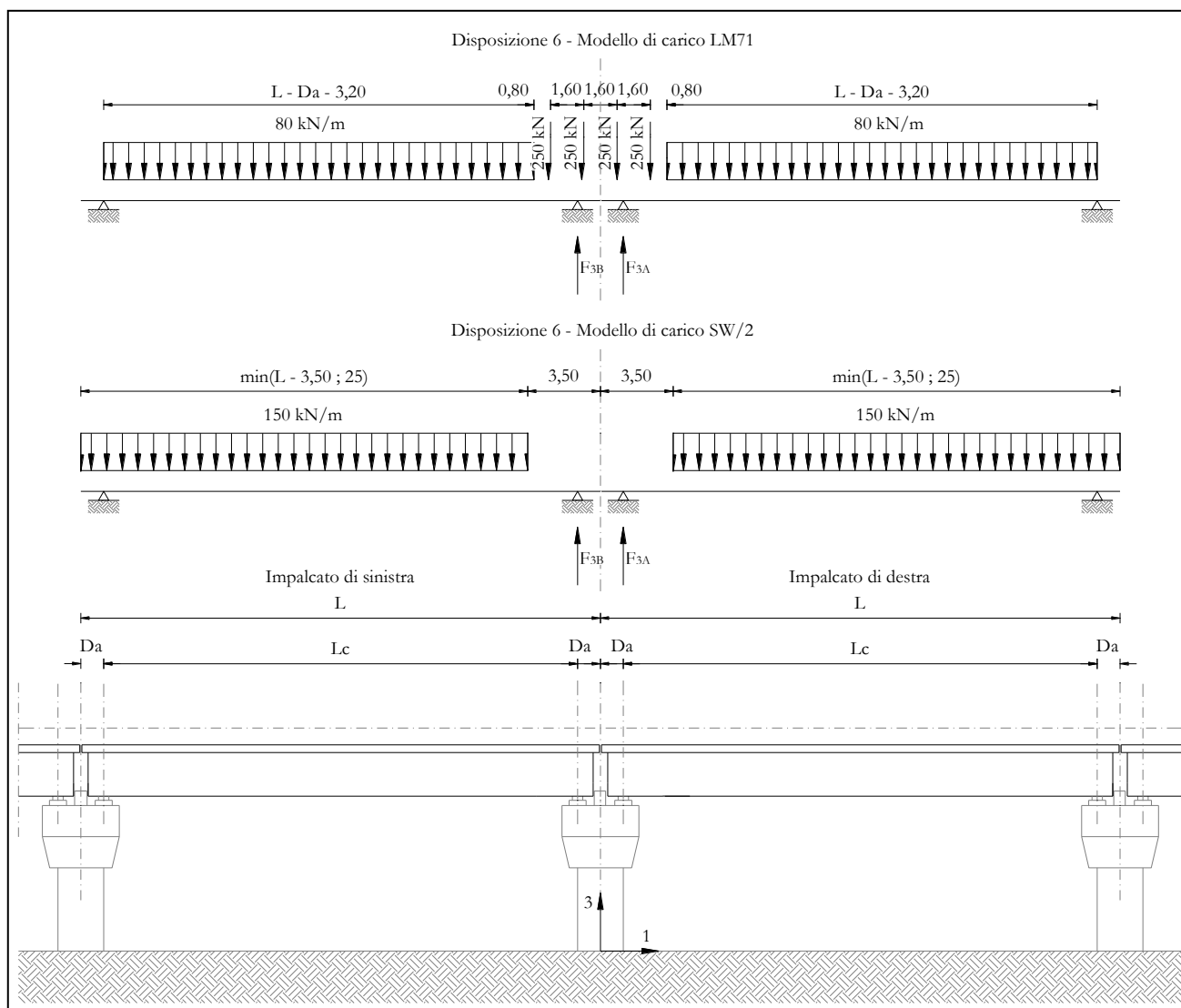


Figura 14 – Disposizione di carico 6

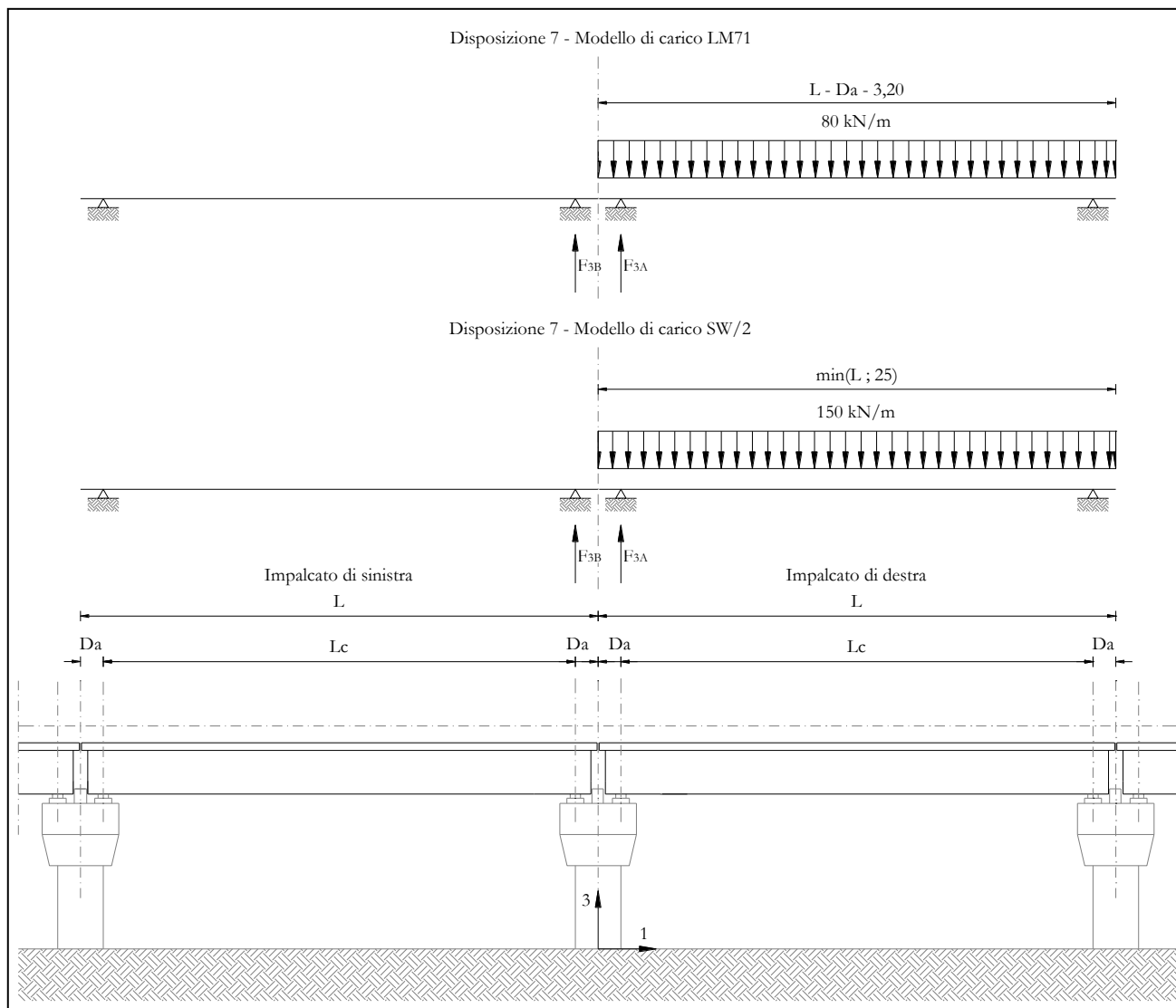


Figura 15 – Disposizione di carico 7

I valori caratteristici dei carichi attribuiti ai modelli di carico devono essere moltiplicati per il coefficiente α che deve assumersi come da tabella seguente:

Modello di carico	Coefficiente α
LM71	1,10
SW/2	1,00

  	ITINERARIO NAPOLI – BARI RADDOPPIO TRATTA CANCELLO – BENEVENTO I° LOTTO FUNZIONALE CANCELLO - FRASSO TELESINO E VARIANTE ALLA LINEA ROMA-NAPOLI VIA CASSINO NEL COMUNE DI MADDALONI – PROGETTO ESECUTIVO												
Pile 27 e 28: Relazione di calcolo	<table border="1"> <thead> <tr> <th>COMMESSA</th> <th>LOTTO</th> <th>CODIFICA</th> <th>DOCUMENTO</th> <th>REV.</th> <th>FOGLIO</th> </tr> </thead> <tbody> <tr> <td>IF1N</td> <td>01 E ZZ</td> <td>CL</td> <td>VI0605 020</td> <td>B</td> <td>33 di 137</td> </tr> </tbody> </table>	COMMESSA	LOTTO	CODIFICA	DOCUMENTO	REV.	FOGLIO	IF1N	01 E ZZ	CL	VI0605 020	B	33 di 137
COMMESSA	LOTTO	CODIFICA	DOCUMENTO	REV.	FOGLIO								
IF1N	01 E ZZ	CL	VI0605 020	B	33 di 137								

I valori caratteristici dei carichi attribuiti ai modelli di carico devono essere moltiplicati per coefficienti che tengono conto dell'amplificazione dinamica. I coefficienti di amplificazione dinamica Φ si assumono pari a Φ_2 o Φ_3 in dipendenza dal livello di manutenzione della linea. In particolare si assumerà:

- per linee con elevato standard manutentivo:
 $\Phi_2 = 1,44/(\sqrt{L_\Phi - 0,2}) + 0,82$ con limitazione $1,00 \leq \Phi_2 \leq 1,67$
- per linee con normale standard manutentivo:
 $\Phi_3 = 2,16/(\sqrt{L_\Phi - 0,2}) + 0,73$ con limitazione $1,00 \leq \Phi_3 \leq 2,00$

Pile con snellezza $\lambda \leq 30$, spalle, fondazioni, muri di sostegno e spinte del terreno possono essere calcolate assumendo coefficienti dinamici unitari.

l pila	9.4	m4	inerzia pila
A pila	10.425	m2	area sez. pila
r_pila	0.95	m	raggio inerzia
H pila	8.9	m	altezza max
λ pila	18.7	< 30	snellezza

	<u>IMPALCATO "A"</u>	<u>IMPALCATO "B"</u>
Standard manutentivo =	<i>Normale</i>	<i>Normale</i>

Valori adottati:

Φ elevazione =	1.00	1.00
Φ fondazioni =	1.00	1.00

  	ITINERARIO NAPOLI – BARI RADDOPPIO TRATTA CANCELLO – BENEVENTO I° LOTTO FUNZIONALE CANCELLO - FRASSO TELESINO E VARIANTE ALLA LINEA ROMA-NAPOLI VIA CASSINO NEL COMUNE DI MADDALONI – PROGETTO ESECUTIVO					
	Pile 27 e 28: Relazione di calcolo	COMMESSA IF1N	LOTTO 01 E ZZ	CODIFICA CL	DOCUMENTO VI0605 020	REV. B

6.3.1 CARICHI VERTICALI DA TRAFFICO (Q1)

Di seguito si riportano i risultati delle reazioni vincolari per le diverse disposizioni di carico considerate e descritte precedentemente nel §6.3.

6.3.1.1 DISPOSIZIONE DI CARICO 1 (Q11)

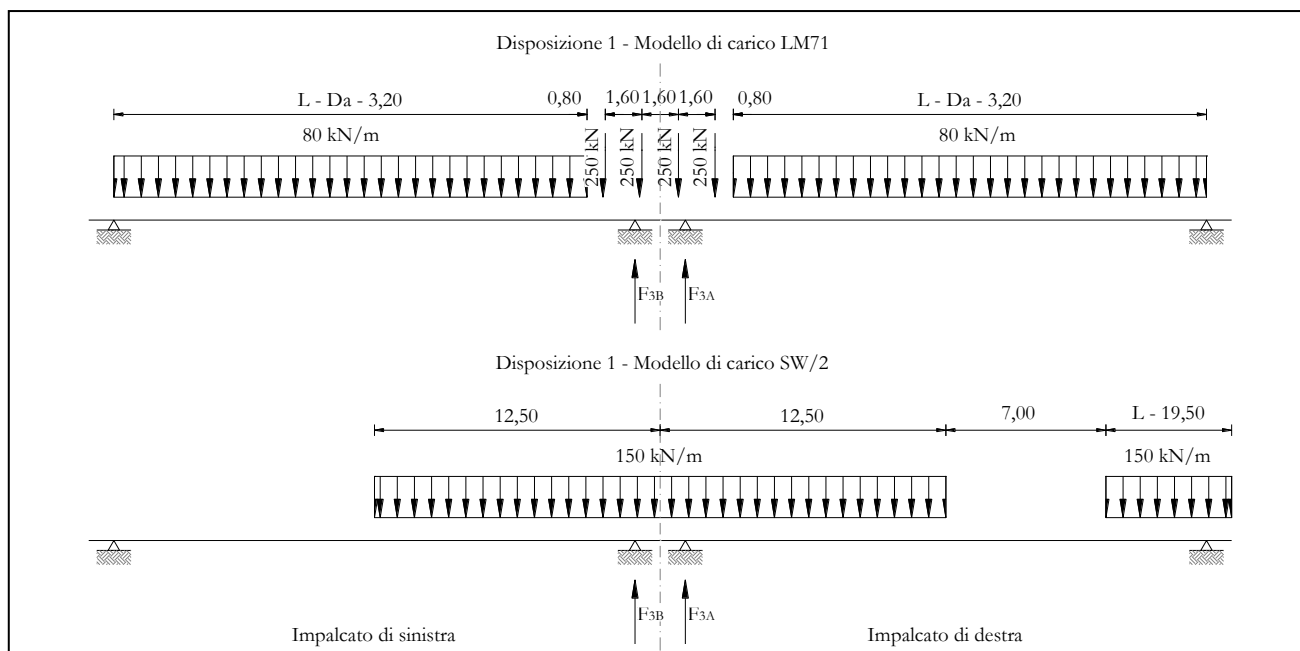


Figura 16 – Disposizione di carico 1

IMPALCATO-SX

Reazioni vincolari B

IMPALCATO-DX

Reazioni vincolari A

Modello di carico LM71

F3 =	1240,77	kN	1240,77	kN
α =	1,10		1,10	
eccentricità =	-1,92	m	-1,92	m

Modello di carico SW/2

F3 =	1451,48	kN	1511,18	kN
α =	1,00		1,00	
eccentricità =	2,00	m	2,00	m

  	ITINERARIO NAPOLI – BARI RADDOPPIO TRATTA CANCELLO – BENEVENTO I° LOTTO FUNZIONALE CANCELLO - FRASSO TELESINO E VARIANTE ALLA LINEA ROMA-NAPOLI VIA CASSINO NEL COMUNE DI MADDALONI – PROGETTO ESECUTIVO												
Pile 27 e 28: Relazione di calcolo	<table border="1"> <thead> <tr> <th>COMMESSA</th> <th>LOTTO</th> <th>CODIFICA</th> <th>DOCUMENTO</th> <th>REV.</th> <th>FOGLIO</th> </tr> </thead> <tbody> <tr> <td>IF1N</td> <td>01 E ZZ</td> <td>CL</td> <td>VI0605 020</td> <td>B</td> <td>35 di 137</td> </tr> </tbody> </table>	COMMESSA	LOTTO	CODIFICA	DOCUMENTO	REV.	FOGLIO	IF1N	01 E ZZ	CL	VI0605 020	B	35 di 137
COMMESSA	LOTTO	CODIFICA	DOCUMENTO	REV.	FOGLIO								
IF1N	01 E ZZ	CL	VI0605 020	B	35 di 137								

Coeff. di amplificazione dinamica

$\varphi =$ 1,00 1,00

Reazioni vincolari carichi variabili verticali

F3 = 2816,33 kN 2876,03 kN

Risultanti reazioni vincolari

F1 = 0 0
F2 = 0 0
F3 = 2816 kN 2876 kN
M1 = 282 kNm 402 kNm
M2 = 0 0
M3 = 0 0

  	ITINERARIO NAPOLI – BARI RADDOPPIO TRATTA CANCELLO – BENEVENTO I° LOTTO FUNZIONALE CANCELLO - FRASSO TELESINO E VARIANTE ALLA LINEA ROMA-NAPOLI VIA CASSINO NEL COMUNE DI MADDALONI – PROGETTO ESECUTIVO					
	Pile 27 e 28: Relazione di calcolo	COMMESSA IF1N	LOTTO 01 E ZZ	CODIFICA CL	DOCUMENTO VI0605 020	REV. B

6.3.1.2 DISPOSIZIONE DI CARICO 1 (Q12)

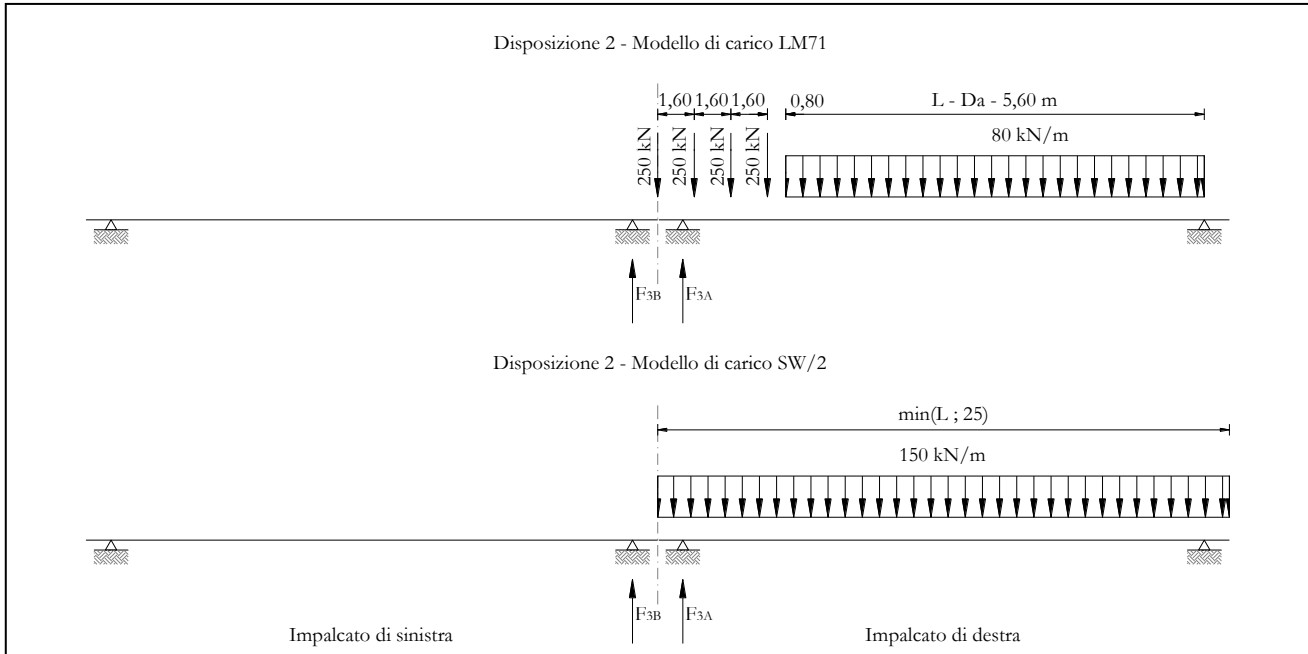


Figura 17 – Disposizione di carico 2

	IMPALCATO-SX		IMPALCATO-DX	
	Reazioni vincolari B		Reazioni vincolari A	

Modello di carico LM71

F3 =	0,00	kN	1530,51	kN
α =	1,10		1,10	
eccentricità =	-1,92	m	-1,92	m

Modello di carico SW/2

F3 =	0,00	kN	1875,00	kN
α =	1,00		1,00	
eccentricità =	2,00	m	2,00	m

Coeff. di amplificazione dinamica

  	ITINERARIO NAPOLI – BARI RADDOPPIO TRATTA CANCELLO – BENEVENTO I° LOTTO FUNZIONALE CANCELLO - FRASSO TELESINO E VARIANTE ALLA LINEA ROMA-NAPOLI VIA CASSINO NEL COMUNE DI MADDALONI – PROGETTO ESECUTIVO												
Pile 27 e 28: Relazione di calcolo	<table border="1"> <thead> <tr> <th>COMMESSA</th> <th>LOTTO</th> <th>CODIFICA</th> <th>DOCUMENTO</th> <th>REV.</th> <th>FOGLIO</th> </tr> </thead> <tbody> <tr> <td>IF1N</td> <td>01 E ZZ</td> <td>CL</td> <td>VI0605 020</td> <td>B</td> <td>37 di 137</td> </tr> </tbody> </table>	COMMESSA	LOTTO	CODIFICA	DOCUMENTO	REV.	FOGLIO	IF1N	01 E ZZ	CL	VI0605 020	B	37 di 137
COMMESSA	LOTTO	CODIFICA	DOCUMENTO	REV.	FOGLIO								
IF1N	01 E ZZ	CL	VI0605 020	B	37 di 137								

$\varphi =$ 1,00 1,00

Reazioni vincolari carichi variabili verticali

F3 = 0,00 kN 3558,56 kN

Risultanti reazioni vincolari

F1 = 0 0
F2 = 0 0
F3 = 0 kN 3559 kN
M1 = 0 kNm 518 kNm
M2 = 0 0
M3 = 0 0

  	ITINERARIO NAPOLI – BARI RADDOPPIO TRATTA CANCELLO – BENEVENTO I° LOTTO FUNZIONALE CANCELLO - FRASSO TELESINO E VARIANTE ALLA LINEA ROMA-NAPOLI VIA CASSINO NEL COMUNE DI MADDALONI – PROGETTO ESECUTIVO					
	Pile 27 e 28: Relazione di calcolo	COMMESSA IF1N	LOTTO 01 E ZZ	CODIFICA CL	DOCUMENTO VI0605 020	REV. B

6.3.1.3 DISPOSIZIONE DI CARICO 1 (Q13)

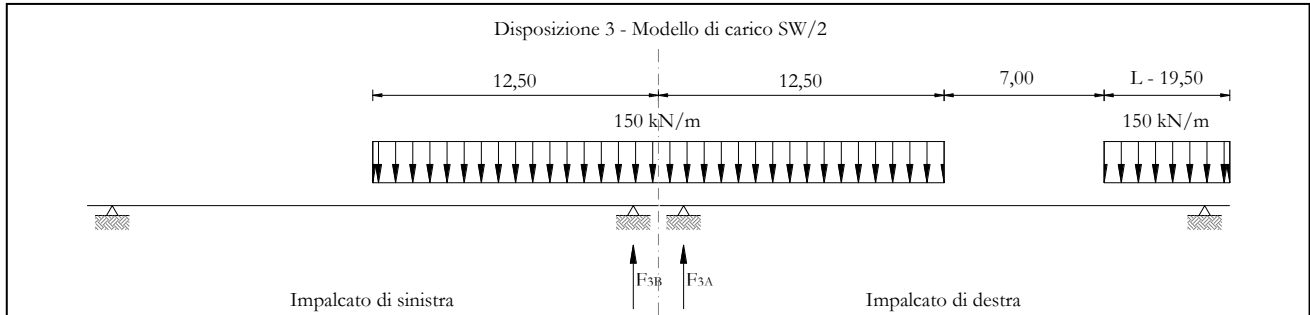


Figura 18 – Disposizione di carico 3

IMPALCATO-SX

Reazioni vincolari B

IMPALCATO-DX

Reazioni vincolari A

Modello di carico LM71

F3 =	0,00	kN	0,00	kN
α =	1,10		1,10	
eccentricità =	-1,92	m	-1,92	m

Modello di carico SW/2

F3 =	1451,48	kN	1511,18	kN
α =	1,00		1,00	
eccentricità =	2,00	m	2,00	m

Coeff. di amplificazione dinamica

φ =	1,00		1,00	
-------------	------	--	------	--

Reazioni vincolari carichi variabili verticali

F3 =	1451,48	kN	1511,18	kN
------	---------	----	---------	----

Risultanti reazioni vincolari

F1 =	0		0	
------	---	--	---	--

Ghella



ITINERA

ITINERARIO NAPOLI – BARI

RADDOPPIO TRATTA CANCELLO – BENEVENTO

**I° LOTTO FUNZIONALE CANCELLO - FRASSO TELESINO E
VARIANTE ALLA LINEA ROMA-NAPOLI VIA CASSINO NEL
COMUNE DI MADDALONI – PROGETTO ESECUTIVO**

Pile 27 e 28: Relazione di calcolo

COMMESSA	LOTTO	CODIFICA	DOCUMENTO	REV.	FOGLIO
IF1N	01 E ZZ	CL	VI0605 020	B	39 di 137

F2 =	0		0	
F3 =	1451	kN	1511	kN
M1 =	2903	kNm	3022	kNm
M2 =	0		0	
M3 =	0		0	

  	ITINERARIO NAPOLI – BARI RADDOPPIO TRATTA CANCELLO – BENEVENTO I° LOTTO FUNZIONALE CANCELLO - FRASSO TELESINO E VARIANTE ALLA LINEA ROMA-NAPOLI VIA CASSINO NEL COMUNE DI MADDALONI – PROGETTO ESECUTIVO					
	Pile 27 e 28: Relazione di calcolo	COMMESSA IF1N	LOTTO 01 E ZZ	CODIFICA CL	DOCUMENTO VI0605 020	REV. B

6.3.1.4 DISPOSIZIONE DI CARICO 1 (Q14)

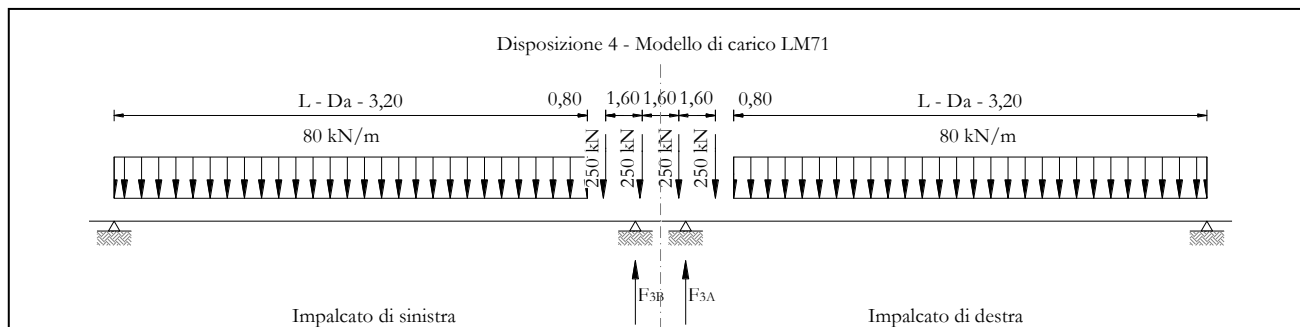


Figura 19 – Disposizione di carico 4

	IMPALCATO-SX		IMPALCATO-DX	
	Reazioni vincolari B		Reazioni vincolari A	
Modello di carico LM71				
F3 =	1240,77	kN	1240,77	kN
α =	1,10		1,10	
eccentricità =	2,08	m	2,08	m
Modello di carico SW/2				
F3 =	0,00	kN	0,00	kN
α =	1,00		1,00	
eccentricità =	-2,00	m	-2,00	m
Coeff. di amplificazione dinamica				
φ =	1,00		1,00	
Reazioni vincolari carichi variabili verticali				
F3 =	1364,85	kN	1364,85	kN
Risultanti reazioni vincolari				

Ghella



ITINERA

ITINERARIO NAPOLI – BARI

RADDOPPIO TRATTA CANCELLO – BENEVENTO

**I° LOTTO FUNZIONALE CANCELLO - FRASSO TELESINO E
VARIANTE ALLA LINEA ROMA-NAPOLI VIA CASSINO NEL
COMUNE DI MADDALONI – PROGETTO ESECUTIVO**

Pile 27 e 28: Relazione di calcolo

COMMESSA	LOTTO	CODIFICA	DOCUMENTO	REV.	FOGLIO
IF1N	01 E ZZ	CL	VI0605 020	B	41 di 137

F1 =	0		0	
F2 =	0		0	
F3 =	1365	kN	1365	kN
M1 =	2839	kNm	2839	kNm
M2 =	0		0	
M3 =	0		0	

  	ITINERARIO NAPOLI – BARI RADDOPPIO TRATTA CANCELLO – BENEVENTO I° LOTTO FUNZIONALE CANCELLO - FRASSO TELESINO E VARIANTE ALLA LINEA ROMA-NAPOLI VIA CASSINO NEL COMUNE DI MADDALONI – PROGETTO ESECUTIVO					
	Pile 27 e 28: Relazione di calcolo	COMMESSA IF1N	LOTTO 01 E ZZ	CODIFICA CL	DOCUMENTO VI0605 020	REV. B

6.3.1.5 DISPOSIZIONE DI CARICO 1 (Q15)

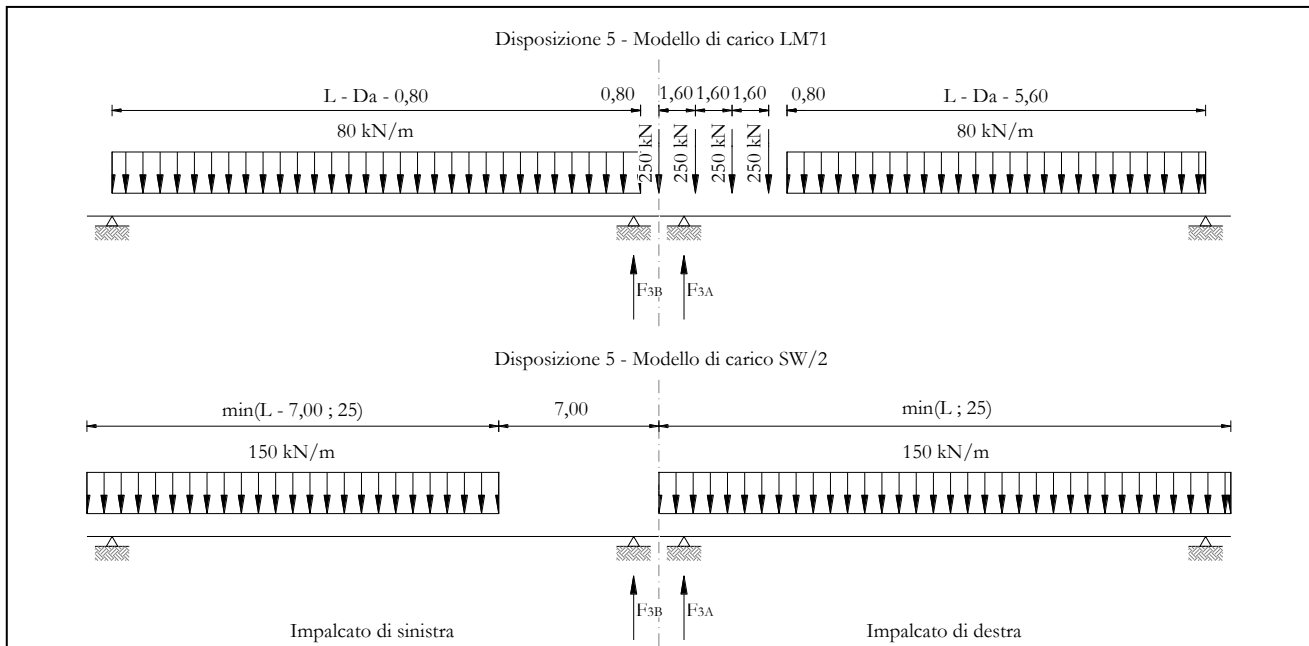


Figura 20 – Disposizione di carico 5

	IMPALCATO-SX		IMPALCATO-DX	
	Reazioni vincolari B		Reazioni vincolari A	

Modello di carico LM71

F3 =	936,16	kN	1530,51	kN
α =	1,10		1,10	
eccentricità =	2,08	m	-1,92	m

Modello di carico SW/2

F3 =	935,53	kN	1875,00	kN
α =	1,00		1,00	
eccentricità =	-2,00	m	2,00	m

Coeff. di amplificazione dinamica

ϕ =	1,00		1,00	
----------	------	--	------	--

  	ITINERARIO NAPOLI – BARI RADDOPPIO TRATTA CANCELLO – BENEVENTO I° LOTTO FUNZIONALE CANCELLO - FRASSO TELESINO E VARIANTE ALLA LINEA ROMA-NAPOLI VIA CASSINO NEL COMUNE DI MADDALONI – PROGETTO ESECUTIVO												
Pile 27 e 28: Relazione di calcolo	<table border="1"> <thead> <tr> <th>COMMESSA</th> <th>LOTTO</th> <th>CODIFICA</th> <th>DOCUMENTO</th> <th>REV.</th> <th>FOGLIO</th> </tr> </thead> <tbody> <tr> <td>IF1N</td> <td>01 E ZZ</td> <td>CL</td> <td>VI0605 020</td> <td>B</td> <td>43 di 137</td> </tr> </tbody> </table>	COMMESSA	LOTTO	CODIFICA	DOCUMENTO	REV.	FOGLIO	IF1N	01 E ZZ	CL	VI0605 020	B	43 di 137
COMMESSA	LOTTO	CODIFICA	DOCUMENTO	REV.	FOGLIO								
IF1N	01 E ZZ	CL	VI0605 020	B	43 di 137								

Reazioni vincolari carichi variabili verticali

F3 = 1965,30 kN 3558,56 kN

Risultanti reazioni vincolari

F1 = 0 0
F2 = 0 0
F3 = 1965 kN 3559 kN
M1 = 271 kNm 518 kNm
M2 = 0 0
M3 = 0 0

6.3.1.6 DISPOSIZIONE DI CARICO 1 (Q16)

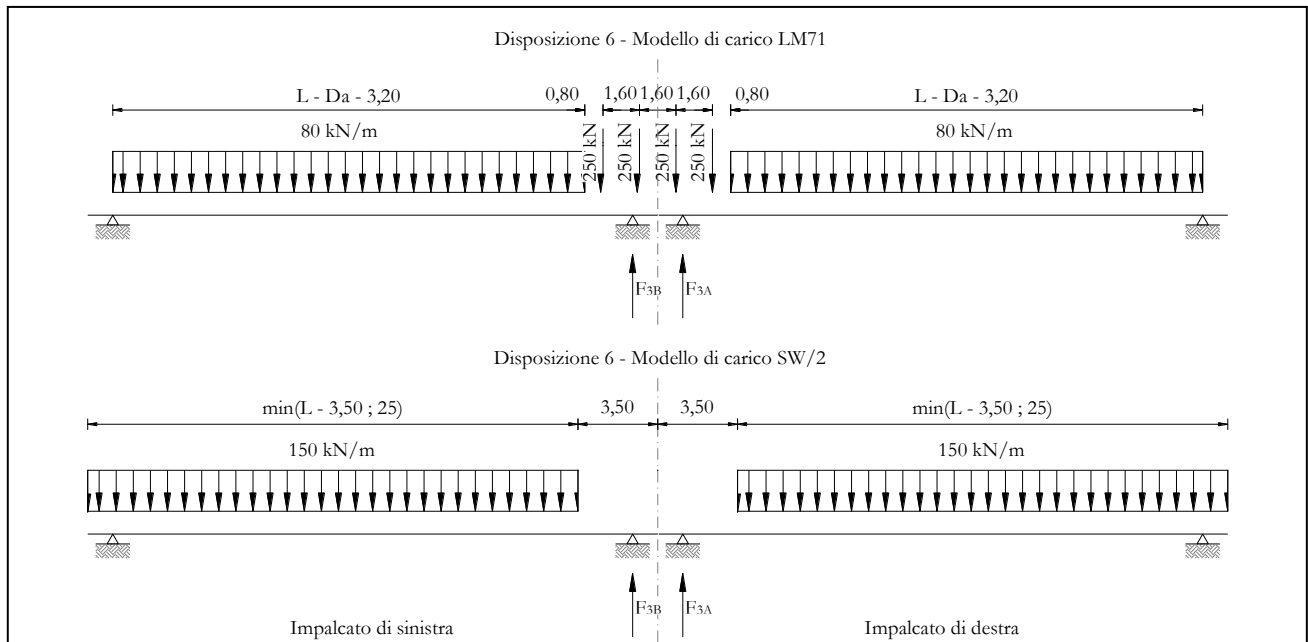


Figura 21 – Disposizione di carico 6

IMPALCATO-SX

Reazioni vincolari B

IMPALCATO-DX

Reazioni vincolari A

Modello di carico LM71

F3 =	1240,77	kN	1240,77	kN
α =	1,10		1,10	
eccentricità =	-1,92	m	-1,92	m

Modello di carico SW/2

F3 =	1364,97	kN	1364,97	kN
α =	1,00		1,00	
eccentricità =	2,00	m	2,00	m

Coeff. di amplificazione dinamica

φ =	1,00		1,00	
-------------	------	--	------	--

  	ITINERARIO NAPOLI – BARI RADDOPPIO TRATTA CANCELLO – BENEVENTO I° LOTTO FUNZIONALE CANCELLO - FRASSO TELESINO E VARIANTE ALLA LINEA ROMA-NAPOLI VIA CASSINO NEL COMUNE DI MADDALONI – PROGETTO ESECUTIVO												
Pile 27 e 28: Relazione di calcolo	<table border="1"> <thead> <tr> <th>COMMESSA</th> <th>LOTTO</th> <th>CODIFICA</th> <th>DOCUMENTO</th> <th>REV.</th> <th>FOGLIO</th> </tr> </thead> <tbody> <tr> <td>IF1N</td> <td>01 E ZZ</td> <td>CL</td> <td>VI0605 020</td> <td>B</td> <td>45 di 137</td> </tr> </tbody> </table>	COMMESSA	LOTTO	CODIFICA	DOCUMENTO	REV.	FOGLIO	IF1N	01 E ZZ	CL	VI0605 020	B	45 di 137
COMMESSA	LOTTO	CODIFICA	DOCUMENTO	REV.	FOGLIO								
IF1N	01 E ZZ	CL	VI0605 020	B	45 di 137								

Reazioni vincolari carichi variabili verticali

F3 = 2729,82 kN 2729,82 kN

Risultanti reazioni vincolari

F1 = 0 0
F2 = 0 0
F3 = 2730 kN 2730 kN
M1 = 109 kNm 109 kNm
M2 = 0 0
M3 = 0 0

   	ITINERARIO NAPOLI – BARI RADDOPPIO TRATTA CANCELLO – BENEVENTO I° LOTTO FUNZIONALE CANCELLO - FRASSO TELESINO E VARIANTE ALLA LINEA ROMA-NAPOLI VIA CASSINO NEL COMUNE DI MADDALONI – PROGETTO ESECUTIVO					
	Pile 27 e 28: Relazione di calcolo	COMMESSA IF1N	LOTTO 01 E ZZ	CODIFICA CL	DOCUMENTO VI0605 020	REV. B

6.3.1.7 DISPOSIZIONE DI CARICO 1 (Q17)

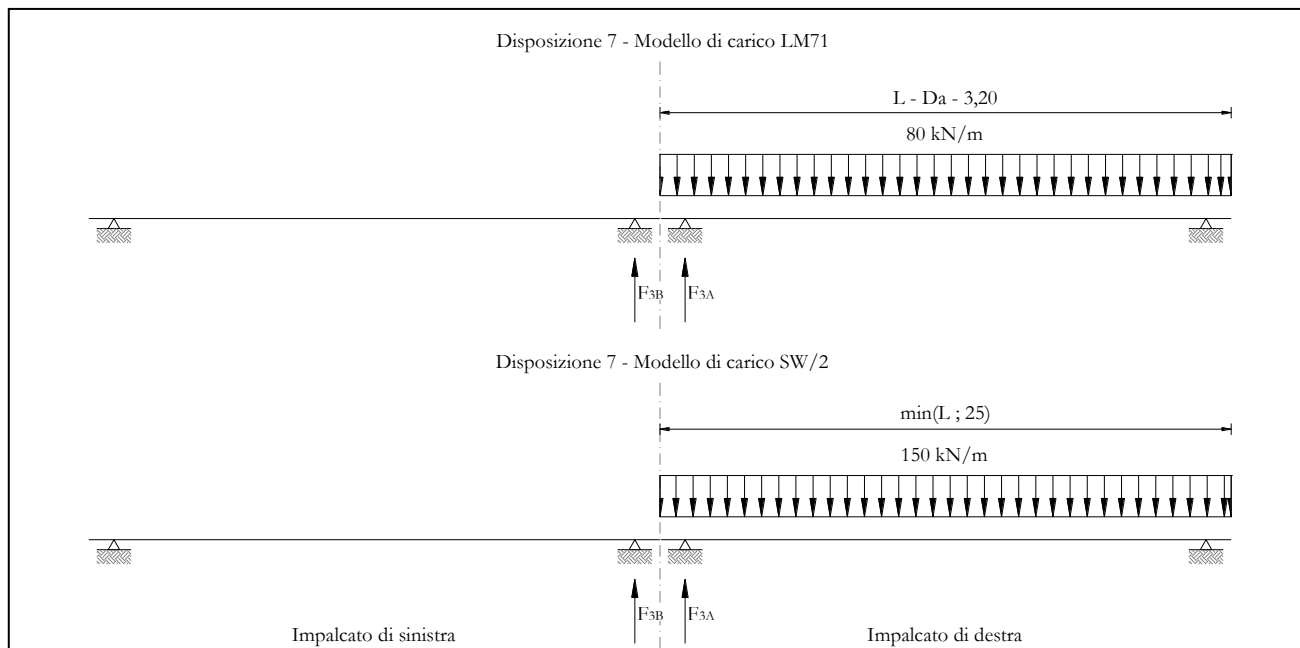


Figura 22 – Disposizione di carico 7

	IMPALCATO-SX		IMPALCATO-DX	
	Reazioni vincolari B		Reazioni vincolari A	

Modello di carico LM71

F3 =	0,00	kN	1002,12	kN
α =	1,10		1,10	
eccentricità =	-1,92	m	-1,92	m

Modello di carico SW/2

F3 =	0,00	kN	1875,00	kN
α =	1,00		1,00	
eccentricità =	2,00	m	2,00	m

Coeff. di amplificazione dinamica

φ =	1,00		1,00	
-------------	------	--	------	--

  	ITINERARIO NAPOLI – BARI RADDOPPIO TRATTA CANCELLO – BENEVENTO I° LOTTO FUNZIONALE CANCELLO - FRASSO TELESINO E VARIANTE ALLA LINEA ROMA-NAPOLI VIA CASSINO NEL COMUNE DI MADDALONI – PROGETTO ESECUTIVO												
Pile 27 e 28: Relazione di calcolo	<table border="1"> <thead> <tr> <th>COMMESSA</th> <th>LOTTO</th> <th>CODIFICA</th> <th>DOCUMENTO</th> <th>REV.</th> <th>FOGLIO</th> </tr> </thead> <tbody> <tr> <td>IF1N</td> <td>01 E ZZ</td> <td>CL</td> <td>VI0605 020</td> <td>B</td> <td>47 di 137</td> </tr> </tbody> </table>	COMMESSA	LOTTO	CODIFICA	DOCUMENTO	REV.	FOGLIO	IF1N	01 E ZZ	CL	VI0605 020	B	47 di 137
COMMESSA	LOTTO	CODIFICA	DOCUMENTO	REV.	FOGLIO								
IF1N	01 E ZZ	CL	VI0605 020	B	47 di 137								

Reazioni vincolari carichi variabili verticali

F3 = 0,00 kN 2977,34 kN

Risultanti reazioni vincolari

F1 = 0 0
F2 = 0 0
F3 = 0 kN 2977 kN
M1 = 0 kNm 1634 kNm
M2 = 0 0
M3 = 0 0

  	ITINERARIO NAPOLI – BARI RADDOPPIO TRATTA CANCELLO – BENEVENTO I° LOTTO FUNZIONALE CANCELLO - FRASSO TELESINO E VARIANTE ALLA LINEA ROMA-NAPOLI VIA CASSINO NEL COMUNE DI MADDALONI – PROGETTO ESECUTIVO												
Pile 27 e 28: Relazione di calcolo	<table border="1"> <thead> <tr> <th>COMMESSA</th> <th>LOTTO</th> <th>CODIFICA</th> <th>DOCUMENTO</th> <th>REV.</th> <th>FOGLIO</th> </tr> </thead> <tbody> <tr> <td>IF1N</td> <td>01 E ZZ</td> <td>CL</td> <td>VI0605 020</td> <td>B</td> <td>48 di 137</td> </tr> </tbody> </table>	COMMESSA	LOTTO	CODIFICA	DOCUMENTO	REV.	FOGLIO	IF1N	01 E ZZ	CL	VI0605 020	B	48 di 137
COMMESSA	LOTTO	CODIFICA	DOCUMENTO	REV.	FOGLIO								
IF1N	01 E ZZ	CL	VI0605 020	B	48 di 137								

6.3.2 AZIONI DI AVVIAMENTO E FRENATURA (Q2)

La azioni di frenatura e avviamento sono costituite da forze uniformemente distribuite su una lunghezza di binario L determinata per ottenere l'effetto più gravoso sull'elemento strutturale considerato. I valori da considerare sono i seguenti:

- avviamento: $Q_{la,k} = 33 \text{ kN/m} \cdot L \leq 1000 \text{ kN}$ per i modelli di carico LM71,SW/2
- frenatura: $Q_{lb,k} = 20 \text{ kN/m} \cdot L \leq 6000 \text{ kN}$ per i modelli di carico LM71
 $Q_{lb,k} = 35 \text{ kN/m}$ per i modelli di carico SW/2

I valori caratteristici dell'azione di frenatura e di avviamento devono essere moltiplicati per α e non devono essere moltiplicati per Φ .

Nel caso di ponti a doppio binario si devono considerare due treni in transito in versi opposti, uno in fase di avviamento e l'altro in fase di frenatura.

Gli effetti di interazione relativamente alle azioni di frenatura e avviamento si tengono conto applicando ai valori della risultante un coefficiente α_h che tiene conto del rapporto di rigidezza tra le pile del viadotto. Per la determinazione dei coefficienti si rimanda al §6.6.3 della presente relazione.

Nei sottoparagrafi che seguono si riportano i risultati delle reazioni vincolari per le diverse disposizioni di carico considerate e descritte precedentemente nel §6.3.

6.3.2.1 DISPOSIZIONE DI CARICO 1 (Q21)

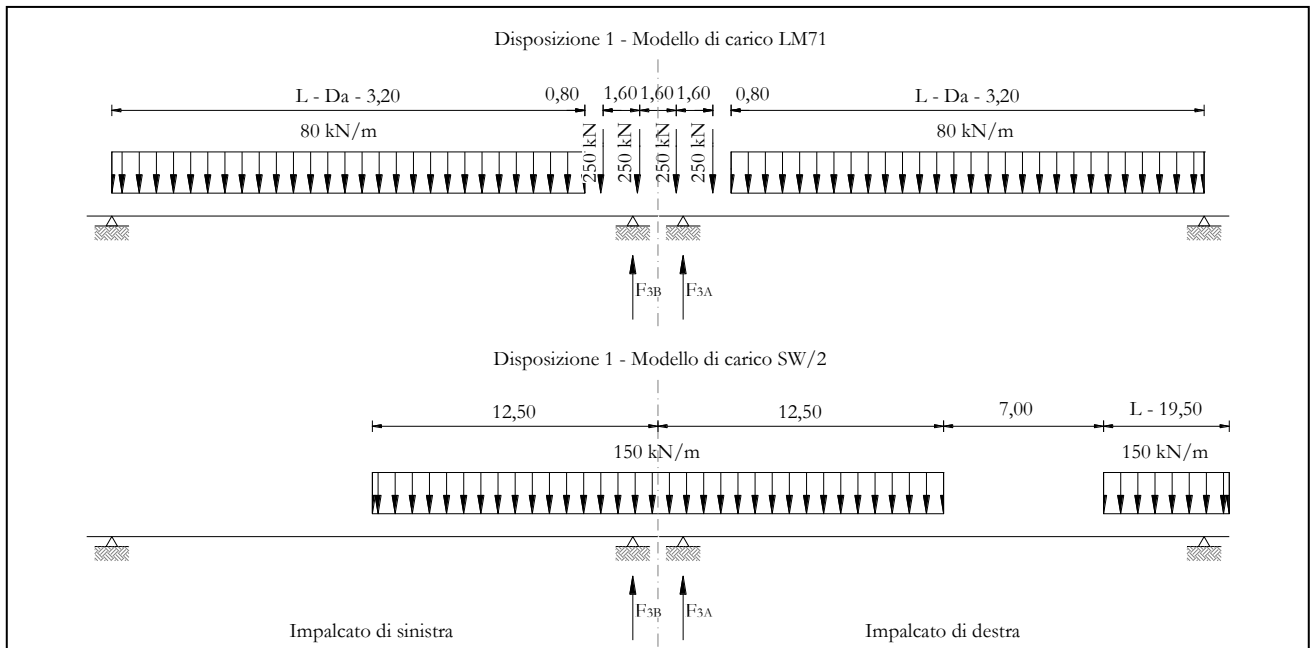


Figura 23 – Disposizione di carico 1

IMPALCATO-SX

Reazioni vincolari B

IMPALCATO-DX

Reazioni vincolari A

Avviamento LM71

$f_{avv} =$	33,00	kN/m	33,00	kN/m
$\alpha =$	1,10		1,10	
L caricata =	25,00	m	25,00	m
$F_{avv} (\text{max } 1000 \text{ kN}) =$	825,00	kN	825,00	kN
$F_1 =$	907,50	kN	907,50	kN

Avviamento SW/2

$f_{avv} =$	33,00	kN/m	33,00	kN/m
$\alpha =$	1,00		1,00	
L caricata =	12,50	m	18,00	m
$F_{avv} (\text{max } 1000 \text{ kN}) =$	412,50	kN	594,00	kN
$F_1 =$	412,50	kN	594,00	kN

  	ITINERARIO NAPOLI – BARI RADDOPPIO TRATTA CANCELLO – BENEVENTO I° LOTTO FUNZIONALE CANCELLO - FRASSO TELESINO E VARIANTE ALLA LINEA ROMA-NAPOLI VIA CASSINO NEL COMUNE DI MADDALONI – PROGETTO ESECUTIVO												
Pile 27 e 28: Relazione di calcolo	<table border="1"> <thead> <tr> <th>COMMESSA</th> <th>LOTTO</th> <th>CODIFICA</th> <th>DOCUMENTO</th> <th>REV.</th> <th>FOGLIO</th> </tr> </thead> <tbody> <tr> <td>IF1N</td> <td>01 E ZZ</td> <td>CL</td> <td>VI0605 020</td> <td>B</td> <td>50 di 137</td> </tr> </tbody> </table>	COMMESSA	LOTTO	CODIFICA	DOCUMENTO	REV.	FOGLIO	IF1N	01 E ZZ	CL	VI0605 020	B	50 di 137
COMMESSA	LOTTO	CODIFICA	DOCUMENTO	REV.	FOGLIO								
IF1N	01 E ZZ	CL	VI0605 020	B	50 di 137								

Frenatura LM71

f fren =	20,00	kN/m	20,00	kN/m
α =	1,10		1,10	
L caricata =	25,00	m	25,00	m
F fren (max 6000 kN) =	500,00	kN	500,00	kN
F1 =	550,00	kN	550,00	kN

Frenatura SW/2

f fren =	35,00	kN/m	35,00	kN/m
α =	1,00		1,00	
L caricata =	12,50	m	18,00	m
F fren =	437,50	kN	630,00	kN
F1 =	437,50	kN	630,00	kN

ahp interazione semplificata

ahp frenatura per LM71 =	1,60		1,60	
ahp frenatura per SW/2 =	1,30		1,30	
ahp avviam. per LM71 SW/2 =	1,12		1,12	

Forza totale di avviamento e frenatura

F1 =	1585,15	kN	1835,40	kN
h rispetto a intradosso imp. =	3,28	m	3,28	m
tipologia vincolo =	UL		F	

Risultanti reazioni vincolari

F1 =	0	kN	-1835	kN
F2 =	0		0	
F3 =	228	kN	-264	kN
M1 =	0		0	
M2 =	0		0	
M3 =	0		0	

  	ITINERARIO NAPOLI – BARI RADDOPPIO TRATTA CANCELLO – BENEVENTO I° LOTTO FUNZIONALE CANCELLO - FRASSO TELESINO E VARIANTE ALLA LINEA ROMA-NAPOLI VIA CASSINO NEL COMUNE DI MADDALONI – PROGETTO ESECUTIVO					
	Pile 27 e 28: Relazione di calcolo	COMMESSA IF1N	LOTTO 01 E ZZ	CODIFICA CL	DOCUMENTO VI0605 020	REV. B

6.3.2.2 DISPOSIZIONE DI CARICO 2 (Q22)

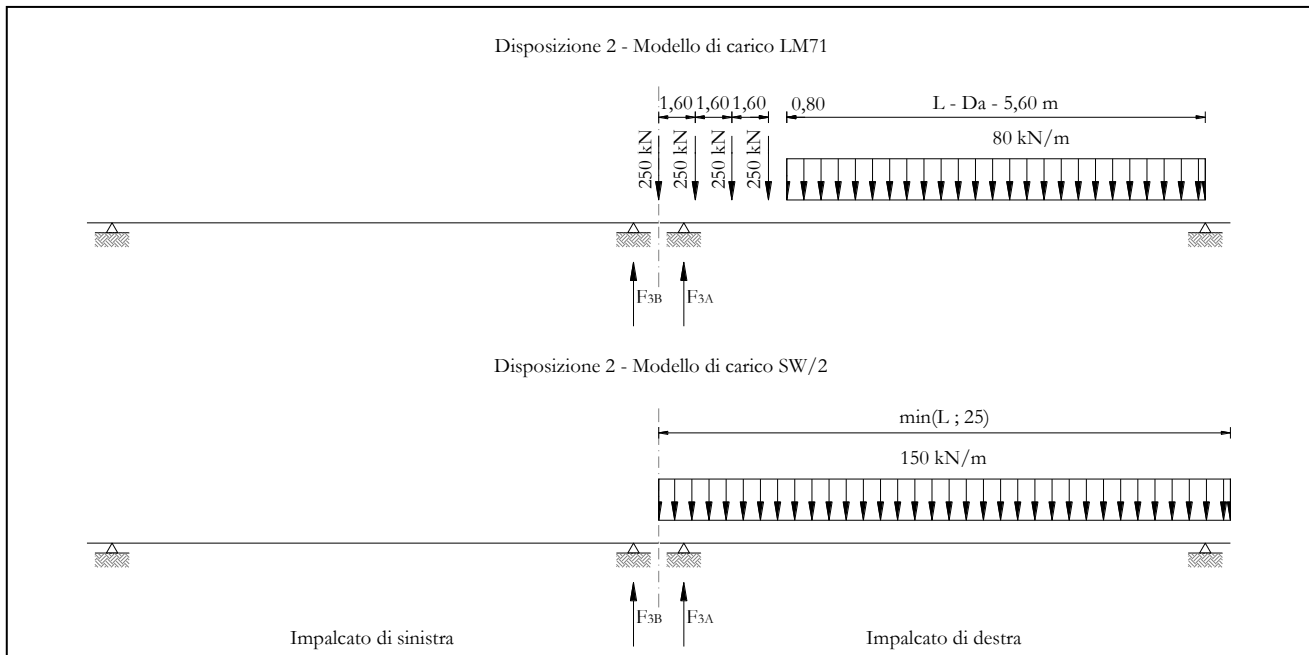


Figura 24 – Disposizione di carico 2

	IMPALCATO-SX	IMPALCATO-DX
	Reazioni vincolari B	Reazioni vincolari A

Avviamento LM71

f avv =	33,00	kN/m	33,00	kN/m
α =	1,10		1,10	
L caricata =	0,00	m	25,00	m
F avv (max 1000 kN) =	0,00	kN	825,00	kN
F1 =	0,00	kN	907,50	kN

Avviamento SW/2

f avv =	33,00	kN/m	33,00	kN/m
α =	1,00		1,00	
L caricata =	0,00	m	25,00	m
F avv (max 1000 kN) =	0,00	kN	825,00	kN
F1 =	0,00	kN	825,00	kN

  	ITINERARIO NAPOLI – BARI RADDOPPIO TRATTA CANCELLO – BENEVENTO I° LOTTO FUNZIONALE CANCELLO - FRASSO TELESINO E VARIANTE ALLA LINEA ROMA-NAPOLI VIA CASSINO NEL COMUNE DI MADDALONI – PROGETTO ESECUTIVO												
Pile 27 e 28: Relazione di calcolo	<table border="1"> <thead> <tr> <th>COMMESSA</th> <th>LOTTO</th> <th>CODIFICA</th> <th>DOCUMENTO</th> <th>REV.</th> <th>FOGLIO</th> </tr> </thead> <tbody> <tr> <td>IF1N</td> <td>01 E ZZ</td> <td>CL</td> <td>VI0605 020</td> <td>B</td> <td>52 di 137</td> </tr> </tbody> </table>	COMMESSA	LOTTO	CODIFICA	DOCUMENTO	REV.	FOGLIO	IF1N	01 E ZZ	CL	VI0605 020	B	52 di 137
COMMESSA	LOTTO	CODIFICA	DOCUMENTO	REV.	FOGLIO								
IF1N	01 E ZZ	CL	VI0605 020	B	52 di 137								

Frenatura LM71

f fren =	20,00	kN/m	20,00	kN/m
α =	1,10		1,10	
L caricata =	0,00	m	25,00	m
F fren (max 6000 kN) =	0,00	kN	500,00	kN
F1 =	0,00	kN	550,00	kN

Frenatura SW/2

f fren =	35,00	kN/m	35,00	kN/m
α =	1,00		1,00	
L caricata =	0,00	m	25,00	m
F fren =	0,00	kN	875,00	kN
F1 =	0,00	kN	875,00	kN

ahp interazione semplificata

ahp frenatura per LM71 =	1,60		1,60	
ahp frenatura per SW/2 =	1,30		1,30	
ahp avviam. per LM71 SW/2 =	1,12		1,12	

Forza totale di avviamento e frenatura

F1 =	0,00	kN	2153,90	kN
h rispetto a intradosso imp. =	3,28	m	3,28	m
tipologia vincolo =	UL		F	

Risultanti reazioni vincolari

F1 =	0	kN	-2154	kN
F2 =	0		0	
F3 =	0	kN	-310	kN
M1 =	0		0	
M2 =	0		0	
M3 =	0		0	

  	ITINERARIO NAPOLI – BARI RADDOPPIO TRATTA CANCELLO – BENEVENTO I° LOTTO FUNZIONALE CANCELLO - FRASSO TELESINO E VARIANTE ALLA LINEA ROMA-NAPOLI VIA CASSINO NEL COMUNE DI MADDALONI – PROGETTO ESECUTIVO					
	Pile 27 e 28: Relazione di calcolo	COMMESSA IF1N	LOTTO 01 E ZZ	CODIFICA CL	DOCUMENTO VI0605 020	REV. B

6.3.2.3 DISPOSIZIONE DI CARICO 3 (Q23)

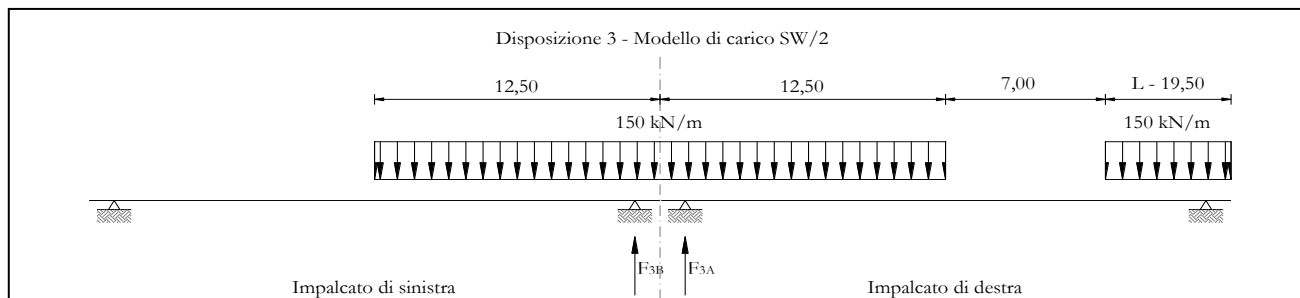


Figura 25 – Disposizione di carico 3

	IMPALCATO-SX		IMPALCATO-DX	
	Reazioni vincolari B		Reazioni vincolari A	
Avviamento LM71				
f avv =	33,00	kN/m	33,00	kN/m
α =	1,10		1,10	
L caricata =	0,00	m	0,00	m
F avv (max 1000 kN) =	0,00	kN	0,00	kN
F1 =	0,00	kN	0,00	kN
Avviamento SW/2				
f avv =	33,00	kN/m	33,00	kN/m
α =	1,00		1,00	
L caricata =	12,50	m	18,00	m
F avv (max 1000 kN) =	412,50	kN	594,00	kN
F1 =	412,50	kN	594,00	kN
Frenatura LM71				
f fren =	20,00	kN/m	20,00	kN/m
α =	1,10		1,10	
L caricata =	0,00	m	0,00	m

  	ITINERARIO NAPOLI – BARI RADDOPPIO TRATTA CANCELLO – BENEVENTO I° LOTTO FUNZIONALE CANCELLO - FRASSO TELESINO E VARIANTE ALLA LINEA ROMA-NAPOLI VIA CASSINO NEL COMUNE DI MADDALONI – PROGETTO ESECUTIVO												
Pile 27 e 28: Relazione di calcolo	<table border="1"> <thead> <tr> <th>COMMESSA</th> <th>LOTTO</th> <th>CODIFICA</th> <th>DOCUMENTO</th> <th>REV.</th> <th>FOGLIO</th> </tr> </thead> <tbody> <tr> <td>IF1N</td> <td>01 E ZZ</td> <td>CL</td> <td>VI0605 020</td> <td>B</td> <td>54 di 137</td> </tr> </tbody> </table>	COMMESSA	LOTTO	CODIFICA	DOCUMENTO	REV.	FOGLIO	IF1N	01 E ZZ	CL	VI0605 020	B	54 di 137
COMMESSA	LOTTO	CODIFICA	DOCUMENTO	REV.	FOGLIO								
IF1N	01 E ZZ	CL	VI0605 020	B	54 di 137								

F fren (max 6000 kN) = 0,00 kN 0,00 kN

F1 = 0,00 kN 0,00 kN

Frenatura SW/2

f fren = 35,00 kN/m 35,00 kN/m

α = 1,00 1,00

L caricata = 12,50 m 18,00 m

F fren = 437,50 kN 630,00 kN

F1 = 437,50 kN 630,00 kN

ahp interazione semplificata

ahp frenatura per LM71 = 1,60 1,60

ahp frenatura per SW/2 = 1,30 1,30

ahp avviam. per LM71 SW/2 = 1,12 1,12

Forza totale di avviamento e frenatura

F1 = 568,75 kN 819,00 kN

h rispetto a intradosso imp. = 3,28 m 3,28 m

tipologia vincolo = UL F

Risultanti reazioni vincolari

F1 = 0 kN -819 kN

F2 = 0 0

F3 = 82 kN -118 kN

M1 = 0 0

M2 = 0 0

M3 = 0 0

  	ITINERARIO NAPOLI – BARI RADDOPPIO TRATTA CANCELLO – BENEVENTO I° LOTTO FUNZIONALE CANCELLO - FRASSO TELESINO E VARIANTE ALLA LINEA ROMA-NAPOLI VIA CASSINO NEL COMUNE DI MADDALONI – PROGETTO ESECUTIVO					
	Pile 27 e 28: Relazione di calcolo	COMMESSA IF1N	LOTTO 01 E ZZ	CODIFICA CL	DOCUMENTO VI0605 020	REV. B

6.3.2.4 DISPOSIZIONE DI CARICO 4 (Q24)

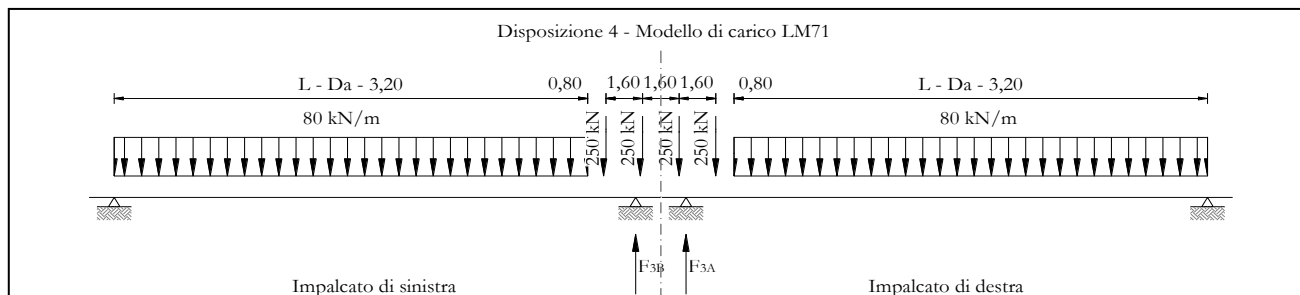


Figura 26 – Disposizione di carico 4

	IMPALCATO-SX		IMPALCATO-DX	
	Reazioni vincolari B		Reazioni vincolari A	

Avviamento LM71

f avv =	33,00	kN/m	33,00	kN/m
α =	1,10		1,10	
L caricata =	25,00	m	25,00	m
F avv (max 1000 kN) =	825,00	kN	825,00	kN
F1 =	907,50	kN	907,50	kN

Avviamento SW/2

f avv =	33,00	kN/m	33,00	kN/m
α =	1,00		1,00	
L caricata =	0,00	m	0,00	m
F avv (max 1000 kN) =	0,00	kN	0,00	kN
F1 =	0,00	kN	0,00	kN

Frenatura LM71

f fren =	20,00	kN/m	20,00	kN/m
α =	1,10		1,10	
L caricata =	25,00	m	25,00	m

  	ITINERARIO NAPOLI – BARI RADDOPPIO TRATTA CANCELLO – BENEVENTO I° LOTTO FUNZIONALE CANCELLO - FRASSO TELESINO E VARIANTE ALLA LINEA ROMA-NAPOLI VIA CASSINO NEL COMUNE DI MADDALONI – PROGETTO ESECUTIVO												
Pile 27 e 28: Relazione di calcolo	<table border="1"> <thead> <tr> <th>COMMESSA</th> <th>LOTTO</th> <th>CODIFICA</th> <th>DOCUMENTO</th> <th>REV.</th> <th>FOGLIO</th> </tr> </thead> <tbody> <tr> <td>IF1N</td> <td>01 E ZZ</td> <td>CL</td> <td>VI0605 020</td> <td>B</td> <td>56 di 137</td> </tr> </tbody> </table>	COMMESSA	LOTTO	CODIFICA	DOCUMENTO	REV.	FOGLIO	IF1N	01 E ZZ	CL	VI0605 020	B	56 di 137
COMMESSA	LOTTO	CODIFICA	DOCUMENTO	REV.	FOGLIO								
IF1N	01 E ZZ	CL	VI0605 020	B	56 di 137								

F fren (max 6000 kN) = 500,00 kN 500,00 kN

F1 = 550,00 kN 550,00 kN

Frenatura SW/2

f fren = 35,00 kN/m 35,00 kN/m

α = 1,00 1,00

L caricata = 0,00 m 0,00 m

F fren = 0,00 kN 0,00 kN

F1 = 0,00 kN 0,00 kN

ahp interazione semplificata

ahp frenatura per LM71 = 1,60 1,60

ahp frenatura per SW/2 = 1,30 1,30

ahp avviam. per LM71 SW/2 = 1,12 1,12

Forza totale di avviamento e frenatura

F1 = 1016,40 kN 1016,40 kN

h rispetto a intradosso imp. = 3,28 m 3,28 m

tipologia vincolo = UL F

Risultanti reazioni vincolari

F1 = 0 kN -1016 kN

F2 = 0 0

F3 = 146 kN -146 kN

M1 = 0 0

M2 = 0 0

M3 = 0 0

6.3.2.5 DISPOSIZIONE DI CARICO 5 (Q25)

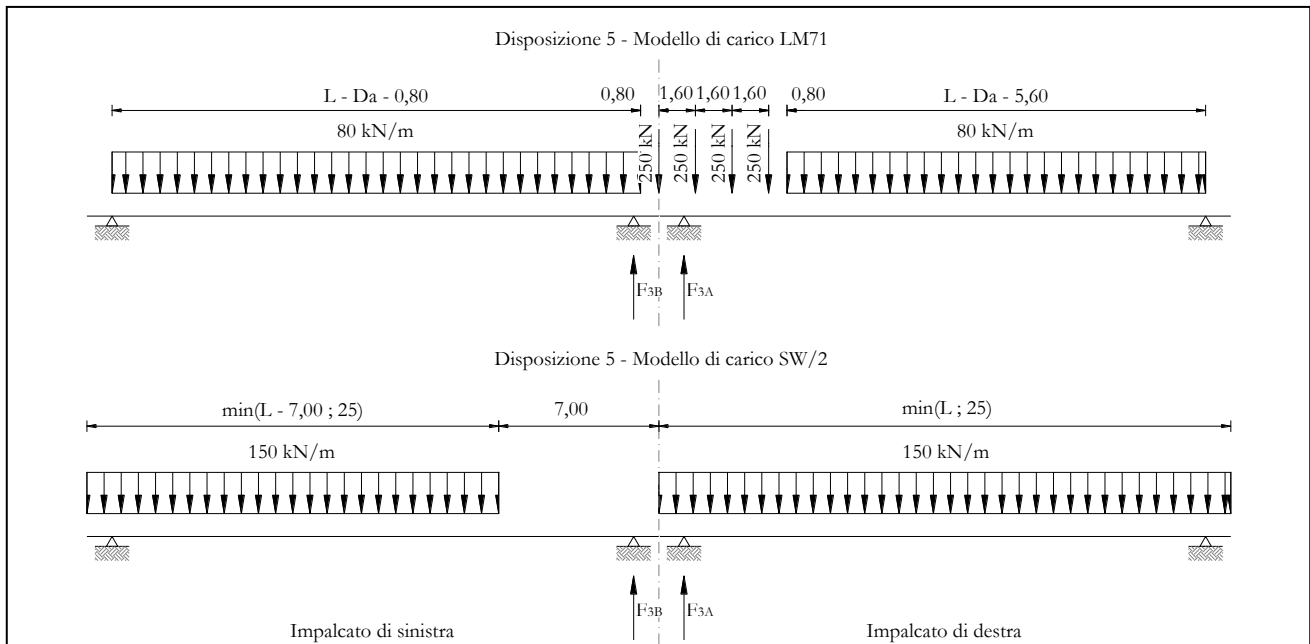


Figura 27 – Disposizione di carico 5

	IMPALCATO-SX		IMPALCATO-DX	
	Reazioni vincolari B		Reazioni vincolari A	

Avviamento LM71

$f_{avv} =$	33,00	kN/m	33,00	kN/m
$\alpha =$	1,10		1,10	
L caricata =	25,00	m	25,00	m
F avv (max 1000 kN) =	825,00	kN	825,00	kN
F1 =	907,50	kN	907,50	kN

Avviamento SW/2

$f_{avv} =$	33,00	kN/m	33,00	kN/m
$\alpha =$	1,00		1,00	
L caricata =	18,00	m	25,00	m
F avv (max 1000 kN) =	594,00	kN	825,00	kN
F1 =	594,00	kN	825,00	kN

  	ITINERARIO NAPOLI – BARI RADDOPPIO TRATTA CANCELLO – BENEVENTO I° LOTTO FUNZIONALE CANCELLO - FRASSO TELESINO E VARIANTE ALLA LINEA ROMA-NAPOLI VIA CASSINO NEL COMUNE DI MADDALONI – PROGETTO ESECUTIVO												
Pile 27 e 28: Relazione di calcolo	<table border="1"> <thead> <tr> <th>COMMESSA</th> <th>LOTTO</th> <th>CODIFICA</th> <th>DOCUMENTO</th> <th>REV.</th> <th>FOGLIO</th> </tr> </thead> <tbody> <tr> <td>IF1N</td> <td>01 E ZZ</td> <td>CL</td> <td>VI0605 020</td> <td>B</td> <td>58 di 137</td> </tr> </tbody> </table>	COMMESSA	LOTTO	CODIFICA	DOCUMENTO	REV.	FOGLIO	IF1N	01 E ZZ	CL	VI0605 020	B	58 di 137
COMMESSA	LOTTO	CODIFICA	DOCUMENTO	REV.	FOGLIO								
IF1N	01 E ZZ	CL	VI0605 020	B	58 di 137								

Frenatura LM71

f fren =	20,00	kN/m	20,00	kN/m
α =	1,10		1,10	
L caricata =	25,00	m	25,00	m
F fren (max 6000 kN) =	500,00	kN	500,00	kN
F1 =	550,00	kN	550,00	kN

Frenatura SW/2

f fren =	35,00	kN/m	35,00	kN/m
α =	1,00		1,00	
L caricata =	18,00	m	25,00	m
F fren =	630,00	kN	875,00	kN
F1 =	630,00	kN	875,00	kN

ahp interazione semplificata

ahp frenatura per LM71 =	1,60		1,60	
ahp frenatura per SW/2 =	1,30		1,30	
ahp avviam. per LM71 SW/2 =	1,12		1,12	

Forza totale di avviamento e frenatura

F1 =	1835,40	kN	2153,90	kN
h rispetto a intradosso imp. =	3,28	m	3,28	m
tipologia vincolo =	UL		F	

Risultanti reazioni vincolari

F1 =	0	kN	-2154	kN
F2 =	0		0	
F3 =	264	kN	-310	kN
M1 =	0		0	
M2 =	0		0	
M3 =	0		0	

6.3.2.6 DISPOSIZIONE DI CARICO 6 (Q26)

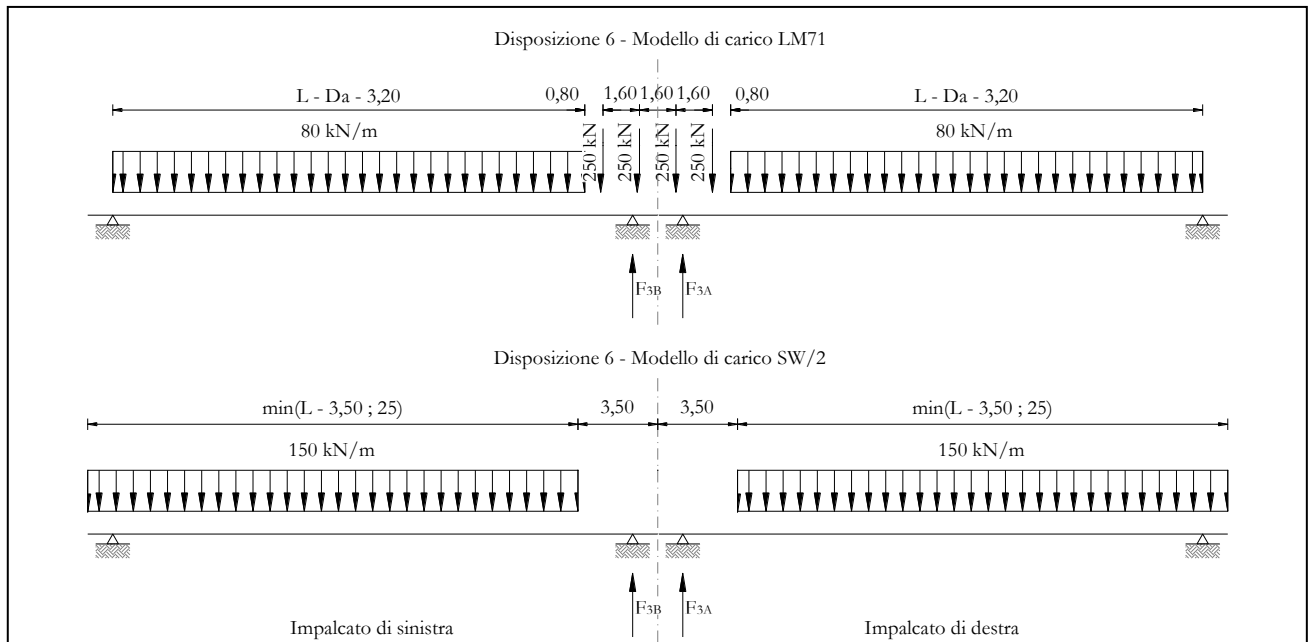


Figura 28 – Disposizione di carico 6

	IMPALCATO-SX		IMPALCATO-DX	
	Reazioni vincolari B		Reazioni vincolari A	

Avviamento LM71

$f_{avv} =$	33,00	kN/m	33,00	kN/m
$\alpha =$	1,10		1,10	
L caricata =	25,00	m	25,00	m
$F_{avv} (\max 1000 \text{ kN}) =$	825,00	kN	825,00	kN
F1 =	907,50	kN	907,50	kN

Avviamento SW/2

$f_{avv} =$	33,00	kN/m	33,00	kN/m
$\alpha =$	1,00		1,00	
L caricata =	21,50	m	21,50	m
$F_{avv} (\max 1000 \text{ kN}) =$	709,50	kN	709,50	kN
F1 =	709,50	kN	709,50	kN

  	ITINERARIO NAPOLI – BARI RADDOPPIO TRATTA CANCELLO – BENEVENTO I° LOTTO FUNZIONALE CANCELLO - FRASSO TELESINO E VARIANTE ALLA LINEA ROMA-NAPOLI VIA CASSINO NEL COMUNE DI MADDALONI – PROGETTO ESECUTIVO												
Pile 27 e 28: Relazione di calcolo	<table border="1"> <thead> <tr> <th>COMMESSA</th> <th>LOTTO</th> <th>CODIFICA</th> <th>DOCUMENTO</th> <th>REV.</th> <th>FOGLIO</th> </tr> </thead> <tbody> <tr> <td>IF1N</td> <td>01 E ZZ</td> <td>CL</td> <td>VI0605 020</td> <td>B</td> <td>60 di 137</td> </tr> </tbody> </table>	COMMESSA	LOTTO	CODIFICA	DOCUMENTO	REV.	FOGLIO	IF1N	01 E ZZ	CL	VI0605 020	B	60 di 137
COMMESSA	LOTTO	CODIFICA	DOCUMENTO	REV.	FOGLIO								
IF1N	01 E ZZ	CL	VI0605 020	B	60 di 137								

Frenatura LM71

f fren =	20,00	kN/m	20,00	kN/m
α =	1,10		1,10	
L caricata =	25,00	m	25,00	m
F fren (max 6000 kN) =	500,00	kN	500,00	kN
F1 =	550,00	kN	550,00	kN

Frenatura SW/2

f fren =	35,00	kN/m	35,00	kN/m
α =	1,00		1,00	
L caricata =	21,50	m	21,50	m
F fren =	752,50	kN	752,50	kN
F1 =	752,50	kN	752,50	kN

ahp interazione semplificata

ahp frenatura per LM71 =	1,60		1,60	
ahp frenatura per SW/2 =	1,30		1,30	
ahp avviam. per LM71 SW/2 =	1,12		1,12	

Forza totale di avviamento e frenatura

F1 =	1994,65	kN	1994,65	kN
h rispetto a intradosso imp. =	3,28	m	3,28	m
tipologia vincolo =	UL		F	

Risultanti reazioni vincolari

F1 =	0	kN	-1995	kN
F2 =	0		0	
F3 =	287	kN	-287	kN
M1 =	0		0	
M2 =	0		0	
M3 =	0		0	

6.3.2.7 DISPOSIZIONE DI CARICO 7 (Q27)

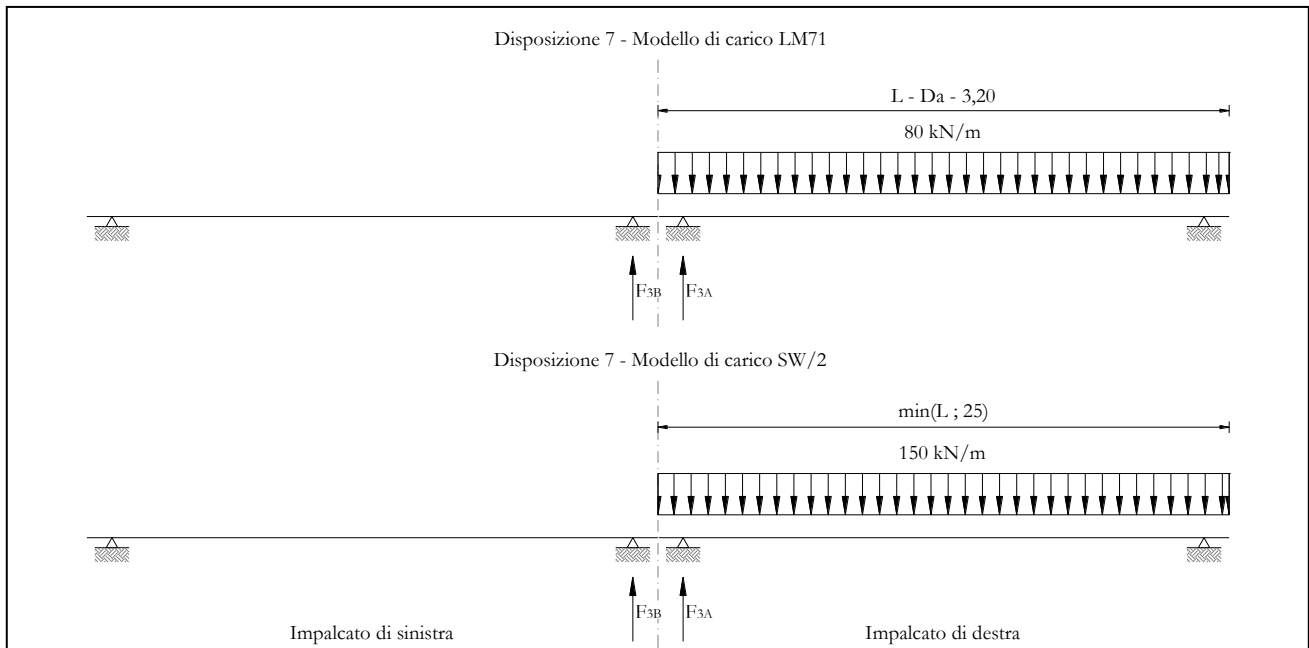


Figura 29 – Disposizione di carico 7

	IMPALCATO-SX		IMPALCATO-DX	
	Reazioni vincolari B		Reazioni vincolari A	
Avviamento LM71				
f avv =	33,00	kN/m	33,00	kN/m
α =	1,10		1,10	
L caricata =	0,00	m	25,00	m
F avv (max 1000 kN) =	0,00	kN	825,00	kN
F1 =	0,00	kN	907,50	kN
Avviamento SW/2				
f avv =	33,00	kN/m	33,00	kN/m
α =	1,00		1,00	
L caricata =	0,00	m	25,00	m
F avv (max 1000 kN) =	0,00	kN	825,00	kN
F1 =	0,00	kN	825,00	kN

  	ITINERARIO NAPOLI – BARI RADDOPPIO TRATTA CANCELLO – BENEVENTO I° LOTTO FUNZIONALE CANCELLO - FRASSO TELESINO E VARIANTE ALLA LINEA ROMA-NAPOLI VIA CASSINO NEL COMUNE DI MADDALONI – PROGETTO ESECUTIVO												
Pile 27 e 28: Relazione di calcolo	<table border="1"> <thead> <tr> <th>COMMESSA</th> <th>LOTTO</th> <th>CODIFICA</th> <th>DOCUMENTO</th> <th>REV.</th> <th>FOGLIO</th> </tr> </thead> <tbody> <tr> <td>IF1N</td> <td>01 E ZZ</td> <td>CL</td> <td>VI0605 020</td> <td>B</td> <td>62 di 137</td> </tr> </tbody> </table>	COMMESSA	LOTTO	CODIFICA	DOCUMENTO	REV.	FOGLIO	IF1N	01 E ZZ	CL	VI0605 020	B	62 di 137
COMMESSA	LOTTO	CODIFICA	DOCUMENTO	REV.	FOGLIO								
IF1N	01 E ZZ	CL	VI0605 020	B	62 di 137								

Frenatura LM71

f fren =	20,00	kN/m	20,00	kN/m
α =	1,10		1,10	
L caricata =	25,00	m	25,00	m
F fren (max 6000 kN) =	500,00	kN	500,00	kN
F1 =	550,00	kN	550,00	kN

Frenatura SW/2

f fren =	35,00	kN/m	35,00	kN/m
α =	1,00		1,00	
L caricata =	0,00	m	25,00	m
F fren =	0,00	kN	875,00	kN
F1 =	0,00	kN	875,00	kN

ahp interazione semplificata

ahp frenatura per LM71 =	1,60		1,60	
ahp frenatura per SW/2 =	1,30		1,30	
ahp avviam. per LM71 SW/2 =	1,12		1,12	

Forza totale di avviamento e frenatura

F1 =	880,00	kN	2153,90	kN
h rispetto a intradosso imp. =	3,28	m	3,28	m
tipologia vincolo =	UL		F	

Risultanti reazioni vincolari

F1 =	0	kN	-2154	kN
F2 =	0		0	
F3 =	127	kN	-310	kN
M1 =	0		0	
M2 =	0		0	
M3 =	0		0	

  	ITINERARIO NAPOLI – BARI RADDOPPIO TRATTA CANCELLO – BENEVENTO I° LOTTO FUNZIONALE CANCELLO - FRASSO TELESINO E VARIANTE ALLA LINEA ROMA-NAPOLI VIA CASSINO NEL COMUNE DI MADDALONI – PROGETTO ESECUTIVO												
Pile 27 e 28: Relazione di calcolo	<table border="1"> <thead> <tr> <th>COMMESSA</th> <th>LOTTO</th> <th>CODIFICA</th> <th>DOCUMENTO</th> <th>REV.</th> <th>FOGLIO</th> </tr> </thead> <tbody> <tr> <td>IF1N</td> <td>01 E ZZ</td> <td>CL</td> <td>VI0605 020</td> <td>B</td> <td>63 di 137</td> </tr> </tbody> </table>	COMMESSA	LOTTO	CODIFICA	DOCUMENTO	REV.	FOGLIO	IF1N	01 E ZZ	CL	VI0605 020	B	63 di 137
COMMESSA	LOTTO	CODIFICA	DOCUMENTO	REV.	FOGLIO								
IF1N	01 E ZZ	CL	VI0605 020	B	63 di 137								

6.3.3 FORZA CENTRIFUGA (Q3)

L'azione centrifuga è schematizzata come una forza agente in direzione orizzontale perpendicolarmente al binario e verso l'esterno della curva, applicata ad 1,80 m al di sopra del p.f.. Il valore caratteristico della forza centrifuga si determina in accordo con la seguente espressione:

$$Q_{tk} = V^2 \cdot f \cdot (\alpha \cdot Q_{vk}) / (127 \cdot R)$$

dove

V	velocità di progetto espressa in km/h
Q_{vk}	valore caratteristico dei carichi verticali
R	raggio di curvatura in m
f	fattore di riduzione (rif. §1.4.3.1 [3])

Per il modello di carico LM71 e per velocità di progetto superiori a 120 km/h, si considerano i seguenti 2 casi:

- modello di carico LM71 e forza centrifuga per $V = 120$ km/h e $f = 1$;
- modello di carico LM71 e forza centrifuga calcolata per la massima velocità di progetto.

Per i modelli di carico SW si assume una velocità massima di 100 km/h.

La forza centrifuga non deve essere incrementata dei coefficienti dinamici.

Nei sottoparagrafi che seguono si riportano i risultati delle reazioni vincolari per le diverse disposizioni di carico considerate e descritte precedentemente nel §6.3.

6.3.3.1 DISPOSIZIONE DI CARICO 1 (Q31)

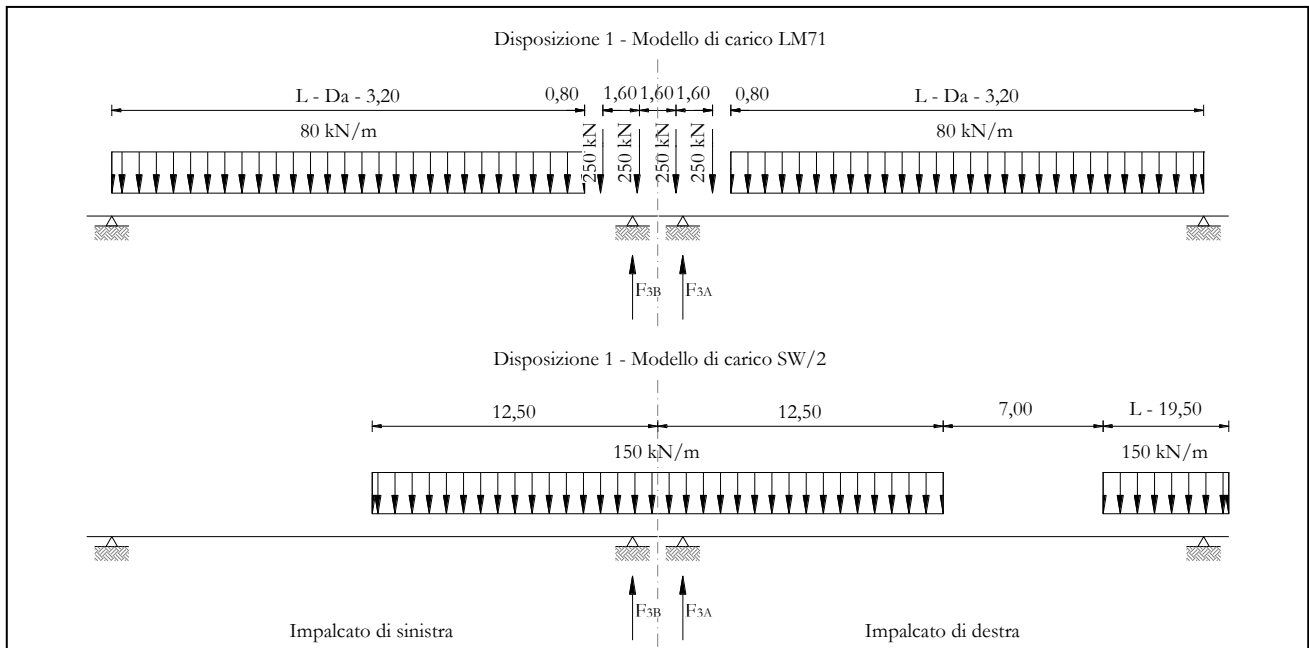


Figura 30 – Disposizione di carico 1

IMPALCATO-SX

Reazioni vincolari B

IMPALCATO-DX

Reazioni vincolari A

Centrifuga LM71

$v = v_{max}$

Raggio minimo =	1500,00	m	1500,00	m
Velocità massima =	180,00	km/h	180,00	km/h
$L_f =$	25,00	m	25,00	m
$f =$	0,75		0,75	
$Q_v =$	1240,77	kN	1240,77	kN
$Q_h =$	158,57	kN	158,57	kN

$v = 120 \text{ km/h}$

Raggio minimo =	1500,00	m	1500,00	m
Velocità (120 km/h) =	120,00	km/h	120,00	km/h
$f(1) =$	1,00		1,00	
$Q_v =$	1364,85	kN	1364,85	kN

  	ITINERARIO NAPOLI – BARI RADDOPPIO TRATTA CANCELLO – BENEVENTO I° LOTTO FUNZIONALE CANCELLO - FRASSO TELESINO E VARIANTE ALLA LINEA ROMA-NAPOLI VIA CASSINO NEL COMUNE DI MADDALONI – PROGETTO ESECUTIVO					
Pile 27 e 28: Relazione di calcolo	COMMESSA IF1N	LOTTO 01 E ZZ	CODIFICA CL	DOCUMENTO VI0605 020	REV. B	FOGLIO 65 di 137

Qh = 103,17 kN 103,17 kN

Qh,max = 158,57 kN 158,57 kN

Centrifuga SW/2

v max = 100 km/h

Raggio minimo = 1500,00 m 1500,00 m

Velocità (100 km/h) = 100,00 km/h 100,00 km/h

f (1) = 1,00 1,00

Qv = 1451,48 kN 1511,18 kN

Qh,max = 76,19 kN 79,33 kN

Forza centrifuga sull appoggio

F2 = 234,76 kN 237,89 kN

h rispetto a intradosso imp. = 5,08 m 5,08 m

Risultanti reazioni vincolari

F1 = 0 0

F2 = -235 kN -238 kN

F3 = 0 0

M1 = 1193 kNm 1209 kNm

M2 = 0 0

M3 = 0 0

6.3.3.2 DISPOSIZIONE DI CARICO 2 (Q32)

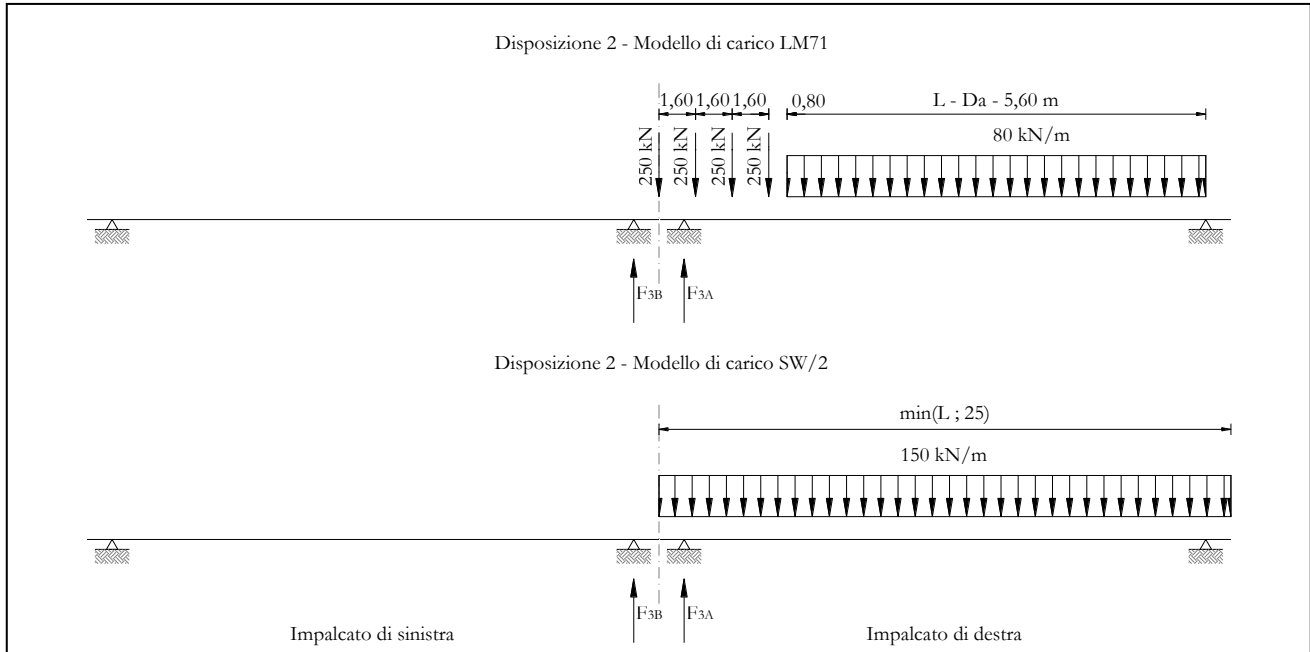


Figura 31 – Disposizione di carico 2

IMPALCATO-SX

Reazioni vincolari B

IMPALCATO-DX

Reazioni vincolari A

Centrifuga LM71v = v_{max}

Raggio minimo =	1500,00	m	1500,00	m
Velocità massima =	180,00	km/h	180,00	km/h
L _f =	25,00	m	25,00	m
f =	0,75		0,75	
Q _v =	0,00	kN	1530,51	kN
Q _h =	0,00	kN	195,59	kN

v = 120 km/h

Raggio minimo =	1500,00	m	1500,00	m
Velocità (120 km/h) =	120,00	km/h	120,00	km/h
f (1) =	1,00		1,00	
Q _v =	0,00	kN	1683,56	kN

  	ITINERARIO NAPOLI – BARI RADDOPPIO TRATTA CANCELLO – BENEVENTO I° LOTTO FUNZIONALE CANCELLO - FRASSO TELESINO E VARIANTE ALLA LINEA ROMA-NAPOLI VIA CASSINO NEL COMUNE DI MADDALONI – PROGETTO ESECUTIVO												
Pile 27 e 28: Relazione di calcolo	<table border="1"> <thead> <tr> <th>COMMESSA</th> <th>LOTTO</th> <th>CODIFICA</th> <th>DOCUMENTO</th> <th>REV.</th> <th>FOGLIO</th> </tr> </thead> <tbody> <tr> <td>IF1N</td> <td>01 E ZZ</td> <td>CL</td> <td>VI0605 020</td> <td>B</td> <td>67 di 137</td> </tr> </tbody> </table>	COMMESSA	LOTTO	CODIFICA	DOCUMENTO	REV.	FOGLIO	IF1N	01 E ZZ	CL	VI0605 020	B	67 di 137
COMMESSA	LOTTO	CODIFICA	DOCUMENTO	REV.	FOGLIO								
IF1N	01 E ZZ	CL	VI0605 020	B	67 di 137								

Qh = 0,00 kN 127,26 kN

Qh,max = 0,00 kN 195,59 kN

Centrifuga SW/2

v max = 100 km/h

Raggio minimo = 1500,00 m 1500,00 m

Velocità (100 km/h) = 100,00 km/h 100,00 km/h

f = 1,00 1,00

Qv = 0,00 kN 1875,00 kN

Qh,max = 0,00 kN 98,43 kN

Forza centrifuga sull appoggio

F2 = 0,00 kN 294,02 kN

h rispetto a intradosso imp. = 5,08 m 5,08 m

Risultanti reazioni vincolari

F1 = 0 0

F2 = 0 kN -294 kN

F3 = 0 0

M1 = 0 kNm 1494 kNm

M2 = 0 0

M3 = 0 0

  	ITINERARIO NAPOLI – BARI RADDOPPIO TRATTA CANCELLO – BENEVENTO I° LOTTO FUNZIONALE CANCELLO - FRASSO TELESINO E VARIANTE ALLA LINEA ROMA-NAPOLI VIA CASSINO NEL COMUNE DI MADDALONI – PROGETTO ESECUTIVO					
	Pile 27 e 28: Relazione di calcolo	COMMESSA IF1N	LOTTO 01 E ZZ	CODIFICA CL	DOCUMENTO VI0605 020	REV. B

6.3.3.3 DISPOSIZIONE DI CARICO 3 (Q33)

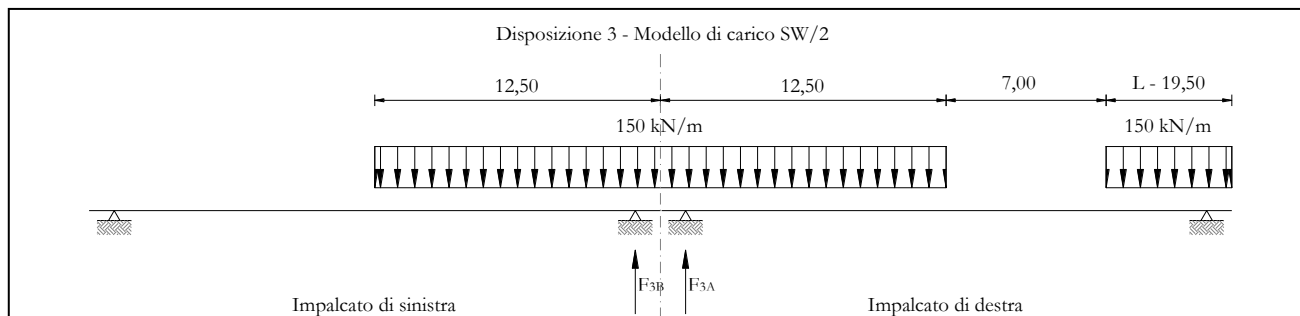


Figura 32 – Disposizione di carico 3

IMPALCATO-SX

Reazioni vincolari B

IMPALCATO-DX

Reazioni vincolari A

Centrifuga LM71

$v = v_{max}$

Raggio minimo =	1500,00	m	1500,00	m
Velocità massima =	180,00	km/h	180,00	km/h
$L_f =$	25,00	m	25,00	m
$f =$	0,75		0,75	
$Q_v =$	0,00	kN	0,00	kN
$Q_h =$	0,00	kN	0,00	kN

$v = 120 \text{ km/h}$

Raggio minimo =	1500,00	m	1500,00	m
Velocità (120 km/h) =	120,00	km/h	120,00	km/h
$f(1) =$	1,00		1,00	
$Q_v =$	0,00	kN	0,00	kN
$Q_h =$	0,00	kN	0,00	kN

$Q_{h,max} =$ 0,00 kN 0,00 kN

Centrifuga SW/2

$v_{max} = 100 \text{ km/h}$

Raggio minimo =	1500,00	m	1500,00	m
-----------------	---------	---	---------	---

  	ITINERARIO NAPOLI – BARI RADDOPPIO TRATTA CANCELLO – BENEVENTO I° LOTTO FUNZIONALE CANCELLO - FRASSO TELESINO E VARIANTE ALLA LINEA ROMA-NAPOLI VIA CASSINO NEL COMUNE DI MADDALONI – PROGETTO ESECUTIVO												
Pile 27 e 28: Relazione di calcolo	<table border="1"> <thead> <tr> <th>COMMESSA</th> <th>LOTTO</th> <th>CODIFICA</th> <th>DOCUMENTO</th> <th>REV.</th> <th>FOGLIO</th> </tr> </thead> <tbody> <tr> <td>IF1N</td> <td>01 E ZZ</td> <td>CL</td> <td>VI0605 020</td> <td>B</td> <td>69 di 137</td> </tr> </tbody> </table>	COMMESSA	LOTTO	CODIFICA	DOCUMENTO	REV.	FOGLIO	IF1N	01 E ZZ	CL	VI0605 020	B	69 di 137
COMMESSA	LOTTO	CODIFICA	DOCUMENTO	REV.	FOGLIO								
IF1N	01 E ZZ	CL	VI0605 020	B	69 di 137								

Velocità (100 km/h) = 100,00 km/h 100,00 km/h

f = 1,00 1,00

Qv = 1451,48 kN 1511,18 kN

Qh,max = 76,19 kN 79,33 kN

Forza centrifuga sull'appoggio

F2 = 76,19 kN 79,33 kN

h rispetto a intradosso imp. = 5,08 m 5,08 m

Risultanti reazioni vincolari

F1 = 0 0

F2 = -76 kN -79 kN

F3 = 0 0

M1 = 387 kNm 403 kNm

M2 = 0 0

M3 = 0 0

  	ITINERARIO NAPOLI – BARI RADDOPPIO TRATTA CANCELLO – BENEVENTO I° LOTTO FUNZIONALE CANCELLO - FRASSO TELESINO E VARIANTE ALLA LINEA ROMA-NAPOLI VIA CASSINO NEL COMUNE DI MADDALONI – PROGETTO ESECUTIVO					
	Pile 27 e 28: Relazione di calcolo	COMMESSA IF1N	LOTTO 01 E ZZ	CODIFICA CL	DOCUMENTO VI0605 020	REV. B

6.3.3.4 DISPOSIZIONE DI CARICO 4 (Q34)

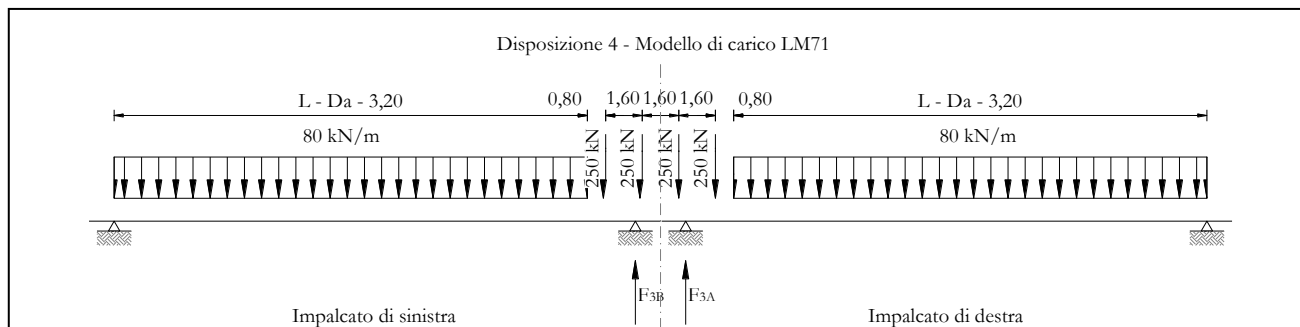


Figura 33 – Disposizione di carico 4

IMPALCATO-SX

Reazioni vincolari B

IMPALCATO-DX

Reazioni vincolari A

Centrifuga LM71

$v = v_{max}$

Raggio minimo =	1500,00	m	1500,00	m
Velocità massima =	180,00	km/h	180,00	km/h
$L_f =$	25,00	m	25,00	m
$f =$	0,75		0,75	
$Q_v =$	1240,77	kN	1240,77	kN
$Q_h =$	158,57	kN	158,57	kN

$v = 120 \text{ km/h}$

Raggio minimo =	1500,00	m	1500,00	m
Velocità (120 km/h) =	120,00	km/h	120,00	km/h
$f(1) =$	1,00		1,00	
$Q_v =$	1364,85	kN	1364,85	kN
$Q_h =$	103,17	kN	103,17	kN

$Q_{h,max} =$ 158,57 kN 158,57 kN

Centrifuga SW/2

$v_{max} = 100 \text{ km/h}$

  	ITINERARIO NAPOLI – BARI RADDOPPIO TRATTA CANCELLO – BENEVENTO I° LOTTO FUNZIONALE CANCELLO - FRASSO TELESINO E VARIANTE ALLA LINEA ROMA-NAPOLI VIA CASSINO NEL COMUNE DI MADDALONI – PROGETTO ESECUTIVO												
Pile 27 e 28: Relazione di calcolo	<table border="1"> <thead> <tr> <th>COMMESSA</th> <th>LOTTO</th> <th>CODIFICA</th> <th>DOCUMENTO</th> <th>REV.</th> <th>FOGLIO</th> </tr> </thead> <tbody> <tr> <td>IF1N</td> <td>01 E ZZ</td> <td>CL</td> <td>VI0605 020</td> <td>B</td> <td>71 di 137</td> </tr> </tbody> </table>	COMMESSA	LOTTO	CODIFICA	DOCUMENTO	REV.	FOGLIO	IF1N	01 E ZZ	CL	VI0605 020	B	71 di 137
COMMESSA	LOTTO	CODIFICA	DOCUMENTO	REV.	FOGLIO								
IF1N	01 E ZZ	CL	VI0605 020	B	71 di 137								

Raggio minimo =	1500,00	m	1500,00	m
Velocità (100 km/h) =	100,00	km/h	100,00	km/h
f =	1,00		1,00	
Qv =	0,00	kN	0,00	kN
Qh,max =	0,00	kN	0,00	kN

Forza centrifuga sull appoggio

F2 =	158,57	kN	158,57	kN
h rispetto a intradosso imp. =	5,08	m	5,08	m

Risultanti reazioni vincolari

F1 =	0		0	
F2 =	-159	kN	-159	kN
F3 =	0		0	
M1 =	806	kNm	806	kNm
M2 =	0		0	
M3 =	0		0	

6.3.3.5 DISPOSIZIONE DI CARICO 5 (Q35)

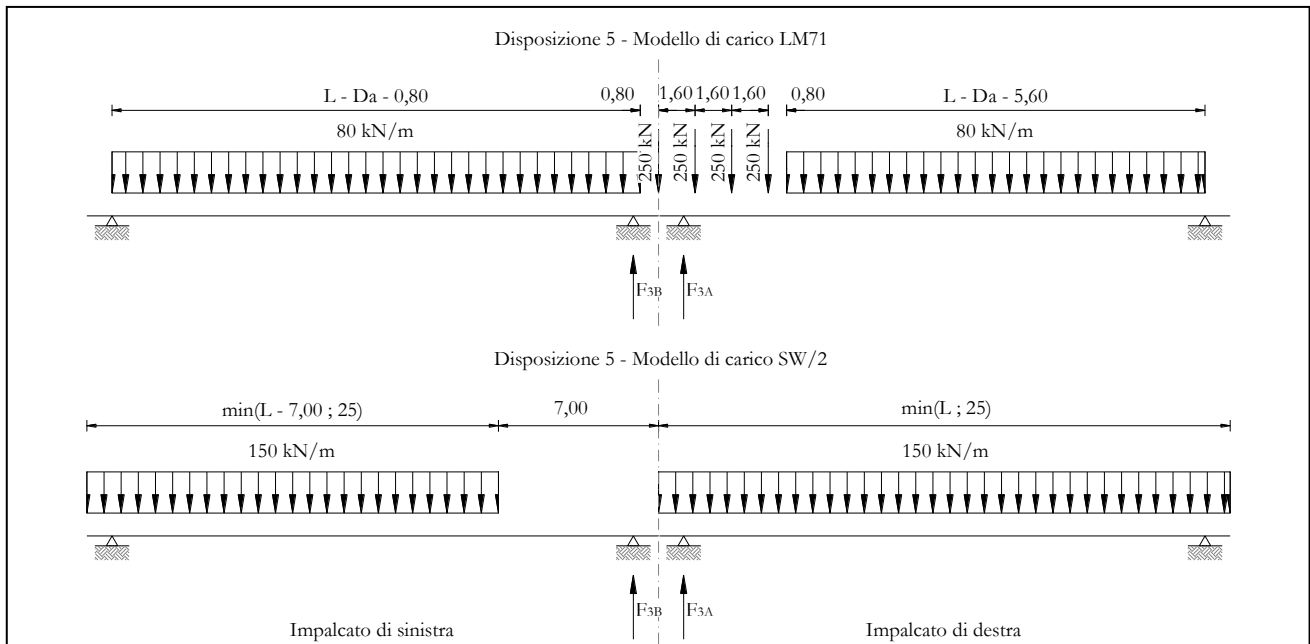


Figura 34 – Disposizione di carico 5

IMPALCATO-SX

Reazioni vincolari B

IMPALCATO-DX

Reazioni vincolari A

Centrifuga LM71

v = vmax

Raggio minimo =	1500,00	m	1500,00	m
Velocità massima =	180,00	km/h	180,00	km/h
Lf =	25,00	m	25,00	m
f =	0,75		0,75	
Qv =	936,16	kN	1530,51	kN
Qh =	119,64	kN	195,59	kN

v = 120 km/h

Raggio minimo =	1500,00	m	1500,00	m
Velocità (120 km/h) =	120,00	km/h	120,00	km/h
f (1) =	1,00		1,00	
Qv =	1029,77	kN	1683,56	kN

  	ITINERARIO NAPOLI – BARI RADDOPPIO TRATTA CANCELLO – BENEVENTO I° LOTTO FUNZIONALE CANCELLO - FRASSO TELESINO E VARIANTE ALLA LINEA ROMA-NAPOLI VIA CASSINO NEL COMUNE DI MADDALONI – PROGETTO ESECUTIVO												
Pile 27 e 28: Relazione di calcolo	<table border="1"> <thead> <tr> <th>COMMESSA</th> <th>LOTTO</th> <th>CODIFICA</th> <th>DOCUMENTO</th> <th>REV.</th> <th>FOGLIO</th> </tr> </thead> <tbody> <tr> <td>IF1N</td> <td>01 E ZZ</td> <td>CL</td> <td>VI0605 020</td> <td>B</td> <td>73 di 137</td> </tr> </tbody> </table>	COMMESSA	LOTTO	CODIFICA	DOCUMENTO	REV.	FOGLIO	IF1N	01 E ZZ	CL	VI0605 020	B	73 di 137
COMMESSA	LOTTO	CODIFICA	DOCUMENTO	REV.	FOGLIO								
IF1N	01 E ZZ	CL	VI0605 020	B	73 di 137								

Qh = 77,84 kN 127,26 kN

Qh,max = 119,64 kN 195,59 kN

Centrifuga SW/2

v max = 100 km/h

Raggio minimo = 1500,00 m 1500,00 m

Velocità (100 km/h) = 100,00 km/h 100,00 km/h

f = 1,00 1,00

Qv = 935,53 kN 1875,00 kN

Qh,max = 49,11 kN 98,43 kN

Forza centrifuga sull appoggio

F2 = 168,75 kN 294,02 kN

h rispetto a intradosso imp. = 5,08 m 5,08 m

Risultanti reazioni vincolari

F1 = 0 0

F2 = -169 kN -294 kN

F3 = 0 0

M1 = 857 kNm 1494 kNm

M2 = 0 0

M3 = 0 0

6.3.3.6 DISPOSIZIONE DI CARICO 6 (Q36)

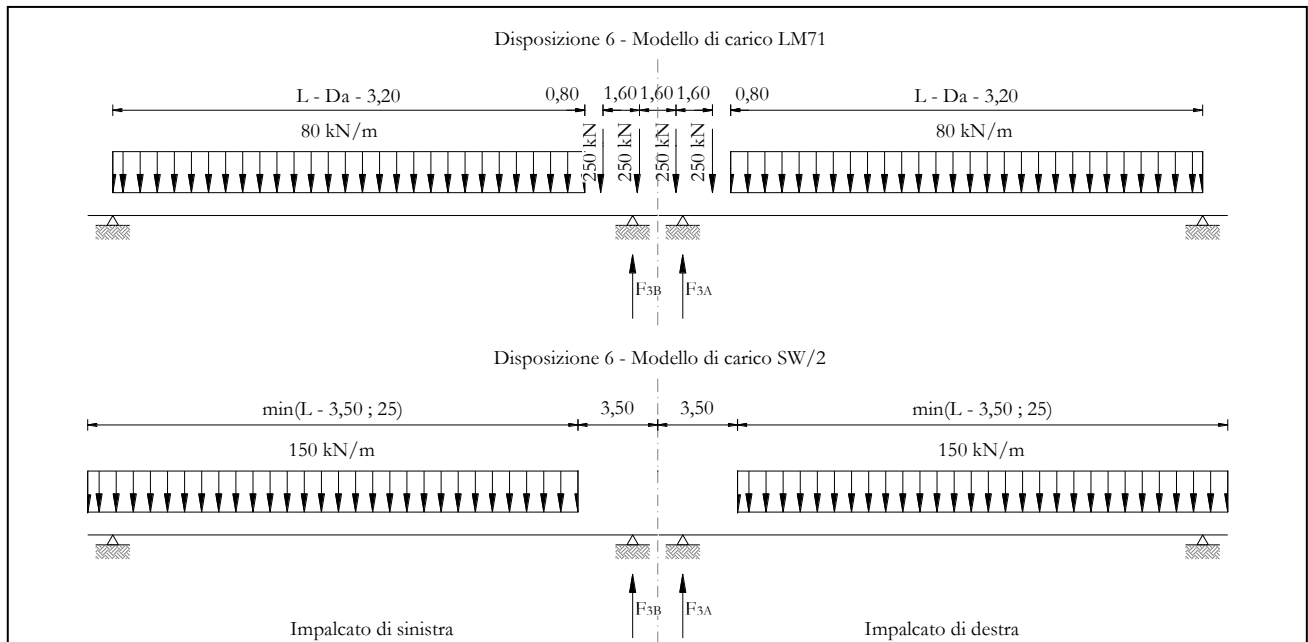


Figura 35 – Disposizione di carico 6

IMPALCATO-SX

Reazioni vincolari B

IMPALCATO-DX

Reazioni vincolari A

Centrifuga LM71v = v_{max}

Raggio minimo =	1500,00	m	1500,00	m
Velocità massima =	180,00	km/h	180,00	km/h
L _f =	25,00	m	25,00	m
f =	0,75		0,75	
Q _v =	1240,77	kN	1240,77	kN
Q _h =	158,57	kN	158,57	kN

v = 120 km/h

Raggio minimo =	1500,00	m	1500,00	m
Velocità (120 km/h) =	120,00	km/h	120,00	km/h
f (1) =	1,00		1,00	
Q _v =	1364,85	kN	1364,85	kN

  	ITINERARIO NAPOLI – BARI RADDOPPIO TRATTA CANCELLO – BENEVENTO I° LOTTO FUNZIONALE CANCELLO - FRASSO TELESINO E VARIANTE ALLA LINEA ROMA-NAPOLI VIA CASSINO NEL COMUNE DI MADDALONI – PROGETTO ESECUTIVO					
Pile 27 e 28: Relazione di calcolo	COMMESSA IF1N	LOTTO 01 E ZZ	CODIFICA CL	DOCUMENTO VI0605 020	REV. B	FOGLIO 75 di 137

Qh = 103,17 kN 103,17 kN

Qh,max = 158,57 kN 158,57 kN

Centrifuga SW/2

v max = 100 km/h

Raggio minimo = 1500,00 m 1500,00 m

Velocità (100 km/h) = 100,00 km/h 100,00 km/h

f = 1,00 1,00

Qv = 1364,97 kN 1364,97 kN

Qh,max = 71,65 kN 71,65 kN

Forza centrifuga sull appoggio

F2 = 230,22 kN 230,22 kN

h rispetto a intradosso imp. = 5,08 m 5,08 m

Risultanti reazioni vincolari

F1 = 0 0

F2 = -230 kN -230 kN

F3 = 0 0

M1 = 1170 kNm 1170 kNm

M2 = 0 0

M3 = 0 0

  	ITINERARIO NAPOLI – BARI RADDOPPIO TRATTA CANCELLO – BENEVENTO I° LOTTO FUNZIONALE CANCELLO - FRASSO TELESINO E VARIANTE ALLA LINEA ROMA-NAPOLI VIA CASSINO NEL COMUNE DI MADDALONI – PROGETTO ESECUTIVO					
	Pile 27 e 28: Relazione di calcolo	COMMESSA IF1N	LOTTO 01 E ZZ	CODIFICA CL	DOCUMENTO VI0605 020	REV. B

6.3.3.7 DISPOSIZIONE DI CARICO 7 (Q37)

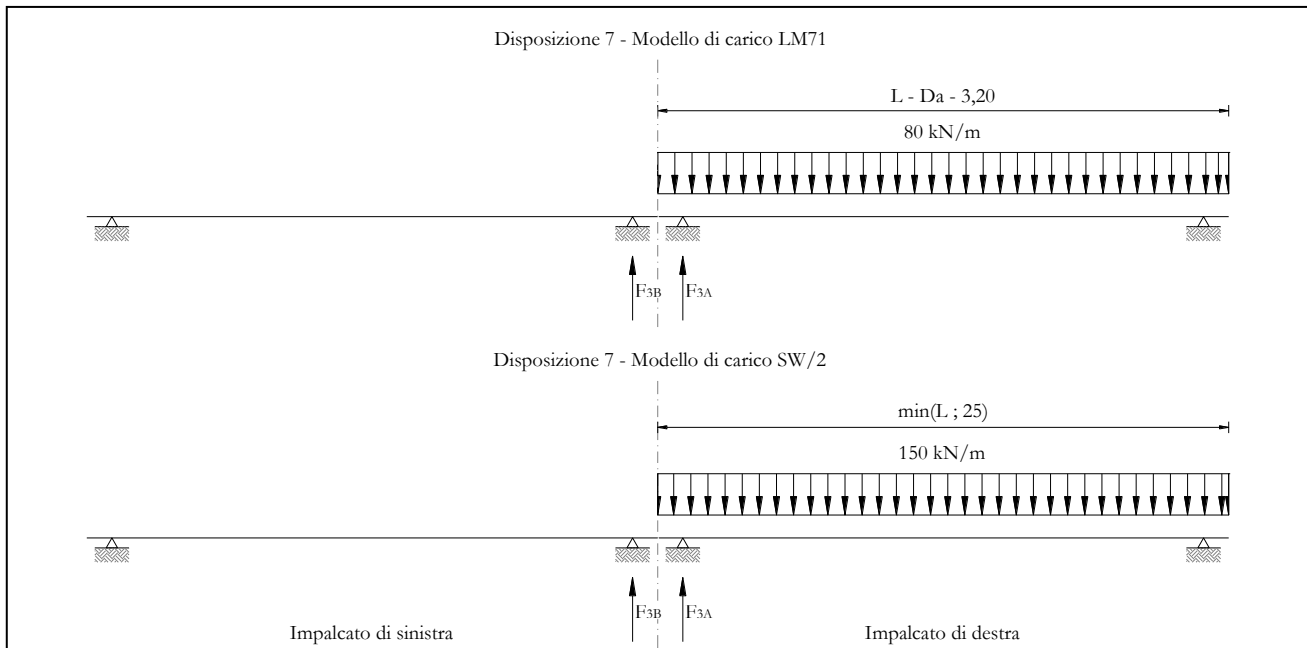


Figura 36 – Disposizione di carico 7

IMPALCATO-SX

Reazioni vincolari B

IMPALCATO-DX

Reazioni vincolari A

Centrifuga LM71

v = vmax

Raggio minimo =	1500,00	m	1500,00	m
Velocità massima =	180,00	km/h	180,00	km/h
Lf =	25,00	m	25,00	m
f =	0,75		0,75	
Qv =	0,00	kN	1002,12	kN
Qh =	0,00	kN	128,07	kN

v = 120 km/h

Raggio minimo =	1500,00	m	1500,00	m
Velocità (120 km/h) =	120,00	km/h	120,00	km/h
f (1) =	1,00		1,00	
Qv =	0,00	kN	1102,34	kN

  	ITINERARIO NAPOLI – BARI RADDOPPIO TRATTA CANCELLO – BENEVENTO I° LOTTO FUNZIONALE CANCELLO - FRASSO TELESINO E VARIANTE ALLA LINEA ROMA-NAPOLI VIA CASSINO NEL COMUNE DI MADDALONI – PROGETTO ESECUTIVO												
Pile 27 e 28: Relazione di calcolo	<table border="1"> <thead> <tr> <th>COMMESSA</th> <th>LOTTO</th> <th>CODIFICA</th> <th>DOCUMENTO</th> <th>REV.</th> <th>FOGLIO</th> </tr> </thead> <tbody> <tr> <td>IF1N</td> <td>01 E ZZ</td> <td>CL</td> <td>VI0605 020</td> <td>B</td> <td>77 di 137</td> </tr> </tbody> </table>	COMMESSA	LOTTO	CODIFICA	DOCUMENTO	REV.	FOGLIO	IF1N	01 E ZZ	CL	VI0605 020	B	77 di 137
COMMESSA	LOTTO	CODIFICA	DOCUMENTO	REV.	FOGLIO								
IF1N	01 E ZZ	CL	VI0605 020	B	77 di 137								

Qh = 0,00 kN 83,33 kN

Qh,max = 0,00 kN 128,07 kN

Centrifuga SW/2

v max = 100 km/h

Raggio minimo = 1500,00 m 1500,00 m

Velocità (100 km/h) = 100,00 km/h 100,00 km/h

f = 1,00 1,00

Qv = 0,00 kN 1875,00 kN

Qh,max = 0,00 kN 98,43 kN

Forza centrifuga sull appoggio

F2 = 0,00 kN 226,49 kN

h rispetto a intradosso imp. = 5,08 m 5,08 m

Risultanti reazioni vincolari

F1 = 0 0

F2 = 0 kN -226 kN

F3 = 0 0

M1 = 0 kNm 1151 kNm

M2 = 0 0

M3 = 0 0

  	ITINERARIO NAPOLI – BARI RADDOPPIO TRATTA CANCELLO – BENEVENTO I° LOTTO FUNZIONALE CANCELLO - FRASSO TELESINO E VARIANTE ALLA LINEA ROMA-NAPOLI VIA CASSINO NEL COMUNE DI MADDALONI – PROGETTO ESECUTIVO												
Pile 27 e 28: Relazione di calcolo	<table border="1"> <tr> <td>COMMESSA</td> <td>LOTTO</td> <td>CODIFICA</td> <td>DOCUMENTO</td> <td>REV.</td> <td>FOGLIO</td> </tr> <tr> <td>IF1N</td> <td>01 E ZZ</td> <td>CL</td> <td>VI0605 020</td> <td>B</td> <td>78 di 137</td> </tr> </table>	COMMESSA	LOTTO	CODIFICA	DOCUMENTO	REV.	FOGLIO	IF1N	01 E ZZ	CL	VI0605 020	B	78 di 137
COMMESSA	LOTTO	CODIFICA	DOCUMENTO	REV.	FOGLIO								
IF1N	01 E ZZ	CL	VI0605 020	B	78 di 137								

6.3.4 SERPEGGIO (Q4)

La forza laterale indotta dal serpeggio si schematizza come una forza concentrata agente orizzontalmente perpendicolarmente all'asse del binario.

Il valore caratteristico di tale forza è assunto pari a 100 kN. Tale valore deve essere moltiplicato per α ma non per il coefficiente di amplificazione dinamica.

Nei sottoparagrafi che seguono si riportano i risultati delle reazioni vincolari per le diverse disposizioni di carico considerate e descritte precedentemente nel §6.3.

6.3.4.1 DISPOSIZIONE DI CARICO 1 (Q41)

	<u>IMPALCATO-SX</u>		<u>IMPALCATO-DX</u>	
	Reazioni vincolari B		Reazioni vincolari A	

Serpeggio LM71

Forza serpeggio =	100,00	kN	100,00	kN
α =	1,10		1,10	

Serpeggio SW/2

Forza serpeggio =	100,00	kN	100,00	kN
α =	1,00		1,00	

Forza totale serpeggio

F2 =	210,00	kN	210,00	kN
h rispetto a intradosso imp. =	3,28	m	3,28	m

Risultanti reazioni vincolari

F1 =	0		0	
F2 =	-105	kN	-105	kN
F3 =	0		0	
M1 =	344	kNm	344	kNm
M2 =	0		0	
M3 =	0		0	

  	ITINERARIO NAPOLI – BARI RADDOPPIO TRATTA CANCELLO – BENEVENTO I° LOTTO FUNZIONALE CANCELLO - FRASSO TELESINO E VARIANTE ALLA LINEA ROMA-NAPOLI VIA CASSINO NEL COMUNE DI MADDALONI – PROGETTO ESECUTIVO												
Pile 27 e 28: Relazione di calcolo	<table border="1"> <tr> <td>COMMESSA</td> <td>LOTTO</td> <td>CODIFICA</td> <td>DOCUMENTO</td> <td>REV.</td> <td>FOGLIO</td> </tr> <tr> <td>IF1N</td> <td>01 E ZZ</td> <td>CL</td> <td>VI0605 020</td> <td>B</td> <td>79 di 137</td> </tr> </table>	COMMESSA	LOTTO	CODIFICA	DOCUMENTO	REV.	FOGLIO	IF1N	01 E ZZ	CL	VI0605 020	B	79 di 137
COMMESSA	LOTTO	CODIFICA	DOCUMENTO	REV.	FOGLIO								
IF1N	01 E ZZ	CL	VI0605 020	B	79 di 137								

6.3.4.2 DISPOSIZIONE DI CARICO 2 (Q42)

	<u>IMPALCATO-SX</u>		<u>IMPALCATO-DX</u>	
	Reazioni vincolari B		Reazioni vincolari A	
<u>Serpeggio LM71</u>				
Forza serpeggio =	100,00	kN	100,00	kN
$\alpha =$	1,10		1,10	
<u>Serpeggio SW/2</u>				
Forza serpeggio =	100,00	kN	100,00	kN
$\alpha =$	1,00		1,00	
<u>Forza totale serpeggio</u>				
F2 =	210,00	kN	210,00	kN
h rispetto a intradosso imp. =	3,28	m	3,28	m
<u>Risultanti reazioni vincolari</u>				
F1 =	0		0	
F2 =	0	kN	-210	kN
F3 =	0		0	
M1 =	0	kNm	689	kNm
M2 =	0		0	
M3 =	0		0	

  	ITINERARIO NAPOLI – BARI RADDOPPIO TRATTA CANCELLO – BENEVENTO I° LOTTO FUNZIONALE CANCELLO - FRASSO TELESINO E VARIANTE ALLA LINEA ROMA-NAPOLI VIA CASSINO NEL COMUNE DI MADDALONI – PROGETTO ESECUTIVO												
Pile 27 e 28: Relazione di calcolo	<table border="1"> <tr> <td>COMMESSA</td> <td>LOTTO</td> <td>CODIFICA</td> <td>DOCUMENTO</td> <td>REV.</td> <td>FOGLIO</td> </tr> <tr> <td>IF1N</td> <td>01 E ZZ</td> <td>CL</td> <td>VI0605 020</td> <td>B</td> <td>80 di 137</td> </tr> </table>	COMMESSA	LOTTO	CODIFICA	DOCUMENTO	REV.	FOGLIO	IF1N	01 E ZZ	CL	VI0605 020	B	80 di 137
COMMESSA	LOTTO	CODIFICA	DOCUMENTO	REV.	FOGLIO								
IF1N	01 E ZZ	CL	VI0605 020	B	80 di 137								

6.3.4.3 *DISPOSIZIONE DI CARICO 3 (Q43)*

	<u>IMPALCATO-SX</u>		<u>IMPALCATO-DX</u>	
	Reazioni vincolari B		Reazioni vincolari A	
<u>Serpeggio LM71</u>				
Forza serpeggio =	0,00	kN	0,00	kN
$\alpha =$	1,10		1,10	
<u>Serpeggio SW/2</u>				
Forza serpeggio =	100,00	kN	100,00	kN
$\alpha =$	1,00		1,00	
<u>Forza totale serpeggio</u>				
F2 =	100,00	kN	100,00	kN
h rispetto a intradosso imp. =	3,28	m	3,28	m
<u>Risultanti reazioni vincolari</u>				
F1 =	0		0	
F2 =	-50	kN	-50	kN
F3 =	0		0	
M1 =	164	kNm	164	kNm
M2 =	0		0	
M3 =	0		0	

  	ITINERARIO NAPOLI – BARI RADDOPPIO TRATTA CANCELLO – BENEVENTO I° LOTTO FUNZIONALE CANCELLO - FRASSO TELESINO E VARIANTE ALLA LINEA ROMA-NAPOLI VIA CASSINO NEL COMUNE DI MADDALONI – PROGETTO ESECUTIVO												
Pile 27 e 28: Relazione di calcolo	<table border="1"> <tr> <td>COMMESSA</td> <td>LOTTO</td> <td>CODIFICA</td> <td>DOCUMENTO</td> <td>REV.</td> <td>FOGLIO</td> </tr> <tr> <td>IF1N</td> <td>01 E ZZ</td> <td>CL</td> <td>VI0605 020</td> <td>B</td> <td>81 di 137</td> </tr> </table>	COMMESSA	LOTTO	CODIFICA	DOCUMENTO	REV.	FOGLIO	IF1N	01 E ZZ	CL	VI0605 020	B	81 di 137
COMMESSA	LOTTO	CODIFICA	DOCUMENTO	REV.	FOGLIO								
IF1N	01 E ZZ	CL	VI0605 020	B	81 di 137								

6.3.4.4 DISPOSIZIONE DI CARICO 4 (Q44)

	<u>IMPALCATO-SX</u>		<u>IMPALCATO-DX</u>	
	Reazioni vincolari B		Reazioni vincolari A	
<u>Serpeggio LM71</u>				
Forza serpeggio =	100,00	kN	100,00	kN
$\alpha =$	1,10		1,10	
<u>Serpeggio SW/2</u>				
Forza serpeggio =	0,00	kN	0,00	kN
$\alpha =$	1,00		1,00	
<u>Forza totale serpeggio</u>				
F2 =	110,00	kN	110,00	kN
h rispetto a intradosso imp. =	3,28	m	3,28	m
<u>Risultanti reazioni vincolari</u>				
F1 =	0		0	
F2 =	-55	kN	-55	kN
F3 =	0		0	
M1 =	180	kNm	180	kNm
M2 =	0		0	
M3 =	0		0	

  	ITINERARIO NAPOLI – BARI RADDOPPIO TRATTA CANCELLO – BENEVENTO I° LOTTO FUNZIONALE CANCELLO - FRASSO TELESINO E VARIANTE ALLA LINEA ROMA-NAPOLI VIA CASSINO NEL COMUNE DI MADDALONI – PROGETTO ESECUTIVO												
Pile 27 e 28: Relazione di calcolo	<table border="1"> <tr> <td>COMMESSA</td> <td>LOTTO</td> <td>CODIFICA</td> <td>DOCUMENTO</td> <td>REV.</td> <td>FOGLIO</td> </tr> <tr> <td>IF1N</td> <td>01 E ZZ</td> <td>CL</td> <td>VI0605 020</td> <td>B</td> <td>82 di 137</td> </tr> </table>	COMMESSA	LOTTO	CODIFICA	DOCUMENTO	REV.	FOGLIO	IF1N	01 E ZZ	CL	VI0605 020	B	82 di 137
COMMESSA	LOTTO	CODIFICA	DOCUMENTO	REV.	FOGLIO								
IF1N	01 E ZZ	CL	VI0605 020	B	82 di 137								

6.3.4.5 DISPOSIZIONE DI CARICO 5 (Q45)

	<u>IMPALCATO-SX</u>		<u>IMPALCATO-DX</u>	
	Reazioni vincolari B		Reazioni vincolari A	
<u>Serpeggio LM71</u>				
Forza serpeggio =	100,00	kN	100,00	kN
$\alpha =$	1,10		1,10	
<u>Serpeggio SW/2</u>				
Forza serpeggio =	100,00	kN	100,00	kN
$\alpha =$	1,00		1,00	
<u>Forza totale serpeggio</u>				
F2 =	210,00	kN	210,00	kN
h rispetto a intradosso imp. =	3,28	m	3,28	m
<u>Risultanti reazioni vincolari</u>				
F1 =	0		0	
F2 =	-105	kN	-105	kN
F3 =	0		0	
M1 =	344	kNm	344	kNm
M2 =	0		0	
M3 =	0		0	

  	ITINERARIO NAPOLI – BARI RADDOPPIO TRATTA CANCELLO – BENEVENTO I° LOTTO FUNZIONALE CANCELLO - FRASSO TELESINO E VARIANTE ALLA LINEA ROMA-NAPOLI VIA CASSINO NEL COMUNE DI MADDALONI – PROGETTO ESECUTIVO												
Pile 27 e 28: Relazione di calcolo	<table border="1"> <tr> <td>COMMESSA</td> <td>LOTTO</td> <td>CODIFICA</td> <td>DOCUMENTO</td> <td>REV.</td> <td>FOGLIO</td> </tr> <tr> <td>IF1N</td> <td>01 E ZZ</td> <td>CL</td> <td>VI0605 020</td> <td>B</td> <td>83 di 137</td> </tr> </table>	COMMESSA	LOTTO	CODIFICA	DOCUMENTO	REV.	FOGLIO	IF1N	01 E ZZ	CL	VI0605 020	B	83 di 137
COMMESSA	LOTTO	CODIFICA	DOCUMENTO	REV.	FOGLIO								
IF1N	01 E ZZ	CL	VI0605 020	B	83 di 137								

6.3.4.6 DISPOSIZIONE DI CARICO 6 (Q46)

	<u>IMPALCATO-SX</u>		<u>IMPALCATO-DX</u>	
	Reazioni vincolari B		Reazioni vincolari A	
<u>Serpeggio LM71</u>				
Forza serpeggio =	100,00	kN	100,00	kN
$\alpha =$	1,10		1,10	
<u>Serpeggio SW/2</u>				
Forza serpeggio =	100,00	kN	100,00	kN
$\alpha =$	1,00		1,00	
<u>Forza totale serpeggio</u>				
F2 =	210,00	kN	210,00	kN
h rispetto a intradosso imp. =	3,28	m	3,28	m
<u>Risultanti reazioni vincolari</u>				
F1 =	0		0	
F2 =	-105	kN	-105	kN
F3 =	0		0	
M1 =	344	kNm	344	kNm
M2 =	0		0	
M3 =	0		0	

  	ITINERARIO NAPOLI – BARI RADDOPPIO TRATTA CANCELLO – BENEVENTO I° LOTTO FUNZIONALE CANCELLO - FRASSO TELESINO E VARIANTE ALLA LINEA ROMA-NAPOLI VIA CASSINO NEL COMUNE DI MADDALONI – PROGETTO ESECUTIVO												
Pile 27 e 28: Relazione di calcolo	<table border="1"> <tr> <td>COMMESSA</td> <td>LOTTO</td> <td>CODIFICA</td> <td>DOCUMENTO</td> <td>REV.</td> <td>FOGLIO</td> </tr> <tr> <td>IF1N</td> <td>01 E ZZ</td> <td>CL</td> <td>VI0605 020</td> <td>B</td> <td>84 di 137</td> </tr> </table>	COMMESSA	LOTTO	CODIFICA	DOCUMENTO	REV.	FOGLIO	IF1N	01 E ZZ	CL	VI0605 020	B	84 di 137
COMMESSA	LOTTO	CODIFICA	DOCUMENTO	REV.	FOGLIO								
IF1N	01 E ZZ	CL	VI0605 020	B	84 di 137								

6.3.4.7 DISPOSIZIONE DI CARICO 7 (Q47)

	<u>IMPALCATO-SX</u>		<u>IMPALCATO-DX</u>	
	Reazioni vincolari B		Reazioni vincolari A	
<u>Serpeggio LM71</u>				
Forza serpeggio =	100,00	kN	100,00	kN
$\alpha =$	1,10		1,10	
<u>Serpeggio SW/2</u>				
Forza serpeggio =	100,00	kN	100,00	kN
$\alpha =$	1,00		1,00	
<u>Forza totale serpeggio</u>				
F2 =	210,00	kN	210,00	kN
h rispetto a intradosso imp. =	3,28	m	3,28	m
<u>Risultanti reazioni vincolari</u>				
F1 =	0		0	
F2 =	0	kN	-210	kN
F3 =	0		0	
M1 =	0	kNm	689	kNm
M2 =	0		0	
M3 =	0		0	

  	ITINERARIO NAPOLI – BARI RADDOPPIO TRATTA CANCELLO – BENEVENTO I° LOTTO FUNZIONALE CANCELLO - FRASSO TELESINO E VARIANTE ALLA LINEA ROMA-NAPOLI VIA CASSINO NEL COMUNE DI MADDALONI – PROGETTO ESECUTIVO												
Pile 27 e 28: Relazione di calcolo	<table border="1"> <thead> <tr> <th>COMMESSA</th> <th>LOTTO</th> <th>CODIFICA</th> <th>DOCUMENTO</th> <th>REV.</th> <th>FOGLIO</th> </tr> </thead> <tbody> <tr> <td>IF1N</td> <td>01 E ZZ</td> <td>CL</td> <td>VI0605 020</td> <td>B</td> <td>85 di 137</td> </tr> </tbody> </table>	COMMESSA	LOTTO	CODIFICA	DOCUMENTO	REV.	FOGLIO	IF1N	01 E ZZ	CL	VI0605 020	B	85 di 137
COMMESSA	LOTTO	CODIFICA	DOCUMENTO	REV.	FOGLIO								
IF1N	01 E ZZ	CL	VI0605 020	B	85 di 137								

6.4 CARICHI VARIABILI (Q5)

6.4.1 AZIONI DEL VENTO (Q51)

L'azione del vento viene ricondotta ad un'azione statica equivalente costituita da pressioni e depressioni agenti normalmente alle superfici.

La pressione del vento è data dalla seguente espressione:

$$p = q_b \cdot C_e \cdot C_p \cdot C_d$$

dove

- q_b pressione cinetica di riferimento
- C_e coefficiente di esposizione
- C_p coefficiente di forma
- C_d coefficiente dinamico, posto generalmente pari a 1

Di seguito si riporta il dettaglio del calcolo di tali fattori per l'opera in oggetto.

  	ITINERARIO NAPOLI – BARI RADDOPPIO TRATTA CANCELLO – BENEVENTO I° LOTTO FUNZIONALE CANCELLO - FRASSO TELESINO E VARIANTE ALLA LINEA ROMA-NAPOLI VIA CASSINO NEL COMUNE DI MADDALONI – PROGETTO ESECUTIVO												
Pile 27 e 28: Relazione di calcolo	<table border="1"> <thead> <tr> <th>COMMESSA</th> <th>LOTTO</th> <th>CODIFICA</th> <th>DOCUMENTO</th> <th>REV.</th> <th>FOGLIO</th> </tr> </thead> <tbody> <tr> <td>IF1N</td> <td>01 E ZZ</td> <td>CL</td> <td>VI0605 020</td> <td>B</td> <td>86 di 137</td> </tr> </tbody> </table>	COMMESSA	LOTTO	CODIFICA	DOCUMENTO	REV.	FOGLIO	IF1N	01 E ZZ	CL	VI0605 020	B	86 di 137
COMMESSA	LOTTO	CODIFICA	DOCUMENTO	REV.	FOGLIO								
IF1N	01 E ZZ	CL	VI0605 020	B	86 di 137								

6.4.1.1 *PRESSIONE CINETICA DI RIFERIMENTO*

La pressione cinetica di riferimento si determina mediante l'espressione:

$$q_b = \frac{1}{2} \cdot \rho \cdot v_b^2 \text{ (in N/m}^2\text{)}$$

dove v_b velocità di riferimento
 ρ densità dell'aria, convenzionalmente posta pari a 1,25 kg/m³

Di seguito si determina la pressione di riferimento sulla base dei parametri caratteristici del sito e il tempo di ritorno dell'opera in oggetto:

Parametri dipendenti dal sito

Zona =	3	
$v_{b,0}$ =	27,00	m/s
a_0 =	500,00	m
k_a =	0,02	1/s

Altitudine del sito

a_s =	80,00	m s.l.m.
v_b =	27,00	m/s

Tempo di ritorno

TR =	75	anni
$\alpha_R(TR)$ =	1,02	
$v_b(TR)$ =	27.63	m/s

Pressione di riferimento

q_b =	477.25	N/m ²
---------	--------	------------------

  	ITINERARIO NAPOLI – BARI RADDOPPIO TRATTA CANCELLO – BENEVENTO I° LOTTO FUNZIONALE CANCELLO - FRASSO TELESINO E VARIANTE ALLA LINEA ROMA-NAPOLI VIA CASSINO NEL COMUNE DI MADDALONI – PROGETTO ESECUTIVO												
Pile 27 e 28: Relazione di calcolo	<table border="1"> <thead> <tr> <th>COMMESSA</th> <th>LOTTO</th> <th>CODIFICA</th> <th>DOCUMENTO</th> <th>REV.</th> <th>FOGLIO</th> </tr> </thead> <tbody> <tr> <td>IF1N</td> <td>01 E ZZ</td> <td>CL</td> <td>VI0605 020</td> <td>B</td> <td>87 di 137</td> </tr> </tbody> </table>	COMMESSA	LOTTO	CODIFICA	DOCUMENTO	REV.	FOGLIO	IF1N	01 E ZZ	CL	VI0605 020	B	87 di 137
COMMESSA	LOTTO	CODIFICA	DOCUMENTO	REV.	FOGLIO								
IF1N	01 E ZZ	CL	VI0605 020	B	87 di 137								

6.4.1.2 COEFFICIENTE DI ESPOSIZIONE

Il coefficiente di esposizione c_e dipende dall'altezza z sul suolo del punto considerato, dalla topografia del terreno e dalla categoria di esposizione del sito e si determina mediante l'espressione:

$$c_e(z) = k_r \cdot c_t \cdot \ln(z/z_0) [7 + c_t \cdot \ln(z/z_0)] \quad \text{per } z \geq z_{\min}$$

$$c_e(z) = c_e(z_{\min}) \quad \text{per } z < z_{\min}$$

dove k_r, z_0, z_{\min} sono parametri che dipendono dalla categoria di esposizione del sito;

c_t è il coefficiente di topografia, posto generalmente pari a 1

Di seguito si determina il coefficiente di esposizione sulla base della classe d'esposizione e l'altezza z del punto considerato, posta pari alla massima quota del complesso impalcato, barriere antirumore, sagoma del treno. A tal proposito il §1.4.4.2 [3] impone di considerare il treno come una superficie piana continua convenzionalmente alta 4,00 m sul p.f.. Cautelativamente si considerano presenti barriere H4 ad entrambe le estremità dell'impalcato.

Categoria di esposizione

Classe di rugosità = D
Distanza dalla costa = < 30 km

Categoria di esposizione = II
 k_r = 0,19
 z_0 = 0,05 m
 z_{\min} = 4,00 m

Quota di riferimento z

H pila fino a intradosso imp. = 8.9 m
H imp. fino a p.f. = 3,28 m
H b.a. su p.f. = 4,67 m
H min b.a. su p.f. = 3,35 m
H treno su p.f. = 4,00 m

 z di riferimento = 16.85 m

Coefficiente di esposizione

c_e = 2.80

6.4.1.3 COEFFICIENTE DI FORMA DELL'IMPALCATO

Il coefficiente di forma dell'impalcato e l'area di riferimento per il calcolo della forza risultante si determinano in base ai criteri enunciati nel §8.3.1 [9].

A tal proposito si riconduce il coefficiente di forma c_p al coefficiente di forza $c_{fx,0}$. Il coefficiente di forza $c_{fx,0}$ si determina in base al rapporto tra larghezza b e altezza totale dell'impalcato d_{tot} .

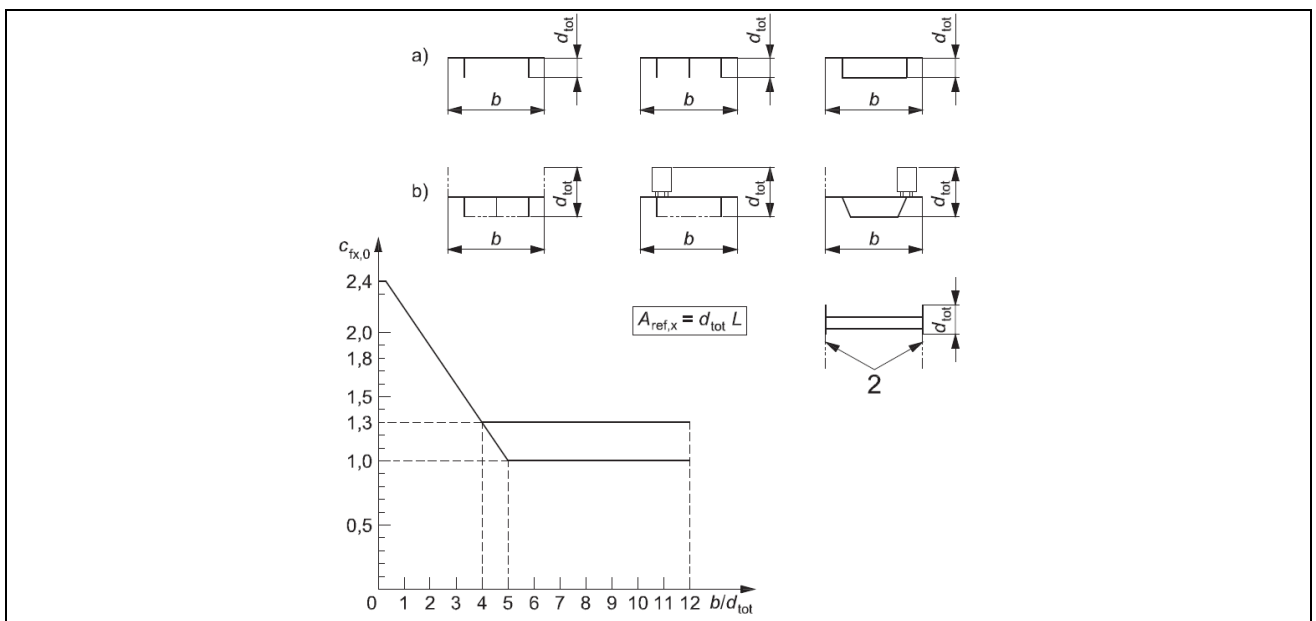


Figura 37 – Correlazione tra il rapporto b/d_{tot} e coefficiente di forma $c_{fx,0}$ (figura 8.3 EC1-4)

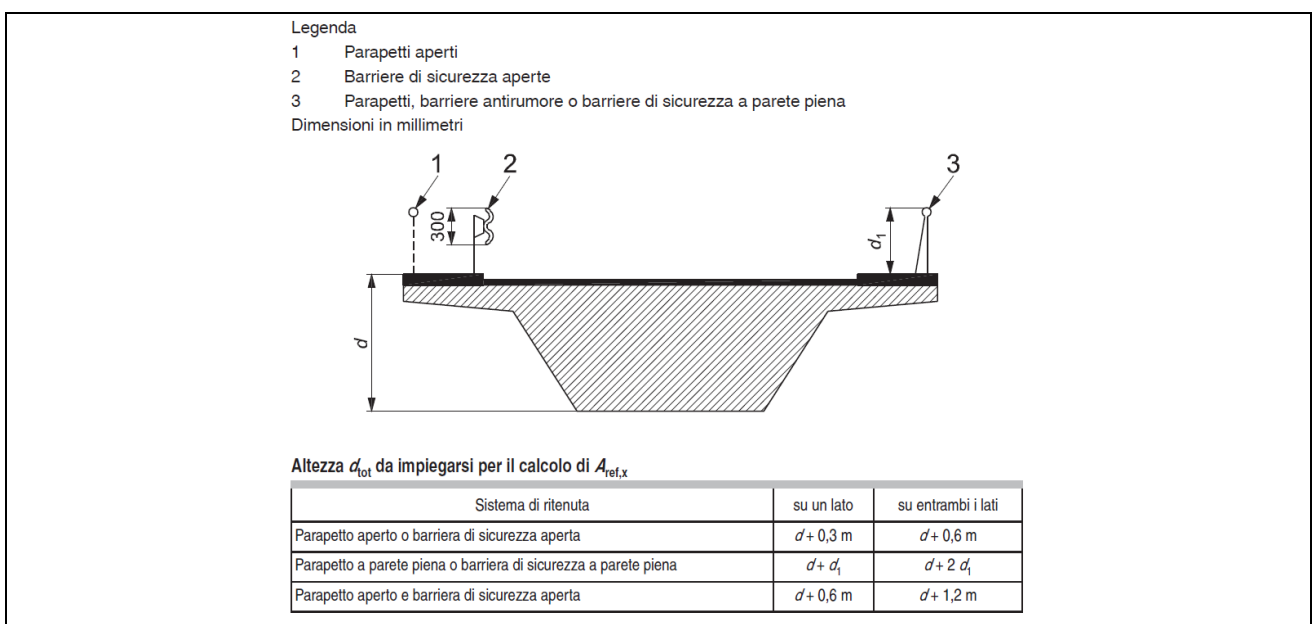


Figura 38 – Criteri per la determinazione dell'area di riferimento (figura 8.5 EC1-4)

  	ITINERARIO NAPOLI – BARI RADDOPPIO TRATTA CANCELLO – BENEVENTO I° LOTTO FUNZIONALE CANCELLO - FRASSO TELESINO E VARIANTE ALLA LINEA ROMA-NAPOLI VIA CASSINO NEL COMUNE DI MADDALONI – PROGETTO ESECUTIVO												
Pile 27 e 28: Relazione di calcolo	<table border="1"> <tr> <td>COMMESSA</td> <td>LOTTO</td> <td>CODIFICA</td> <td>DOCUMENTO</td> <td>REV.</td> <td>FOGLIO</td> </tr> <tr> <td>IF1N</td> <td>01 E ZZ</td> <td>CL</td> <td>VI0605 020</td> <td>B</td> <td>89 di 137</td> </tr> </table>	COMMESSA	LOTTO	CODIFICA	DOCUMENTO	REV.	FOGLIO	IF1N	01 E ZZ	CL	VI0605 020	B	89 di 137
COMMESSA	LOTTO	CODIFICA	DOCUMENTO	REV.	FOGLIO								
IF1N	01 E ZZ	CL	VI0605 020	B	89 di 137								

l'area da considerare per il calcolo della risultante di forza si definisce come la somma di tutte le superfici proiettate dall'impalcato nel piano longitudinale, comprese le barriere e la sagoma dei veicoli.

Per il caso in esame si ha:

Caratteristiche geometriche dell'impalcato

	<u>IMPALCATO-SX</u>		<u>IMPALCATO-DX</u>	
b =	13,70	m	13,70	m
H b.a. su p.f. =	4,67	m	4,67	m
dtot =	7,95	m	7,95	m
b/dtot =	1,72		1,72	
cp =	1,98		1,98	

Coefficiente di forma

cp,max =	1,98
----------	------

Area di riferimento

H impalcato da intrad. a p.f. =	3,28	m	3,28	m
H barriera su p.f. sx =	4,67	m	4,67	m
H barriera su p.f. dx =	4,67	m	4,67	m
H b.a. min su p.f. =	3,35	m	3,35	m
H treno su p.f. =	4,00	m	4,00	m
dtot2 =	12,62	m	12,62	m
L impalcato =	25,00	m	25,00	m
Arif =	315,50	m ²	315,50	m ²

  	ITINERARIO NAPOLI – BARI RADDOPPIO TRATTA CANCELLO – BENEVENTO 1° LOTTO FUNZIONALE CANCELLO - FRASSO TELESINO E VARIANTE ALLA LINEA ROMA-NAPOLI VIA CASSINO NEL COMUNE DI MADDALONI – PROGETTO ESECUTIVO												
Pile 27 e 28: Relazione di calcolo	<table border="1"> <tr> <td>COMMESSA</td> <td>LOTTO</td> <td>CODIFICA</td> <td>DOCUMENTO</td> <td>REV.</td> <td>FOGLIO</td> </tr> <tr> <td>IF1N</td> <td>01 E ZZ</td> <td>CL</td> <td>VI0605 020</td> <td>B</td> <td>90 di 137</td> </tr> </table>	COMMESSA	LOTTO	CODIFICA	DOCUMENTO	REV.	FOGLIO	IF1N	01 E ZZ	CL	VI0605 020	B	90 di 137
COMMESSA	LOTTO	CODIFICA	DOCUMENTO	REV.	FOGLIO								
IF1N	01 E ZZ	CL	VI0605 020	B	90 di 137								

6.4.1.4 AZIONE DEL VENTO SULL'IMPALCATO

Di seguito si procede al calcolo dell'azione del vento sull'impalcato in relazione ai parametri determinati nei paragrafi precedenti.

	<u>IMPALCATO-SX</u>		<u>IMPALCATO-DX</u>	
<u>Pressione del vento</u>				
qb =	477.25	N/m2	477.25	N/m2
ce =	2.80		2.80	
cp =	1,98		1,98	
cd =	1,00		1,00	
qb = qb · ce · cp · cd =	2.65	kN/m2	2.65	kN/m2
<u>Area di riferimento</u>				
Arif =	315,50	m2	315,50	m2
H rispetto a intrad. imp. =	5,62	m	5,62	m
<u>Risultante totale forza del vento</u>				
Fvh =	837.48	kN	837.48	kN
Mvt =	4072.44	kNm	4072.44	kNm
<u>Risultanti reazioni vincolari</u>				
F1 =	0		0	
F2 =	-419	kN	-419	kN
F3 =	0		0	
M1 =	2351	kNm	2351	kNm
M2 =	0		0	
M3 =	0		0	

	ITINERARIO NAPOLI – BARI RADDOPPIO TRATTA CANCELLO – BENEVENTO I° LOTTO FUNZIONALE CANCELLO - FRASSO TELESINO E VARIANTE ALLA LINEA ROMA-NAPOLI VIA CASSINO NEL COMUNE DI MADDALONI – PROGETTO ESECUTIVO					
Pile 27 e 28: Relazione di calcolo	COMMESSA IF1N	LOTTO 01 E ZZ	CODIFICA CL	DOCUMENTO VI0605 020	REV. B	FOGLIO 91 di 137

6.4.1.5 COEFFICIENTE DI FORMA DELLA PILA

Nel caso di pila con sezione circolare, il coefficiente di forma della pila e l'area di riferimento per il calcolo della risultante si determinano in base alle indicazioni del §7.9.2 [9].

A tal proposito si riconduce il coefficiente di forma c_p al coefficiente di forza c_f .

Il coefficiente di esposizione c_f si determina mediante l'espressione:

$$c_f = c_{f,0} \cdot \psi_\lambda$$

dove $c_{f,0}$ è il coefficiente di forma in assenza di effetto di estremità;

ψ_λ è il fattore di effetto di estremità, posto cautelativamente pari a 1.

Il valore di $c_{f,0}$ si determina in funzione del numero di Reynolds e della rugosità equivalente mediante l'abaco riportato in Figura 34. Per il caso in questione, a favore di sicurezza, si pone $c_{f,0}$ pari a 1,2 indipendentemente dai valori del numero di Reynolds e della rugosità equivalente.

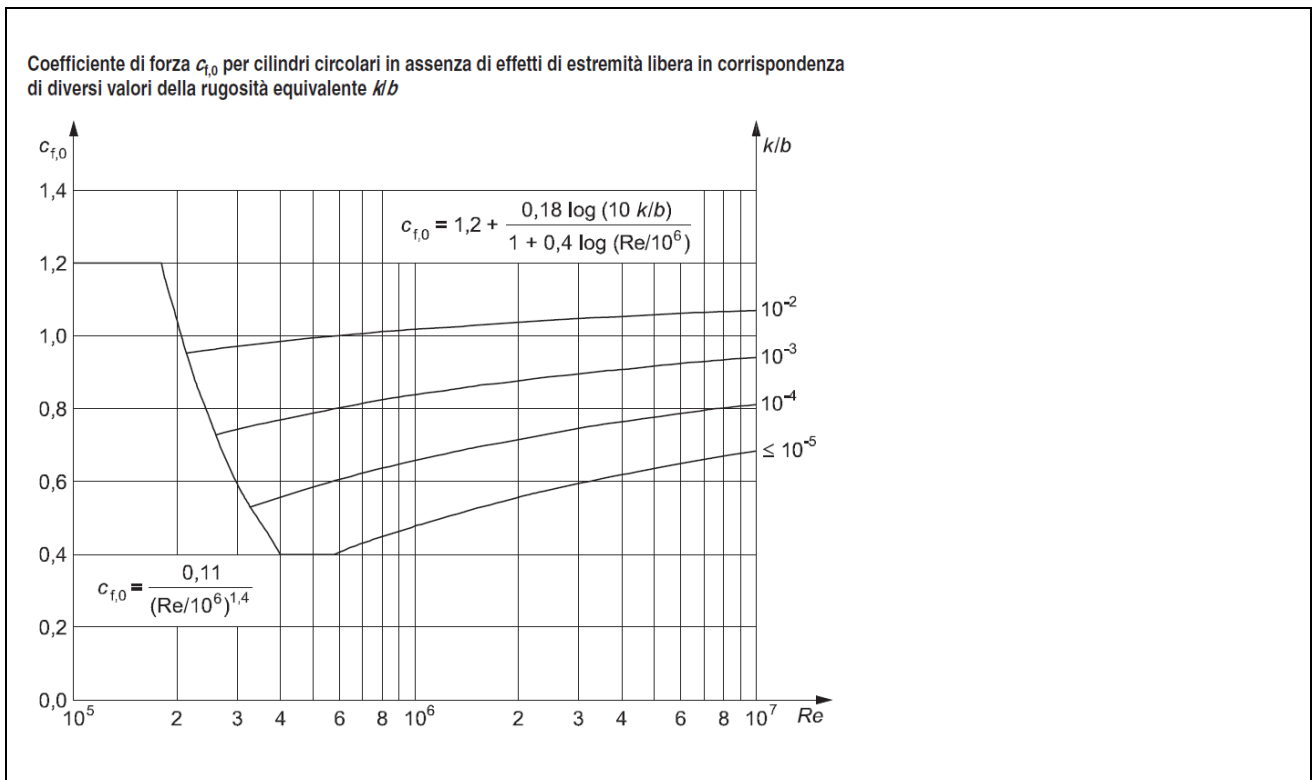


Figura 39 – Correlazione tra numero di Reynolds, la rugosità equivalente e coefficiente di forma $c_{f,0}$ (figura 7.28 EC1-4)

Nel caso di pila con sezione rettangolare, il coefficiente di forma della pila e l'area di riferimento per il calcolo della risultante si determinano in base alle indicazioni del §7.6 [9]. A tal proposito si riconduce il coefficiente di forma c_p al coefficiente di forza c_f .

	ITINERARIO NAPOLI – BARI RADDOPPIO TRATTA CANCELLO – BENEVENTO I° LOTTO FUNZIONALE CANCELLO - FRASSO TELESINO E VARIANTE ALLA LINEA ROMA-NAPOLI VIA CASSINO NEL COMUNE DI MADDALONI – PROGETTO ESECUTIVO					
Pile 27 e 28: Relazione di calcolo	COMMESSA IF1N	LOTTO 01 E ZZ	CODIFICA CL	DOCUMENTO VI0605 020	REV. B	FOGLIO 92 di 137

Il coefficiente di esposizione c_f si determina mediante l'espressione:

$$c_f = c_{f,0} \cdot \psi_r \cdot \psi_\lambda$$

- dove
- $c_{f,0}$ è il coefficiente di forma in assenza di effetto di estremità;
 - ψ_r è il fattore riduttivo per sezioni con spigoli arrotondati;
 - ψ_λ è il fattore di effetto di estremità, posto cautelativamente pari a 1.

I valori di $c_{f,0}$ e ψ_r si determinano in funzione del rapporto tra le dimensioni in sezione dell'elemento investito, secondo gli abachi riportati nella Figura 35.

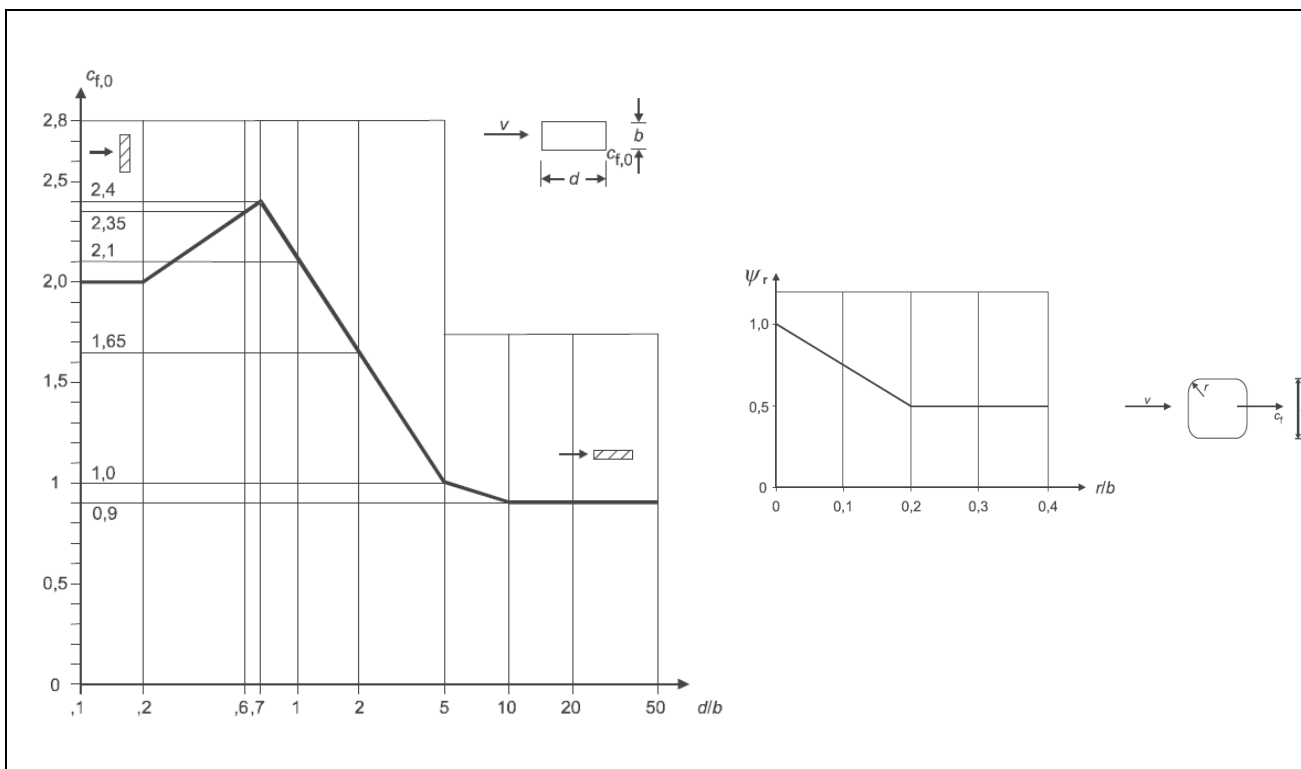


Figura 40 – Correlazione tra dimensioni in sezione dell'elemento e il coefficiente di forma $c_{f,0}$ (figura 7.23 EC1-4) e correlazione tra il raggio di arrotondamento dello spigolo e il fattore riduttivo ψ_r (figura 7.24 EC1-4)

  	ITINERARIO NAPOLI – BARI RADDOPPIO TRATTA CANCELLO – BENEVENTO I° LOTTO FUNZIONALE CANCELLO - FRASSO TELESINO E VARIANTE ALLA LINEA ROMA-NAPOLI VIA CASSINO NEL COMUNE DI MADDALONI – PROGETTO ESECUTIVO												
Pile 27 e 28: Relazione di calcolo	<table border="1"> <thead> <tr> <th>COMMESSA</th> <th>LOTTO</th> <th>CODIFICA</th> <th>DOCUMENTO</th> <th>REV.</th> <th>FOGLIO</th> </tr> </thead> <tbody> <tr> <td>IF1N</td> <td>01 E ZZ</td> <td>CL</td> <td>VI0605 020</td> <td>B</td> <td>93 di 137</td> </tr> </tbody> </table>	COMMESSA	LOTTO	CODIFICA	DOCUMENTO	REV.	FOGLIO	IF1N	01 E ZZ	CL	VI0605 020	B	93 di 137
COMMESSA	LOTTO	CODIFICA	DOCUMENTO	REV.	FOGLIO								
IF1N	01 E ZZ	CL	VI0605 020	B	93 di 137								

L'area da considerare per il calcolo della risultante di forza si definisce come la superficie proiettata dalla pila nel piano longitudinale. Per il caso in esame si ha:

Caratteristiche geometriche della pila

Forma della pila =	Rettangolare cava smussata	
Dimensione proiettata nel piano b =	2.60	m
d =	8.60	m
d/b =	3.31	
cf,0 =	1.29	
r =	1,00	m
r/b =	0.38	
ψr =	0.50	
$\psi \lambda$ =	1.00	

Coefficiente di forma

$c_p = c_f = c_{f,0} \cdot \psi r \cdot \psi \lambda =$	1.00
---	------

Azione del vento sulla pila:

Pressione del vento

qb =	477.25	kN/m ²
ce =	2.80	
cp =	1.00	
cd =	1.00	

$q_b = q_b \cdot c_e \cdot c_p \cdot c_d =$	1.34	kN/m ²
---	------	-------------------

Risultante totale forza del vento

b =	2.60	m
f _{vh} =	3.48	kN/m

L'azione del vento così calcolata viene applicata come una forza uniformemente distribuita sugli elementi che compongono il fusto e il pulvino della pila.

  	ITINERARIO NAPOLI – BARI RADDOPPIO TRATTA CANCELLO – BENEVENTO I° LOTTO FUNZIONALE CANCELLO - FRASSO TELESINO E VARIANTE ALLA LINEA ROMA-NAPOLI VIA CASSINO NEL COMUNE DI MADDALONI – PROGETTO ESECUTIVO												
Pile 27 e 28: Relazione di calcolo	<table border="1"> <tr> <td>COMMESSA</td> <td>LOTTO</td> <td>CODIFICA</td> <td>DOCUMENTO</td> <td>REV.</td> <td>FOGLIO</td> </tr> <tr> <td>IF1N</td> <td>01 E ZZ</td> <td>CL</td> <td>VI0605 020</td> <td>B</td> <td>94 di 137</td> </tr> </table>	COMMESSA	LOTTO	CODIFICA	DOCUMENTO	REV.	FOGLIO	IF1N	01 E ZZ	CL	VI0605 020	B	94 di 137
COMMESSA	LOTTO	CODIFICA	DOCUMENTO	REV.	FOGLIO								
IF1N	01 E ZZ	CL	VI0605 020	B	94 di 137								

6.5 AZIONI INDIRETTE (Q6)

6.5.1 RESISTENZE PARASSITE NEI VINCOLI (Q61)

Per la valutazione delle coazioni generate dallo scorrimento dei vincoli, è stato considerato un coefficiente d'attrito f pari a 0,06, applicato alle azioni verticali agenti sugli apparecchi d'appoggio.

Con riferimento a quanto riportato nel §1.6.3 [3] la forza agente sulle pile per impalcati a travate isostatiche, facendo riferimento all'apparecchio d'appoggio maggiormente caricato tra i due presenti sulla pila, si considera pari a:

$$F_a = f (0,2 \cdot V_G + V_Q)$$

dove V_G reazione verticale massima associata ai carichi permanenti

V_Q reazione verticale massima associata ai carichi mobili dinamizzati

IMPALCATO-SX

IMPALCATO-DX

Reazioni verticali massime

$$V_G = F_3 (G_1 + G_2) = \quad 5826,14 \quad \text{kN} \quad \quad 5826,14 \quad \text{kN}$$

$$V_Q = F_3 (Q_{1\max}) = \quad 3558,56 \quad \text{kN} \quad \quad 3558,56 \quad \text{kN}$$

Forza d'attrito risultante per il singolo impalcato

$$f = \quad 0,06 \quad \quad 0,06$$

$$F_1 = \quad 283,43 \quad \text{kN} \quad \quad 283,43 \quad \text{kN}$$

Risultante azione parassita nei vincoli

$$F_{1\max} = \quad 283,43 \quad \text{kN}$$

Risultanti reazioni vincolari

$$F_1 = \quad 0 \quad \text{kN} \quad \quad -283 \quad \text{kN}$$

$$F_2 = \quad 0 \quad \quad 0$$

$$F_3 = \quad 0 \quad \quad 0$$

$$M_1 = \quad 0 \quad \quad 0$$

$$M_2 = \quad 0 \quad \quad 0$$

$$M_3 = \quad 0 \quad \quad 0$$

  	ITINERARIO NAPOLI – BARI RADDOPPIO TRATTA CANCELLO – BENEVENTO I° LOTTO FUNZIONALE CANCELLO - FRASSO TELESINO E VARIANTE ALLA LINEA ROMA-NAPOLI VIA CASSINO NEL COMUNE DI MADDALONI – PROGETTO ESECUTIVO												
Pile 27 e 28: Relazione di calcolo	<table border="1"> <tr> <td>COMMESSA</td> <td>LOTTO</td> <td>CODIFICA</td> <td>DOCUMENTO</td> <td>REV.</td> <td>FOGLIO</td> </tr> <tr> <td>IF1N</td> <td>01 E ZZ</td> <td>CL</td> <td>VI0605 020</td> <td>B</td> <td>95 di 137</td> </tr> </table>	COMMESSA	LOTTO	CODIFICA	DOCUMENTO	REV.	FOGLIO	IF1N	01 E ZZ	CL	VI0605 020	B	95 di 137
COMMESSA	LOTTO	CODIFICA	DOCUMENTO	REV.	FOGLIO								
IF1N	01 E ZZ	CL	VI0605 020	B	95 di 137								

6.6 EFFETTI D'INTERAZIONE (Q7)

Ove non applicabile il metodo semplificato per la valutazione delle azioni dovute agli effetti di interazione binario-struttura secondo quanto previsto nell'Allegato 3 delle specifiche RFI [3] si rimanda allo specifico elaborato:

IF0F.01.D.09.CL.VI0000.001 – *Viadotti ferroviari – Relazione di interazione treno-binario-struttura.*

6.6.1 VARIAZIONI TERMICHE DELL'IMPALCATO (Q71)

La presente azione si considera applicata in corrispondenza del piano ferro.

Di seguito si considera come prima pila la pila accostata alla spalla munita di appoggi fissi, si considera pertanto come ultima pila la pila accostata alla spalla munita di appoggi scorrevoli.

Dal §3.1 dell'Allegato 3 delle Specifiche RFI [3] si desume:

$$F_{ts} = \beta \cdot \alpha_{ts1} \cdot \alpha_{ts2} \cdot \alpha_{ts3} \cdot L \cdot q \cdot n$$

dove	α_{ts1}	0,70 nel caso di $\Delta t = 30 \text{ }^\circ\text{C}$ (valore massimo)
	α_{ts2}	1,00 (rigidezza massima della spalla)
	α_{ts3}	0,80 nel caso di viadotto con un numero di campate ≥ 3
	L	luce della campata
	q	resistenza allo scorrimento longitudinale del binario scarico, posto generalmente pari a 20,00 kN/m
	n	numero di binari
	β	0,40 nel caso dell'ultima pila
	β	0,20 nel caso della penultima e della prima pila
	β	0,00 nel caso delle pile intermedie
		Cautelativamente si pone β pari al suo valore massimo, ossia 0,4.

IMPALCATO-SX

IMPALCATO-DX

Reazione per variazioni termiche dell'impalcato

$\Delta T =$	30.00	$^\circ\text{C}$	30.00	$^\circ\text{C}$
L impalcato =	25.00	kN	25.00	kN
q =	20.00	kN/m	20.00	kN/m
n binari =	2.00		2.00	
$\alpha_{tp1} =$	0.70		0.70	
$\alpha_{tp2} =$	1.00		1.00	
$\alpha_{tp3} =$	1.00		1.00	
$F_{t,spalla} =$	700.00	kN	700.00	kN
$F_{t,pila} =$	280.00	kN	280.00	kN

  	ITINERARIO NAPOLI – BARI RADDOPPIO TRATTA CANCELLO – BENEVENTO I° LOTTO FUNZIONALE CANCELLO - FRASSO TELESINO E VARIANTE ALLA LINEA ROMA-NAPOLI VIA CASSINO NEL COMUNE DI MADDALONI – PROGETTO ESECUTIVO												
Pile 27 e 28: Relazione di calcolo	<table border="1"> <thead> <tr> <th>COMMESSA</th> <th>LOTTO</th> <th>CODIFICA</th> <th>DOCUMENTO</th> <th>REV.</th> <th>FOGLIO</th> </tr> </thead> <tbody> <tr> <td>IF1N</td> <td>01 E ZZ</td> <td>CL</td> <td>VI0605 020</td> <td>B</td> <td>96 di 137</td> </tr> </tbody> </table>	COMMESSA	LOTTO	CODIFICA	DOCUMENTO	REV.	FOGLIO	IF1N	01 E ZZ	CL	VI0605 020	B	96 di 137
COMMESSA	LOTTO	CODIFICA	DOCUMENTO	REV.	FOGLIO								
IF1N	01 E ZZ	CL	VI0605 020	B	96 di 137								

Tipo di vincolo = UL F
Moltiplicatore = 0.00 1.00

Forza risultante

F1 = 0.00 kN 280.00 kN

Risultanti reazioni vincolari

F1 = 0 kN -280 kN
F2 = 0
F3 = 0
M1 = 0
M2 = 0
M3 = 0

6.6.2 AZIONI DI FRENATURA E AVVIAMENTO

Gli effetti di interazione relativi alle azioni di frenatura e avviamento si tengono conto applicando ai valori della risultante un coefficiente α_n che tiene conto del rapporto di rigidità tra le pile del viadotto.

Cautelativamente si prendono in considerazione le condizioni più sfavorevoli, ossia:

- per le azioni di frenatura del modello di carico LM71 : $\alpha_{hp} = \alpha_{hp3} = 1,60$
- per le azioni di frenatura del modello di carico SW/2 : $\alpha_{hp} = \alpha_{hp3} = 1,30$
- per le azioni di avviamento di entrambi i modelli di carico : $\alpha_{hp} = \alpha_{hp3} \cdot \alpha_{hp4} = 1,60 \cdot 0,70 = 1,12$

6.6.3 INFLESSIONE DELL'IMPALCATO DOVUTA AI CARICHI VERTICALI DA TRAFFICO

Le azioni longitudinali da inflessione impalcato esercitano delle spinte che si contrappongono alle flessioni generate dall'eccentricità dei carichi verticali. Per questo motivo a vantaggio di sicurezza tali azioni vengono trascurate nei calcoli successivi.

  	ITINERARIO NAPOLI – BARI RADDOPPIO TRATTA CANCELLO – BENEVENTO I° LOTTO FUNZIONALE CANCELLO - FRASSO TELESINO E VARIANTE ALLA LINEA ROMA-NAPOLI VIA CASSINO NEL COMUNE DI MADDALONI – PROGETTO ESECUTIVO												
Pile 27 e 28: Relazione di calcolo	<table border="1"> <tr> <td>COMMESSA</td> <td>LOTTO</td> <td>CODIFICA</td> <td>DOCUMENTO</td> <td>REV.</td> <td>FOGLIO</td> </tr> <tr> <td>IF1N</td> <td>01 E ZZ</td> <td>CL</td> <td>VI0605 020</td> <td>B</td> <td>97 di 137</td> </tr> </table>	COMMESSA	LOTTO	CODIFICA	DOCUMENTO	REV.	FOGLIO	IF1N	01 E ZZ	CL	VI0605 020	B	97 di 137
COMMESSA	LOTTO	CODIFICA	DOCUMENTO	REV.	FOGLIO								
IF1N	01 E ZZ	CL	VI0605 020	B	97 di 137								

6.7 AZIONI SISMICHE (E)

L'azione sismica di progetto è rappresentata da spettri di risposta definiti in base alla pericolosità sismica di base del sito ove sorge l'opera in oggetto, la vita di riferimento e le caratteristiche del sottosuolo.

Di seguito si riportano i parametri di input utilizzati per la definizione degli spettri di progetto orizzontali e verticali e i grafici degli stessi. Gli spettri di progetto così definiti vengono utilizzati nel modello di calcolo per la definizione di casi di analisi di tipo "dinamica lineare con spettro di risposta".

I valori del fattore di struttura q , adottati per la definizione delle azioni sismiche e per il dimensionamento degli elementi secondo i criteri della gerarchia delle resistenze, sono stati definiti in base ai criteri di seguito esplicitati.

Il valore del fattore di struttura q assunto per il dimensionamento delle fondazioni è pari a 1,5, in accordo con quanto indicato nel §1.8.3.3 [3] per le fondazioni su pali.

Per le strutture in elevazione, in accordo con quanto indicato nel §7.9.2.1 [1] per pile verticali inflesse in c.a. e progettazione in CD"B", si assume un fattore di struttura q_0 pari a 1,5 (vedi Tabella 1).

Per elementi duttili in c.a. i valori di q_0 riportati in Tabella 1, valgono se la sollecitazione di compressione normalizzata v_k non eccede il valore 0,3. Per valori di v_k compresi tra 0,3 e 0,6 (v_k non può eccedere 0,6) q_0 si ottiene dalla relazione seguente:

$$q_0(v_k) = q_0 - (v_k/0,3 - 1) \cdot (q_0 - 1)$$

Infine il fattore di struttura q da adottare nelle analisi si ottiene moltiplicando il q_0 così ottenuto per il coefficiente riduttivo K_R che dipende dalle caratteristiche di regolarità della struttura.

In generale il requisito di regolarità e quindi il valore di K_R si determinano a posteriori secondo il procedimento indicato nel §7.9.2.1 [1]. Per il caso in esame si ipotizza un K_R pari a 1.

$$q_0(v_k) = q_0 = 1,5$$

$$q = q_0(v_k) \cdot K_R = 1,5.$$

Tipi di elementi duttili	q_0	
	CD"B"	CD"A"
Pile in cemento armato		
Pile verticali inflesse	1,5	3,5 λ
Elementi di sostegno inclinati inflessi	1,2	2,1 λ
Pile in acciaio:		
Pile verticali inflesse	1,5	3,5
Elementi di sostegno inclinati inflessi	1,2	2,0
Pile con controventi concentrici	1,5	2,5
Pile con controventi eccentrici	-	3,5
Spalle rigidamente connesse con l'impalcato		
In generale	1,5	1,5
Strutture che si muovono col terreno ⁷	1,0	1,0
Archi	1,2	2,0

⁷ Le strutture che si muovono con il terreno non subiscono amplificazione dell'accelerazione del suolo. Esse sono caratterizzate da periodi naturali di vibrazione in direzione orizzontale molto bassi ($T \leq 0,03$ s). Appartengono a questa categoria le spalle connesse, mediante collegamenti flessibili, all'impalcato.

Tabella 1 – Valori del fattore struttura q_0 per differenti tipologie di pile e spalle - tabella 7.9.1 [1]

  	ITINERARIO NAPOLI – BARI RADDOPPIO TRATTA CANCELLO – BENEVENTO I° LOTTO FUNZIONALE CANCELLO - FRASSO TELESINO E VARIANTE ALLA LINEA ROMA-NAPOLI VIA CASSINO NEL COMUNE DI MADDALONI – PROGETTO ESECUTIVO												
Pile 27 e 28: Relazione di calcolo	<table border="1"> <tr> <td>COMMESSA</td> <td>LOTTO</td> <td>CODIFICA</td> <td>DOCUMENTO</td> <td>REV.</td> <td>FOGLIO</td> </tr> <tr> <td>IF1N</td> <td>01 E ZZ</td> <td>CL</td> <td>VI0605 020</td> <td>B</td> <td>98 di 137</td> </tr> </table>	COMMESSA	LOTTO	CODIFICA	DOCUMENTO	REV.	FOGLIO	IF1N	01 E ZZ	CL	VI0605 020	B	98 di 137
COMMESSA	LOTTO	CODIFICA	DOCUMENTO	REV.	FOGLIO								
IF1N	01 E ZZ	CL	VI0605 020	B	98 di 137								

6.7.1 SPETTRI DI PROGETTO ALLO SLV

Coordinate geografiche della pila:

PILA	Latitudine [°]	Longitudine [°]
P27	41.10356	14.43684
P28	41.10375	14.43704

Strategia di progettazione

Vita nominale VN =	75	anni
Coefficiente d'uso cu =	1.5	
Vita di riferimento VR =	112.5	anni
Categoria di sottosuolo =	B	
Categoria topografica =	T1	

Per la definizione della categoria di suolo si rimanda all'elaborato progettuale "IF1N.0.1.E.ZZ.RB.GE.00.0.5.001.A - Relazione geotecnica generale di linea delle opere all'aperto".

$q_0 =$	1,50
$K_r =$	1,00

Il valore di v_k è pari a :

0.05

Fattore di struttura $q =$	1,50	
Smorzamento $\xi =$	5,00	%

  	ITINERARIO NAPOLI – BARI RADDOPPIO TRATTA CANCELLO – BENEVENTO I° LOTTO FUNZIONALE CANCELLO - FRASSO TELESINO E VARIANTE ALLA LINEA ROMA-NAPOLI VIA CASSINO NEL COMUNE DI MADDALONI – PROGETTO ESECUTIVO												
Pile 27 e 28: Relazione di calcolo	<table border="1"> <thead> <tr> <th>COMMESSA</th> <th>LOTTO</th> <th>CODIFICA</th> <th>DOCUMENTO</th> <th>REV.</th> <th>FOGLIO</th> </tr> </thead> <tbody> <tr> <td>IF1N</td> <td>01 E ZZ</td> <td>CL</td> <td>VI0605 020</td> <td>B</td> <td>99 di 137</td> </tr> </tbody> </table>	COMMESSA	LOTTO	CODIFICA	DOCUMENTO	REV.	FOGLIO	IF1N	01 E ZZ	CL	VI0605 020	B	99 di 137
COMMESSA	LOTTO	CODIFICA	DOCUMENTO	REV.	FOGLIO								
IF1N	01 E ZZ	CL	VI0605 020	B	99 di 137								

6.7.1.1 PARAMETRI PER LA DEFINIZIONE DELLO SPETTRO ORIZZONTALE

Tr	1068	anni
ag_o	0.196	g
Fo	2.524	
S	1.200	
TB	0.189	sec
TC	0.566	sec
TD	2.385	sec

6.7.1.2 PARAMETRI PER LA DEFINIZIONE DELLO SPETTRO VERTICALE

Tr	1068	anni
ag_v	0.117	g
Fv	2.524	
S	1.000	
TB	0.050	sec
TC	0.150	sec
TD	1.000	sec

  	ITINERARIO NAPOLI – BARI RADDOPPIO TRATTA CANCELLO – BENEVENTO 1° LOTTO FUNZIONALE CANCELLO - FRASSO TELESINO E VARIANTE ALLA LINEA ROMA-NAPOLI VIA CASSINO NEL COMUNE DI MADDALONI – PROGETTO ESECUTIVO												
Pile 27 e 28: Relazione di calcolo	<table border="1"> <thead> <tr> <th>COMMESSA</th> <th>LOTTO</th> <th>CODIFICA</th> <th>DOCUMENTO</th> <th>REV.</th> <th>FOGLIO</th> </tr> </thead> <tbody> <tr> <td>IF1N</td> <td>01 E ZZ</td> <td>CL</td> <td>VI0605 020</td> <td>B</td> <td>100 di 137</td> </tr> </tbody> </table>	COMMESSA	LOTTO	CODIFICA	DOCUMENTO	REV.	FOGLIO	IF1N	01 E ZZ	CL	VI0605 020	B	100 di 137
COMMESSA	LOTTO	CODIFICA	DOCUMENTO	REV.	FOGLIO								
IF1N	01 E ZZ	CL	VI0605 020	B	100 di 137								

Spettri di risposta (componenti orizz. e vert.) per lo stato limite: SLV

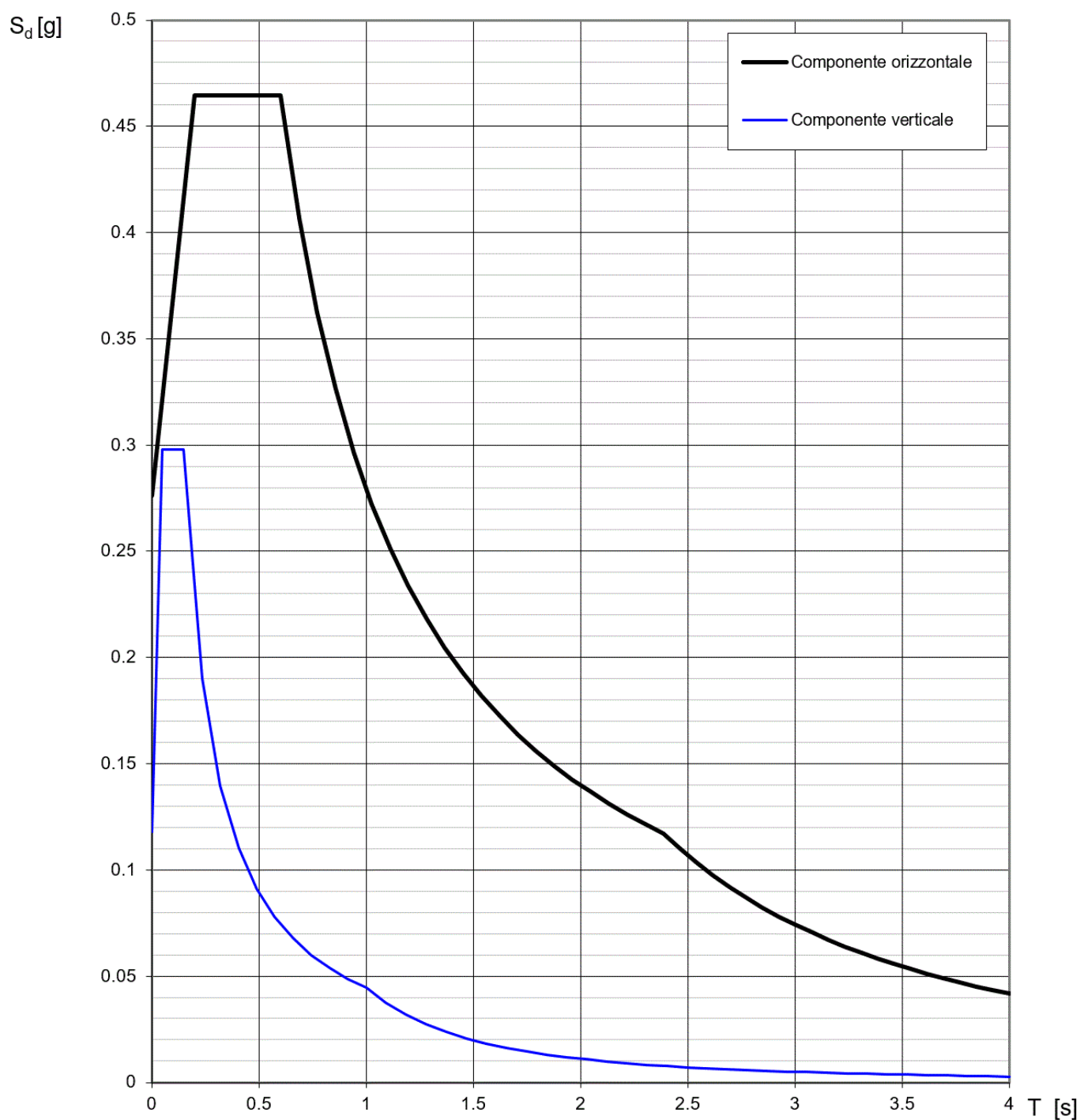


Figura 41 – Spettro elastico di progetto allo SLV – Componente orizzontale e verticale

  	ITINERARIO NAPOLI – BARI RADDOPPIO TRATTA CANCELLO – BENEVENTO I° LOTTO FUNZIONALE CANCELLO - FRASSO TELESINO E VARIANTE ALLA LINEA ROMA-NAPOLI VIA CASSINO NEL COMUNE DI MADDALONI – PROGETTO ESECUTIVO												
Pile 27 e 28: Relazione di calcolo	<table border="1"> <tr> <td>COMMESSA</td> <td>LOTTO</td> <td>CODIFICA</td> <td>DOCUMENTO</td> <td>REV.</td> <td>FOGLIO</td> </tr> <tr> <td>IF1N</td> <td>01 E ZZ</td> <td>CL</td> <td>VI0605 020</td> <td>B</td> <td>101 di 137</td> </tr> </table>	COMMESSA	LOTTO	CODIFICA	DOCUMENTO	REV.	FOGLIO	IF1N	01 E ZZ	CL	VI0605 020	B	101 di 137
COMMESSA	LOTTO	CODIFICA	DOCUMENTO	REV.	FOGLIO								
IF1N	01 E ZZ	CL	VI0605 020	B	101 di 137								

7 COMBINAZIONI DI CARICO

Di seguito vengono riportate le tabelle che riepilogano le condizioni di carico elementari (C.C.E.) considerate.

	C.C.E.	Descrizione
G - Permanenti	G1	Pesi propri
	G21	Ballast
	G22	Permanenti non strutturali
Q1 - Variabili verticali	Q11	Disposizione 1 (massimizza N)
	Q12	Disposizione 2 (massimizza M2)
	Q13	Disposizione 3 (massimizza M1)
	Q14	Disposizione 4 (massimizza M1)
	Q15	Disposizione 5 (massimizza N+M2)
	Q16	Disposizione 6 (massimizza N)
	Q17	Disposizione 7 (minimizza N)
Q2 - Avviamento e frenatura	Q21	Disposizione 1 (massimizza N)
	Q22	Disposizione 2 (massimizza M2)
	Q23	Disposizione 3 (massimizza M1)
	Q24	Disposizione 4 (massimizza M1)
	Q25	Disposizione 5 (massimizza N+M2)
	Q26	Disposizione 6 (massimizza N)
	Q27	Disposizione 7 (minimizza N)
Q3 - Centrifuga	Q31	Disposizione 1 (massimizza N)
	Q32	Disposizione 2 (massimizza M2)
	Q33	Disposizione 3 (massimizza M1)
	Q34	Disposizione 4 (massimizza M1)
	Q35	Disposizione 5 (massimizza N+M2)
	Q36	Disposizione 6 (massimizza N)
	Q37	Disposizione 7 (minimizza N)
Q4 - Serpeggio	Q41	Disposizione 1 (massimizza N)
	Q42	Disposizione 2 (massimizza M2)
	Q43	Disposizione 3 (massimizza M1)
	Q44	Disposizione 4 (massimizza M1)
	Q45	Disposizione 5 (massimizza N+M2)
	Q46	Disposizione 6 (massimizza N)
	Q47	Disposizione 7 (minimizza N)
Variabili	Q51	Vento
Azioni interne	Q61	Attrito su vincoli
Effetti d'interazione	Q71	Variazioni termiche
E - Azioni sismiche	E1	Sisma x
	E2	Sisma y
	E3	Sisma z

  	ITINERARIO NAPOLI – BARI RADDOPPIO TRATTA CANCELLO – BENEVENTO I° LOTTO FUNZIONALE CANCELLO - FRASSO TELESINO E VARIANTE ALLA LINEA ROMA-NAPOLI VIA CASSINO NEL COMUNE DI MADDALONI – PROGETTO ESECUTIVO					
	Pile 27 e 28: Relazione di calcolo	COMMESSA IF1N	LOTTO 01 E ZZ	CODIFICA CL	DOCUMENTO VI0605 020	REV. B

Le combinazioni di calcolo sono state definite sulla base dei criteri enunciati nei §1.8.2.3 [3], §1.8.3.1 [3] e §1.8.3.2 [3] di cui si riportano di seguito alcuni stralci.

TIPO DI CARICO	Azioni verticali		Azioni orizzontali			Commenti
	Carico verticale (1)	Treno scarico	Frenatura e avviamento	Centrifuga	Serpeggio	
Gruppo 1 (2)	1,00	-	0,5 (0,0)	1,0 (0,0)	1,0 (0,0)	massima azione verticale e laterale
Gruppo 2 (2)	-	1,00	0,00	1,0 (0,0)	1,0(0,0)	stabilità laterale
Gruppo 3 (2)	1,0 (0,5)	-	1,00	0,5 (0,0)	0,5 (0,0)	massima azione longitudinale
Gruppo 4	0,8 (0,6; 0,4)	-	0,8 (0,6; 0,4)	0,8 (0,6; 0,4)	0,8 (0,6; 0,4)	fessurazione

Azione dominante
 (1) Includendo tutti i fattori ad essi relativi (Φ, α , ecc...)
 (2) La simultaneità di due o tre valori caratteristici interi (assunzione di diversi coefficienti pari ad 1), sebbene improbabile, è stata considerata come semplificazione per i gruppi di carico 1, 2, 3 senza che ciò abbia significative conseguenze progettuali.

Tabella 2 – Definizione dei gruppi di carico

		Coefficiente	EQU ⁽¹⁾	A1 STR	A2 GEO	Combinazione eccezionale	Combinazione Sismica
Carichi permanenti	favorevoli	γ_{G1}	0,90	1,00	1,00	1,00	1,00
	sfavorevoli		1,10	1,35	1,00	1,00	1,00
Carichi permanenti non strutturali ⁽²⁾	favorevoli	γ_{G2}	0,00	0,00	0,00	1,00	1,00
	sfavorevoli		1,50	1,50	1,30	1,00	1,00
Ballast ⁽³⁾	favorevoli	γ_B	0,90	1,00	1,00	1,00	1,00
	sfavorevoli		1,50	1,50	1,30	1,00	1,00
Carichi variabili da traffico ⁽⁴⁾	favorevoli	γ_Q	0,00	0,00	0,00	0,00	0,00
	sfavorevoli		1,45	1,45	1,25	0,20 ⁽⁵⁾	0,20 ⁽⁵⁾
Carichi variabili	favorevoli	γ_{Qi}	0,00	0,00	0,00	0,00	0,00
	sfavorevoli		1,50	1,50	1,30	1,00	0,00
Precompressione	favorevole	γ_P	0,90	1,00	1,00	1,00	1,00
	sfavorevole		1,00 ⁽⁶⁾	1,00 ⁽⁷⁾	1,00	1,00	1,00

(1) Equilibrio che non coinvolga i parametri di deformabilità e resistenza del terreno; altrimenti si applicano i valori di GEO.
 (2) Nel caso in cui i carichi permanenti non strutturali (ad es. carichi permanenti portati) siano compiutamente definiti si potranno adottare gli stessi coefficienti validi per le azioni permanenti.
 (3) Quando si prevedano variazioni significative del carico dovuto al ballast, se ne dovrà tener conto esplicitamente nelle verifiche.
 (4) Le componenti delle azioni da traffico sono introdotte in combinazione considerando uno dei gruppi di carico gr della Tab. 5.2.IV.
 (5) Aliquota di carico da traffico da considerare.
 (6) 1,30 per instabilità in strutture con precompressione esterna
 (7) 1,20 per effetti locali

Tabella 3 – Coefficienti parziali di sicurezza per le combinazioni agli SLU

  	ITINERARIO NAPOLI – BARI RADDOPPIO TRATTA CANCELLO – BENEVENTO I° LOTTO FUNZIONALE CANCELLO - FRASSO TELESINO E VARIANTE ALLA LINEA ROMA-NAPOLI VIA CASSINO NEL COMUNE DI MADDALONI – PROGETTO ESECUTIVO												
Pile 27 e 28: Relazione di calcolo	<table border="1" style="width: 100%; border-collapse: collapse;"> <tr> <td style="text-align: center;">COMMESSA</td> <td style="text-align: center;">LOTTO</td> <td style="text-align: center;">CODIFICA</td> <td style="text-align: center;">DOCUMENTO</td> <td style="text-align: center;">REV.</td> <td style="text-align: center;">FOGLIO</td> </tr> <tr> <td style="text-align: center;">IF1N</td> <td style="text-align: center;">01 E ZZ</td> <td style="text-align: center;">CL</td> <td style="text-align: center;">VI0605 020</td> <td style="text-align: center;">B</td> <td style="text-align: center;">103 di 137</td> </tr> </table>	COMMESSA	LOTTO	CODIFICA	DOCUMENTO	REV.	FOGLIO	IF1N	01 E ZZ	CL	VI0605 020	B	103 di 137
COMMESSA	LOTTO	CODIFICA	DOCUMENTO	REV.	FOGLIO								
IF1N	01 E ZZ	CL	VI0605 020	B	103 di 137								

Azioni		Ψ_0	Ψ_1	Ψ_2
Azioni singole da traffico	Carico sul rilevato a tergo delle spalle	0,80	0,50	0,0
	Azioni aerodinamiche generate dal transito dei convogli	0,80	0,50	0,0
Gruppi di carico	σ_1	0,80 ⁽²⁾	0,80 ⁽¹⁾	0,0
	σ_2	0,80 ⁽²⁾	0,80 ⁽¹⁾	-
	σ_3	0,80 ⁽²⁾	0,80 ⁽¹⁾	0,0
	σ_4	1,00	1,00 ⁽¹⁾	0,0
Azioni del vento	F_{Wk}	0,60	0,50	0,0
Azioni da neve	in fase di esecuzione	0,80	0,0	0,0
	SLU e SLE	0,0	0,0	0,0
Azioni termiche	T_k	0,60	0,60	0,50

(1) 0,80 se è carico solo un binario, 0,60 se sono carichi due binari e 0,40 se sono carichi tre o più binari.

(2) Quando come azione di base venga assunta quella del vento, i coefficienti Ψ_0 relativi ai gruppi di carico delle azioni da traffico vanno assunti pari a 0,0.

	Azioni	Ψ_0	Ψ_1	Ψ_2
Azioni singole da traffico	Treno di carico LM 71	0,80 ⁽³⁾	(1)	0,0
	Treno di carico SW /0	0,80 ⁽³⁾	0,80	0,0
	Treno di carico SW/2	0,0 ⁽³⁾	0,80	0,0
	Treno scarico	1,00 ⁽³⁾	-	-
	Centrifuga	(2) (3)	(2)	(2)
	Azione laterale (serpeggio)	1,00 ⁽³⁾	0,80	0,0

(1) 0,80 se è carico solo un binario, 0,60 se sono carichi due binari e 0,40 se sono carichi tre o più binari.

(2) Si usano gli stessi coefficienti Ψ adottati per i carichi che provocano dette azioni.

(3) Quando come azione di base venga assunta quella del vento, i coefficienti Ψ_0 relativi ai gruppi di carico delle azioni da traffico vanno assunti pari a 0,0.

Tabella 4 – Coefficienti di combinazione Ψ delle azioni

Le combinazioni di carico (C.C.C.) definite e considerate nei calcoli successivi sono riportate nell'allegato 1 alla presente relazione.

  	ITINERARIO NAPOLI – BARI RADDOPPIO TRATTA CANCELLO – BENEVENTO I° LOTTO FUNZIONALE CANCELLO - FRASSO TELESINO E VARIANTE ALLA LINEA ROMA-NAPOLI VIA CASSINO NEL COMUNE DI MADDALONI – PROGETTO ESECUTIVO												
Pile 27 e 28: Relazione di calcolo	<table border="1"> <tr> <td>COMMESSA</td> <td>LOTTO</td> <td>CODIFICA</td> <td>DOCUMENTO</td> <td>REV.</td> <td>FOGLIO</td> </tr> <tr> <td>IF1N</td> <td>01 E ZZ</td> <td>CL</td> <td>VI0605 020</td> <td>B</td> <td>104 di 137</td> </tr> </table>	COMMESSA	LOTTO	CODIFICA	DOCUMENTO	REV.	FOGLIO	IF1N	01 E ZZ	CL	VI0605 020	B	104 di 137
COMMESSA	LOTTO	CODIFICA	DOCUMENTO	REV.	FOGLIO								
IF1N	01 E ZZ	CL	VI0605 020	B	104 di 137								

Si riporta un quadro sintetico delle combinazioni prese in considerazione:

Gruppo	Num.
SLU-STR	70 combinazioni
SLU-GEO (appr. A2)	70 combinazioni
SIS-SLV	202 combinazioni
SLE-RAR/FRE	105 combinazioni
SLE-QP	2 combinazioni

  	ITINERARIO NAPOLI – BARI RADDOPPIO TRATTA CANCELLO – BENEVENTO I° LOTTO FUNZIONALE CANCELLO - FRASSO TELESINO E VARIANTE ALLA LINEA ROMA-NAPOLI VIA CASSINO NEL COMUNE DI MADDALONI – PROGETTO ESECUTIVO												
Pile 27 e 28: Relazione di calcolo	<table border="1"> <thead> <tr> <th>COMMESSA</th> <th>LOTTO</th> <th>CODIFICA</th> <th>DOCUMENTO</th> <th>REV.</th> <th>FOGLIO</th> </tr> </thead> <tbody> <tr> <td>IF1N</td> <td>01 E ZZ</td> <td>CL</td> <td>VI0605 020</td> <td>B</td> <td>105 di 137</td> </tr> </tbody> </table>	COMMESSA	LOTTO	CODIFICA	DOCUMENTO	REV.	FOGLIO	IF1N	01 E ZZ	CL	VI0605 020	B	105 di 137
COMMESSA	LOTTO	CODIFICA	DOCUMENTO	REV.	FOGLIO								
IF1N	01 E ZZ	CL	VI0605 020	B	105 di 137								

8 ANALISI DELLE SOLLECITAZIONI

8.1 MODELLO DI CALCOLO E.F.

Il calcolo delle sollecitazioni lungo il fusto viene effettuato mediante una schematizzazione a mensola. Per gli scarichi in fondazione e la ripartizione degli sforzi sui pali si è ipotizzata una platea infinitamente rigida.

8.2 MASSE E FORZE SISMICHE

Secondo le indicazioni del §7.9.4.1 delle NTC2008 [1], nel caso di ponte a travate semplicemente appoggiate, i requisiti necessari per applicare l'analisi statica lineare possono ritenersi soddisfatti nel seguente caso:

- per entrambe le direzioni longitudinale e trasversale, purché la massa efficace di ciascuna pila non sia superiore ad 1/5 della massa di impalcato da essa portata (per pile a sezione costante, la massa efficace può essere assunta pari alla massa della metà superiore della pila).

Nel presente caso tale requisito risulta soddisfatto.

Per la determinazione delle sollecitazioni sui diversi elementi costituenti la pila si procede dunque con un'analisi statica lineare con spettro di risposta su oscillatore semolice.

Nel caso in esame si ha che:

- in direzione X la massa sismica è rappresentata dalle masse afferenti all'impalcato vincolato alla pila mediante gli apparecchi d'appoggio fissi; tale massa si considera agente alla quota degli apparecchi d'appoggio stessi;
- in direzione Y la massa sismica è rappresentata della metà della massa afferente a ciascun impalcato; tale massa si considera agente alla quota baricentrica degli impalcati stessi;
- in direzione Z la massa sismica è rappresentata della metà della massa di ciascun impalcato; tale massa si considera agente nel centro geometrico degli apparecchi d'appoggio degli impalcati stessi.

  	ITINERARIO NAPOLI – BARI RADDOPPIO TRATTA CANCELLO – BENEVENTO I° LOTTO FUNZIONALE CANCELLO - FRASSO TELESINO E VARIANTE ALLA LINEA ROMA-NAPOLI VIA CASSINO NEL COMUNE DI MADDALONI – PROGETTO ESECUTIVO												
Pile 27 e 28: Relazione di calcolo	<table border="1"> <tr> <td>COMMESSA</td> <td>LOTTO</td> <td>CODIFICA</td> <td>DOCUMENTO</td> <td>REV.</td> <td>FOGLIO</td> </tr> <tr> <td>IF1N</td> <td>01 E ZZ</td> <td>CL</td> <td>VI0605 020</td> <td>B</td> <td>106 di 137</td> </tr> </table>	COMMESSA	LOTTO	CODIFICA	DOCUMENTO	REV.	FOGLIO	IF1N	01 E ZZ	CL	VI0605 020	B	106 di 137
COMMESSA	LOTTO	CODIFICA	DOCUMENTO	REV.	FOGLIO								
IF1N	01 E ZZ	CL	VI0605 020	B	106 di 137								

IMPALCATO-SX

IMPALCATO-DX

Masse sismiche afferenti agli impalcati

Massa impalcato =	11652	kN	11652	kN
Carico max traffico LM71 =	2807	kN	2807	kN
Carico max traffico SW/2 =	3750	kN	3750	kN
Carico max traffico LM71+SW/2 =	6557	kN	6557	kN
Massa traffico (psi=0.2) =	1311	kN	1311	kN
Massa impalcato (perm+treni) =	12963	kN	12963	kN
tipologia vincolo =	UL		F	
Massa imp. longitudinale =	0	kN	12963	kN
Massa imp. trasversale =	6482	kN	6482	kN
Massa imp. totale longitudinale =	12963	kN		
Massa imp. totale trasversale =	12963	kN		

Masse sismiche afferenti alla pila

Massa pulvino =	1226	kN
Massa fusto =	1824	kN
Massa efficace pila (M*) =	1949	kN

Requisito analisi statica lineare

Massa efficace pila (M*) =	1949	kN
1/5 M impalcato (min[trasv;long]) =	2593	kN
M* < 1/5 Mimp. Il requisito per l'analisi statica lineare è soddisfatto.		

Massa totale

M tot longitudinale =	14913	kN
M tot trasversale =	14913	kN
M tot verticale =	14913	kN

  	ITINERARIO NAPOLI – BARI RADDOPPIO TRATTA CANCELLO – BENEVENTO I° LOTTO FUNZIONALE CANCELLO - FRASSO TELESINO E VARIANTE ALLA LINEA ROMA-NAPOLI VIA CASSINO NEL COMUNE DI MADDALONI – PROGETTO ESECUTIVO												
Pile 27 e 28: Relazione di calcolo	<table border="1"> <thead> <tr> <th>COMMESSA</th> <th>LOTTO</th> <th>CODIFICA</th> <th>DOCUMENTO</th> <th>REV.</th> <th>FOGLIO</th> </tr> </thead> <tbody> <tr> <td>IF1N</td> <td>01 E ZZ</td> <td>CL</td> <td>VI0605 020</td> <td>B</td> <td>107 di 137</td> </tr> </tbody> </table>	COMMESSA	LOTTO	CODIFICA	DOCUMENTO	REV.	FOGLIO	IF1N	01 E ZZ	CL	VI0605 020	B	107 di 137
COMMESSA	LOTTO	CODIFICA	DOCUMENTO	REV.	FOGLIO								
IF1N	01 E ZZ	CL	VI0605 020	B	107 di 137								

Analisi statica lineare

Ac	10.425	m ²
H1	7.00	m
H2	1.45	m
H3	0.45	m
Hpila	8.90	m
yg_imp	2.08	m

Ecm	33643	N*/mm ²
	33643000	kN/m ²

Dir. longitudinale

llong	9.4	m ⁴
Wlong	14913	kN/m
Mlong	1520	ton
Lvlong	8.9	m
Klong	1.3E+06	kN/m
Tlong	0.211	sec
Sdlong	0.396	g

Flong **5906 kN**

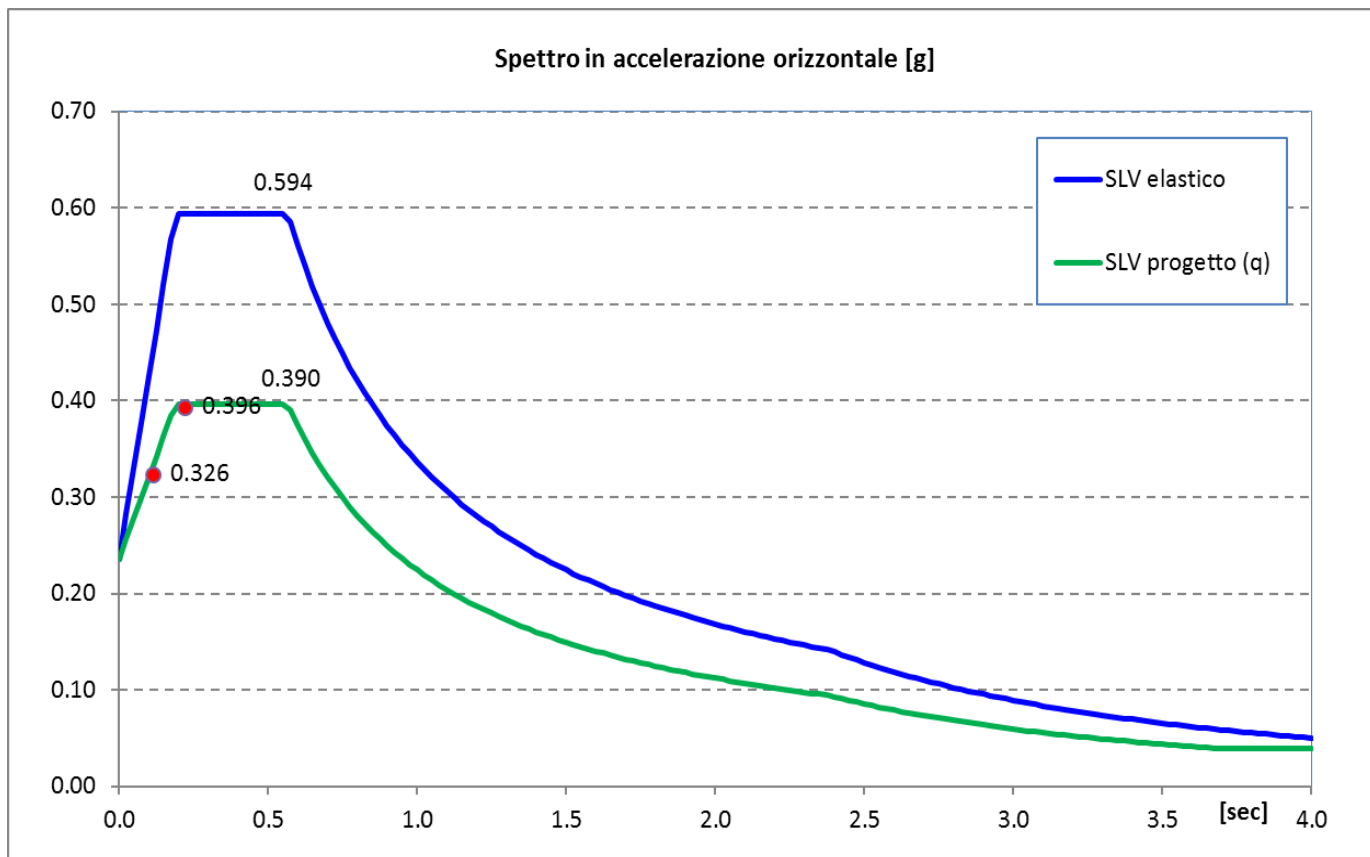
Dir. trasversale

ltrasv	69.8	mm ⁴
Wtrasv	14913	ton
Mtrasv	1520	ton
Lvtrasv	11.0	m
Ktrasv	5.3E+06	kN/m
Tlong	0.106	sec
Sdtrasv	0.326	g

Ftrasv **4858 kN**

  	ITINERARIO NAPOLI – BARI RADDOPPIO TRATTA CANCELLO – BENEVENTO 1° LOTTO FUNZIONALE CANCELLO - FRASSO TELESINO E VARIANTE ALLA LINEA ROMA-NAPOLI VIA CASSINO NEL COMUNE DI MADDALONI – PROGETTO ESECUTIVO												
Pile 27 e 28: Relazione di calcolo	<table border="1"> <thead> <tr> <th>COMMESSA</th> <th>LOTTO</th> <th>CODIFICA</th> <th>DOCUMENTO</th> <th>REV.</th> <th>FOGLIO</th> </tr> </thead> <tbody> <tr> <td>IF1N</td> <td>01 E ZZ</td> <td>CL</td> <td>VI0605 020</td> <td>B</td> <td>108 di 137</td> </tr> </tbody> </table>	COMMESSA	LOTTO	CODIFICA	DOCUMENTO	REV.	FOGLIO	IF1N	01 E ZZ	CL	VI0605 020	B	108 di 137
COMMESSA	LOTTO	CODIFICA	DOCUMENTO	REV.	FOGLIO								
IF1N	01 E ZZ	CL	VI0605 020	B	108 di 137								

Nel seguente diagramma sono evidenziate le coordinate spettrali SLV corrispondenti ai valori dei periodi T_{long} [sec] e T_{trasv} [sec] calcolati in precedenza.



  	ITINERARIO NAPOLI – BARI RADDOPPIO TRATTA CANCELLO – BENEVENTO I° LOTTO FUNZIONALE CANCELLO - FRASSO TELESINO E VARIANTE ALLA LINEA ROMA-NAPOLI VIA CASSINO NEL COMUNE DI MADDALONI – PROGETTO ESECUTIVO												
Pile 27 e 28: Relazione di calcolo	<table border="1"> <tr> <td>COMMESSA</td> <td>LOTTO</td> <td>CODIFICA</td> <td>DOCUMENTO</td> <td>REV.</td> <td>FOGLIO</td> </tr> <tr> <td>IF1N</td> <td>01 E ZZ</td> <td>CL</td> <td>VI0605 020</td> <td>B</td> <td>109 di 137</td> </tr> </table>	COMMESSA	LOTTO	CODIFICA	DOCUMENTO	REV.	FOGLIO	IF1N	01 E ZZ	CL	VI0605 020	B	109 di 137
COMMESSA	LOTTO	CODIFICA	DOCUMENTO	REV.	FOGLIO								
IF1N	01 E ZZ	CL	VI0605 020	B	109 di 137								

Il §7.9.3 [1] raccomanda di assumere un'eccentricità accidentale nel posizionamento delle masse sismiche riferite all'impalcato, pari a 0,03 volte la dimensione dell'impalcato stesso misurata perpendicolarmente alla direzione dell'azione sismica.

Per la pila in oggetto si avrebbe:

§7.9.3 [1] - Eccentricità accidentale nel posizionamento delle masse sismiche

	<u>IMP. SX</u>		<u>IMP. DX</u>	
b =	13.7	m	13.7	m
L =	25.0	m	25.0	m
Sisma long (X): $e_y = 0,03 \cdot b =$	0.411	m	0.411	m
Sisma trasv (Y): $e_x = 0,03 \cdot L =$	0.75	m	0.75	m

  	ITINERARIO NAPOLI – BARI RADDOPPIO TRATTA CANCELLO – BENEVENTO I° LOTTO FUNZIONALE CANCELLO - FRASSO TELESINO E VARIANTE ALLA LINEA ROMA-NAPOLI VIA CASSINO NEL COMUNE DI MADDALONI – PROGETTO ESECUTIVO												
Pile 27 e 28: Relazione di calcolo	<table border="1"> <tr> <td>COMMESSA</td> <td>LOTTO</td> <td>CODIFICA</td> <td>DOCUMENTO</td> <td>REV.</td> <td>FOGLIO</td> </tr> <tr> <td>IF1N</td> <td>01 E ZZ</td> <td>CL</td> <td>VI0605 020</td> <td>B</td> <td>111 di 137</td> </tr> </table>	COMMESSA	LOTTO	CODIFICA	DOCUMENTO	REV.	FOGLIO	IF1N	01 E ZZ	CL	VI0605 020	B	111 di 137
COMMESSA	LOTTO	CODIFICA	DOCUMENTO	REV.	FOGLIO								
IF1N	01 E ZZ	CL	VI0605 020	B	111 di 137								

Q43	Disposizione 3 (massimizza M1)	0	50	0	-164	0	0
Q44	Disposizione 4 (massimizza M1)	0	55	0	-180	0	0
Q45	Disposizione 5 (massimizza N+M2)	0	105	0	-344	0	0
Q46	Disposizione 6 (massimizza N)	0	105	0	-344	0	0
Q47	Disposizione 7 (minimizza N)	0	0	0	0	0	0
Q5 - Variabili							
Q51	Vento	0	419	0	-2351	0	0
Q6 - Azioni indirette							
Q61	Attrito su vincoli	0	0	0	0	0	0
Q7 - Effetti d'interazione							
Q71	Variazioni termiche	0	0	0	0	0	0
E - Azioni sismiche							
E1	Sisma x	0	0	0	0	0	0
E2	Sisma y	0	2429	0	-5052	0	1822
E3	Sisma z	0	0	-1919	-789	1439	0

  	ITINERARIO NAPOLI – BARI RADDOPPIO TRATTA CANCELLO – BENEVENTO I° LOTTO FUNZIONALE CANCELLO - FRASSO TELESINO E VARIANTE ALLA LINEA ROMA-NAPOLI VIA CASSINO NEL COMUNE DI MADDALONI – PROGETTO ESECUTIVO												
Pile 27 e 28: Relazione di calcolo	<table style="width: 100%; border-collapse: collapse;"> <tr> <td style="text-align: center;">COMMESSA</td> <td style="text-align: center;">LOTTO</td> <td style="text-align: center;">CODIFICA</td> <td style="text-align: center;">DOCUMENTO</td> <td style="text-align: center;">REV.</td> <td style="text-align: center;">FOGLIO</td> </tr> <tr> <td style="text-align: center;">IF1N</td> <td style="text-align: center;">01 E ZZ</td> <td style="text-align: center;">CL</td> <td style="text-align: center;">VI0605 020</td> <td style="text-align: center;">B</td> <td style="text-align: center;">112 di 137</td> </tr> </table>	COMMESSA	LOTTO	CODIFICA	DOCUMENTO	REV.	FOGLIO	IF1N	01 E ZZ	CL	VI0605 020	B	112 di 137
COMMESSA	LOTTO	CODIFICA	DOCUMENTO	REV.	FOGLIO								
IF1N	01 E ZZ	CL	VI0605 020	B	112 di 137								

8.3.1.2 SCARICHI IMPALCATO DX RISPETTO A BARICENTRO APPOGGI:

IMPALCATO 4 CASSONCINI DA 25 m							
SCARICHI IMPALCATO DX RISPETTO A BARICENTRO APPOGGI							
C.C.E.	Descrizione	F1	F2	F3	M1	M2	M3
		kN	kN	kN	kNm	kNm	kNm
G - Permanenti							
G1	Pesi propri	0	0	-3303	0	0	0
G2	Ballast	0	0	-1750	0	0	0
G2	Permanenti non strutturali	0	0	-774	0	0	0
Q1 - Variabili verticali							
Q11	Disposizione 1 (massimizza N)	0	0	-2876	-402	0	0
Q12	Disposizione 2 (massimizza M2)	0	0	-3559	-518	0	0
Q13	Disposizione 3 (massimizza M1)	0	0	-1511	-3022	0	0
Q14	Disposizione 4 (massimizza M1)	0	0	-1365	-2839	0	0
Q15	Disposizione 5 (massimizza N+M2)	0	0	-3559	-518	0	0
Q16	Disposizione 6 (massimizza N)	0	0	-2730	-109	0	0
Q17	Disposizione 7 (minimizza N)	0	0	-2977	-1634	0	0
Q2 - Avviamento e frenatura							
Q21	Disposizione 1 (massimizza N)	1835	0	0	0	0	0
Q22	Disposizione 2 (massimizza M2)	2154	0	0	0	0	0
Q23	Disposizione 3 (massimizza M1)	819	0	0	0	0	0
Q24	Disposizione 4 (massimizza M1)	1016	0	0	0	0	0
Q25	Disposizione 5 (massimizza N+M2)	2154	0	0	0	0	0
Q26	Disposizione 6 (massimizza N)	1995	0	0	0	0	0
Q27	Disposizione 7 (minimizza N)	2154	0	0	0	0	0
Q3 - Centrifuga							
Q31	Disposizione 1 (massimizza N)	0	238	0	-1209	0	0
Q32	Disposizione 2 (massimizza M2)	0	294	0	-1494	0	0
Q33	Disposizione 3 (massimizza M1)	0	79	0	-403	0	0
Q34	Disposizione 4 (massimizza M1)	0	159	0	-806	0	0
Q35	Disposizione 5 (massimizza N+M2)	0	294	0	-1494	0	0
Q36	Disposizione 6 (massimizza N)	0	230	0	-1170	0	0
Q37	Disposizione 7 (minimizza N)	0	226	0	-1151	0	0
Q4 - Serpeggio							
Q41	Disposizione 1 (massimizza N)	0	105	0	-344	0	0
Q42	Disposizione 2 (massimizza M2)	0	210	0	-689	0	0
Q43	Disposizione 3 (massimizza M1)	0	50	0	-164	0	0
Q44	Disposizione 4 (massimizza M1)	0	55	0	-180	0	0
Q45	Disposizione 5 (massimizza N+M2)	0	105	0	-344	0	0
Q46	Disposizione 6 (massimizza N)	0	105	0	-344	0	0

  	ITINERARIO NAPOLI – BARI RADDOPPIO TRATTA CANCELLO – BENEVENTO I° LOTTO FUNZIONALE CANCELLO - FRASSO TELESINO E VARIANTE ALLA LINEA ROMA-NAPOLI VIA CASSINO NEL COMUNE DI MADDALONI – PROGETTO ESECUTIVO												
Pile 27 e 28: Relazione di calcolo	<table border="1"> <tr> <td>COMMESSA</td> <td>LOTTO</td> <td>CODIFICA</td> <td>DOCUMENTO</td> <td>REV.</td> <td>FOGLIO</td> </tr> <tr> <td>IF1N</td> <td>01 E ZZ</td> <td>CL</td> <td>VI0605 020</td> <td>B</td> <td>113 di 137</td> </tr> </table>	COMMESSA	LOTTO	CODIFICA	DOCUMENTO	REV.	FOGLIO	IF1N	01 E ZZ	CL	VI0605 020	B	113 di 137
COMMESSA	LOTTO	CODIFICA	DOCUMENTO	REV.	FOGLIO								
IF1N	01 E ZZ	CL	VI0605 020	B	113 di 137								

Q47	Disposizione 7 (minimizza N)	0	210	0	-689	0	0
Q5 - Variabili							
Q51	Vento	0	419	0	-2351	0	0
Q6 - Azioni indirette							
Q61	Attrito su vincoli	283	0	0	0	0	0
Q7 - Effetti d'interazione							
Q71	Variazioni termiche	280	0	0	0	0	0
E - Azioni sismiche							
E1	Sisma x	5906	0	0	0	0	2427
E2	Sisma y	0	2429	0	-5052	0	1822
E3	Sisma z	0	0	-1919	-789	1439	0

  	ITINERARIO NAPOLI – BARI RADDOPPIO TRATTA CANCELLO – BENEVENTO I° LOTTO FUNZIONALE CANCELLO - FRASSO TELESINO E VARIANTE ALLA LINEA ROMA-NAPOLI VIA CASSINO NEL COMUNE DI MADDALONI – PROGETTO ESECUTIVO												
Pile 27 e 28: Relazione di calcolo	<table border="1"> <thead> <tr> <th>COMMESSA</th> <th>LOTTO</th> <th>CODIFICA</th> <th>DOCUMENTO</th> <th>REV.</th> <th>FOGLIO</th> </tr> </thead> <tbody> <tr> <td>IF1N</td> <td>01 E ZZ</td> <td>CL</td> <td>VI0605 020</td> <td>B</td> <td>114 di 137</td> </tr> </tbody> </table>	COMMESSA	LOTTO	CODIFICA	DOCUMENTO	REV.	FOGLIO	IF1N	01 E ZZ	CL	VI0605 020	B	114 di 137
COMMESSA	LOTTO	CODIFICA	DOCUMENTO	REV.	FOGLIO								
IF1N	01 E ZZ	CL	VI0605 020	B	114 di 137								

8.4 SOLLECITAZIONI DI CALCOLO

8.4.1 SOLLECITAZIONI ALLA BASE DEL FUSTO PILA

Le sollecitazioni di calcolo riferite alla sezione di base del fusto della pila avente maggiore altezza tra quelle prese in considerazione nella presente relazione, sono riportate in forma completa nel secondo allegato alla presente relazione.

Le sollecitazioni di calcolo ottenute in condizione sismica per le strutture in elevazione devono essere ulteriormente elaborate per tener conto delle indicazioni del §7.9 [1] e dei principi della gerarchia delle resistenze.

8.4.1.1 SOLLECITAZIONI FLETTENTI IN ZONA CRITICA

Secondo le indicazioni del §7.9.4 [1] nelle zone critiche, gli effetti delle non linearità geometriche possono essere tenute in conto mediante l'espressione semplificata:

$$\Delta M = d_{Ed} \cdot N_{Ed}$$

con d_{Ed} valutato secondo il §7.3.3.3, ossia pari a $\mu_d \cdot d_{Ee}$ dove:

d_{Ee} è lo spostamento derivante dall'analisi lineare

$$\mu_d = q \quad \text{per } T_1 \geq T_C$$

$$\mu_d = 1 + (q - 1) \cdot T_C / T_1 \quad \text{per } T_1 < T_C \quad \text{in ogni caso } \mu_d \leq 5 \cdot q - 4$$

Per il caso in esame si ha:

d_{Ee_long}	4.4 mm	d_{Ee_trasv}	0.9 mm
μ_{d_long}	2.34	μ_{d_trasv}	3.50
d_{Ed_long}	10.3 mm	d_{Ed_trasv}	3.2 mm

8.4.1.2 SOLLECITAZIONI FLETTENTI FUORI DALLA ZONA CRITICA

Il §7.9.5.1 [1] definisce il fattore di "sovreresistenza" γ_{Rd} che viene calcolato mediante l'espressione:

$$\gamma_{Rd} = 0.7 + 0.2 q \geq 1$$

nella quale q è il fattore di struttura utilizzato nei calcoli.

Nel caso in cui la compressione normalizzata $v_k = N_{Ed} / (A_c \cdot f_{ck})$ (rif. §7.9.2.1 delle NTC2008 [1]), ecceda il valore 0,1 tale fattore deve essere moltiplicato per $f = 1 + 2 \cdot (v_k - 0,1)^2$.

  	ITINERARIO NAPOLI – BARI RADDOPPIO TRATTA CANCELLO – BENEVENTO I° LOTTO FUNZIONALE CANCELLO - FRASSO TELESINO E VARIANTE ALLA LINEA ROMA-NAPOLI VIA CASSINO NEL COMUNE DI MADDALONI – PROGETTO ESECUTIVO												
Pile 27 e 28: Relazione di calcolo	<table border="1"> <thead> <tr> <th>COMMESSA</th> <th>LOTTO</th> <th>CODIFICA</th> <th>DOCUMENTO</th> <th>REV.</th> <th>FOGLIO</th> </tr> </thead> <tbody> <tr> <td>IF1N</td> <td>01 E ZZ</td> <td>CL</td> <td>VI0605 020</td> <td>B</td> <td>115 di 137</td> </tr> </tbody> </table>	COMMESSA	LOTTO	CODIFICA	DOCUMENTO	REV.	FOGLIO	IF1N	01 E ZZ	CL	VI0605 020	B	115 di 137
COMMESSA	LOTTO	CODIFICA	DOCUMENTO	REV.	FOGLIO								
IF1N	01 E ZZ	CL	VI0605 020	B	115 di 137								

Nel caso in esame il fattore γ_{Rd} assume il valore:

Dir. Longitudinale:

qlong	1.50
NEd	17325 kN
fck	32 Mpa
vk	0.05
f	1.005
γ_{Rd}	1.00

Dir. Trasversale:

qtrav	1.50
NEd	17325 kN
fck	32 Mpa
vk	0.05
f	1.005
γ_{Rd}	1.00

Definite “zone di cerniera plastica” o “zone critiche” le zone dove si progetta di localizzare le plasticizzazioni che conferiranno la duttilità richiesta alla struttura soggetta all’evento sismico, nel caso delle pile tali zone si identificano come la zona compresa tra la sezione di incastro alla base e la sezione posta ad una distanza L_h dall’incastro, dove L_h assume il massimo tra i seguenti valori (rif §7.9.6.2):

- la profondità della sezione in direzione ortogonale all’asse di rotazione delle cerniere;
- la distanza tra la sezione di momento massimo e la sezione in cui il momento si riduce del 20%.

Nelle sezioni comprese nella zona critica deve risultare:

$$M_{Ed} \leq M_{Rd}$$

Nelle sezioni al di fuori della zona critica tenendo conto del criterio della gerarchia delle resistenze deve risultare:

$$M_{gr} \leq M_{Rd}$$

I valori di M_{gr} lungo lo sviluppo dell’elemento si ottengono scalando il diagramma delle sollecitazioni flettenti ponendo nella sezione critica un momento agente pari a $\gamma_{Rd} \cdot M_{Rd}$.

Nel caso in esame si ha una altezza della zona critica pari alla dimensione della sezione in direzione longitudinale:

$$L_h \text{ zona critica} = 2.60 \quad \text{m}$$

8.4.1.3 SOLLECITAZIONI DI TAGLIO

Le sollecitazioni di taglio si ottengono con il criterio della gerarchia delle resistenze, il quale conduce ad adottare come sollecitazione di calcolo:

$$V_{gr} = V_{Ed} \cdot \gamma_{Rd} \cdot M_{Rd}/M_{Ed} \leq q \cdot V_{Ed}$$

  	ITINERARIO NAPOLI – BARI RADDOPPIO TRATTA CANCELLO – BENEVENTO I° LOTTO FUNZIONALE CANCELLO - FRASSO TELESINO E VARIANTE ALLA LINEA ROMA-NAPOLI VIA CASSINO NEL COMUNE DI MADDALONI – PROGETTO ESECUTIVO												
Pile 27 e 28: Relazione di calcolo	<table border="1"> <thead> <tr> <th>COMMESSA</th> <th>LOTTO</th> <th>CODIFICA</th> <th>DOCUMENTO</th> <th>REV.</th> <th>FOGLIO</th> </tr> </thead> <tbody> <tr> <td>IF1N</td> <td>01 E ZZ</td> <td>CL</td> <td>VI0605 020</td> <td>B</td> <td>116 di 137</td> </tr> </tbody> </table>	COMMESSA	LOTTO	CODIFICA	DOCUMENTO	REV.	FOGLIO	IF1N	01 E ZZ	CL	VI0605 020	B	116 di 137
COMMESSA	LOTTO	CODIFICA	DOCUMENTO	REV.	FOGLIO								
IF1N	01 E ZZ	CL	VI0605 020	B	116 di 137								

I valori di resistenza a taglio degli elementi in c.a. devono inoltre essere divisi per un coefficiente di sicurezza aggiuntivo nei confronti della rottura fragile γ_{Bd} valutato mediante la seguente espressione:

$$1 \leq \gamma_{Bd} = 1.25 + 1 - q \cdot V_{Ed}/V_{gr} \leq 1.25$$

La valutazione delle sollecitazioni di taglio da GR viene condotto nei paragrafi successivi relativi alle verifiche a taglio, a fronte dei valori resistenti ottenuti dalle successive verifiche a pressoflessione.

  	ITINERARIO NAPOLI – BARI RADDOPPIO TRATTA CANCELLO – BENEVENTO I° LOTTO FUNZIONALE CANCELLO - FRASSO TELESINO E VARIANTE ALLA LINEA ROMA-NAPOLI VIA CASSINO NEL COMUNE DI MADDALONI – PROGETTO ESECUTIVO												
Pile 27 e 28: Relazione di calcolo	<table border="1"> <thead> <tr> <th>COMMESSA</th> <th>LOTTO</th> <th>CODIFICA</th> <th>DOCUMENTO</th> <th>REV.</th> <th>FOGLIO</th> </tr> </thead> <tbody> <tr> <td>IF1N</td> <td>01 E ZZ</td> <td>CL</td> <td>VI0605 020</td> <td>B</td> <td>117 di 137</td> </tr> </tbody> </table>	COMMESSA	LOTTO	CODIFICA	DOCUMENTO	REV.	FOGLIO	IF1N	01 E ZZ	CL	VI0605 020	B	117 di 137
COMMESSA	LOTTO	CODIFICA	DOCUMENTO	REV.	FOGLIO								
IF1N	01 E ZZ	CL	VI0605 020	B	117 di 137								

8.4.2 SOLLECITAZIONI ALL'INTRADOSSO DEL PLINTO DI FONDAZIONE

Le sollecitazioni di calcolo relative alle combinazioni sismiche devono essere elaborate per tener conto delle indicazioni del §7.2.5[1]. Per gli elementi di fondazione il criterio della gerarchia delle resistenze si applica incrementando le azioni derivanti dagli elementi soprastanti di un fattore γ_{Rd} pari a 1.1.

(In accordo con quanto prescritto nel §7.2.5 [1], per le strutture progettate in CD" B", il dimensionamento delle strutture di fondazione deve essere eseguito per valori di taglio e momento flettente pari ai valori resistenti degli elementi soprastanti. Tali valori hanno come limite superiore le sollecitazioni derivanti dalle analisi amplificate con un γ_{Rd} pari a 1,1 in CD" B" e comunque non maggiori di quelle derivanti da un'analisi elastica della struttura eseguita con q pari a 1. A tal proposito per semplificazione e favore di sicurezza si assumono come valori di calcolo le sollecitazioni derivanti dall'analisi incrementate del coefficiente γ_{Rd} pari a 1,1).

Rispetto alle sollecitazioni calcolate alla sezione di base del fusto pila, le sollecitazioni riportate all'intradosso del plinto di fondazione sono incrementate dei seguenti contributi:

- P_{pl} peso proprio del plinto di fondazione [kN]
- P_{terr} peso proprio del terreno di ricoprimento presente all'estradosso del plinto [kN]
- $I_{pl,hor}$ forza di inerzia associata alla massa del plinto sul piano orizzontale ($I_{pl,hor} = P_{pl} * PGA$) [kN]
- $I_{pl,vert}$ forza di inerzia associata alla massa del plinto in direzione verticale ($I_{pl,vert} = P_{pl} * a_{gv}$) [kN]

Nel secondo allegato alla presente relazione si riportano (in forma di tabelle) le sollecitazioni di calcolo riferite all'intradosso del plinto di fondazione. In particolare, tali valori sono riferiti alla fondazione della pila avente altezza maggiore all'interno del gruppo di sottostrutture preso in considerazione nella presente relazione.

8.4.1 SOLLECITAZIONI DISTRIBUITE IN TESTA AI PALI DI FONDAZIONE

Le caratteristiche di sollecitazione sul singolo palo sono state determinate a partire dalle sollecitazioni riportate all'intradosso del plinto di fondazione, secondo le seguenti relazioni (*distribuzione rigida delle sollecitazioni*):

$$N_{max} = F_3 / n_{pali} + ass(M_1) / W_{1palificata} + ass(M_2) / W_{2palificata}$$

$$N_{min} = F_3 / n_{pali} - ass(M_1) / W_{1palificata} - ass(M_2) / W_{2palificata}$$

$$H = \sqrt{((F_1 / n_{pali})^2 + (F_2 / n_{pali})^2)}$$

I valori del taglio sul palo così ottenuti, compresi quelli relativi alle combinazioni non sismiche, vengono inoltre ulteriormente incrementati di un fattore pari a 1,1 per tenere conto dell'effetto gruppo.

Nel secondo allegato alla presente relazione si riportano (in forma di tabelle) le sollecitazioni di calcolo distribuite in testa ai pali di fondazione. In particolare, tali valori sono riferiti alla fondazione della pila avente altezza maggiore all'interno del gruppo di sottostrutture preso in considerazione nella presente relazione.

	ITINERARIO NAPOLI – BARI RADDOPPIO TRATTA CANCELLO – BENEVENTO I° LOTTO FUNZIONALE CANCELLO - FRASSO TELESINO E VARIANTE ALLA LINEA ROMA-NAPOLI VIA CASSINO NEL COMUNE DI MADDALONI – PROGETTO ESECUTIVO												
Pile 27 e 28: Relazione di calcolo	<table border="1"> <thead> <tr> <th>COMMESSA</th> <th>LOTTO</th> <th>CODIFICA</th> <th>DOCUMENTO</th> <th>REV.</th> <th>FOGLIO</th> </tr> </thead> <tbody> <tr> <td>IF1N</td> <td>01 E ZZ</td> <td>CL</td> <td>VI0605 020</td> <td>B</td> <td>118 di 137</td> </tr> </tbody> </table>	COMMESSA	LOTTO	CODIFICA	DOCUMENTO	REV.	FOGLIO	IF1N	01 E ZZ	CL	VI0605 020	B	118 di 137
COMMESSA	LOTTO	CODIFICA	DOCUMENTO	REV.	FOGLIO								
IF1N	01 E ZZ	CL	VI0605 020	B	118 di 137								

9 VERIFICHE STRUTTURALI DEL FUSTO PILA

9.1 GEOMETRIA DELLA SEZIONE DI VERIFICA E ARMATURA

Si riporta a seguire una figura che illustra la geometria della sezione di verifica, nella quale è rappresentata un'armatura tipologica.

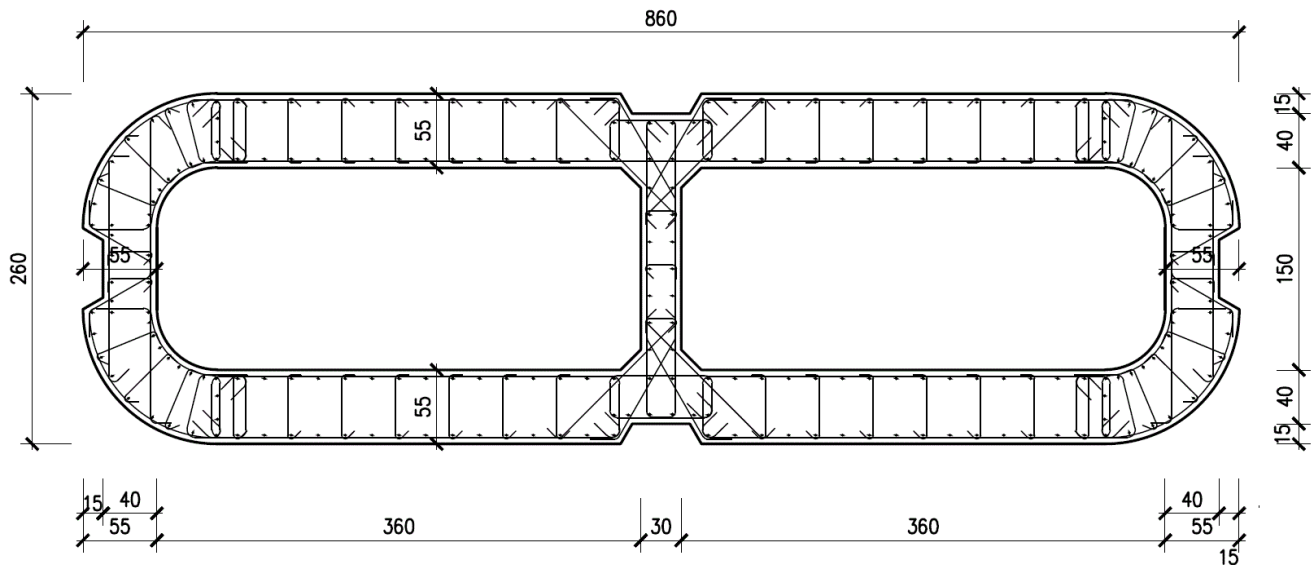


Figura 42 – Geometria della sezione trasversale della pila [cm]

9.1.1 ARMATURA LONGITUDINALE

A seguire è indicata l'armatura flessionale prevista nella sezione di base del fusto pila, in termini di numero di barre presenti nello strato esterno (1° str.) e nello strato interno (2° str.) e loro diametro f_i [mm].

n barre (1° str.)	124	
f_i barre (1° str.)	26	mm
n barre (2° str.)	122	
f_i barre (2° str.)	26	mm

9.1.2 ARMATURA TRASVERSALE

A seguire è indicata l'armatura a taglio prevista nella sezione di base del fusto pila, all'interno della zona critica.

  	ITINERARIO NAPOLI – BARI RADDOPPIO TRATTA CANCELLO – BENEVENTO I° LOTTO FUNZIONALE CANCELLO - FRASSO TELESINO E VARIANTE ALLA LINEA ROMA-NAPOLI VIA CASSINO NEL COMUNE DI MADDALONI – PROGETTO ESECUTIVO												
Pile 27 e 28: Relazione di calcolo	<table border="1"> <tr> <td>COMMESSA</td> <td>LOTTO</td> <td>CODIFICA</td> <td>DOCUMENTO</td> <td>REV.</td> <td>FOGLIO</td> </tr> <tr> <td>IF1N</td> <td>01 E ZZ</td> <td>CL</td> <td>VI0605 020</td> <td>B</td> <td>119 di 137</td> </tr> </table>	COMMESSA	LOTTO	CODIFICA	DOCUMENTO	REV.	FOGLIO	IF1N	01 E ZZ	CL	VI0605 020	B	119 di 137
COMMESSA	LOTTO	CODIFICA	DOCUMENTO	REV.	FOGLIO								
IF1N	01 E ZZ	CL	VI0605 020	B	119 di 137								

Direzione longitudinale

Staffe:		Spille:		Spille:	
$\varnothing w$	16 mm	$\varnothing w$	8 mm	$\varnothing w$	16 mm
A1b	200.96 mm ²	A1b	50.24 mm ²	A1b	200.96 mm ²
passo	100 mm	passo	100 mm	passo	100 mm
bracci	6	bracci	16	bracci	6

Direzione trasversale

Staffe:		Spille:		Spille:	
$\varnothing w$	16 mm	$\varnothing w$	8 mm	$\varnothing w$	16 mm
A1b	200.96 mm ²	A1b	50.24 mm ²	A1b	200.96 mm ²
passo	100 mm	passo	100 mm	passo	100 mm
bracci	4	bracci	6	bracci	2

9.1.3 VERIFICA DELL'ARMATURA MINIMA

Le armature del fusto pila devono soddisfare le quantità minime indicate dalla normativa e che vengono riepilogate di seguito.

Armatura minima longitudinale:

- $\rho_{\min} = 0,60 \%$ (rif. §2.2.6 [3])

Armatura minima trasversale nelle zone critiche:

Secondo le indicazioni del §7.9.6.2 [1], nelle sezioni piene, le armature di confinamento per la duttilità nelle zone critiche non devono rispettare i limiti di normativa nei seguenti casi:

- se la sollecitazione ridotta risulta $v_k \leq 0,08$;
- nel caso di sezioni a pareti sottili purché risulti $v_k \leq 0,2$, se è possibile raggiungere una duttilità in curvatura non inferiore a $\mu_c = 12$ senza che la deformazione nel conglomerato superi il valore 0,0035;
- se il fattore di struttura non supera il valore 1,5.

In caso contrario è necessario disporre le seguenti quantità minime di armatura a confinamento:

- $\omega_{wd,r} = 0,33 \cdot A_c/A_{cc} v_k - 0,07 \geq 0,12$ per sezioni rettangolari
- $\omega_{wd,c} = 1,4 \cdot \omega_{wd,r}$ per sezioni circolari

La percentuale meccanica è definita dalle espressioni:

- $\omega_{wd,r} = A_{sw}/(s \cdot b) \cdot f_{yd}/f_{cd}$ per sezioni rettangolari
- $\omega_{wd,c} = 4 A_{sp}/(D_{sp} \cdot s) \cdot f_{yd}/f_{cd}$ per sezioni circolari

  	ITINERARIO NAPOLI – BARI RADDOPPIO TRATTA CANCELLO – BENEVENTO I° LOTTO FUNZIONALE CANCELLO - FRASSO TELESINO E VARIANTE ALLA LINEA ROMA-NAPOLI VIA CASSINO NEL COMUNE DI MADDALONI – PROGETTO ESECUTIVO												
Pile 27 e 28: Relazione di calcolo	<table border="1"> <thead> <tr> <th>COMMESSA</th> <th>LOTTO</th> <th>CODIFICA</th> <th>DOCUMENTO</th> <th>REV.</th> <th>FOGLIO</th> </tr> </thead> <tbody> <tr> <td>IF1N</td> <td>01 E ZZ</td> <td>CL</td> <td>VI0605 020</td> <td>B</td> <td>120 di 137</td> </tr> </tbody> </table>	COMMESSA	LOTTO	CODIFICA	DOCUMENTO	REV.	FOGLIO	IF1N	01 E ZZ	CL	VI0605 020	B	120 di 137
COMMESSA	LOTTO	CODIFICA	DOCUMENTO	REV.	FOGLIO								
IF1N	01 E ZZ	CL	VI0605 020	B	120 di 137								

Secondo le indicazioni del §2.2.6 [3] invece deve verificarsi:

- $A_{sw}/(s \cdot b) \cdot f_{yd}/f_{cd} \geq \zeta$ per sezioni rettangolari
- $\rho_w \cdot f_{yd}/f_{cd} \geq 1,40 \cdot \zeta$ per sezioni circolari

con:

$\rho_w = V_{sc}/V_{cc}$ rapporto tra il volume complessivo delle armature di confinamento V_{sc} e volume di calcestruzzo confinato V_{cc} ;

$\zeta = 0,07$ per $a_g \geq 0,35 g$;

$\zeta = 0,05$ per $a_g \geq 0,25 g$;

$\zeta = 0,04$ per $a_g \geq 0,15 g$;

$\zeta = 0,03$ per $a_g < 0,15 g$.

  	ITINERARIO NAPOLI – BARI RADDOPPIO TRATTA CANCELLO – BENEVENTO I° LOTTO FUNZIONALE CANCELLO - FRASSO TELESINO E VARIANTE ALLA LINEA ROMA-NAPOLI VIA CASSINO NEL COMUNE DI MADDALONI – PROGETTO ESECUTIVO												
Pile 27 e 28: Relazione di calcolo	<table border="1"> <thead> <tr> <th>COMMESSA</th> <th>LOTTO</th> <th>CODIFICA</th> <th>DOCUMENTO</th> <th>REV.</th> <th>FOGLIO</th> </tr> </thead> <tbody> <tr> <td>IF1N</td> <td>01 E ZZ</td> <td>CL</td> <td>VI0605 020</td> <td>B</td> <td>121 di 137</td> </tr> </tbody> </table>	COMMESSA	LOTTO	CODIFICA	DOCUMENTO	REV.	FOGLIO	IF1N	01 E ZZ	CL	VI0605 020	B	121 di 137
COMMESSA	LOTTO	CODIFICA	DOCUMENTO	REV.	FOGLIO								
IF1N	01 E ZZ	CL	VI0605 020	B	121 di 137								

Verifica armatura minima longitudinale secondo §2.2.6 [3]

$\rho_{min} =$	0.60%	
$A_c =$	10425000	mm ²
$A_{s,min} =$	62550	mm ²
n barre (1° str.)	124	
f _i barre (1° str.)	26	mm
n barre (2° str.)	122	
f _i barre (2° str.)	26	mm
A_s	130542	mm ²
ρ	1.25%	<i>requisito soddisfatto</i>

Verifica armatura minima trasversale secondo §2.2.6 [3]

$a_g =$	0.196	g
$\zeta =$	0.04	
$\omega_{wd,r min} =$	0.04	

Armatura in dir. longitudinale

$A_{sw/s staffe} =$	0.0121	m ² /m
$A_{sw/s spille} =$	0.0201	m ² /m
$b =$	8.60	m
$f_{yd} =$	391	MPa
$f_{cd} =$	18.13	MPa
$\omega_{wd,r} =$	0.081	<i>requisito soddisfatto</i>

Armatura in dir. trasversale

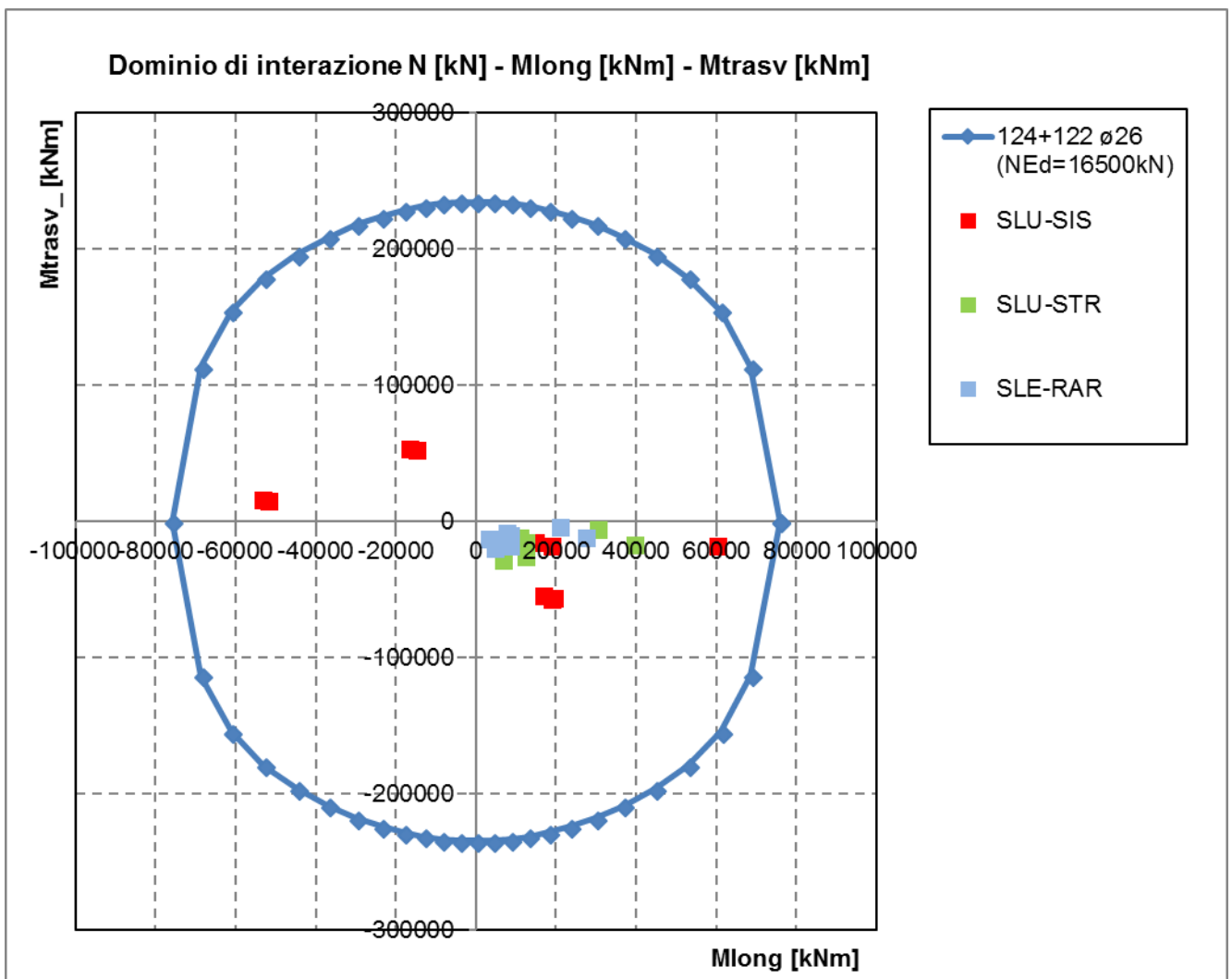
$A_{sw/s staffe} =$	0.0080	m ² /m
$A_{sw/s spille} =$	0.0070	m ² /m
$b =$	2.60	m
$f_{yd} =$	391	MPa
$f_{cd} =$	18.13	MPa
$\omega_{wd,r} =$	0.125	<i>requisito soddisfatto</i>

L'armatura longitudinale di calcolo e l'armatura trasversale di calcolo rispettano le quantità minime indicate dalla normativa.

9.2 VERIFICA SLU A FLESSIONE

Sono riportate a seguire le verifiche SLU della sezione di base della pila, espresse in forma sintetica mediante il diagramma di interazione $M_{long} - M_{trasv}$, valutato per una forza assiale corrispondente alla condizione di verifica più severa.

Le verifiche riportate a seguire sono riferite alla pila avente maggiore altezza tra quelle comprese nel gruppo di sottostrutture considerato nella presente relazione.



La verifica SLU di tipo flessionale nelle sezioni critiche si effettua verificando che:

$$FS = (M_{Rd,long}^2 + M_{Rd,trasv}^2)^{0.5} / (M_{Ed,long}^2 + M_{Ed,trasv}^2)^{0.5} \geq 1$$

  	ITINERARIO NAPOLI – BARI RADDOPPIO TRATTA CANCELLO – BENEVENTO I° LOTTO FUNZIONALE CANCELLO - FRASSO TELESINO E VARIANTE ALLA LINEA ROMA-NAPOLI VIA CASSINO NEL COMUNE DI MADDALONI – PROGETTO ESECUTIVO												
Pile 27 e 28: Relazione di calcolo	<table border="1"> <thead> <tr> <th>COMMESSA</th> <th>LOTTO</th> <th>CODIFICA</th> <th>DOCUMENTO</th> <th>REV.</th> <th>FOGLIO</th> </tr> </thead> <tbody> <tr> <td>IF1N</td> <td>01 E ZZ</td> <td>CL</td> <td>VI0605 020</td> <td>B</td> <td>123 di 137</td> </tr> </tbody> </table>	COMMESSA	LOTTO	CODIFICA	DOCUMENTO	REV.	FOGLIO	IF1N	01 E ZZ	CL	VI0605 020	B	123 di 137
COMMESSA	LOTTO	CODIFICA	DOCUMENTO	REV.	FOGLIO								
IF1N	01 E ZZ	CL	VI0605 020	B	123 di 137								

Il valore minimo del fattore di sicurezza FS è pari a

FS **1.25**

La verifica è soddisfatta, in quanto $FS > 1$.

Nel secondo allegato alla presente relazione sono riportate le verifiche in forma completa relative alla pila con altezza maggiore tra quelle appartenenti al gruppo di sottostrutture considerato nella presente relazione.

  	ITINERARIO NAPOLI – BARI RADDOPPIO TRATTA CANCELLO – BENEVENTO I° LOTTO FUNZIONALE CANCELLO - FRASSO TELESINO E VARIANTE ALLA LINEA ROMA-NAPOLI VIA CASSINO NEL COMUNE DI MADDALONI – PROGETTO ESECUTIVO												
Pile 27 e 28: Relazione di calcolo	<table border="1"> <thead> <tr> <th>COMMESSA</th> <th>LOTTO</th> <th>CODIFICA</th> <th>DOCUMENTO</th> <th>REV.</th> <th>FOGLIO</th> </tr> </thead> <tbody> <tr> <td>IF1N</td> <td>01 E ZZ</td> <td>CL</td> <td>VI0605 020</td> <td>B</td> <td>124 di 137</td> </tr> </tbody> </table>	COMMESSA	LOTTO	CODIFICA	DOCUMENTO	REV.	FOGLIO	IF1N	01 E ZZ	CL	VI0605 020	B	124 di 137
COMMESSA	LOTTO	CODIFICA	DOCUMENTO	REV.	FOGLIO								
IF1N	01 E ZZ	CL	VI0605 020	B	124 di 137								

9.3 VERIFICA SLU A TAGLIO

Nel caso di sezioni rettangolari la verifica viene effettuata distintamente per le due direzioni longitudinale e trasversale.

Nel caso si sezione circolare si esegue la verifica per un valore del taglio pari a:

$$V = \sqrt{(F1^2 + F2^2)}$$

Per quanto riguarda le combinazioni sismiche, con riferimento ai criteri della GR e a quanto precedentemente dichiarato nel §8.3.2, si procede al calcolo del taglio agente di calcolo sulla base dei risultati delle verifiche flessionali.

$$V_{gr} = V_{Ed} \cdot \gamma_{Rd} \cdot M_{Rd}/M_{Ed} \leq q \cdot V_{Ed}$$

Il valore resistente a taglio della sezione si determina secondo le indicazioni del §4.1.2.1.3.2 [1]:

$$V_{Rd} = \min(V_{Rcd}; V_{Rsd})$$

$$V_{Rcd} = 0,9 \cdot d \cdot b_w \cdot \alpha_c \cdot f_{cd}' \cdot (\text{ctg } \alpha + \text{ctg } \theta) / (1 + \text{ctg}^2 \theta)$$

$$V_{Rsd} = 0,9 \cdot d \cdot A_{sw}/s \cdot f_{yd} \cdot (\text{ctg } \alpha + \text{ctg } \theta) \cdot \sin \alpha \quad \text{in cui}$$

d altezza utile della sezione

b_w larghezza minima della sezione

A_{sw} area dell'armatura trasversale

s interasse tra due armature trasversali consecutive

θ inclinazione delle bielle di calcestruzzo

α angolo di inclinazione dell'armatura trasversale rispetto all'asse dell'elemento

f_{cd}' resistenza a compressione ridotta (pari a 0,5 f_{cd})

α_c coefficiente maggiorativo che tiene conto della compressione

Nel caso di sezione circolare, le dimensioni della sezione rettangolare equivalente da utilizzare per il calcolo della resistenza a taglio della sezione si determinano secondo le indicazioni del §7.9.5.2.2 [1]:

$$d = r + 2 \cdot r_s / \pi$$

$$b = 0,9 \cdot 2 \cdot r$$

I valori di resistenza a taglio degli elementi in c.a. devono inoltre essere divisi per un coefficiente di sicurezza aggiuntivo nei confronti della rottura fragile γ_{Bd} valutato mediante la seguente espressione:

$$1 \leq \gamma_{Bd} = 1,25 + 1 - q \cdot V_{Ed} / V_{gr} \leq 1,25$$

Si riporta a seguire in forma sintetica la verifica più severa della sezione di base del fusto della pila avente maggiore altezza tra quelle comprese nel gruppo di sottostrutture considerato nella presente relazione.

Il minimo valore del fattore di sicurezza FS = V_{Rd} / V_{Ed} è pari a

FS 1.30

La verifica è soddisfatta in quanto FS > 1.

Nel secondo allegato alla presente relazione sono riportate le verifiche in forma completa relative alla pila con altezza maggiore tra quelle appartenenti al gruppo considerato nella presente relazione.

  	ITINERARIO NAPOLI – BARI RADDOPPIO TRATTA CANCELLO – BENEVENTO I° LOTTO FUNZIONALE CANCELLO - FRASSO TELESINO E VARIANTE ALLA LINEA ROMA-NAPOLI VIA CASSINO NEL COMUNE DI MADDALONI – PROGETTO ESECUTIVO												
Pile 27 e 28: Relazione di calcolo	<table border="1"> <thead> <tr> <th>COMMESSA</th> <th>LOTTO</th> <th>CODIFICA</th> <th>DOCUMENTO</th> <th>REV.</th> <th>FOGLIO</th> </tr> </thead> <tbody> <tr> <td>IF1N</td> <td>01 E ZZ</td> <td>CL</td> <td>VI0605 020</td> <td>B</td> <td>125 di 137</td> </tr> </tbody> </table>	COMMESSA	LOTTO	CODIFICA	DOCUMENTO	REV.	FOGLIO	IF1N	01 E ZZ	CL	VI0605 020	B	125 di 137
COMMESSA	LOTTO	CODIFICA	DOCUMENTO	REV.	FOGLIO								
IF1N	01 E ZZ	CL	VI0605 020	B	125 di 137								

9.4 VERIFICA SLE TENSIONALE

La verifica SLE di tipo tensionale si effettua verificando che le massime tensioni agenti nella sezione risultino inferiori ai seguenti valori limite:

per le combinazioni SLE-RAR:

- tensione limite nel calcestruzzo: $\sigma_c = 0.55 f_{ck} = 18.3 \text{ MPa}$
- tensione limite nelle barre: $\sigma_s = 0.75 f_{yk} = 337.5 \text{ MPa}$

per le combinazioni SLE-QPE:

- tensione limite nel calcestruzzo: $\sigma_c = 0.40 f_{ck} = 13.3 \text{ MPa}$

Si riporta a seguire in forma sintetica la verifica più severa (in combinazione SLE-RAR) della sezione di base del fusto della pila avente maggiore altezza tra quelle comprese nel gruppo considerato nella presente relazione.

σ_c **-6.3** MPa

σ_s **108** MPa

La verifica è soddisfatta.

Nel secondo allegato alla presente relazione sono riportate le verifiche in forma completa.

9.5 VERIFICA SLE A FESSURAZIONE

La verifica SLE a fessurazione si effettua verificando che il massimo valore di apertura delle fessure risulti inferiore ai seguenti valori limite:

per le combinazioni SLE-RAR:

- apertura fessure limite: $w_{lim} = w_1 = 0,20 \text{ mm}$

Si riporta a seguire in forma sintetica la verifica più severa (in combinazione SLE-RAR) della sezione di base del fusto della pila avente maggiore altezza tra quelle comprese nel gruppo di sottostrutture considerato nella presente relazione.

L'ampiezza massima delle fessure calcolata è pari a

w_k **0.150** mm

Nel secondo allegato alla presente relazione sono riportate le verifiche in forma completa.

9.6 VERIFICA DEGLI SPOSTAMENTI

Nel secondo allegato alla presente relazione sono riportate le verifiche in forma completa relative alla pila avente maggiore altezza tra quelle comprese nel gruppo di sottostrutture considerato nella presente relazione.

  	ITINERARIO NAPOLI – BARI RADDOPPIO TRATTA CANCELLO – BENEVENTO I° LOTTO FUNZIONALE CANCELLO - FRASSO TELESINO E VARIANTE ALLA LINEA ROMA-NAPOLI VIA CASSINO NEL COMUNE DI MADDALONI – PROGETTO ESECUTIVO												
Pile 27 e 28: Relazione di calcolo	<table border="1"> <thead> <tr> <th>COMMESSA</th> <th>LOTTO</th> <th>CODIFICA</th> <th>DOCUMENTO</th> <th>REV.</th> <th>FOGLIO</th> </tr> </thead> <tbody> <tr> <td>IF1N</td> <td>01 E ZZ</td> <td>CL</td> <td>VI0605 020</td> <td>B</td> <td>126 di 137</td> </tr> </tbody> </table>	COMMESSA	LOTTO	CODIFICA	DOCUMENTO	REV.	FOGLIO	IF1N	01 E ZZ	CL	VI0605 020	B	126 di 137
COMMESSA	LOTTO	CODIFICA	DOCUMENTO	REV.	FOGLIO								
IF1N	01 E ZZ	CL	VI0605 020	B	126 di 137								

10 VERIFICHE STRUTTURALI DEI PALI DI FONDAZIONE

10.1 GEOMETRIA DELLA SEZIONE DI VERIFICA E ARMATURA

Nelle tabelle seguenti sono descritte le caratteristiche geometriche della sezione di verifica dei pali di fondazione, nonché le caratteristiche di resistenza dei materiali.

<u>GEOMETRIA DELLA SEZIONE</u>		
Diametro del palo =	1500	mm
Copriferro netto c =	60	mm
Classe di resistenza calcestruzzo =	C25/30	Mpa
Classe di resistenza delle barre =	B450C	MPa

Nella seguente tabella sono descritte le caratteristiche geometriche dell'armatura flessionale e a taglio dei pali, con riferimento ad un tratto di lunghezza pari a $10 \varnothing$ dalla sezione di testa. Sono inoltre verificati i requisiti minimi in termini di armatura flessionale a taglio.

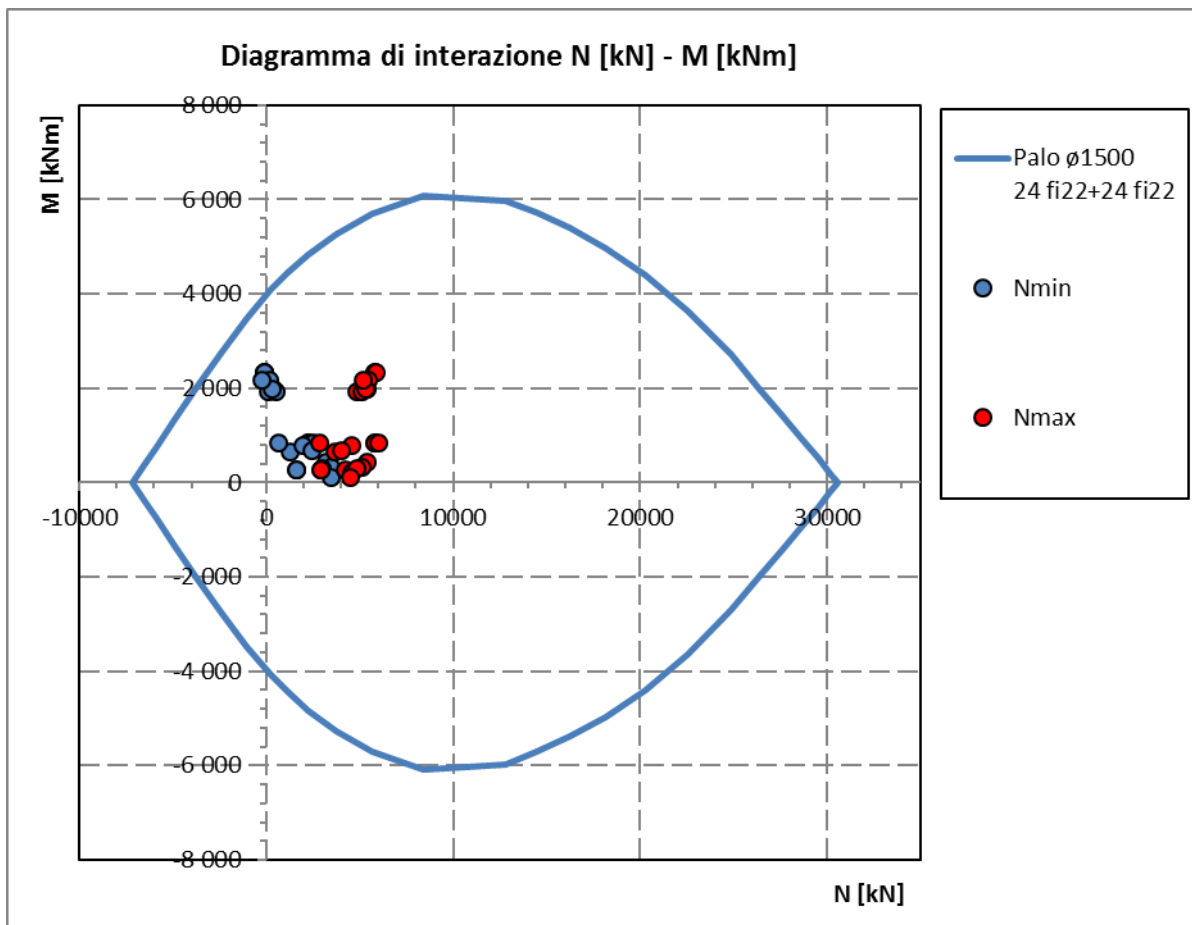
<u>ARMATURA PER I PRIMI $10 \varnothing$</u>		
<i>1° strato di armatura longitudinale</i>		
Numero barre long.	24	-
Diametro barre long.	22	mm
Copriferro baricentrico arm. long. c' =	85	mm
<i>2° strato di armatura longitudinale</i>		
Numero barre long.	24	-
Diametro barre long.	22	mm
Copriferro baricentrico arm. long. c' =	132	mm
<i>Armatura trasversale</i>		
Diametro barre trasv.	14	mm
Passo arm. trasv.	150	mm
Diametro corona esterna =	1366	mm
<u>VERIFICA ARMATURA MINIMA LONG.</u>		
ρ_{min} =	1.00%	
A_c =	1767146	mm ²
$A_{s,min}$ =	17671	mm ²
Armatura long. tot $A_{s,tot}$ =	18246	mm ²
ρ_l =	1.03%	

  	ITINERARIO NAPOLI – BARI RADDOPPIO TRATTA CANCELLO – BENEVENTO I° LOTTO FUNZIONALE CANCELLO - FRASSO TELESINO E VARIANTE ALLA LINEA ROMA-NAPOLI VIA CASSINO NEL COMUNE DI MADDALONI – PROGETTO ESECUTIVO												
Pile 27 e 28: Relazione di calcolo	<table border="1"> <thead> <tr> <th>COMMESSA</th> <th>LOTTO</th> <th>CODIFICA</th> <th>DOCUMENTO</th> <th>REV.</th> <th>FOGLIO</th> </tr> </thead> <tbody> <tr> <td>IF1N</td> <td>01 E ZZ</td> <td>CL</td> <td>VI0605 020</td> <td>B</td> <td>127 di 137</td> </tr> </tbody> </table>	COMMESSA	LOTTO	CODIFICA	DOCUMENTO	REV.	FOGLIO	IF1N	01 E ZZ	CL	VI0605 020	B	127 di 137
COMMESSA	LOTTO	CODIFICA	DOCUMENTO	REV.	FOGLIO								
IF1N	01 E ZZ	CL	VI0605 020	B	127 di 137								

10.2 VERIFICA SLU A PRESSOFLESSIONE

Sono riportate a seguire le verifiche SLU della sezione di sommità del palo maggiormente sollecitato, espresse in forma sintetica mediante il diagramma di interazione N [kN] – M [kNm].

Le verifiche riportate a seguire sono riferite alla pila avente maggiore altezza tra quelle comprese nel gruppo di sottostrutture considerato nella presente relazione.



La verifica è soddisfatta in quanto le coppie N-M delle sollecitazioni agenti nella sezione di verifica sono interne al dominio di resistenza per ogni condizione di carico indagata.

Nel secondo allegato alla presente relazione sono riportate le verifiche in forma completa relative alla pila con altezza maggiore tra quelle appartenenti al gruppo di sottostrutture considerato nella presente relazione.

  	ITINERARIO NAPOLI – BARI RADDOPPIO TRATTA CANCELLO – BENEVENTO I° LOTTO FUNZIONALE CANCELLO - FRASSO TELESINO E VARIANTE ALLA LINEA ROMA-NAPOLI VIA CASSINO NEL COMUNE DI MADDALONI – PROGETTO ESECUTIVO												
Pile 27 e 28: Relazione di calcolo	<table border="1"> <thead> <tr> <th>COMMESSA</th> <th>LOTTO</th> <th>CODIFICA</th> <th>DOCUMENTO</th> <th>REV.</th> <th>FOGLIO</th> </tr> </thead> <tbody> <tr> <td>IF1N</td> <td>01 E ZZ</td> <td>CL</td> <td>VI0605 020</td> <td>B</td> <td>128 di 137</td> </tr> </tbody> </table>	COMMESSA	LOTTO	CODIFICA	DOCUMENTO	REV.	FOGLIO	IF1N	01 E ZZ	CL	VI0605 020	B	128 di 137
COMMESSA	LOTTO	CODIFICA	DOCUMENTO	REV.	FOGLIO								
IF1N	01 E ZZ	CL	VI0605 020	B	128 di 137								

10.3 VERIFICA SLU A TAGLIO

Nel caso di sezione circolare si esegue la verifica per un valore del taglio pari a:

$$V = \sqrt{(F1^2 + F2^2)}$$

Per quanto riguarda le combinazioni sismiche, con riferimento ai criteri della GR e a quanto precedentemente dichiarato nel §8.3.2, si procede al calcolo del taglio agente di calcolo sulla base dei risultati delle verifiche flessionali.

$$V_{gr} = V_{Ed} \cdot \gamma_{Rd} \cdot M_{Rd}/M_{Ed} \leq q \cdot V_{Ed}$$

Il valore resistente a taglio della sezione si determina secondo le indicazioni del §4.1.2.1.3.2 [1]:

$$V_{Rd} = \min(V_{Rcd}; V_{Rsd})$$

$$V_{Rcd} = 0,9 \cdot d \cdot b_w \cdot \alpha_c \cdot f_{cd}' \cdot (\text{ctg } \alpha + \text{ctg } \theta) / (1 + \text{ctg}^2 \theta)$$

$$V_{Rsd} = 0,9 \cdot d \cdot A_{sw}/s \cdot f_{yd} \cdot (\text{ctg } \alpha + \text{ctg } \theta) \cdot \sin \alpha$$

in cui

- d altezza utile della sezione
- b_w larghezza minima della sezione
- A_{sw} area dell'armatura trasversale
- s interasse tra due armature trasversali consecutive
- θ inclinazione delle bielle di calcestruzzo
- α angolo di inclinazione dell'armatura trasversale rispetto all'asse dell'elemento
- f_{cd}' resistenza a compressione ridotta (pari a $0,5 f_{cd}$)
- α_c coefficiente maggiorativo che tiene conto della compressione

Nel caso di sezione circolare, le dimensioni della sezione rettangolare equivalente da utilizzare per il calcolo della resistenza a taglio della sezione si determinano secondo le indicazioni del §7.9.5.2.2 [1]:

$$d = r + 2 \cdot r_s / \pi$$

$$b = 0,9 \cdot 2 \cdot r$$

Si riporta a seguire in forma sintetica la verifica più severa (in combinazione SLV-SIS) relativa alla pila avente maggiore altezza tra quelle comprese nel gruppo considerato nella presente relazione.

Il minimo valore del fattore di sicurezza $FS = V_{Rd} / V_{Ed}$ è pari a

FS **2.23**

La verifica è soddisfatta, in quanto $FS > 1$.

Negli allegati alla presente relazione sono riportate le verifiche in forma completa relative alla pila con altezza maggiore tra quelle appartenenti al gruppo considerato.

  	ITINERARIO NAPOLI – BARI RADDOPPIO TRATTA CANCELLO – BENEVENTO I° LOTTO FUNZIONALE CANCELLO - FRASSO TELESINO E VARIANTE ALLA LINEA ROMA-NAPOLI VIA CASSINO NEL COMUNE DI MADDALONI – PROGETTO ESECUTIVO												
Pile 27 e 28: Relazione di calcolo	<table border="1"> <thead> <tr> <th>COMMESSA</th> <th>LOTTO</th> <th>CODIFICA</th> <th>DOCUMENTO</th> <th>REV.</th> <th>FOGLIO</th> </tr> </thead> <tbody> <tr> <td>IF1N</td> <td>01 E ZZ</td> <td>CL</td> <td>V10605 020</td> <td>B</td> <td>129 di 137</td> </tr> </tbody> </table>	COMMESSA	LOTTO	CODIFICA	DOCUMENTO	REV.	FOGLIO	IF1N	01 E ZZ	CL	V10605 020	B	129 di 137
COMMESSA	LOTTO	CODIFICA	DOCUMENTO	REV.	FOGLIO								
IF1N	01 E ZZ	CL	V10605 020	B	129 di 137								

10.4 VERIFICA SLE TENSIONALE

La verifica SLE di tipo tensionale si effettua verificando che le massime tensioni agenti nella sezione risultino inferiori ai seguenti valori limite:

per le combinazioni SLE-RAR:

- tensione limite nel calcestruzzo: $\sigma_c = 0.55 f_{ck} = 13.7 \text{ MPa}$
- tensione limite nelle barre: $\sigma_s = 0.75 f_{yk} = 337.5 \text{ MPa}$

per le combinazioni SLE-QP:

- tensione limite nel calcestruzzo: $\sigma_c = 0.40 f_{ck} = 10.0 \text{ MPa}$

Si riporta a seguire in forma sintetica la verifica più severa (in combinazione SLE-RAR) relativa alla pila avente maggiore altezza tra quelle comprese nel gruppo considerato nella presente relazione.

σ_c **-2.5** MPa
 σ_s **16.1** MPa

La verifica è soddisfatta.

Negli allegati alla presente relazione sono riportate le verifiche in forma completa.

10.5 VERIFICA SLE A FESSURAZIONE

La verifica SLE a fessurazione si effettua verificando che il massimo valore di apertura delle fessure risulti inferiore ai seguenti valori limite:

per le combinazioni SLE-RAR:

- apertura fessure limite: $w_{lim} = w_1 = 0.30 \text{ mm}$

Si riporta a seguire in forma sintetica la verifica più severa (in combinazione SLE-RAR) relativa alla pila avente maggiore altezza tra quelle comprese nel gruppo considerato nella presente relazione.

L'ampiezza massima delle fessure calcolata è pari a

w_k **0.022** mm

Negli allegati alla presente relazione sono riportate le verifiche in forma completa.

	ITINERARIO NAPOLI – BARI RADDOPPIO TRATTA CANCELLO – BENEVENTO I° LOTTO FUNZIONALE CANCELLO - FRASSO TELESINO E VARIANTE ALLA LINEA ROMA-NAPOLI VIA CASSINO NEL COMUNE DI MADDALONI – PROGETTO ESECUTIVO												
Pile 27 e 28: Relazione di calcolo	<table border="1"> <thead> <tr> <th>COMMESSA</th> <th>LOTTO</th> <th>CODIFICA</th> <th>DOCUMENTO</th> <th>REV.</th> <th>FOGLIO</th> </tr> </thead> <tbody> <tr> <td>IF1N</td> <td>01 E ZZ</td> <td>CL</td> <td>VI0605 020</td> <td>B</td> <td>130 di 137</td> </tr> </tbody> </table>	COMMESSA	LOTTO	CODIFICA	DOCUMENTO	REV.	FOGLIO	IF1N	01 E ZZ	CL	VI0605 020	B	130 di 137
COMMESSA	LOTTO	CODIFICA	DOCUMENTO	REV.	FOGLIO								
IF1N	01 E ZZ	CL	VI0605 020	B	130 di 137								

11 VERIFICHE STRUTTURALI DEL PLINTO DI FONDAZIONE

11.1 VERIFICHE SLU-SLE CON MECCANISMO TIRANTE-PUNTORE

La verifica strutturale del plinto viene condotta a seguire impiegando un modello tirante-puntone, come quello rappresentato nella figura seguente, tratta da §C4.1.2.1.5 [2].

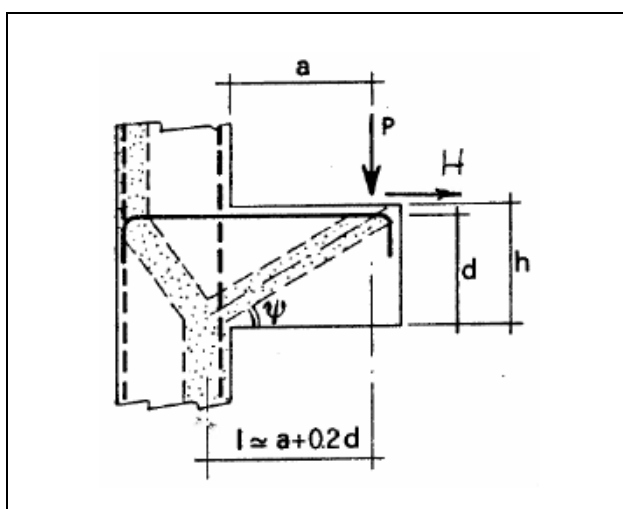


Figura 43 – Meccanismo tirante puntone della mensola tozza

Si distinguono due meccanismi di tipo tirante-puntone principali nel plinto di fondazione, illustrati nelle figure seguenti e descritti a seguire:

- un primo meccanismo è innescato dalle azioni trasmesse al plinto dai pali centrali e coinvolge un tirante-puntone parallelo alla direzione longitudinale (evidenziato in verde). Tale meccanismo coinvolge la sola armatura longitudinale inferiore del plinto.
- un secondo meccanismo coinvolge i pali di spigolo ed innesca un tirante-puntone con direzione diagonale (evidenziato in rosso), individuata da un angolo α misurato rispetto alla direzione trasversale. Tale meccanismo coinvolge sia l'armatura longitudinale inferiore del plinto che l'armatura trasversale, pertanto, ai fini delle verifiche del tirante di armatura e della biella di calcestruzzo, si considera composto dalla somma vettoriale di due meccanismi ortogonali disaccoppiati.

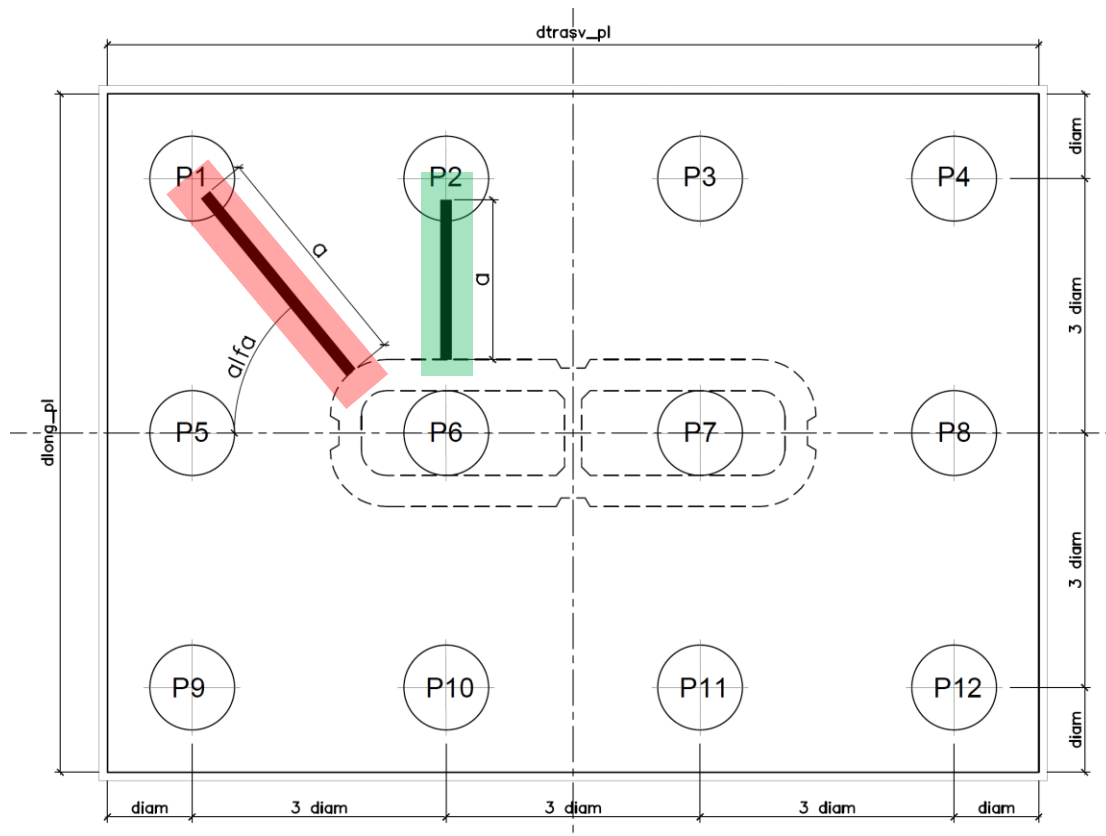


Figura 44 – Vista in pianta - Tirante-puntone longitudinale (verde) e diagonale (rosso) – $\alpha = 51^\circ$

A seguire si riporta una immagine che illustra, in una vista in sezione, la geometria di un generico meccanismo tirante puntone che si innesca nel plinto per azione dei carichi concentrati trasmessi dai pali di fondazione

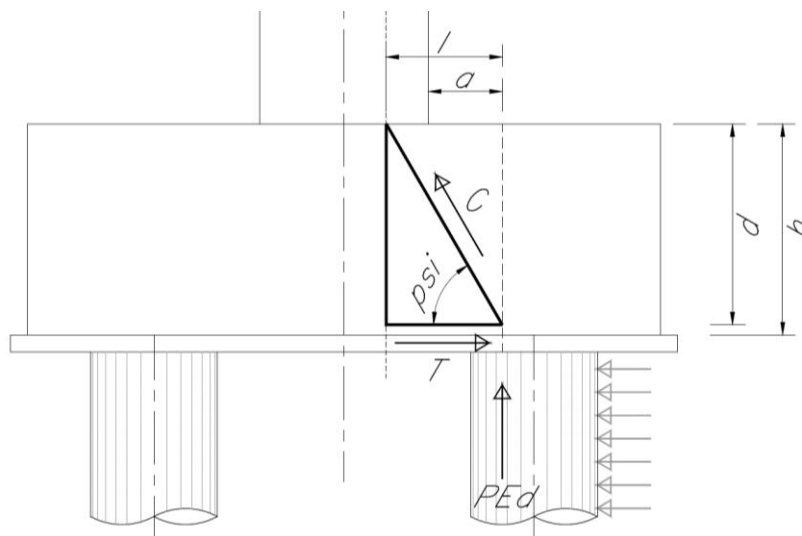


Figura 45 – Tirante puntone - Biella compressa di calcestruzzo C e tirante di armatura T

  	ITINERARIO NAPOLI – BARI RADDOPPIO TRATTA CANCELLO – BENEVENTO I° LOTTO FUNZIONALE CANCELLO - FRASSO TELESINO E VARIANTE ALLA LINEA ROMA-NAPOLI VIA CASSINO NEL COMUNE DI MADDALONI – PROGETTO ESECUTIVO												
Pile 27 e 28: Relazione di calcolo	<table border="1"> <thead> <tr> <th>COMMESSA</th> <th>LOTTO</th> <th>CODIFICA</th> <th>DOCUMENTO</th> <th>REV.</th> <th>FOGLIO</th> </tr> </thead> <tbody> <tr> <td>IF1N</td> <td>01 E ZZ</td> <td>CL</td> <td>VI0605 020</td> <td>B</td> <td>132 di 137</td> </tr> </tbody> </table>	COMMESSA	LOTTO	CODIFICA	DOCUMENTO	REV.	FOGLIO	IF1N	01 E ZZ	CL	VI0605 020	B	132 di 137
COMMESSA	LOTTO	CODIFICA	DOCUMENTO	REV.	FOGLIO								
IF1N	01 E ZZ	CL	VI0605 020	B	132 di 137								

La forza di taglio di calcolo H_{Ed} agente alla testa del palo si trascura in via conservativa, in quanto il suo effetto ridurrebbe la trazione nel tirante inferiore d'armatura, essendo tale azione di taglio indotta dalla reazione del terreno.

Ai fini delle successive verifiche, le azioni concentrate P_{Ed} [kN] trasmesse dai pali al plinto sono assunte pari alle forze assiali agenti in testa al palo N_{max} [kN], ridotte della quota parte spettante ad ogni palo del peso del plinto P_{pl} [kN] e del peso del rinterro P_{terr} [kN] presente all'estradosso del plinto:

$$P_{Ed} = N_{max} - (P_{pl} + P_{terr}) / n_{pali}$$

La larghezza della sezione resistente del tirante di armatura e della biella compressa (B_{eff} = larghezza efficace) viene assunta pari a:

- per i pali centrali all'interasse pali i ($B_{eff} = i = 3 \text{ diam}$);
- per i pali di bordo a metà interasse pali i più la distanza dal bordo d_b ($B_{eff} = i / 2 + d_b = 2.5 \text{ diam}$).

L'altezza della sezione della biella compressa viene assunta pari a

$$h_c = 0.4 c d \sin \psi \text{ (si assume } c = 1)$$

in conformità a quanto riportato in §C4.1.2.1.5 [2].

11.1.1 GEOMETRIA DEL TIRANTE-PUNTONONE

11.1.1.1 TIRANTE – PUNTONONE IN DIREZIONE DIAGONALE

a	4.05 m
h	2.50 m
d = h-cferro	2.39 m
l	4.53 m
tan psi	0.48
psi	25.4 °

11.1.1.2 TIRANTE – PUNTONONE IN DIREZIONE LONGITUDINALE

a	2.85 m
h	2.50 m
d = h-cferro	2.39 m
l	3.33 m
tan psi	0.75
psi	37.1 °

  	ITINERARIO NAPOLI – BARI RADDOPPIO TRATTA CANCELLO – BENEVENTO 1° LOTTO FUNZIONALE CANCELLO - FRASSO TELESINO E VARIANTE ALLA LINEA ROMA-NAPOLI VIA CASSINO NEL COMUNE DI MADDALONI – PROGETTO ESECUTIVO					
	Pile 27 e 28: Relazione di calcolo	COMMESSA IF1N	LOTTO 01 E ZZ	CODIFICA CL	DOCUMENTO VI0605 020	REV. B

11.1.2 SEZIONE DEL TIRANTE DI ARMATURA E DELLA BIELLA COMPRESSA

Con riferimento alla figura seguente, l'armatura prevista nel plinto di fondazione è descritta a seguire:

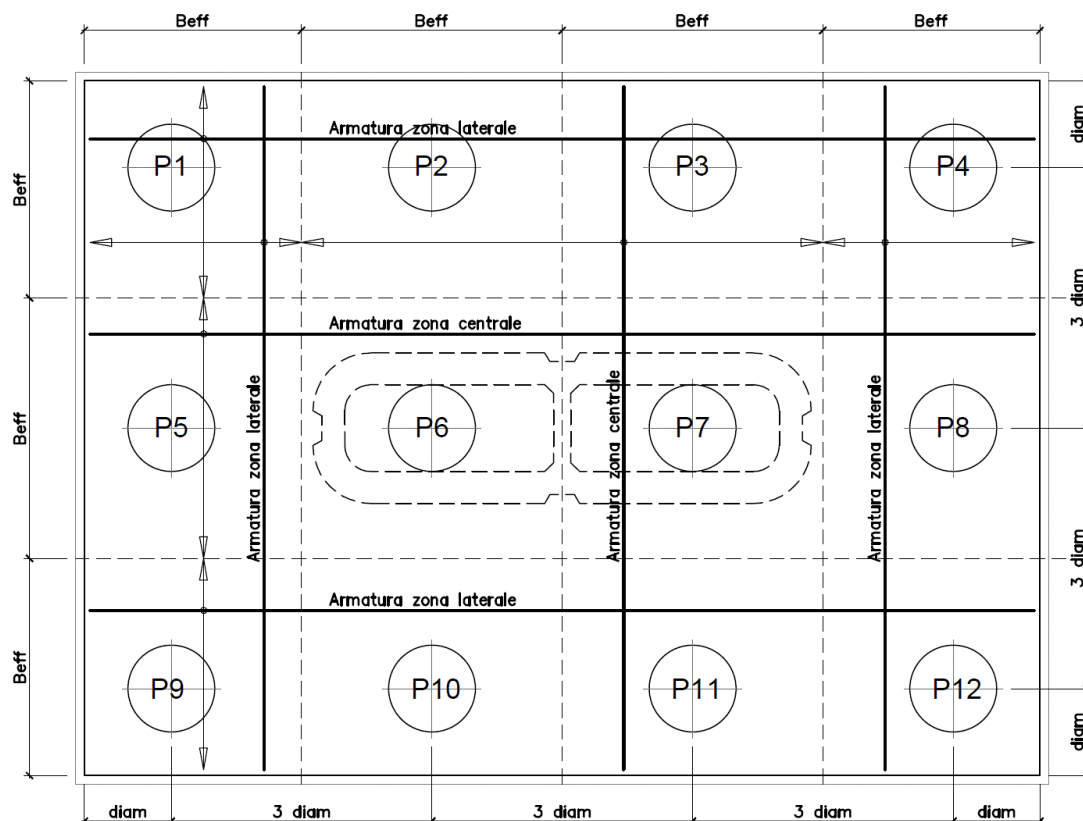


Figura 46 – Plinto di fondazione – Armatura longitudinale inferiore e superiore

Il tirante d'armatura impiegato nelle verifiche è descritto nella tabella seguente.

	Armatura inferiore di verifica			Armatura superiore di verifica			
	Zona laterale		Zona centrale	Zona laterale		Zona centrale	
	dir. Long.	dir. Trasv.	dir. Long.	dir. Long.	dir. Trasv.	dir. Long.	
B_{eff}	3.75	3.75	4.5	3.75	3.75	4.5	[m]
\varnothing_{barre}	2.80	2.80	2.80	2.40	2.40	2.40	[cm]
l_{barre}	0.15	0.15	0.15	0.20	0.20	0.20	[m]
n_{strati}	2.00	2.00	1.50	1.50	1.50	1.00	
n_{barre}	50	50	45	28	28	22	
A_{1b}	6.15	6.15	6.15	4.52	4.52	4.52	[cm ²]
A_{tot}	308	308	277	127	127	99	[cm ²]

  	ITINERARIO NAPOLI – BARI RADDOPPIO TRATTA CANCELLO – BENEVENTO I° LOTTO FUNZIONALE CANCELLO - FRASSO TELESINO E VARIANTE ALLA LINEA ROMA-NAPOLI VIA CASSINO NEL COMUNE DI MADDALONI – PROGETTO ESECUTIVO												
Pile 27 e 28: Relazione di calcolo	<table border="1"> <tr> <td>COMMESSA</td> <td>LOTTO</td> <td>CODIFICA</td> <td>DOCUMENTO</td> <td>REV.</td> <td>FOGLIO</td> </tr> <tr> <td>IF1N</td> <td>01 E ZZ</td> <td>CL</td> <td>VI0605 020</td> <td>B</td> <td>134 di 137</td> </tr> </table>	COMMESSA	LOTTO	CODIFICA	DOCUMENTO	REV.	FOGLIO	IF1N	01 E ZZ	CL	VI0605 020	B	134 di 137
COMMESSA	LOTTO	CODIFICA	DOCUMENTO	REV.	FOGLIO								
IF1N	01 E ZZ	CL	VI0605 020	B	134 di 137								

La sezione della biella compressa di calcestruzzo impiegata nelle verifiche è descritta nella tabella seguente.

	Biella inferiore di verifica		Biella superiore di verifica		
	Zona laterale	Zona centrale	Zona laterale	Zona centrale	
	dir. Long.	dir. Long.	dir. Long.	dir. Long.	
Bc	5.61	4.50	5.61	4.50	[m]
hc	0.41	0.58	0.41	0.58	[m]
Ac	2.30	2.59	2.30	2.59	[m ²]

11.1.3 VERIFICHE SLU DELLE TENSIONI NORMALI

La verifica SLE di tipo tensionale si effettua verificando che le massime tensioni agenti nella sezione risultino inferiori ai seguenti valori limite:

per le combinazioni SLU e SLV:

- tensione limite nel calcestruzzo: $\sigma_c = f_{cd}' = 0.5 f_{cd} = 8.2 \text{ MPa}$
- tensione limite nelle barre: $\sigma_s = f_{yd} = 391 \text{ MPa}$

Si riportano a seguire in forma sintetica le verifiche più severe dei meccanismi tirante-puntone che si innescano nel plinto della pila avente maggiore altezza tra quelle comprese nel gruppo di sottostrutture considerato nella presente relazione.

	Nmax	PEd	T	σ_s _long	σ_s _trasv	< f _{yd}	C	σ_c	< f _{cd} '
SIS-SLV	5690	4439	9344	236	191	VERO	10345	4.5	VERO
	kN	kN	kN	Mpa	Mpa		kN	Mpa	

Negli allegati alla presente relazione sono riportate le verifiche in forma completa relative al plinto della pila con altezza maggiore tra quelle appartenenti al gruppo considerato.

11.1.4 VERIFICHE SLE DELLE TENSIONI NORMALI

La verifica SLE di tipo tensionale si effettua verificando che le massime tensioni agenti nella sezione risultino inferiori ai seguenti valori limite:

per le combinazioni SLE-RAR:

- tensione limite nel calcestruzzo: $\sigma_c = 0.55 f_{ck} = 16.0 \text{ MPa}$
- tensione limite nelle barre: $\sigma_s = 0.75 f_{yk} = 337.5 \text{ MPa}$

per le combinazioni SLE-QPE:

- tensione limite nel calcestruzzo: $\sigma_c = 0.40 f_{ck} = 11.6 \text{ MPa}$

  	ITINERARIO NAPOLI – BARI RADDOPPIO TRATTA CANCELLO – BENEVENTO I° LOTTO FUNZIONALE CANCELLO - FRASSO TELESINO E VARIANTE ALLA LINEA ROMA-NAPOLI VIA CASSINO NEL COMUNE DI MADDALONI – PROGETTO ESECUTIVO												
Pile 27 e 28: Relazione di calcolo	<table border="1" style="width: 100%; border-collapse: collapse;"> <tr> <td style="text-align: center;">COMMESSA</td> <td style="text-align: center;">LOTTO</td> <td style="text-align: center;">CODIFICA</td> <td style="text-align: center;">DOCUMENTO</td> <td style="text-align: center;">REV.</td> <td style="text-align: center;">FOGLIO</td> </tr> <tr> <td style="text-align: center;">IF1N</td> <td style="text-align: center;">01 E ZZ</td> <td style="text-align: center;">CL</td> <td style="text-align: center;">VI0605 020</td> <td style="text-align: center;">B</td> <td style="text-align: center;">135 di 137</td> </tr> </table>	COMMESSA	LOTTO	CODIFICA	DOCUMENTO	REV.	FOGLIO	IF1N	01 E ZZ	CL	VI0605 020	B	135 di 137
COMMESSA	LOTTO	CODIFICA	DOCUMENTO	REV.	FOGLIO								
IF1N	01 E ZZ	CL	VI0605 020	B	135 di 137								

Si riportano a seguire in forma sintetica le verifiche più severe dei meccanismi tirante-puntone che si innescano nel plinto della pila avente maggiore altezza tra quelle comprese nel gruppo di sottostrutture considerato nella presente relazione.

	Nmax	PEd	T	σ_{s_long}	σ_{s_trasv}	< 0.75 f _{yk}	C	σ_c	< 0.40 f _{ck} '
SLE-RAR	4142	2891	6086	154	124	VERO	6738	2.9	VERO
	kN	kN	kN	Mpa	Mpa		kN	Mpa	

Negli allegati alla presente relazione sono riportate le verifiche in forma completa relative al plinto della pila con altezza maggiore tra quelle appartenenti al gruppo considerato.

11.2 VERIFICA SLU A PUNZONAMENTO

Il valore resistente a taglio-punzonamento della sezione si determina secondo le indicazioni del §4.1.2.1.3.1 e 4 [1]:

$$V_{Rd,c} = V_{Rd,c} / u \quad \text{in cui}$$

$$V_{Rd,c} = (0.18 k (100 \rho_l f_{ck})^{1/3} / \gamma_c + 0.15 \sigma_{cp}) b_w d \geq (v_{min} + 0.15 \sigma_{cp}) b_w d$$

u = perimetro efficace per la verifica a taglio-punzonamento

d = altezza utile della sezione

b_w = larghezza minima della sezione

$$k = 1 + (200/d)^{1/2} \leq 2$$

$$v_{min} = 0.035 k^{3/2} f_{ck}^{1/2}$$

$$\rho_l = A_{sl} / (b_w d)$$

$$\sigma_{cp} = N_{Ed} / A_c$$

Conservativamente, la verifica è stata sempre riferita al palo di bordo maggiormente sollecitato e lo sviluppo del perimetro efficace u è stato definito considerando una distanza dall'impronta caricata (coincidente con la sezione di testa del palo) pari a $d = a * 0.9 * H_{pl}$ (H_{pl} = altezza plinto, $a < 2$), come illustrato nella seguente figura.

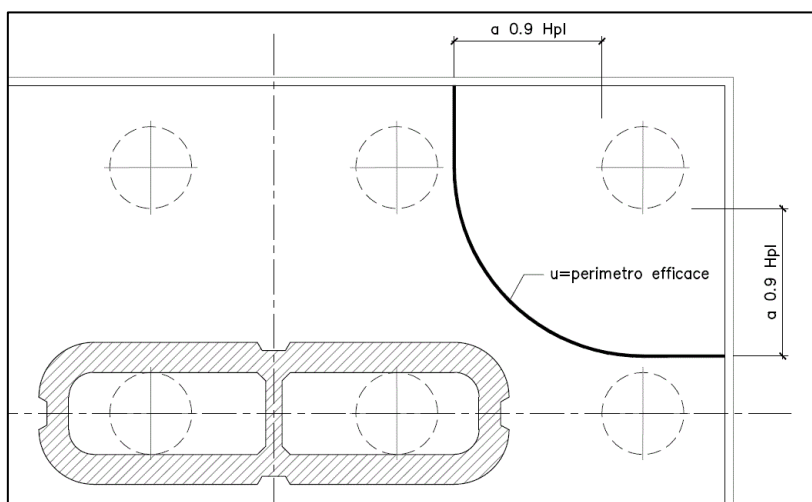


Figura 47 – Perimetro efficace per la verifica a taglio punzonamento

  	ITINERARIO NAPOLI – BARI RADDOPPIO TRATTA CANCELLO – BENEVENTO I° LOTTO FUNZIONALE CANCELLO - FRASSO TELESINO E VARIANTE ALLA LINEA ROMA-NAPOLI VIA CASSINO NEL COMUNE DI MADDALONI – PROGETTO ESECUTIVO												
Pile 27 e 28: Relazione di calcolo	<table border="1"> <thead> <tr> <th>COMMESSA</th> <th>LOTTO</th> <th>CODIFICA</th> <th>DOCUMENTO</th> <th>REV.</th> <th>FOGLIO</th> </tr> </thead> <tbody> <tr> <td>IF1N</td> <td>01 E ZZ</td> <td>CL</td> <td>VI0605 020</td> <td>B</td> <td>136 di 137</td> </tr> </tbody> </table>	COMMESSA	LOTTO	CODIFICA	DOCUMENTO	REV.	FOGLIO	IF1N	01 E ZZ	CL	VI0605 020	B	136 di 137
COMMESSA	LOTTO	CODIFICA	DOCUMENTO	REV.	FOGLIO								
IF1N	01 E ZZ	CL	VI0605 020	B	136 di 137								

Si riporta a seguire in forma sintetica la verifica più severa (in combinazione SLV-SIS) a a taglio-punzonamento della pila avente maggiore altezza tra quelle comprese nel gruppo di sottostrutture considerato nella presente relazione.

V_{Ed}	4618	kN
a	1.0	
u	7.7	m
V_{Ed}	0.251	MPa
$V_{Rd,c}$	0.354	MPa

Negli allegati alla presente relazione sono riportate le verifiche in forma completa.

11.3 VERIFICA SLE A FESSURAZIONE

La verifica SLE a fessurazione si effettua verificando che il massimo valore di apertura delle fessure risulti inferiore ai seguenti valori limite:

per le combinazioni SLE-RAR:

- apertura fessure limite: $w_{lim} = w_1 = 0.30 \text{ mm}$

Si riporta a seguire in forma sintetica la verifica più severa (in combinazione SLE-RAR) della pila avente maggiore altezza tra quelle comprese nel gruppo di sottostrutture considerato nella presente relazione.

L'ampiezza massima delle fessure calcolata è pari a

w_k	0.267	mm
-------	--------------	----

Negli allegati alla presente relazione sono riportate le verifiche in forma completa.

  	ITINERARIO NAPOLI – BARI RADDOPPIO TRATTA CANCELLO – BENEVENTO I° LOTTO FUNZIONALE CANCELLO - FRASSO TELESINO E VARIANTE ALLA LINEA ROMA-NAPOLI VIA CASSINO NEL COMUNE DI MADDALONI – PROGETTO ESECUTIVO												
Pile 27 e 28: Relazione di calcolo	<table border="1"> <thead> <tr> <th>COMMESSA</th> <th>LOTTO</th> <th>CODIFICA</th> <th>DOCUMENTO</th> <th>REV.</th> <th>FOGLIO</th> </tr> </thead> <tbody> <tr> <td>IF1N</td> <td>01 E ZZ</td> <td>CL</td> <td>VI0605 020</td> <td>B</td> <td>137 di 137</td> </tr> </tbody> </table>	COMMESSA	LOTTO	CODIFICA	DOCUMENTO	REV.	FOGLIO	IF1N	01 E ZZ	CL	VI0605 020	B	137 di 137
COMMESSA	LOTTO	CODIFICA	DOCUMENTO	REV.	FOGLIO								
IF1N	01 E ZZ	CL	VI0605 020	B	137 di 137								

12 INCIDENZE

Incidenza pulvino: 120 kg/m³
 Incidenza fusto: 260 kg/m³
 Incidenza platea: 90 kg/m³
 Incidenza pali: 90 kg/m³

ALLEGATO 1

NOME COMB.	G - Permanenti			Q1 - Variabili verticali							Q2 - Avviamento e frenatura							Q3 - Centrifuga							Q4 - Serpeggio							Q5 - Variabili Q6 - Azioni interne Q7 - Effetti d'interazione			E - Azioni sismiche			Descrizione				
	G1	G21	G22	Q11	Q12	Q13	Q14	Q15	Q16	Q17	Q21	Q22	Q23	Q24	Q25	Q26	Q27	Q31	Q32	Q33	Q34	Q35	Q36	Q37	Q41	Q42	Q43	Q44	Q45	Q46	Q47	Q51	Q61	Q71	E1	E2	E3					
SLU-SIS-007	1	1	1	0	0	0	0,2	0	0	0	0	0	0	0	0	0	0	0	0	0,2	0	0	0	0	0	0	0	0,2	0	0	0	0	0	0,2	0,2	0,5	1	0,3	0,3	E1	gruppo 1	
SLU-SIS-008	1	1	1	0	0	0	0	0,2	0	0	0	0	0	0,1	0	0	0	0	0	0	0	0,2	0	0	0	0	0	0	0	0,2	0	0	0	0	0,2	0,2	0,5	1	0,3	0,3	E1	gruppo 1
SLU-SIS-009	1	1	1	0	0	0	0	0	0	0,2	0	0	0	0	0,1	0	0	0	0	0	0	0	0,2	0	0	0	0	0	0	0	0,2	0	0	0,2	0,2	0,5	1	0,3	0,3	E1	gruppo 1	
SLU-SIS-010	1	1	1	0,2	0	0	0	0	0	0	0	0,2	0	0	0	0	0	0,1	0	0	0	0	0	0	0	0,1	0	0	0	0	0	0	0	0,2	0,2	0,5	1	0,3	0,3	E1	gruppo 3	
SLU-SIS-011	1	1	1	0	0,2	0	0	0	0	0	0	0	0,2	0	0	0	0	0,1	0	0	0	0	0	0	0	0	0,1	0	0	0	0	0	0	0,2	0,2	0,5	1	0,3	0,3	E1	gruppo 3	
SLU-SIS-012	1	1	1	0	0	0,2	0	0	0	0	0	0	0,2	0	0	0	0	0	0,1	0	0	0	0	0	0	0	0	0,1	0	0	0	0	0	0	0,2	0,2	0,5	1	0,3	0,3	E1	gruppo 3
SLU-SIS-013	1	1	1	0	0	0	0,2	0	0	0	0	0	0,2	0	0	0	0	0	0	0	0,1	0	0	0	0	0	0	0	0,1	0	0	0	0	0,2	0,2	0,5	1	0,3	0,3	E1	gruppo 3	
SLU-SIS-014	1	1	1	0	0	0	0	0,2	0	0	0	0	0,2	0	0	0	0	0	0	0	0	0,1	0	0	0	0	0	0	0,1	0	0	0	0	0,2	0,2	0,5	1	0,3	0,3	E1	gruppo 3	
SLU-SIS-015	1	1	1	0	0	0	0	0	0	0,2	0	0	0	0	0,2	0	0	0	0	0	0	0	0,1	0	0	0	0	0	0,1	0	0	0	0	0,2	0,2	0,5	1	0,3	0,3	E1	gruppo 3	
SLU-SIS-016	1	1	0	0	0	0	0	0	0	0	0	0	0	0	0	0,2	0	0	0	0	0	0	0	0,1	0	0	0	0	0	0	0	0	0,1	0,2	0,2	0,5	1	0,3	0,3	E1	gruppo 3-2	
SLU-SIS-017	1	1	1	0	0	0	0	0	0	0	0	0	0	0	0	0	0	0	0	0	0	0	0	0	0	0	0	0	0	0	0	0	0	0	0	0	1	0,3	-0,3	E1	solo perm	
SLU-SIS-018	1	1	1	0	0	0	0	0	0	0	0	0	0	0	0	0	0	0	0	0	0	0	0	0	0	0	0	0	0	0	0	0	0	0	0,2	0,2	0,5	1	0,3	-0,3	E1	termica
SLU-SIS-019	1	1	0	0	0	0	0	0	0	0	0	0	0	0	0	0	0	0	0	0	0	0	0	0	0	0	0	0	0	0	0	0	0	0,2	0,2	0,5	1	0,3	-0,3	E1	termica	
SLU-SIS-020	1	1	1	0,2	0	0	0	0	0	0	0	0	0	0	0	0	0	0	0	0	0	0	0	0	0	0	0	0	0	0	0	0	0	0	0	0	1	0,3	-0,3	E1	solo vert	
SLU-SIS-021	1	1	1	0,2	0	0	0	0	0	0	0	0	0	0	0	0	0	0,2	0	0	0	0	0	0	0	0	0,2	0	0	0	0	0	0	0,2	0,2	0,5	1	0,3	-0,3	E1	gruppo 1	
SLU-SIS-022	1	1	1	0	0,2	0	0	0	0	0	0	0	0	0	0	0	0	0	0,2	0	0	0	0	0	0	0	0	0,2	0	0	0	0	0	0	0,2	0,2	0,5	1	0,3	-0,3	E1	gruppo 1
SLU-SIS-023	1	1	1	0	0	0,2	0	0	0	0	0	0	0	0	0	0	0	0	0	0,2	0	0	0	0	0	0	0	0,2	0	0	0	0	0	0,2	0,2	0,5	1	0,3	-0,3	E1	gruppo 1	
SLU-SIS-024	1	1	1	0	0	0	0,2	0	0	0	0	0	0	0	0	0	0	0	0	0	0,2	0	0	0	0	0	0	0	0,2	0	0	0	0	0,2	0,2	0,5	1	0,3	-0,3	E1	gruppo 1	
SLU-SIS-025	1	1	1	0	0	0	0	0,2	0	0	0	0	0	0	0,1	0	0	0	0	0	0	0,2	0	0	0	0	0	0,2	0	0	0	0	0,2	0,2	0,5	1	0,3	-0,3	E1	gruppo 1		
SLU-SIS-026	1	1	1	0	0	0	0	0	0	0,2	0	0	0	0	0,1	0	0	0	0	0	0	0	0,2	0	0	0	0	0,2	0	0	0	0	0,2	0,2	0,5	1	0,3	-0,3	E1	gruppo 1		
SLU-SIS-027	1	1	1	0,2	0	0	0	0	0	0	0	0,2	0	0	0	0	0	0,1	0	0	0	0	0	0	0	0,1	0	0	0	0	0	0	0	0,2	0,2	0,5	1	0,3	-0,3	E1	gruppo 3	
SLU-SIS-028	1	1	1	0	0,2	0	0	0	0	0	0	0	0	0	0	0	0	0	0,1	0	0	0	0	0	0	0	0	0,1	0	0	0	0	0	0,2	0,2	0,5	1	0,3	-0,3	E1	gruppo 3	
SLU-SIS-029	1	1	1	0	0	0,2	0	0	0	0	0	0	0	0	0	0	0	0	0	0,1	0	0	0	0	0	0	0	0,1	0	0	0	0	0	0,2	0,2	0,5	1	0,3	-0,3	E1	gruppo 3	
SLU-SIS-030	1	1	1	0	0	0	0,2	0	0	0	0	0	0	0	0	0	0	0	0	0	0,1	0	0	0	0	0	0	0,1	0	0	0	0	0	0,2	0,2	0,5	1	0,3	-0,3	E1	gruppo 3	
SLU-SIS-031	1	1	1	0	0	0	0	0,2	0	0	0	0	0,2	0	0	0	0	0	0	0	0	0	0,1	0	0	0	0	0,1	0	0	0	0	0	0,2	0,2	0,5	1	0,3	-0,3	E1	gruppo 3	
SLU-SIS-032	1	1	1	0	0	0	0	0	0	0,2	0	0	0	0	0,2	0	0	0	0	0	0	0	0,1	0	0	0	0	0,1	0	0	0	0	0,2	0,2	0,5	1	0,3	-0,3	E1	gruppo 3		
SLU-SIS-033	1	1	0	0	0	0	0	0	0	0	0	0	0	0	0	0,2	0	0	0	0	0	0	0	0,1	0	0	0	0	0	0	0	0	0,1	0,2	0,2	0,5	1	0,3	-0,3	E1	gruppo 3-2	
SLU-SIS-034	1	1	1	0	0	0	0	0	0	0	0	0	0	0	0	0	0	0	0	0	0	0	0	0	0	0	0	0	0	0	0	0	0	0	0	0	0,3	1	0,3	E2	solo perm	
SLU-SIS-035	1	1	1	0	0	0	0	0	0	0	0	0	0	0	0	0	0	0	0	0	0	0	0	0	0	0	0	0	0	0	0	0	0	0,2	0,2	0,5	0,3	1	0,3	E2	termica	
SLU-SIS-036	1	1	0	0	0	0	0	0	0	0	0	0	0	0	0	0	0	0	0	0	0	0	0	0	0	0	0	0	0	0	0	0	0,2	0,2	0,5	0,3	1	0,3	E2	termica		
SLU-SIS-037	1	1	1	0,2	0	0	0	0	0	0	0	0	0	0	0	0	0	0	0	0	0	0	0	0	0	0	0	0	0	0	0	0	0	0	0	0	0,3	1	0,3	E2	solo vert	
SLU-SIS-038	1	1	1	0,2	0	0	0	0	0	0	0	0	0	0	0	0	0	0,2	0	0	0	0	0	0	0	0,2	0	0	0	0	0	0	0,2	0,2	0,5	0,3	1	0,3	E2	gruppo 1		
SLU-SIS-039	1	1	1	0	0,2	0	0	0	0	0	0	0	0	0	0	0	0	0	0,2	0	0	0	0	0	0	0	0,2	0	0	0	0	0	0,2	0,2	0,5	0,3	1	0,3	E2	gruppo 1		
SLU-SIS-040	1	1	1	0	0	0,2	0	0	0	0	0	0	0	0	0	0	0	0	0	0,2	0	0	0	0	0	0	0	0,2	0	0	0	0	0,2	0,2	0,5	0,3	1	0,3	E2	gruppo 1		
SLU-SIS-041	1	1	1	0	0	0	0,2	0	0	0	0	0	0	0	0	0	0	0	0	0	0,2	0	0	0	0	0	0	0,2	0	0	0	0	0,2	0,2	0,5	0,3	1	0,3	E2	gruppo 1		
SLU-SIS-042	1	1	1	0	0	0	0	0,2	0	0	0	0	0	0,1	0	0	0	0	0	0	0	0	0	0	0	0,2	0	0	0	0	0,2	0,2	0,5	0,3	1	0,3	E2	gruppo 1				
SLU-SIS-043	1	1	1	0	0	0	0	0	0	0,2	0	0	0	0	0,1	0	0	0	0	0	0	0	0	0	0	0,2	0	0	0	0	0,2	0,2	0,5	0,3	1	0,3	E2	gruppo 1				

NOME COMB.	G - Permanenti			Q1 - Variabili verticali							Q2 - Avviamento e frenatura							Q3 - Centrifuga							Q4 - Serpeggio							Q5 - Variabili Q6 - Azioni interne Q7 - Effetti d'interazione			E - Azioni sismiche			Descrizione		
	G1	G2	G22	Q11	Q12	Q13	Q14	Q15	Q16	Q17	Q21	Q22	Q23	Q24	Q25	Q26	Q27	Q31	Q32	Q33	Q34	Q35	Q36	Q37	Q41	Q42	Q43	Q44	Q45	Q46	Q47	Q51	Q61	Q71	E1	E2	E3			
SLU-SIS-044	1	1	1	0,2	0	0	0	0	0	0	0,2	0	0	0	0	0	0,1	0	0	0	0	0	0	0,1	0	0	0	0	0	0	0	0,2	0,2	0,3	1	0,3	E2	gruppo 3		
SLU-SIS-045	1	1	1	0	0,2	0	0	0	0	0	0	0,2	0	0	0	0	0	0,1	0	0	0	0	0	0	0	0,1	0	0	0	0	0	0	0	0,2	0,2	0,3	1	0,3	E2	gruppo 3
SLU-SIS-046	1	1	1	0	0	0,2	0	0	0	0	0	0	0,2	0	0	0	0	0	0,1	0	0	0	0	0	0	0	0,1	0	0	0	0	0	0	0,2	0,2	0,3	1	0,3	E2	gruppo 3
SLU-SIS-047	1	1	1	0	0	0	0,2	0	0	0	0	0	0,2	0	0	0	0	0	0	0,1	0	0	0	0	0	0	0	0,1	0	0	0	0	0	0,2	0,2	0,3	1	0,3	E2	gruppo 3
SLU-SIS-048	1	1	1	0	0	0	0	0,2	0	0	0	0	0	0,2	0	0	0	0	0	0	0,1	0	0	0	0	0	0	0	0,1	0	0	0	0	0,2	0,2	0,3	1	0,3	E2	gruppo 3
SLU-SIS-049	1	1	1	0	0	0	0	0	0	0,2	0	0	0	0	0,2	0	0	0	0	0	0	0,1	0	0	0	0	0	0	0	0,1	0	0	0	0,2	0,2	0,3	1	0,3	E2	gruppo 3
SLU-SIS-050	1	1	0	0	0	0	0	0	0	0	0,1	0	0	0	0	0	0,2	0	0	0	0	0	0	0	0	0,1	0	0	0	0	0	0,1	0	0,2	0,2	0,3	1	0,3	E2	gruppo 3-2
SLU-SIS-051	1	1	1	0	0	0	0	0	0	0	0	0	0	0	0	0	0	0	0	0	0	0	0	0	0	0	0	0	0	0	0	0	0	0	0	0,3	1	-0,3	E2	solo perm
SLU-SIS-052	1	1	1	0	0	0	0	0	0	0	0	0	0	0	0	0	0	0	0	0	0	0	0	0	0	0	0	0	0	0	0	0	0	0,2	0,5	0,3	1	-0,3	E2	termica
SLU-SIS-053	1	1	0	0	0	0	0	0	0	0	0	0	0	0	0	0	0	0	0	0	0	0	0	0	0	0	0	0	0	0	0	0	0	0,2	0,5	0,3	1	-0,3	E2	termica
SLU-SIS-054	1	1	1	0,2	0	0	0	0	0	0	0	0	0	0	0	0	0	0	0	0	0	0	0	0	0	0	0	0	0	0	0	0	0	0	0	0,3	1	-0,3	E2	solo vert
SLU-SIS-055	1	1	1	0,2	0	0	0	0	0	0	0	0	0	0	0	0	0,2	0	0	0	0	0	0	0	0	0,2	0	0	0	0	0	0	0	0,2	0,2	0,3	1	-0,3	E2	gruppo 1
SLU-SIS-056	1	1	1	0	0,2	0	0	0	0	0	0	0	0	0	0	0	0	0,2	0	0	0	0	0	0	0	0	0,2	0	0	0	0	0	0	0,2	0,2	0,3	1	-0,3	E2	gruppo 1
SLU-SIS-057	1	1	1	0	0	0,2	0	0	0	0	0	0	0	0	0	0	0	0	0,2	0	0	0	0	0	0	0	0	0,2	0	0	0	0	0	0,2	0,2	0,3	1	-0,3	E2	gruppo 1
SLU-SIS-058	1	1	1	0	0	0	0,2	0	0	0	0	0	0	0	0	0	0	0	0	0,2	0	0	0	0	0	0	0	0,2	0	0	0	0	0	0,2	0,2	0,3	1	-0,3	E2	gruppo 1
SLU-SIS-059	1	1	1	0	0	0	0	0,2	0	0	0	0	0	0,1	0	0	0	0	0	0	0	0,2	0	0	0	0	0	0,2	0	0	0	0	0	0,2	0,2	0,3	1	-0,3	E2	gruppo 1
SLU-SIS-060	1	1	1	0	0	0	0	0	0	0,2	0	0	0	0	0,1	0	0	0	0	0	0	0	0	0,2	0	0	0	0	0,2	0	0	0	0,2	0,2	0,3	1	-0,3	E2	gruppo 1	
SLU-SIS-061	1	1	1	0,2	0	0	0	0	0	0	0	0	0	0	0	0	0,1	0	0	0	0	0	0	0	0	0,1	0	0	0	0	0	0	0	0,2	0,2	0,3	1	-0,3	E2	gruppo 3
SLU-SIS-062	1	1	1	0	0,2	0	0	0	0	0	0	0	0	0	0	0	0	0,1	0	0	0	0	0	0	0	0	0,1	0	0	0	0	0	0	0,2	0,2	0,3	1	-0,3	E2	gruppo 3
SLU-SIS-063	1	1	1	0	0	0,2	0	0	0	0	0	0	0	0	0	0	0	0	0,1	0	0	0	0	0	0	0	0	0,1	0	0	0	0	0	0,2	0,2	0,3	1	-0,3	E2	gruppo 3
SLU-SIS-064	1	1	1	0	0	0	0,2	0	0	0	0	0	0	0	0	0	0	0	0	0,1	0	0	0	0	0	0	0	0,1	0	0	0	0	0	0,2	0,2	0,3	1	-0,3	E2	gruppo 3
SLU-SIS-065	1	1	1	0	0	0	0	0,2	0	0	0	0	0	0	0,2	0	0	0	0	0	0	0	0,1	0	0	0	0	0,1	0	0	0	0	0,2	0,2	0,3	1	-0,3	E2	gruppo 3	
SLU-SIS-066	1	1	1	0	0	0	0	0	0	0,2	0	0	0	0	0,2	0	0	0	0	0	0	0	0,1	0	0	0	0	0,1	0	0	0	0,2	0,2	0,3	1	-0,3	E2	gruppo 3		
SLU-SIS-067	1	1	0	0	0	0	0	0	0	0	0,1	0	0	0	0	0,2	0	0	0	0	0	0	0	0,1	0	0	0	0	0	0,1	0	0,2	0,2	0,3	1	-0,3	E2	gruppo 3-2		
SLU-SIS-068	1	1	1	0	0	0	0	0	0	0	0	0	0	0	0	0	0	0	0	0	0	0	0	0	0	0	0	0	0	0	0	0	0	0	0,3	0,3	1	E3	solo perm	
SLU-SIS-069	1	1	1	0	0	0	0	0	0	0	0	0	0	0	0	0	0	0	0	0	0	0	0	0	0	0	0	0	0	0	0	0	0,2	0,5	0,3	0,3	1	E3	termica	
SLU-SIS-070	1	1	0	0	0	0	0	0	0	0	0	0	0	0	0	0	0	0	0	0	0	0	0	0	0	0	0	0	0	0	0	0,2	0,5	0,3	0,3	1	E3	termica		
SLU-SIS-071	1	1	1	0,2	0	0	0	0	0	0	0	0	0	0	0	0	0	0	0	0	0	0	0	0	0	0	0	0	0	0	0	0	0	0	0,3	0,3	1	E3	solo vert	
SLU-SIS-072	1	1	1	0,2	0	0	0	0	0	0	0	0	0	0	0	0	0,2	0	0	0	0	0	0	0	0	0,2	0	0	0	0	0	0	0,2	0,2	0,3	0,3	1	E3	gruppo 1	
SLU-SIS-073	1	1	1	0	0,2	0	0	0	0	0	0	0	0	0	0	0	0	0,2	0	0	0	0	0	0	0	0	0,2	0	0	0	0	0	0,2	0,2	0,3	0,3	1	E3	gruppo 1	
SLU-SIS-074	1	1	1	0	0	0,2	0	0	0	0	0	0	0	0	0	0	0	0	0,2	0	0	0	0	0	0	0	0,2	0	0	0	0	0	0,2	0,2	0,3	0,3	1	E3	gruppo 1	
SLU-SIS-075	1	1	1	0	0	0	0,2	0	0	0	0	0	0	0	0	0	0	0	0	0,2	0	0	0	0	0	0	0,2	0	0	0	0	0,2	0,2	0,3	0,3	1	E3	gruppo 1		
SLU-SIS-076	1	1	1	0	0	0	0	0,2	0	0	0	0	0	0,1	0	0	0	0	0	0	0	0	0,2	0	0	0	0	0,2	0	0	0	0,2	0,2	0,3	0,3	1	E3	gruppo 1		
SLU-SIS-077	1	1	1	0	0	0	0	0	0	0,2	0	0	0	0	0,1	0	0	0	0	0	0	0	0,2	0	0	0	0	0,2	0	0	0,2	0,2	0,3	0,3	1	E3	gruppo 1			
SLU-SIS-078	1	1	1	0,2	0	0	0	0	0	0	0	0	0	0	0	0	0,1	0	0	0	0	0	0	0	0,1	0	0	0	0	0	0	0,2	0,2	0,3	0,3	1	E3	gruppo 3		
SLU-SIS-079	1	1	1	0	0,2	0	0	0	0	0	0	0	0	0	0	0	0	0,1	0	0	0	0	0	0	0	0	0,1	0	0	0	0	0,2	0,2	0,3	0,3	1	E3	gruppo 3		
SLU-SIS-080	1	1	1	0	0	0,2	0	0	0	0	0	0	0	0	0	0	0	0	0,1	0	0	0	0	0	0	0	0,1	0	0	0	0	0,2	0,2	0,3	0,3	1	E3	gruppo 3		

NOME COMB.	G - Permanenti			Q1 - Variabili verticali							Q2 - Avviamento e frenatura							Q3 - Centrifuga							Q4 - Serpeggio							Q5 - Variabili Q6 - Azioni interne Q7 - Effetti d'interazione			E - Azioni sismiche			Descrizione		
	G1	G2	G22	Q11	Q12	Q13	Q14	Q15	Q16	Q17	Q21	Q22	Q23	Q24	Q25	Q26	Q27	Q31	Q32	Q33	Q34	Q35	Q36	Q37	Q41	Q42	Q43	Q44	Q45	Q46	Q47	Q51	Q61	Q71	E1	E2	E3			
SLU-SIS-081	1	1	1	0	0	0	0,2	0	0	0	0	0	0	0,2	0	0	0	0	0	0,1	0	0	0	0	0	0	0,1	0	0	0	0	0,2	0,2	0,2	0,3	0,3	1	E3	gruppo 3	
SLU-SIS-082	1	1	1	0	0	0	0	0,2	0	0	0	0	0	0,2	0	0	0	0	0	0	0,1	0	0	0	0	0	0	0,1	0	0	0	0	0,2	0,2	0,2	0,3	0,3	1	E3	gruppo 3
SLU-SIS-083	1	1	1	0	0	0	0	0	0,2	0	0	0	0	0,2	0	0	0	0	0	0	0	0,1	0	0	0	0	0	0,1	0	0	0	0	0,2	0,2	0,2	0,3	0,3	1	E3	gruppo 3
SLU-SIS-084	1	1	0	0	0	0	0	0	0	0	0,1	0	0	0	0	0,2	0	0	0	0	0	0	0,1	0	0	0	0	0	0,1	0	0,2	0,2	0,2	0,2	0,3	0,3	1	E3	gruppo 3-2	
SLU-SIS-085	1	1	1	0	0	0	0	0	0	0	0	0	0	0	0	0	0	0	0	0	0	0	0	0	0	0	0	0	0	0	0	0	0	0	0,3	0,3	-1	E3	solo perm	
SLU-SIS-086	1	1	1	0	0	0	0	0	0	0	0	0	0	0	0	0	0	0	0	0	0	0	0	0	0	0	0	0	0	0	0,2	0,5	0,3	0,3	-1	E3	termica			
SLU-SIS-087	1	1	0	0	0	0	0	0	0	0	0	0	0	0	0	0	0	0	0	0	0	0	0	0	0	0	0	0	0	0,2	0,5	0,3	0,3	-1	E3	termica				
SLU-SIS-088	1	1	1	0,2	0	0	0	0	0	0	0	0	0	0	0	0	0	0	0	0	0	0	0	0	0	0	0	0	0	0	0	0	0	0,3	0,3	-1	E3	solo vert		
SLU-SIS-089	1	1	1	0,2	0	0	0	0	0	0	0	0	0	0	0	0	0,2	0	0	0	0	0	0	0	0	0,2	0	0	0	0	0,2	0,2	0,3	0,3	-1	E3	gruppo 1			
SLU-SIS-090	1	1	1	0	0,2	0	0	0	0	0	0	0	0	0	0	0	0	0,2	0	0	0	0	0	0	0	0,2	0	0	0	0	0,2	0,2	0,3	0,3	-1	E3	gruppo 1			
SLU-SIS-091	1	1	1	0	0	0,2	0	0	0	0	0	0	0	0	0	0	0	0	0,2	0	0	0	0	0	0	0	0,2	0	0	0,2	0,2	0,3	0,3	-1	E3	gruppo 1				
SLU-SIS-092	1	1	1	0	0	0	0,2	0	0	0	0	0	0	0	0	0	0	0	0	0,2	0	0	0	0	0	0	0,2	0	0	0,2	0,2	0,3	0,3	-1	E3	gruppo 1				
SLU-SIS-093	1	1	1	0	0	0	0	0,2	0	0	0	0	0	0,1	0	0	0	0	0	0	0	0,2	0	0	0	0	0,2	0	0	0,2	0,2	0,3	0,3	-1	E3	gruppo 1				
SLU-SIS-094	1	1	1	0	0	0	0	0	0,2	0	0	0	0	0	0,1	0	0	0	0	0	0	0	0,2	0	0	0	0	0,2	0	0,2	0,2	0,3	0,3	-1	E3	gruppo 1				
SLU-SIS-095	1	1	1	0,2	0	0	0	0	0	0	0	0	0	0	0	0	0,1	0	0	0	0	0	0	0	0,1	0	0	0	0	0,2	0,2	0,3	0,3	-1	E3	gruppo 3				
SLU-SIS-096	1	1	1	0	0,2	0	0	0	0	0	0	0	0	0	0	0	0	0,1	0	0	0	0	0	0	0	0,1	0	0	0	0,2	0,2	0,3	0,3	-1	E3	gruppo 3				
SLU-SIS-097	1	1	1	0	0	0,2	0	0	0	0	0	0	0	0	0	0	0	0	0,1	0	0	0	0	0	0	0	0,1	0	0	0,2	0,2	0,3	0,3	-1	E3	gruppo 3				
SLU-SIS-098	1	1	1	0	0	0	0,2	0	0	0	0	0	0	0	0	0	0	0	0	0,1	0	0	0	0	0	0	0,1	0	0	0,2	0,2	0,3	0,3	-1	E3	gruppo 3				
SLU-SIS-099	1	1	1	0	0	0	0	0,2	0	0	0	0	0	0,2	0	0	0	0	0	0	0,1	0	0	0	0	0,1	0	0	0,2	0,2	0,3	0,3	-1	E3	gruppo 3					
SLU-SIS-100	1	1	1	0	0	0	0	0	0,2	0	0	0	0	0,2	0	0	0	0	0	0	0	0,1	0	0	0	0	0,1	0	0,2	0,2	0,3	0,3	-1	E3	gruppo 3					
SLU-SIS-101	1	1	0	0	0	0	0	0	0	0	0,1	0	0	0	0	0,2	0	0	0	0	0	0	0,1	0	0	0	0	0,1	0	0,2	0,2	0,3	0,3	-1	E3	gruppo 3-2				
SLU-SIS-102	1	1	1	0	0	0	0	0	0	0	0	0	0	0	0	0	0	0	0	0	0	0	0	0	0	0	0	0	0	0	0	-1	-0,3	0,3	E1	solo perm				
SLU-SIS-103	1	1	1	0	0	0	0	0	0	0	0	0	0	0	0	0	0	0	0	0	0	0	0	0	0	0	0	0	0,2	0,5	-1	-0,3	0,3	E1	termica					
SLU-SIS-104	1	1	0	0	0	0	0	0	0	0	0	0	0	0	0	0	0	0	0	0	0	0	0	0	0	0	0	0	0,2	0,5	-1	-0,3	0,3	E1	termica					
SLU-SIS-105	1	1	1	0,2	0	0	0	0	0	0	0	0	0	0	0	0	0,2	0	0	0	0	0	0	0	0,2	0	0	0	0,2	0,5	-1	-0,3	0,3	E1	gruppo 1					
SLU-SIS-106	1	1	1	0	0,2	0	0	0	0	0	0	0	0	0	0	0	0	0,2	0	0	0	0	0	0	0	0,2	0	0	0,2	0,5	-1	-0,3	0,3	E1	gruppo 1					
SLU-SIS-107	1	1	1	0	0	0,2	0	0	0	0	0	0	0	0	0	0	0	0	0,2	0	0	0	0	0	0	0,2	0	0	0,2	0,5	-1	-0,3	0,3	E1	gruppo 1					
SLU-SIS-108	1	1	1	0	0	0	0,2	0	0	0	0	0	0	0	0	0	0	0	0	0,2	0	0	0	0	0	0,2	0	0	0,2	0,5	-1	-0,3	0,3	E1	gruppo 1					
SLU-SIS-109	1	1	1	0	0	0	0	0,2	0	0	0	0	0	0,1	0	0	0	0	0	0	0	0,2	0	0	0	0	0,2	0	0,2	0,5	-1	-0,3	0,3	E1	gruppo 1					
SLU-SIS-110	1	1	1	0	0	0	0	0	0,2	0	0	0	0	0,1	0	0	0	0	0	0	0	0,2	0	0	0	0	0,2	0	0,2	0,5	-1	-0,3	0,3	E1	gruppo 1					
SLU-SIS-111	1	1	1	0,2	0	0	0	0	0	0	0	0	0	0	0	0	0,1	0	0	0	0	0	0	0,1	0	0	0	0	0,2	0,5	-1	-0,3	0,3	E1	gruppo 3					
SLU-SIS-112	1	1	1	0	0,2	0	0	0	0	0	0	0	0	0	0	0	0	0,1	0	0	0	0	0	0	0	0,1	0	0	0,2	0,5	-1	-0,3	0,3	E1	gruppo 3					
SLU-SIS-113	1	1	1	0	0	0,2	0	0	0	0	0	0	0	0	0	0	0	0	0,1	0	0	0	0	0	0	0,1	0	0	0,2	0,5	-1	-0,3	0,3	E1	gruppo 3					
SLU-SIS-114	1	1	1	0	0	0	0,2	0	0	0	0	0	0	0	0	0	0	0	0	0,1	0	0	0	0	0	0,1	0	0	0,2	0,5	-1	-0,3	0,3	E1	gruppo 3					
SLU-SIS-115	1	1	1	0	0	0	0	0,2	0	0	0	0	0	0,2	0	0	0	0	0	0	0,1	0	0	0	0	0,1	0	0	0,2	0,5	-1	-0,3	0,3	E1	gruppo 3					
SLU-SIS-116	1	1	1	0	0	0	0	0	0,2	0	0	0	0	0,2	0	0	0	0	0	0	0	0,1	0	0	0	0	0,1	0	0,2	0,5	-1	-0,3	0,3	E1	gruppo 3					
SLU-SIS-117	1	1	0	0	0	0	0	0	0	0	0,1	0	0	0	0	0,2	0	0	0	0	0	0	0,1	0	0	0	0	0,1	0	0,2	0,5	-1	-0,3	0,3	E1	gruppo 3-2				

NOME COMB.	G - Permanenti			Q1 - Variabili verticali							Q2 - Avviamento e frenatura							Q3 - Centrifuga							Q4 - Serpeggio							Q5 - Variabili Q6 - Azioni interne Q7 - Effetti d'interazione			E - Azioni sismiche			Descrizione			
	G1	G2	G22	Q11	Q12	Q13	Q14	Q15	Q16	Q17	Q21	Q22	Q23	Q24	Q25	Q26	Q27	Q31	Q32	Q33	Q34	Q35	Q36	Q37	Q41	Q42	Q43	Q44	Q45	Q46	Q47	Q51	Q61	Q71	E1	E2	E3				
SLU-SIS-118	1	1	1	0	0	0	0	0	0	0	0	0	0	0	0	0	0	0	0	0	0	0	0	0	0	0	0	0	0	0	0	0	0	0	0	-1	-0,3	-0,3	E1	solo perm	
SLU-SIS-119	1	1	1	0	0	0	0	0	0	0	0	0	0	0	0	0	0	0	0	0	0	0	0	0	0	0	0	0	0	0	0	0	0	0	0,2	0,5	-1	-0,3	-0,3	E1	termica
SLU-SIS-120	1	1	0	0	0	0	0	0	0	0	0	0	0	0	0	0	0	0	0	0	0	0	0	0	0	0	0	0	0	0	0	0	0	0,2	0,5	-1	-0,3	-0,3	E1	termica	
SLU-SIS-121	1	1	1	0,2	0	0	0	0	0	0	0	0	0	0	0	0	0	0	0	0	0	0	0	0	0	0	0	0	0	0	0	0	0	0	0	-1	-0,3	-0,3	E1	solo vert	
SLU-SIS-122	1	1	1	0,2	0	0	0	0	0	0	0	0	0	0	0	0	0,2	0	0	0	0	0	0	0	0	0	0	0	0	0	0	0	0	0,2	0,2	-1	-0,3	-0,3	E1	gruppo 1	
SLU-SIS-123	1	1	1	0	0,2	0	0	0	0	0	0	0	0	0	0	0	0	0,2	0	0	0	0	0	0	0	0	0,2	0	0	0	0	0	0	0,2	0,2	-1	-0,3	-0,3	E1	gruppo 1	
SLU-SIS-124	1	1	1	0	0	0,2	0	0	0	0	0	0	0	0	0	0	0	0	0,2	0	0	0	0	0	0	0	0	0,2	0	0	0	0	0	0,2	0,2	-1	-0,3	-0,3	E1	gruppo 1	
SLU-SIS-125	1	1	1	0	0	0	0,2	0	0	0	0	0	0	0	0	0	0	0	0	0,2	0	0	0	0	0	0	0	0,2	0	0	0	0	0	0,2	0,2	-1	-0,3	-0,3	E1	gruppo 1	
SLU-SIS-126	1	1	1	0	0	0	0	0,2	0	0	0	0	0	0	0,1	0	0	0	0	0	0	0	0,2	0	0	0	0	0,2	0	0	0	0	0	0,2	0,2	-1	-0,3	-0,3	E1	gruppo 1	
SLU-SIS-127	1	1	1	0	0	0	0	0	0	0,2	0	0	0	0	0	0,1	0	0	0	0	0	0	0	0,2	0	0	0	0	0,2	0	0	0	0	0,2	0,2	-1	-0,3	-0,3	E1	gruppo 1	
SLU-SIS-128	1	1	1	0,2	0	0	0	0	0	0	0	0	0	0	0	0	0,1	0	0	0	0	0	0	0	0	0,1	0	0	0	0	0	0	0	0,2	0,2	-1	-0,3	-0,3	E1	gruppo 3	
SLU-SIS-129	1	1	1	0	0,2	0	0	0	0	0	0	0	0	0	0	0	0	0,1	0	0	0	0	0	0	0	0	0,1	0	0	0	0	0	0	0,2	0,2	-1	-0,3	-0,3	E1	gruppo 3	
SLU-SIS-130	1	1	1	0	0	0,2	0	0	0	0	0	0	0	0	0	0	0	0	0,1	0	0	0	0	0	0	0	0,1	0	0	0	0	0	0	0,2	0,2	-1	-0,3	-0,3	E1	gruppo 3	
SLU-SIS-131	1	1	1	0	0	0	0,2	0	0	0	0	0	0	0	0	0	0	0	0	0,1	0	0	0	0	0	0	0,1	0	0	0	0	0	0	0,2	0,2	-1	-0,3	-0,3	E1	gruppo 3	
SLU-SIS-132	1	1	1	0	0	0	0	0,2	0	0	0	0	0	0,2	0	0	0	0	0	0	0	0	0,1	0	0	0	0	0,1	0	0	0	0	0	0,2	0,2	-1	-0,3	-0,3	E1	gruppo 3	
SLU-SIS-133	1	1	1	0	0	0	0	0	0	0,2	0	0	0	0	0,2	0	0	0	0	0	0	0	0,1	0	0	0	0	0,1	0	0	0	0	0,2	0,2	-1	-0,3	-0,3	E1	gruppo 3		
SLU-SIS-134	1	1	0	0	0	0	0	0	0	0	0	0	0	0	0	0,2	0	0	0	0	0	0	0	0	0,1	0	0	0	0	0	0	0	0,1	0	0,2	0,2	-1	-0,3	-0,3	E1	gruppo 3-2
SLU-SIS-135	1	1	1	0	0	0	0	0	0	0	0	0	0	0	0	0	0	0	0	0	0	0	0	0	0	0	0	0	0	0	0	0	0	0	0	-0,3	-1	0,3	E2	solo perm	
SLU-SIS-136	1	1	1	0	0	0	0	0	0	0	0	0	0	0	0	0	0	0	0	0	0	0	0	0	0	0	0	0	0	0	0	0	0	0,2	0,5	-0,3	-1	0,3	E2	termica	
SLU-SIS-137	1	1	0	0	0	0	0	0	0	0	0	0	0	0	0	0	0	0	0	0	0	0	0	0	0	0	0	0	0	0	0	0	0,2	0,5	-0,3	-1	0,3	E2	termica		
SLU-SIS-138	1	1	1	0,2	0	0	0	0	0	0	0	0	0	0	0	0	0	0	0	0	0	0	0	0	0	0	0	0	0	0	0	0	0	0	0	-0,3	-1	0,3	E2	solo vert	
SLU-SIS-139	1	1	1	0,2	0	0	0	0	0	0	0	0	0	0	0	0	0	0,2	0	0	0	0	0	0	0	0	0,2	0	0	0	0	0	0	0,2	0,2	-0,3	-1	0,3	E2	gruppo 1	
SLU-SIS-140	1	1	1	0	0,2	0	0	0	0	0	0	0	0	0	0	0	0	0,2	0	0	0	0	0	0	0	0	0,2	0	0	0	0	0	0	0,2	0,2	-0,3	-1	0,3	E2	gruppo 1	
SLU-SIS-141	1	1	1	0	0	0,2	0	0	0	0	0	0	0	0	0	0	0	0	0,2	0	0	0	0	0	0	0	0,2	0	0	0	0	0	0	0,2	0,2	-0,3	-1	0,3	E2	gruppo 1	
SLU-SIS-142	1	1	1	0	0	0	0,2	0	0	0	0	0	0	0	0	0	0	0	0	0,2	0	0	0	0	0	0	0	0,2	0	0	0	0	0	0,2	0,2	-0,3	-1	0,3	E2	gruppo 1	
SLU-SIS-143	1	1	1	0	0	0	0	0,2	0	0	0	0	0,1	0	0	0	0	0	0	0	0	0,2	0	0	0	0	0,2	0	0	0	0	0	0	0,2	0,2	-0,3	-1	0,3	E2	gruppo 1	
SLU-SIS-144	1	1	1	0	0	0	0	0	0	0,2	0	0	0	0	0,1	0	0	0	0	0	0	0	0,2	0	0	0	0	0,2	0	0	0	0	0,2	0,2	-0,3	-1	0,3	E2	gruppo 1		
SLU-SIS-145	1	1	1	0,2	0	0	0	0	0	0	0	0	0	0	0	0	0,1	0	0	0	0	0	0	0	0	0,1	0	0	0	0	0	0	0	0,2	0,2	-0,3	-1	0,3	G1+G2	gruppo 3	
SLU-SIS-146	1	1	1	0	0,2	0	0	0	0	0	0	0	0	0	0	0	0	0,1	0	0	0	0	0	0	0	0	0,1	0	0	0	0	0	0	0,2	0,2	-0,3	-1	0,3	G1+G2	gruppo 3	
SLU-SIS-147	1	1	1	0	0	0,2	0	0	0	0	0	0	0	0	0	0	0	0	0,1	0	0	0	0	0	0	0	0,1	0	0	0	0	0	0	0,2	0,2	-0,3	-1	0,3	G1+G2	gruppo 3	
SLU-SIS-148	1	1	1	0	0	0	0,2	0	0	0	0	0	0	0	0	0	0	0	0	0,1	0	0	0	0	0	0	0,1	0	0	0	0	0	0	0,2	0,2	-0,3	-1	0,3	G1+G2	gruppo 3	
SLU-SIS-149	1	1	1	0	0	0	0	0,2	0	0	0	0	0	0,2	0	0	0	0	0	0	0	0	0,1	0	0	0	0	0,1	0	0	0	0	0	0,2	0,2	-0,3	-1	0,3	G1+G2	gruppo 3	
SLU-SIS-150	1	1	1	0	0	0	0	0	0	0,2	0	0	0	0	0,2	0	0	0	0	0	0	0	0,1	0	0	0	0	0,1	0	0	0	0	0,2	0,2	-0,3	-1	0,3	G1+G2	gruppo 3		
SLU-SIS-151	1	1	0	0	0	0	0	0	0	0	0	0	0	0	0	0,2	0	0	0	0	0	0	0	0	0,1	0	0	0	0	0	0	0	0,1	0	0,2	0,2	-0,3	-1	0,3	E2	gruppo 3-2
SLU-SIS-152	1	1	1	0	0	0	0	0	0	0	0	0	0	0	0	0	0	0	0	0	0	0	0	0	0	0	0	0	0	0	0	0	0	0	0	-0,3	-1	-0,3	E2	solo perm	
SLU-SIS-153	1	1	1	0	0	0	0	0	0	0	0	0	0	0	0	0	0	0	0	0	0	0	0	0	0	0	0	0	0	0	0	0	0,2	0,5	-0,3	-1	-0,3	E2	termica		
SLU-SIS-154	1	1	0	0	0	0	0	0	0	0	0	0	0	0	0	0	0	0	0	0	0	0	0	0	0	0	0	0	0	0	0	0	0,2	0,5	-0,3	-1	-0,3	E2	termica		

NOME COMB.	G - Permanenti			Q1 - Variabili verticali							Q2 - Avviamento e frenatura							Q3 - Centrifuga							Q4 - Serpeggio							Q5 - Variabili Q6 - Azioni interne Q7 - Effetti d'interazione			E - Azioni sismiche			Descrizione		
	G1	G2	G22	Q11	Q12	Q13	Q14	Q15	Q16	Q17	Q21	Q22	Q23	Q24	Q25	Q26	Q27	Q31	Q32	Q33	Q34	Q35	Q36	Q37	Q41	Q42	Q43	Q44	Q45	Q46	Q47	Q51	Q61	Q71	E1	E2	E3			
SLU-SIS-155	1	1	1	0,2	0	0	0	0	0	0	0	0	0	0	0	0	0	0	0	0	0	0	0	0	0	0	0	0	0	0	0	0	0	0	0	-0,3	-1	-0,3	E2	solo vert
SLU-SIS-156	1	1	1	0,2	0	0	0	0	0	0	0	0,1	0	0	0	0	0	0,2	0	0	0	0	0	0	0	0,2	0	0	0	0	0	0	0	0,2	0,2	-0,3	-1	-0,3	E2	gruppo 1
SLU-SIS-157	1	1	1	0	0,2	0	0	0	0	0	0	0	0,1	0	0	0	0	0,2	0	0	0	0	0	0	0	0,2	0	0	0	0	0	0	0,2	0,2	-0,3	-1	-0,3	E2	gruppo 1	
SLU-SIS-158	1	1	1	0	0	0,2	0	0	0	0	0	0	0	0,1	0	0	0	0	0,2	0	0	0	0	0	0	0	0,2	0	0	0	0	0	0,2	0,2	-0,3	-1	-0,3	E2	gruppo 1	
SLU-SIS-159	1	1	1	0	0	0	0,2	0	0	0	0	0	0	0	0,1	0	0	0	0	0,2	0	0	0	0	0	0	0	0,2	0	0	0	0	0,2	0,2	-0,3	-1	-0,3	E2	gruppo 1	
SLU-SIS-160	1	1	1	0	0	0	0	0,2	0	0	0	0	0	0	0,1	0	0	0	0	0	0	0	0,2	0	0	0	0	0	0,2	0	0	0	0,2	0,2	-0,3	-1	-0,3	E2	gruppo 1	
SLU-SIS-161	1	1	1	0	0	0	0	0	0	0,2	0	0	0	0	0	0,1	0	0	0	0	0	0	0	0	0	0,2	0	0	0	0	0,2	0	0	0,2	0,2	-0,3	-1	-0,3	E2	gruppo 1
SLU-SIS-162	1	1	1	0,2	0	0	0	0	0	0	0	0	0	0	0	0	0,1	0	0	0	0	0	0	0	0	0	0	0	0	0	0	0	0,2	0,2	-0,3	-1	-0,3	E2	gruppo 3	
SLU-SIS-163	1	1	1	0	0,2	0	0	0	0	0	0	0	0,2	0	0	0	0	0	0,1	0	0	0	0	0	0	0	0	0,1	0	0	0	0	0,2	0,2	-0,3	-1	-0,3	E2	gruppo 3	
SLU-SIS-164	1	1	1	0	0	0,2	0	0	0	0	0	0	0	0	0	0	0	0	0,1	0	0	0	0	0	0	0	0	0,1	0	0	0	0	0,2	0,2	-0,3	-1	-0,3	E2	gruppo 3	
SLU-SIS-165	1	1	1	0	0	0	0,2	0	0	0	0	0	0	0	0	0	0	0	0	0,1	0	0	0	0	0	0	0	0,1	0	0	0	0	0,2	0,2	-0,3	-1	-0,3	E2	gruppo 3	
SLU-SIS-166	1	1	1	0	0	0	0	0,2	0	0	0	0	0	0	0,2	0	0	0	0	0	0	0	0	0,1	0	0	0	0	0,1	0	0	0	0,2	0,2	-0,3	-1	-0,3	E2	gruppo 3	
SLU-SIS-167	1	1	1	0	0	0	0	0	0	0,2	0	0	0	0	0	0,2	0	0	0	0	0	0	0	0	0,1	0	0	0	0	0,1	0	0	0,2	0,2	-0,3	-1	-0,3	E2	gruppo 3	
SLU-SIS-168	1	1	0	0	0	0	0	0	0	0	0	0	0	0	0	0,2	0	0	0	0	0	0	0	0	0	0	0,1	0	0	0	0	0,1	0,2	0,2	-0,3	-1	-0,3	E2	gruppo 3-2	
SLU-SIS-169	1	1	1	0	0	0	0	0	0	0	0	0	0	0	0	0	0	0	0	0	0	0	0	0	0	0	0	0	0	0	0	0	0	0	0	-0,3	-0,3	1	E3	solo perm
SLU-SIS-170	1	1	1	0	0	0	0	0	0	0	0	0	0	0	0	0	0	0	0	0	0	0	0	0	0	0	0	0	0	0	0	0	0,2	0,5	-0,3	-0,3	1	E3	termica	
SLU-SIS-171	1	1	0	0	0	0	0	0	0	0	0	0	0	0	0	0	0	0	0	0	0	0	0	0	0	0	0	0	0	0	0	0	0,2	0,5	-0,3	-0,3	1	E3	termica	
SLU-SIS-172	1	1	1	0,2	0	0	0	0	0	0	0	0	0	0	0	0	0	0	0	0	0	0	0	0	0	0	0	0	0	0	0	0	0	0	-0,3	-0,3	1	E3	solo vert	
SLU-SIS-173	1	1	1	0,2	0	0	0	0	0	0	0	0,1	0	0	0	0	0	0,2	0	0	0	0	0	0	0	0	0,2	0	0	0	0	0	0,2	0,2	-0,3	-0,3	1	E3	gruppo 1	
SLU-SIS-174	1	1	1	0	0,2	0	0	0	0	0	0	0	0,1	0	0	0	0	0	0,2	0	0	0	0	0	0	0	0,2	0	0	0	0	0	0,2	0,2	-0,3	-0,3	1	E3	gruppo 1	
SLU-SIS-175	1	1	1	0	0	0,2	0	0	0	0	0	0	0	0	0	0	0	0	0,2	0	0	0	0	0	0	0	0	0,2	0	0	0	0	0,2	0,2	-0,3	-0,3	1	E3	gruppo 1	
SLU-SIS-176	1	1	1	0	0	0	0,2	0	0	0	0	0	0	0	0	0	0	0	0	0,2	0	0	0	0	0	0	0	0,2	0	0	0	0	0,2	0,2	-0,3	-0,3	1	E3	gruppo 1	
SLU-SIS-177	1	1	1	0	0	0	0	0,2	0	0	0	0	0	0,1	0	0	0	0	0	0	0	0	0,2	0	0	0	0	0,2	0	0	0	0	0,2	0,2	-0,3	-0,3	1	E3	gruppo 1	
SLU-SIS-178	1	1	1	0	0	0	0	0	0	0,2	0	0	0	0	0,1	0	0	0	0	0	0	0	0	0,2	0	0	0	0	0,2	0	0	0	0,2	0,2	-0,3	-0,3	1	E3	gruppo 1	
SLU-SIS-179	1	1	1	0,2	0	0	0	0	0	0	0	0	0	0	0	0	0,1	0	0	0	0	0	0	0	0	0	0,1	0	0	0	0	0	0,2	0,2	-0,3	-0,3	1	E3	gruppo 3	
SLU-SIS-180	1	1	1	0	0,2	0	0	0	0	0	0	0	0,2	0	0	0	0	0	0,1	0	0	0	0	0	0	0	0	0,1	0	0	0	0	0,2	0,2	-0,3	-0,3	1	E3	gruppo 3	
SLU-SIS-181	1	1	1	0	0	0,2	0	0	0	0	0	0	0	0	0	0	0	0	0,1	0	0	0	0	0	0	0	0	0,1	0	0	0	0	0,2	0,2	-0,3	-0,3	1	E3	gruppo 3	
SLU-SIS-182	1	1	1	0	0	0	0,2	0	0	0	0	0	0	0	0	0	0	0	0	0	0,1	0	0	0	0	0	0	0,1	0	0	0	0	0,2	0,2	-0,3	-0,3	1	E3	gruppo 3	
SLU-SIS-183	1	1	1	0	0	0	0	0,2	0	0	0	0	0	0,2	0	0	0	0	0	0	0	0	0,1	0	0	0	0	0,1	0	0	0	0	0,2	0,2	-0,3	-0,3	1	E3	gruppo 3	
SLU-SIS-184	1	1	1	0	0	0	0	0	0	0,2	0	0	0	0	0,2	0	0	0	0	0	0	0	0	0,1	0	0	0	0	0,1	0	0	0	0,2	0,2	-0,3	-0,3	1	E3	gruppo 3	
SLU-SIS-185	1	1	0	0	0	0	0	0	0	0	0	0	0	0	0	0,2	0	0	0	0	0	0	0	0	0,1	0	0	0	0	0	0	0,1	0,2	0,2	-0,3	-0,3	1	E3	gruppo 3-2	
SLU-SIS-186	1	1	1	0	0	0	0	0	0	0	0	0	0	0	0	0	0	0	0	0	0	0	0	0	0	0	0	0	0	0	0	0	0	0	-0,3	-0,3	-1	E3	solo perm	
SLU-SIS-187	1	1	1	0	0	0	0	0	0	0	0	0	0	0	0	0	0	0	0	0	0	0	0	0	0	0	0	0	0	0	0	0,2	0,5	-0,3	-0,3	-1	E3	termica		
SLU-SIS-188	1	1	0	0	0	0	0	0	0	0	0	0	0	0	0	0	0	0	0	0	0	0	0	0	0	0	0	0	0	0	0	0,2	0,5	-0,3	-0,3	-1	E3	termica		
SLU-SIS-189	1	1	1	0,2	0	0	0	0	0	0	0	0	0	0	0	0	0	0	0	0	0	0	0	0	0	0	0	0	0	0	0	0	0	-0,3	-0,3	-1	E3	solo vert		
SLU-SIS-190	1	1	1	0,2	0	0	0	0	0	0	0	0,1	0	0	0	0	0	0,2	0	0	0	0	0	0	0	0	0,2	0	0	0	0	0,2	0,2	-0,3	-0,3	-1	E3	gruppo 1		
SLU-SIS-191	1	1	1	0	0,2	0	0	0	0	0	0	0	0,1	0	0	0	0	0,2	0	0	0	0	0	0	0	0	0,2	0	0	0	0	0,2	0,2	-0,3	-0,3	-1	E3	gruppo 1		

NOME COMB.	G - Permanenti			Q1 - Variabili verticali							Q2 - Avviamento e frenatura							Q3 - Centrifuga							Q4 - Serpeggio							Q5 - Variabili Q6 - Azioni interne Q7 - Effetti d'interazione			E - Azioni sismiche			Descrizione		
	G1	G2	G22	Q11	Q12	Q13	Q14	Q15	Q16	Q17	Q21	Q22	Q23	Q24	Q25	Q26	Q27	Q31	Q32	Q33	Q34	Q35	Q36	Q37	Q41	Q42	Q43	Q44	Q45	Q46	Q47	Q51	Q61	Q71	E1	E2	E3			
SLU-SIS-192	1	1	1	0	0	0,2	0	0	0	0	0	0	0	0,1	0	0	0	0	0,2	0	0	0	0	0	0	0	0,2	0	0	0	0	0,2	0,2	-0,3	-0,3	-1	E3	gruppo 1		
SLU-SIS-193	1	1	1	0	0	0	0,2	0	0	0	0	0	0	0	0	0	0	0	0	0,2	0	0	0	0	0	0	0	0,2	0	0	0	0	0,2	0,2	-0,3	-0,3	-1	E3	gruppo 1	
SLU-SIS-194	1	1	1	0	0	0	0	0,2	0	0	0	0	0	0,1	0	0	0	0	0	0	0,2	0	0	0	0	0	0	0,2	0	0	0	0	0,2	0,2	-0,3	-0,3	-1	E3	gruppo 1	
SLU-SIS-195	1	1	1	0	0	0	0	0	0,2	0	0	0	0	0	0,1	0	0	0	0	0	0	0,2	0	0	0	0	0	0,2	0	0	0	0	0,2	0,2	-0,3	-0,3	-1	E3	gruppo 1	
SLU-SIS-196	1	1	1	0,2	0	0	0	0	0	0	0	0	0	0	0	0	0,1	0	0	0	0	0	0	0	0	0,1	0	0	0	0	0	0	0,2	0,2	-0,3	-0,3	-1	E3	gruppo 3	
SLU-SIS-197	1	1	1	0	0,2	0	0	0	0	0	0	0	0	0	0	0	0	0,1	0	0	0	0	0	0	0	0	0,1	0	0	0	0	0	0,2	0,2	-0,3	-0,3	-1	E3	gruppo 3	
SLU-SIS-198	1	1	1	0	0	0,2	0	0	0	0	0	0	0	0	0	0	0	0	0,1	0	0	0	0	0	0	0	0	0,1	0	0	0	0	0,2	0,2	-0,3	-0,3	-1	E3	gruppo 3	
SLU-SIS-199	1	1	1	0	0	0	0,2	0	0	0	0	0	0	0	0	0	0	0	0	0,1	0	0	0	0	0	0	0	0,1	0	0	0	0	0,2	0,2	-0,3	-0,3	-1	E3	gruppo 3	
SLU-SIS-200	1	1	1	0	0	0	0	0,2	0	0	0	0	0	0,2	0	0	0	0	0	0	0,1	0	0	0	0	0	0	0,1	0	0	0	0	0,2	0,2	-0,3	-0,3	-1	E3	gruppo 3	
SLU-SIS-201	1	1	1	0	0	0	0	0	0	0,2	0	0	0	0	0,2	0	0	0	0	0	0	0,1	0	0	0	0	0	0,1	0	0	0	0	0,2	0,2	-0,3	-0,3	-1	E3	gruppo 3	
SLU-SIS-202	1	1	0	0	0	0	0	0	0	0	0	0	0	0	0	0,2	0	0	0	0	0	0	0	0,1	0	0	0	0	0	0	0	0,1	0,2	0,2	-0,3	-0,3	-1	E3	gruppo 3-2	
SLE-RAR-001	1	1	1	0	0	0	0	0	0	0	0	0	0	0	0	0	0	0	0	0	0	0	0	0	0	0	0	0	0	0	0	0	0	0	0	0	G1+G2	solo perm		
SLE-RAR-002	1	1	1	0	0	0	0	0	0	0	0	0	0	0	0	0	0	0	0	0	0	0	0	0	0	0	0	0	0	0	0	0	0	0	0	0	Q51	vento		
SLE-RAR-003	1	1	1	0	0	0	0	0	0	0	0	0	0	0	0	0	0	0	0	0	0	0	0	0	0	0	0	0	0	0	0	0	0	0	0	0	Q61	termica		
SLE-RAR-004	1	1	0	0	0	0	0	0	0	0	0	0	0	0	0	0	0	0	0	0	0	0	0	0	0	0	0	0	0	0	0	0	0	0	0	0	Q51	vento		
SLE-RAR-005	1	1	0	0	0	0	0	0	0	0	0	0	0	0	0	0	0	0	0	0	0	0	0	0	0	0	0	0	0	0	0	0	0	0	0	0	Q61	termica		
SLE-RAR-006	1	1	1	1	0	0	0	0	0	0	0	0	0	0	0	0	0	1	0	0	0	0	0	0	0	0	1	0	0	0	0	0	0	0	0	0	0	Q11	gruppo 1	
SLE-RAR-007	1	1	1	0	1	0	0	0	0	0	0	0	0	0	0,5	0	0	0	1	0	0	0	0	0	0	0	0	1	0	0	0	0	0	0	0	0	0	Q12	gruppo 1	
SLE-RAR-008	1	1	1	0	0	1	0	0	0	0	0	0	0	0	0	0	0	0	0	1	0	0	0	0	0	0	0	0	1	0	0	0	0	0	0	0	0	Q13	gruppo 1	
SLE-RAR-009	1	1	1	0	0	0	1	0	0	0	0	0	0	0	0	0	0	0	0	0	1	0	0	0	0	0	0	0	1	0	0	0	0	0	0	0	0	Q14	gruppo 1	
SLE-RAR-010	1	1	1	0	0	0	0	0	1	0	0	0	0	0	0,5	0	0	0	0	0	0	0	0	0	0	0	0	0	0	0	0	0	0	0	0	0	0	Q15	gruppo 1	
SLE-RAR-011	1	1	1	0	0	0	0	0	0	1	0	0	0	0	0,5	0	0	0	0	0	0	0	0	0	0	0	0	0	0	0	0	0	0	0	0	0	0	Q16	gruppo 1	
SLE-RAR-012	1	1	1	1	0	0	0	0	0	0	0	0	0	0	0	0	0	0,5	0	0	0	0	0	0	0	0	0,5	0	0	0	0	0	0	0	0	0	0	0	Q11	gruppo 3
SLE-RAR-013	1	1	1	0	1	0	0	0	0	0	0	0	0	0	0	0	0	0	0,5	0	0	0	0	0	0	0	0	0,5	0	0	0	0	0	0	0	0	0	0	Q12	gruppo 3
SLE-RAR-014	1	1	1	0	0	1	0	0	0	0	0	0	0	0	0	0	0	0	0	0,5	0	0	0	0	0	0	0	0,5	0	0	0	0	0	0	0	0	0	0	Q13	gruppo 3
SLE-RAR-015	1	1	1	0	0	0	1	0	0	0	0	0	0	0	0	0	0	0	0	0	0,5	0	0	0	0	0	0	0,5	0	0	0	0	0	0	0	0	0	0	Q14	gruppo 3
SLE-RAR-016	1	1	1	0	0	0	0	0	1	0	0	0	0	0	0	0	0	0	0	0	0	0,5	0	0	0	0	0	0,5	0	0	0	0	0	0	0	0	0	0	Q15	gruppo 3
SLE-RAR-017	1	1	1	0	0	0	0	0	0	1	0	0	0	0	0	0	0	0	0	0	0	0	0,5	0	0	0	0	0	0,5	0	0	0	0	0	0	0	0	0	Q16	gruppo 3
SLE-RAR-018	1	1	0	0	0	0	0	0	0	0	0	0	0	0	0	0	1	0	0	0	0	0	0	0	0	0	0	0	0	0	0	0	0,5	0	0	0	0	0	Q27	gruppo 3-2
SLE-RAR-019	1	1	1	1	0	0	0	0	0	0	0	0	0	0	0	0	0	1	0	0	0	0	0	0	0	0	0	0	0	0	0	0	0	0	0	0	0	Q11	gruppo 1	
SLE-RAR-020	1	1	1	0	1	0	0	0	0	0	0	0	0	0	0	0	0	0	1	0	0	0	0	0	0	0	0	0	0	0	0	0	0	0	0	0	0	Q12	gruppo 1	
SLE-RAR-021	1	1	1	0	0	1	0	0	0	0	0	0	0	0	0	0	0	0	0	1	0	0	0	0	0	0	0	0	0	0	0	0	0	0	0	0	0	Q13	gruppo 1	
SLE-RAR-022	1	1	1	0	0	0	1	0	0	0	0	0	0	0	0	0	0	0	0	0	0	0	0	0	0	0	0	0	0	0	0	0	0	0	0	0	0	Q14	gruppo 1	
SLE-RAR-023	1	1	1	0	0	0	0	0	1	0	0	0	0	0	0,5	0	0	0	0	0	0	0	0	0	0	0	0	0	0	0	0	0	0	0	0	0	0	Q15	gruppo 1	
SLE-RAR-024	1	1	1	0	0	0	0	0	0	1	0	0	0	0	0,5	0	0	0	0	0	0	0	0	0	0	0	0	0	0	0	0	0	0	0	0	0	0	Q16	gruppo 1	
SLE-RAR-025	1	1	1	1	0	0	0	0	0	0	0	0	0	0	0	0	0	0,5	0	0	0	0	0	0	0	0	0,5	0	0	0	0	0	0	0	0	0	0	Q11	gruppo 3	

NOME COMB.	G - Permanenti			Q1 - Variabili verticali							Q2 - Avviamento e frenatura							Q3 - Centrifuga							Q4 - Serpeggio							Q5 - Variabili Q6 - Azioni interne Q7 - Effetti d'interazione			E - Azioni sismiche			Descrizione										
	G1	G2	G22	Q11	Q12	Q13	Q14	Q15	Q16	Q17	Q21	Q22	Q23	Q24	Q25	Q26	Q27	Q31	Q32	Q33	Q34	Q35	Q36	Q37	Q41	Q42	Q43	Q44	Q45	Q46	Q47	Q51	Q61	Q71	E1	E2	E3											
SLE-RAR-026	1	1	1	0	1	0	0	0	0	0	0	1	0	0	0	0	0	0,5	0	0	0	0	0	0	0	0,5	0	0	0	0	0	0	0,6	0	0	0	0	0	0	Q12	gruppo 3							
SLE-RAR-027	1	1	1	0	0	1	0	0	0	0	0	0	0	1	0	0	0	0	0	0,5	0	0	0	0	0	0	0	0,5	0	0	0	0	0	0	0,6	0	0	0	0	0	0	Q13	gruppo 3					
SLE-RAR-028	1	1	1	0	0	0	1	0	0	0	0	0	0	1	0	0	0	0	0	0,5	0	0	0	0	0	0	0	0,5	0	0	0	0	0	0	0,6	0	0	0	0	0	0	Q14	gruppo 3					
SLE-RAR-029	1	1	1	0	0	0	0	1	0	0	0	0	0	1	0	0	0	0	0	0	0	0,5	0	0	0	0	0	0	0,5	0	0	0	0	0	0	0,6	0	0	0	0	0	0	Q15	gruppo 3				
SLE-RAR-030	1	1	1	0	0	0	0	0	1	0	0	0	0	1	0	0	0	0	0	0	0	0	0,5	0	0	0	0	0	0	0,5	0	0	0	0	0	0	0,6	0	0	0	0	0	0	Q16	gruppo 3			
SLE-RAR-031	1	1	0	0	0	0	0	0	0	0,5	0	0	0	0	0	1	0	0	0	0	0	0	0,5	0	0	0	0	0	0	0,5	0	0	0	0	0	0	0,6	0	0	0	0	0	0	Q27	gruppo 3-2			
SLE-RAR-032	1	1	1	1	0	0	0	0	0	0	0,5	0	0	0	0	0	1	0	0	0	0	0	0	0	0	0	1	0	0	0	0	0	0	0	0	0	1	0	0	0	0	0	0	Q11	gruppo 1			
SLE-RAR-033	1	1	1	0	1	0	0	0	0	0	0	0,5	0	0	0	0	0	1	0	0	0	0	0	0	0	0	1	0	0	0	0	0	0	0	0	0	1	0	0	0	0	0	0	Q12	gruppo 1			
SLE-RAR-034	1	1	1	0	0	1	0	0	0	0	0	0,5	0	0	0	0	0	0	1	0	0	0	0	0	0	0	0	1	0	0	0	0	0	0	0	1	0	0	0	0	0	0	Q13	gruppo 1				
SLE-RAR-035	1	1	1	0	0	0	1	0	0	0	0	0	0,5	0	0	0	0	0	0	1	0	0	0	0	0	0	0	0	1	0	0	0	0	0	0	1	0	0	0	0	0	0	Q14	gruppo 1				
SLE-RAR-036	1	1	1	0	0	0	0	1	0	0	0	0	0	0,5	0	0	0	0	0	0	1	0	0	0	0	0	0	0	1	0	0	0	0	0	1	0	0	0	0	0	0	0	0	Q15	gruppo 1			
SLE-RAR-037	1	1	1	0	0	0	0	0	1	0	0	0	0	0	0,5	0	0	0	0	0	0	0	1	0	0	0	0	0	0	0	1	0	0	0	1	0	0	0	0	0	0	0	0	Q16	gruppo 1			
SLE-RAR-038	1	1	1	1	0	0	0	0	0	0	1	0	0	0	0	0	0,5	0	0	0	0	0	0	0	0	0	0,5	0	0	0	0	0	0	0	0	0	1	0	0	0	0	0	0	Q11	gruppo 3			
SLE-RAR-039	1	1	1	0	1	0	0	0	0	0	0	1	0	0	0	0	0	0,5	0	0	0	0	0	0	0	0	0	0,5	0	0	0	0	0	0	0	1	0	0	0	0	0	0	0	0	Q12	gruppo 3		
SLE-RAR-040	1	1	1	0	0	1	0	0	0	0	0	0	1	0	0	0	0	0	0,5	0	0	0	0	0	0	0	0	0,5	0	0	0	0	0	0	0	1	0	0	0	0	0	0	0	0	Q13	gruppo 3		
SLE-RAR-041	1	1	1	0	0	0	1	0	0	0	0	0	0	1	0	0	0	0	0	0,5	0	0	0	0	0	0	0	0	0,5	0	0	0	0	0	0	1	0	0	0	0	0	0	0	0	Q14	gruppo 3		
SLE-RAR-042	1	1	1	0	0	0	0	1	0	0	0	0	0	1	0	0	0	0	0	0	0	0,5	0	0	0	0	0	0	0	0,5	0	0	0	0	0	1	0	0	0	0	0	0	0	0	Q15	gruppo 3		
SLE-RAR-043	1	1	1	0	0	0	0	0	1	0	0	0	0	1	0	0	0	0	0	0	0	0,5	0	0	0	0	0	0	0	0,5	0	0	0	0	1	0	0	0	0	0	0	0	0	0	Q16	gruppo 3		
SLE-RAR-044	1	1	0	0	0	0	0	0	0	0,5	0	0	0	0	0	1	0	0	0	0	0	0	0,5	0	0	0	0	0	0	0	0,5	0	0	0	0	1	0	0	0	0	0	0	0	Q27	gruppo 3-2			
SLE-RAR-045	1	1	1	1	0	0	0	0	0	0	0,5	0	0	0	0	0	1	0	0	0	0	0	0	0	0	1	0	0	0	0	0	0	0	0	0	0	0,6	0	0	0	0	0	0	Q11	gruppo 1			
SLE-RAR-046	1	1	1	0	1	0	0	0	0	0	0	0,5	0	0	0	0	0	1	0	0	0	0	0	0	0	0	1	0	0	0	0	0	0	0	0	0,6	0	0	0	0	0	0	0	0	Q12	gruppo 1		
SLE-RAR-047	1	1	1	0	0	1	0	0	0	0	0	0	0,5	0	0	0	0	0	1	0	0	0	0	0	0	0	0	1	0	0	0	0	0	0	0	0,6	0	0	0	0	0	0	0	0	Q13	gruppo 1		
SLE-RAR-048	1	1	1	0	0	0	1	0	0	0	0	0	0	0,5	0	0	0	0	0	1	0	0	0	0	0	0	0	1	0	0	0	0	0	0	0,6	0	0	0	0	0	0	0	0	0	0	Q14	gruppo 1	
SLE-RAR-049	1	1	1	0	0	0	0	1	0	0	0	0	0	0,5	0	0	0	0	0	0	0	1	0	0	0	0	0	0	0	1	0	0	0	0	0	0,6	0	0	0	0	0	0	0	0	Q15	gruppo 1		
SLE-RAR-050	1	1	1	0	0	0	0	0	1	0	0	0	0	0	0,5	0	0	0	0	0	0	0	1	0	0	0	0	0	0	0	0	0	0	0	0,6	0	0	0	0	0	0	0	0	0	0	Q16	gruppo 1	
SLE-RAR-051	1	1	1	1	0	0	0	0	0	0	1	0	0	0	0	0	0,5	0	0	0	0	0	0	0	0	0,5	0	0	0	0	0	0	0	0	0	0,6	0	0	0	0	0	0	0	0	0	0	Q11	gruppo 3
SLE-RAR-052	1	1	1	0	1	0	0	0	0	0	0	1	0	0	0	0	0	0,5	0	0	0	0	0	0	0	0	0,5	0	0	0	0	0	0	0	0	0,6	0	0	0	0	0	0	0	0	0	0	Q12	gruppo 3
SLE-RAR-053	1	1	1	0	0	1	0	0	0	0	0	0	1	0	0	0	0	0	0,5	0	0	0	0	0	0	0	0	0,5	0	0	0	0	0	0	0	0,6	0	0	0	0	0	0	0	0	0	0	Q13	gruppo 3
SLE-RAR-054	1	1	1	0	0	0	1	0	0	0	0	0	0	1	0	0	0	0	0	0,5	0	0	0	0	0	0	0	0,5	0	0	0	0	0	0	0	0,6	0	0	0	0	0	0	0	0	0	0	Q14	gruppo 3
SLE-RAR-055	1	1	1	0	0	0	0	1	0	0	0	0	0	1	0	0	0	0	0	0	0	0,5	0	0	0	0	0	0	0,5	0	0	0	0	0	0,6	0	0	0	0	0	0	0	0	0	0	0	Q15	gruppo 3
SLE-RAR-056	1	1	1	0	0	0	0	0	1	0	0	0	0	1	0	0	0	0	0	0	0	0	0,5	0	0	0	0	0	0	0,5	0	0	0	0	0,6	0	0	0	0	0	0	0	0	0	0	0	Q16	gruppo 3
SLE-RAR-057	1	1	0	0	0	0	0	0	0	0,5	0	0	0	0	0	1	0	0	0	0	0	0	0,5	0	0	0	0	0	0	0	0,5	0	0	0,6	0	0	0	0	0	0	0	0	0	0	0	Q27	gruppo 3-2	
SLE-RAR-058	1	1	1	1	0	0	0	0	0	0	0,5	0	0	0	0	0	1	0	0	0	0	0	0	0	0	1	0	0	0	0	0	0	0	0,6	1	0,6	0	0	0	0	0	0	0	0	0	Q11	gruppo 1	
SLE-RAR-059	1	1	1	0	1	0	0	0	0	0	0	0,5	0	0	0	0	0	1	0	0	0	0	0	0	0	0	1	0	0	0	0	0	0,6	1	0,6	0	0	0	0	0	0	0	0	0	0	Q12	gruppo 1	
SLE-RAR-060	1	1	1	0	0	1	0	0	0	0	0	0	0,5	0	0	0	0	0	1	0	0	0	0	0	0	0	0	1	0	0	0	0,6	1	0,6	0	0	0	0	0	0	0	0	0	0	0	Q13	gruppo 1	
SLE-RAR-061	1	1	1	0	0	0	1	0	0	0	0	0	0	0,5	0	0	0	0	0	1	0	0	0	0	0	0	0	1	0	0	0	0,6	1	0,6	0	0	0	0	0	0	0	0	0	0	0	Q14	gruppo 1	
SLE-RAR-062	1	1	1	0	0	0	0	1	0	0	0	0	0	0,5	0	0	0	0	0	0	0	1	0	0	0	0	0	0	1	0	0	0	0,6	1	0,6	0	0	0	0	0	0	0	0	0	0	Q15	gruppo 1	

NOME COMB.	G - Permanenti			Q1 - Variabili verticali							Q2 - Avviamento e frenatura							Q3 - Centrifuga							Q4 - Serpeggio							Q5 - Variabili Q6 - Azioni interne Q7 - Effetti d'interazione			E - Azioni sismiche			Descrizione	
	G1	G2	G22	Q11	Q12	Q13	Q14	Q15	Q16	Q17	Q21	Q22	Q23	Q24	Q25	Q26	Q27	Q31	Q32	Q33	Q34	Q35	Q36	Q37	Q41	Q42	Q43	Q44	Q45	Q46	Q47	Q51	Q61	Q71	E1	E2	E3		
SLE-RAR-063	1	1	1	0	0	0	0	0	1	0	0	0	0	0	0,5	0	0	0	0	0	0	1	0	0	0	0	0	0	1	0	0,6	1	0,6	0	0	0	Q16	gruppo 1	
SLE-RAR-064	1	1	1	1	0	0	0	0	0	0	1	0	0	0	0	0	0,5	0	0	0	0	0	0	0	0,5	0	0	0	0	0	0	0,6	1	0,6	0	0	0	Q11	gruppo 3
SLE-RAR-065	1	1	1	0	1	0	0	0	0	0	0	1	0	0	0	0	0,5	0	0	0	0	0	0	0	0	0,5	0	0	0	0	0	0,6	1	0,6	0	0	0	Q12	gruppo 3
SLE-RAR-066	1	1	1	0	0	1	0	0	0	0	0	1	0	0	0	0	0	0,5	0	0	0	0	0	0	0	0,5	0	0	0	0	0,6	1	0,6	0	0	0	Q13	gruppo 3	
SLE-RAR-067	1	1	1	0	0	0	1	0	0	0	0	0	1	0	0	0	0	0	0	0,5	0	0	0	0	0	0	0	0,5	0	0	0,6	1	0,6	0	0	0	Q14	gruppo 3	
SLE-RAR-068	1	1	1	0	0	0	0	1	0	0	0	0	0	1	0	0	0	0	0	0	0	0,5	0	0	0	0	0	0	0,5	0	0,6	1	0,6	0	0	0	Q15	gruppo 3	
SLE-RAR-069	1	1	1	0	0	0	0	0	0	1	0	0	0	0	1	0	0	0	0	0	0	0	0,5	0	0	0	0	0	0,5	0	0,6	1	0,6	0	0	0	Q16	gruppo 3	
SLE-RAR-070	1	1	0	0	0	0	0	0	0	0,5	0	0	0	0	0	1	0	0	0	0	0	0	0,5	0	0	0	0	0	0,5	0,6	1	0,6	0	0	0	Q27	gruppo 3-2		
SLE-RAR-071	1	1	1	0,6	0	0	0	0	0	0	0,6	0	0	0	0	0	0,6	0	0	0	0	0	0	0	0,6	0	0	0	0	0	0	0	0	0	0	0	Q11	gruppo 4	
SLE-RAR-072	1	1	1	0	0,6	0	0	0	0	0	0	0,6	0	0	0	0	0	0,6	0	0	0	0	0	0	0	0,6	0	0	0	0	0	0	0	0	0	0	Q12	gruppo 4	
SLE-RAR-073	1	1	1	0	0	0,8	0	0	0	0	0	0	0,8	0	0	0	0	0	0,8	0	0	0	0	0	0	0	0,8	0	0	0	0	0	0	0	0	0	Q13	gruppo 4	
SLE-RAR-074	1	1	1	0	0	0	0,8	0	0	0	0	0	0	0,8	0	0	0	0	0	0	0,8	0	0	0	0	0	0	0,8	0	0	0	0	0	0	0	0	Q14	gruppo 4	
SLE-RAR-075	1	1	1	0	0	0	0	0,6	0	0	0	0	0	0	0,6	0	0	0	0	0	0	0,6	0	0	0	0	0,6	0	0	0	0	0	0	0	0	0	Q15	gruppo 4	
SLE-RAR-076	1	1	1	0	0	0	0	0	0,6	0	0	0	0	0	0,6	0	0	0	0	0	0	0	0,6	0	0	0	0	0,6	0	0	0	0	0	0	0	0	Q16	gruppo 4	
SLE-RAR-077	1	1	0	0	0	0	0	0	0	0,6	0	0	0	0	0	0,6	0	0	0	0	0	0	0	0,6	0	0	0	0	0,6	0	0	0	0	0	0	0	Q17	gruppo 4	
SLE-RAR-078	1	1	1	0,6	0	0	0	0	0	0	0,6	0	0	0	0	0	0,6	0	0	0	0	0	0	0	0,6	0	0	0	0	0	0	0	0	0	0	0	Q11	gruppo 4	
SLE-RAR-079	1	1	1	0	0,6	0	0	0	0	0	0	0,6	0	0	0	0	0	0,6	0	0	0	0	0	0	0	0,6	0	0	0	0	0	0	0	0	0	0	Q12	gruppo 4	
SLE-RAR-080	1	1	1	0	0	0,8	0	0	0	0	0	0	0,8	0	0	0	0	0	0,8	0	0	0	0	0	0	0	0,8	0	0	0	0	0	0	0	0	0	Q13	gruppo 4	
SLE-RAR-081	1	1	1	0	0	0	0,8	0	0	0	0	0	0	0,8	0	0	0	0	0	0,8	0	0	0	0	0	0	0,8	0	0	0	0	0	0	0	0	0	Q14	gruppo 4	
SLE-RAR-082	1	1	1	0	0	0	0	0,6	0	0	0	0	0	0	0,6	0	0	0	0	0	0	0	0,6	0	0	0	0	0,6	0	0	0	0	0	0	0	0	Q15	gruppo 4	
SLE-RAR-083	1	1	1	0	0	0	0	0	0,6	0	0	0	0	0	0,6	0	0	0	0	0	0	0	0,6	0	0	0	0	0,6	0	0,6	0	0	0	0	0	0	Q16	gruppo 4	
SLE-RAR-084	1	1	0	0	0	0	0	0	0	0,6	0	0	0	0	0	0,6	0	0	0	0	0	0	0	0,6	0	0	0	0	0,6	0,6	0	0	0	0	0	0	Q17	gruppo 4	
SLE-RAR-085	1	1	1	0,6	0	0	0	0	0	0	0,6	0	0	0	0	0	0,6	0	0	0	0	0	0	0	0,6	0	0	0	0	0	1	0	0	0	0	0	Q61	gruppo 4	
SLE-RAR-086	1	1	1	0	0,6	0	0	0	0	0	0	0,6	0	0	0	0	0	0,6	0	0	0	0	0	0	0	0,6	0	0	0	0	1	0	0	0	0	0	Q61	gruppo 4	
SLE-RAR-087	1	1	1	0	0	0,8	0	0	0	0	0	0	0,8	0	0	0	0	0	0,8	0	0	0	0	0	0	0	0,8	0	0	0	0	1	0	0	0	0	Q61	gruppo 4	
SLE-RAR-088	1	1	1	0	0	0	0,8	0	0	0	0	0	0	0,8	0	0	0	0	0	0,8	0	0	0	0	0	0	0,8	0	0	0	0	1	0	0	0	0	Q61	gruppo 4	
SLE-RAR-089	1	1	1	0	0	0	0	0,6	0	0	0	0	0	0,6	0	0	0	0	0	0	0	0,6	0	0	0	0	0,6	0	0	0	1	0	0	0	0	0	Q61	gruppo 4	
SLE-RAR-090	1	1	1	0	0	0	0	0	0,6	0	0	0	0	0	0,6	0	0	0	0	0	0	0	0,6	0	0	0	0	0,6	0	0	1	0	0	0	0	0	Q61	gruppo 4	
SLE-RAR-091	1	1	0	0	0	0	0	0	0	0,6	0	0	0	0	0	0,6	0	0	0	0	0	0	0	0,6	0	0	0	0	0,6	0	1	0	0	0	0	0	Q61	gruppo 4	
SLE-RAR-092	1	1	1	0,6	0	0	0	0	0	0	0,6	0	0	0	0	0	0,6	0	0	0	0	0	0	0	0,6	0	0	0	0	0	0,6	0	0	0	0	0	Q11	gruppo 4	
SLE-RAR-093	1	1	1	0	0,6	0	0	0	0	0	0	0,6	0	0	0	0	0	0,6	0	0	0	0	0	0	0	0,6	0	0	0	0	0	0,6	0	0	0	0	Q12	gruppo 4	
SLE-RAR-094	1	1	1	0	0	0,8	0	0	0	0	0	0	0,8	0	0	0	0	0	0,8	0	0	0	0	0	0	0	0,8	0	0	0	0	0	0,6	0	0	0	Q13	gruppo 4	
SLE-RAR-095	1	1	1	0	0	0	0,8	0	0	0	0	0	0,8	0	0	0	0	0	0	0,8	0	0	0	0	0	0	0,8	0	0	0	0	0	0,6	0	0	0	Q14	gruppo 4	
SLE-RAR-096	1	1	1	0	0	0	0	0,6	0	0	0	0	0	0,6	0	0	0	0	0	0	0	0,6	0	0	0	0	0,6	0	0	0	0	0,6	0	0	0	0	Q15	gruppo 4	
SLE-RAR-097	1	1	1	0	0	0	0	0	0,6	0	0	0	0	0	0,6	0	0	0	0	0	0	0	0,6	0	0	0	0	0,6	0	0	0	0,6	0	0	0	0	Q16	gruppo 4	
SLE-RAR-098	1	1	0	0	0	0	0	0	0	0,6	0	0	0	0	0	0,6	0	0	0	0	0	0	0	0,6	0	0	0	0	0,6	0	0	0,6	0	0	0	0	Q17	gruppo 4	
SLE-RAR-099	1	1	1	0,6	0	0	0	0	0	0	0,6	0	0	0	0	0	0,6	0	0	0	0	0	0	0	0,6	0	0	0	0	0	0,6	1	0,6	0	0	0	Q61	gruppo 4	

NOME COMB.	G - Permanenti			Q1 - Variabili verticali							Q2 - Avviamento e frenatura							Q3 - Centrifuga							Q4 - Serpeggio							Q5 - Variabili Q6 - Azioni interne Q7 - Effetti d'interazione			E - Azioni sismiche			Descrizione		
	G1	G21	G22	Q11	Q12	Q13	Q14	Q15	Q16	Q17	Q21	Q22	Q23	Q24	Q25	Q26	Q27	Q31	Q32	Q33	Q34	Q35	Q36	Q37	Q41	Q42	Q43	Q44	Q45	Q46	Q47	Q51	Q61	Q71	E1	E2	E3			
SLE-RAR-100	1	1	1	0	0,6	0	0	0	0	0	0	0,6	0	0	0	0	0	0,6	0	0	0	0	0	0	0,6	0	0	0	0	0	0,6	1	0,6	0	0	0	Q61	gruppo 4		
SLE-RAR-101	1	1	1	0	0	0,8	0	0	0	0	0	0	0,8	0	0	0	0	0	0	0,8	0	0	0	0	0	0	0,8	0	0	0	0	0	0,6	1	0,6	0	0	0	Q61	gruppo 4
SLE-RAR-102	1	1	1	0	0	0	0,8	0	0	0	0	0	0,8	0	0	0	0	0	0	0,8	0	0	0	0	0	0	0,8	0	0	0	0	0	0,6	1	0,6	0	0	0	Q61	gruppo 4
SLE-RAR-103	1	1	1	0	0	0	0	0,6	0	0	0	0	0	0,6	0	0	0	0	0	0	0,6	0	0	0	0	0	0,6	0	0	0	0,6	1	0,6	0	0	0	Q61	gruppo 4		
SLE-RAR-104	1	1	1	0	0	0	0	0	0,6	0	0	0	0	0	0,6	0	0	0	0	0	0	0,6	0	0	0	0	0	0,6	0	0	0,6	1	0,6	0	0	0	Q61	gruppo 4		
SLE-RAR-105	1	1	0	0	0	0	0	0	0	0,6	0	0	0	0	0	0,6	0	0	0	0	0	0	0,6	0	0	0	0	0	0,6	0,6	1	0,6	0	0	0	Q61	gruppo 4			
SLE-QPE-001	1	1	1	0	0	0	0	0	0	0	0	0	0	0	0	0	0	0	0	0	0	0	0	0	0	0	0	0	0	0	0	0	0	0	0	0	0	G1+G2	solo perm	
SLE-QPE-002	1	1	1	0	0	0	0	0	0	0	0	0	0	0	0	0	0	0	0	0	0	0	0	0	0	0	0	0	0	0	0	1	1	0	0	0	Q61	termica		

ALLEGATO 2
VI06 – PILE 27 e 28

1 SOLLECITAZIONI ELEMENTARI A BASE PILA

C.C.E.	Descrizione	F1	F2	F3	M1	M2	M3
		kN	kN	kN	kNm	kNm	kNm
G1	Pesi propri	0	0	-9656	0	0	0
G2	Ballast	0	0	-3500	0	0	0
G2	Permanententi non strutturali	0	0	-1548	0	0	0
Q11	Disposizione 1 (massimizza N)	0	0	-5692	-684	66	0
Q12	Disposizione 2 (massimizza M2)	0	0	-3559	-518	3915	0
Q13	Disposizione 3 (massimizza M1)	0	0	-2962	-5925	66	0
Q14	Disposizione 4 (massimizza M1)	0	0	-2730	-5678	0	0
Q15	Disposizione 5 (massimizza N+M2)	0	0	-5524	-789	1753	0
Q16	Disposizione 6 (massimizza N)	0	0	-5460	-218	0	0
Q17	Disposizione 7 (minimizza N)	0	0	-2977	-1634	3275	0
Q21	Disposizione 1 (massimizza N)	1835	0	0	0	16332	0
Q22	Disposizione 2 (massimizza M2)	2154	0	0	0	19171	0
Q23	Disposizione 3 (massimizza M1)	819	0	0	0	7289	0
Q24	Disposizione 4 (massimizza M1)	1016	0	0	0	9042	0
Q25	Disposizione 5 (massimizza N+M2)	2154	0	0	0	19171	0
Q26	Disposizione 6 (massimizza N)	1995	0	0	0	17756	0
Q27	Disposizione 7 (minimizza N)	2154	0	0	0	19171	0
Q31	Disposizione 1 (massimizza N)	0	473	0	-6612	0	0
Q32	Disposizione 2 (massimizza M2)	0	294	0	-4111	0	0
Q33	Disposizione 3 (massimizza M1)	0	155	0	-2170	0	0
Q34	Disposizione 4 (massimizza M1)	0	318	0	-4442	0	0
Q35	Disposizione 5 (massimizza N+M2)	0	463	0	-6472	0	0
Q36	Disposizione 6 (massimizza N)	0	460	0	-6434	0	0
Q37	Disposizione 7 (minimizza N)	0	226	0	-3162	0	0
Q41	Disposizione 1 (massimizza N)	0	210	0	-2557	0	0
Q42	Disposizione 2 (massimizza M2)	0	210	0	-2558	0	0
Q43	Disposizione 3 (massimizza M1)	0	100	0	-1218	0	0
Q44	Disposizione 4 (massimizza M1)	0	110	0	-1339	0	0
Q45	Disposizione 5 (massimizza N+M2)	0	210	0	-2557	0	0
Q46	Disposizione 6 (massimizza N)	0	210	0	-2557	0	0
Q47	Disposizione 7 (minimizza N)	0	210	0	-2558	0	0
Q51	Vento	0	883	0	-12358	0	0
Q61	Attrito su vincoli	283	0	0	0	2519	0
Q71	Variazioni termiche	280	0	0	0	2492	0
E1	Sisma x	5906	0	0	0	52565	2427
E2	Sisma y	0	4858	0	-53341	0	3643
E3	Sisma z	0	0	-4763	-1577	2878	0

2 SPOSTAMENTI ELEMENTARI IN TESTA PILA

C.C.E.	Descrizione	d1,1	d2,1	d3,1	φ1,1	φ2,1	φ3,1
		mm	mm	mm	1/mm	1/mm	1/mm
G1	Pesi propri	0.00	0.00	-0.25	0.00	0.00	0.00
G2	Ballast	0.00	0.00	-0.09	0.00	0.00	0.00
G2	Permanenti non strutturali	0.00	0.00	-0.04	0.00	0.00	0.00
Q11	Disposizione 1 (massimizza N)	0.00	0.00	-0.14	0.00	0.00	0.00
Q12	Disposizione 2 (massimizza M2)	0.00	0.00	-0.09	0.00	0.00	0.00
Q13	Disposizione 3 (massimizza M1)	0.00	0.00	-0.08	0.00	0.00	0.00
Q14	Disposizione 4 (massimizza M1)	0.00	0.00	-0.07	0.00	0.00	0.00
Q15	Disposizione 5 (massimizza N+M2)	0.00	0.00	-0.14	0.00	0.00	0.00
Q16	Disposizione 6 (massimizza N)	0.00	0.00	-0.14	0.00	0.00	0.00
Q17	Disposizione 7 (minimizza N)	0.00	0.00	-0.08	0.00	0.00	0.00
Q21	Disposizione 1 (massimizza N)	1.37	0.00	0.00	0.00	0.15	0.00
Q22	Disposizione 2 (massimizza M2)	1.60	0.00	0.00	0.00	0.18	0.00
Q23	Disposizione 3 (massimizza M1)	0.61	0.00	0.00	0.00	0.07	0.00
Q24	Disposizione 4 (massimizza M1)	0.76	0.00	0.00	0.00	0.09	0.00
Q25	Disposizione 5 (massimizza N+M2)	1.60	0.00	0.00	0.00	0.18	0.00
Q26	Disposizione 6 (massimizza N)	1.49	0.00	0.00	0.00	0.17	0.00
Q27	Disposizione 7 (minimizza N)	1.60	0.00	0.00	0.00	0.18	0.00
Q31	Disposizione 1 (massimizza N)	0.00	0.09	0.00	0.01	0.00	0.00
Q32	Disposizione 2 (massimizza M2)	0.00	0.06	0.00	0.01	0.00	0.00
Q33	Disposizione 3 (massimizza M1)	0.00	0.03	0.00	0.00	0.00	0.00
Q34	Disposizione 4 (massimizza M1)	0.00	0.06	0.00	0.01	0.00	0.00
Q35	Disposizione 5 (massimizza N+M2)	0.00	0.09	0.00	0.01	0.00	0.00
Q36	Disposizione 6 (massimizza N)	0.00	0.09	0.00	0.01	0.00	0.00
Q37	Disposizione 7 (minimizza N)	0.00	0.04	0.00	0.00	0.00	0.00
Q41	Disposizione 1 (massimizza N)	0.00	0.04	0.00	0.00	0.00	0.00
Q42	Disposizione 2 (massimizza M2)	0.00	0.04	0.00	0.00	0.00	0.00
Q43	Disposizione 3 (massimizza M1)	0.00	0.02	0.00	0.00	0.00	0.00
Q44	Disposizione 4 (massimizza M1)	0.00	0.02	0.00	0.00	0.00	0.00
Q45	Disposizione 5 (massimizza N+M2)	0.00	0.04	0.00	0.00	0.00	0.00
Q46	Disposizione 6 (massimizza N)	0.00	0.04	0.00	0.00	0.00	0.00
Q47	Disposizione 7 (minimizza N)	0.00	0.04	0.00	0.00	0.00	0.00
Q51	Vento	0.00	0.17	0.00	0.02	0.00	0.00
Q61	Attrito su vincoli	0.21	0.00	0.00	0.00	0.02	0.00
Q71	Variazioni termiche	0.21	0.00	0.00	0.00	0.02	0.00
E1	Sisma x	10.30	0.00	0.00	0.00	1.16	0.00
E2	Sisma y	0.00	3.20	0.00	0.36	0.00	0.00
E3	Sisma z	0.00	0.00	-0.12	0.00	0.00	0.00

3 SOLLECITAZIONI COMBinate A BASE PILA

Si riportano a seguire i valori delle sollecitazioni di calcolo combinate secondo i coefficienti di combinazione riportati nell'allegato 1 della presente relazione. I valori seguenti tengono conto degli effetti del secondo ordine indotti dagli spostamenti elementari.

Per ogni gruppo di combinazioni di carico considerato (SLU-STR SLU-GEO, SLV-SIS, SLE-RAR e SLE-QP), sono riportati a seguire i valori delle sollecitazioni corrispondenti alle combinazioni che massimizzano ognuna delle componenti di sollecitazione (F1, F2, F3, M1, M2 e M3).

F1	Forza di taglio in direzione longitudinale [kN]
F2	Forza di taglio in direzione trasversale [kN]
F3	Forza assiale verticale [kN]
M1	Momento flettente attorno all'asse 1 (trasversale)
M2	Momento flettente attorno all'asse 2 (longitudinale)
M3	Momento flettente attorno all'asse 3 (toocente)

SLU-STR	max	Combo.	F1	F2	F3	M1	M2	M3
			kN	kN	kN	kNm	kNm	kNm
<i>max</i>	F1	SLU-STR-065	3786	1162	-25769	-16747	39442	0
<i>max</i>	F2	SLU-STR-019	1340	1785	-28862	-25419	12047	0
<i>max</i>	F3	SLU-STR-004	507	1324	-13156	-18541	4515	0
<i>max</i>	M1	SLU-STR-018	3123	318	-15330	-5370	30224	0
<i>max</i>	M2	SLU-STR-065	3786	1162	-25769	-16747	39442	0
<i>max</i>	M3	SLU-STR-002	507	1324	-20608	-18542	4517	0

SLU-STR	min	Combo.	F1	F2	F3	M1	M2	M3
			kN	kN	kN	kNm	kNm	kNm
<i>min</i>	F1	SLU-STR-002	507	1324	-20608	-18542	4517	0
<i>min</i>	F2	SLU-STR-014	1188	186	-24903	-11065	10687	0
<i>min</i>	F3	SLU-STR-006	1340	990	-28862	-14292	12047	0
<i>min</i>	M1	SLU-STR-022	742	1415	-24567	-27745	6615	0
<i>min</i>	M2	SLU-STR-004	507	1324	-13156	-18541	4515	0
<i>min</i>	M3	SLU-STR-002	507	1324	-20608	-18542	4517	0

SLU-GEO	max	Combo.	F1	F2	F3	M1	M2	M3
			kN	kN	kN	kNm	kNm	kNm
<i>max</i>	F1	SLU-GEO-065	3265	1006	-20668	-14492	33999	0
<i>max</i>	F2	SLU-GEO-019	1156	1542	-23334	-21962	10391	0
<i>max</i>	F3	SLU-GEO-004	439	1147	-13156	-16069	3913	0
<i>max</i>	M1	SLU-GEO-018	2693	275	-15032	-4634	26056	0
<i>max</i>	M2	SLU-GEO-065	3265	1006	-20668	-14492	33999	0
<i>max</i>	M3	SLU-GEO-002	439	1147	-16219	-16069	3914	0

SLU-GEO	min	Combo.	F1	F2	F3	M1	M2	M3
			kN	kN	kN	kNm	kNm	kNm
<i>min</i>	F1	SLU-GEO-002	439	1147	-16219	-16069	3914	0
<i>min</i>	F2	SLU-GEO-014	1024	161	-19921	-9541	9209	0
<i>min</i>	F3	SLU-GEO-006	1156	854	-23334	-12320	10391	0
<i>min</i>	M1	SLU-GEO-022	640	1223	-19631	-23968	5706	0
<i>min</i>	M2	SLU-GEO-004	439	1147	-13156	-16069	3913	0
<i>min</i>	M3	SLU-GEO-002	439	1147	-16219	-16069	3914	0

SLU-SIS	max	Combo.	F1	F2	F3	M1	M2	M3
			kN	kN	kN	kNm	kNm	kNm
<i>max</i>	F1	SLU-SIS-011	6534	1508	-16845	-17262	59976	3520
<i>max</i>	F2	SLU-SIS-038	2068	4995	-17272	-55840	19338	4372
<i>max</i>	F3	SLU-SIS-087	1968	1457	-8394	-14433	14668	1821
<i>max</i>	M1	SLU-SIS-152	-1772	-4858	-13276	53856	-16674	-4372
<i>max</i>	M2	SLU-SIS-011	6534	1508	-16845	-17262	59976	3520
<i>max</i>	M3	SLU-SIS-034	1772	4858	-16133	-53865	16683	4372

SLU-SIS	min	Combo.	F1	F2	F3	M1	M2	M3
			kN	kN	kN	kNm	kNm	kNm
<i>min</i>	F1	SLU-SIS-102	-5906	-1457	-16133	15545	-51867	-3520
<i>min</i>	F2	SLU-SIS-135	-1772	-4858	-16133	52919	-14956	-4372
<i>min</i>	F3	SLU-SIS-071	1772	1457	-20606	-17736	18724	1821
<i>min</i>	M1	SLU-SIS-041	1986	4944	-16679	-56159	18593	4372
<i>min</i>	M2	SLU-SIS-118	-5906	-1457	-13276	16488	-53565	-3520
<i>min</i>	M3	SLU-SIS-135	-1772	-4858	-16133	52919	-14956	-4372

SLE-RAR	max	Combo.	F1	F2	F3	M1	M2	M3
			kN	kN	kN	kNm	kNm	kNm
<i>max</i>	F1	SLE-RAR-065	2605	782	-18263	-11270	27135	0
<i>max</i>	F2	SLE-RAR-019	918	1213	-20396	-17272	8246	0
<i>max</i>	F3	SLE-RAR-004	338	883	-13156	-12360	3010	0
<i>max</i>	M1	SLE-RAR-018	2154	218	-14645	-3678	20831	0
<i>max</i>	M2	SLE-RAR-065	2605	782	-18263	-11270	27135	0
<i>max</i>	M3	SLE-RAR-002	338	883	-14704	-12361	3010	0

SLE-RAR	min	Combo.	F1	F2	F3	M1	M2	M3
			kN	kN	kN	kNm	kNm	kNm
<i>min</i>	F1	SLE-RAR-002	338	883	-14704	-12361	3010	0
<i>min</i>	F2	SLE-RAR-014	819	128	-17666	-7619	7366	0
<i>min</i>	F3	SLE-RAR-006	918	683	-20396	-9855	8246	0
<i>min</i>	M1	SLE-RAR-022	508	958	-17434	-18877	4528	0
<i>min</i>	M2	SLE-RAR-004	338	883	-13156	-12360	3010	0
<i>min</i>	M3	SLE-RAR-002	338	883	-14704	-12361	3010	0

4 SOLLECITAZIONI COMBinate A BASE PLINTO

Le sollecitazioni combinate alla base della pila sono state riportate ad intradosso plinto (in posizione baricentrica) e sono state incrementate per tenere conto del peso del plinto e del terreno di ricoprimento presente al suo estradosso, nonché della forza inerziale (orizzontale e verticale) associata alla massa del plinto stesso e considerata solidale con il terreno ($T = 0$ sec).

Terreno ricoprimento

dlong	12	m
dtrasv	16.5	m
hterr	0.75	m
gterr	20	kN/m ³
Wterr	2635	kN

Plinto			Orizzontale			Verticale		
dlong	12	m	ag0	0.196	g	ag0	0.117	g
dtrasv	16.5	m	S	1.200		S	1.000	
hpl	2.5	m	PGA	0.235	g	PGA	0.117	g
gcls	25	kN/m ³	lplinto_h	2913	kN	lplinto_v	1451	kN
Wplinto	12375	kN						

	F1	F2	F3	M1	M2	M3	Ftot
	kN	kN	kN	kNm	kNm	kNm	kN
SLU-STR-001			-41266				
SLU-STR-002	507	1324	-41266	-21852	5784	0	1417
SLU-STR-003	830	794	-41266	-13111	9479	0	1149
SLU-STR-004	507	1324	-25531	-21850	5781	0	1417
SLU-STR-005	830	794	-25531	-13110	9474	0	1149
SLU-STR-006	1340	990	-49520	-16768	15395	0	1666
SLU-STR-007	1572	731	-46427	-12251	23632	0	1734
SLU-STR-008	598	370	-45561	-14429	6923	0	703
SLU-STR-009	742	621	-45225	-18170	8469	0	967
SLU-STR-010	1572	976	-49276	-16681	20502	0	1851
SLU-STR-011	1456	972	-49183	-15787	16633	0	1751
SLU-STR-012	2661	499	-49520	-8934	30485	0	2707
SLU-STR-013	3123	368	-46427	-6541	41342	0	3145
SLU-STR-014	1188	186	-45561	-11530	13656	0	1202
SLU-STR-015	1473	312	-45225	-13236	16821	0	1506
SLU-STR-016	3123	491	-49276	-8966	38215	0	3162
SLU-STR-017	2893	489	-49183	-8105	33039	0	2934
SLU-STR-018	3123	318	-27705	-6165	38032	0	3139
SLU-STR-019	1340	1785	-49520	-29880	15395	0	2231
SLU-STR-020	1572	1525	-46427	-25363	23632	0	2190
SLU-STR-021	598	1164	-45561	-27541	6923	0	1309

SLU-STR-022	742	1415	-45225	-31282	8469	0	1597
SLU-STR-023	1572	1770	-49276	-29793	20502	0	2368
SLU-STR-024	1456	1766	-49183	-28899	16633	0	2289
SLU-STR-025	2661	1293	-49520	-22046	30485	0	2958
SLU-STR-026	3123	1162	-46427	-19653	41342	0	3333
SLU-STR-027	1188	980	-45561	-24642	13656	0	1540
SLU-STR-028	1473	1107	-45225	-26348	16821	0	1843
SLU-STR-029	3123	1286	-49276	-22078	38215	0	3378
SLU-STR-030	2893	1283	-49183	-21217	33039	0	3165
SLU-STR-031	3123	1113	-27705	-19276	38032	0	3316
SLU-STR-032	1750	990	-49520	-16768	20082	0	2011
SLU-STR-033	1983	731	-46427	-12251	28318	0	2113
SLU-STR-034	1008	370	-45561	-14429	11608	0	1074
SLU-STR-035	1152	621	-45225	-18170	13154	0	1309
SLU-STR-036	1983	976	-49276	-16681	25188	0	2210
SLU-STR-037	1867	972	-49183	-15787	21320	0	2104
SLU-STR-038	3071	499	-49520	-8934	35172	0	3111
SLU-STR-039	3534	368	-46427	-6541	46028	0	3553
SLU-STR-040	1598	186	-45561	-11530	18341	0	1609
SLU-STR-041	1884	312	-45225	-13236	21507	0	1909
SLU-STR-042	3534	491	-49276	-8966	42901	0	3568
SLU-STR-043	3303	489	-49183	-8105	37726	0	3339
SLU-STR-044	3534	318	-27705	-6165	42715	0	3548
SLU-STR-045	1592	990	-49520	-16768	18274	0	1875
SLU-STR-046	1824	731	-46427	-12251	26510	0	1965
SLU-STR-047	850	370	-45561	-14429	9800	0	927
SLU-STR-048	994	621	-45225	-18170	11346	0	1172
SLU-STR-049	1824	976	-49276	-16681	23380	0	2069
SLU-STR-050	1708	972	-49183	-15787	19511	0	1965
SLU-STR-051	2913	499	-49520	-8934	33364	0	2955
SLU-STR-052	3375	368	-46427	-6541	44220	0	3395
SLU-STR-053	1440	186	-45561	-11530	16533	0	1452
SLU-STR-054	1725	312	-45225	-13236	19699	0	1753
SLU-STR-055	3375	491	-49276	-8966	41093	0	3411
SLU-STR-056	3145	489	-49183	-8105	35917	0	3183
SLU-STR-057	3375	318	-27705	-6165	40908	0	3390
SLU-STR-058	2002	1785	-49520	-29880	22960	0	2682
SLU-STR-059	2235	1525	-46427	-25363	31196	0	2706
SLU-STR-060	1260	1164	-45561	-27541	14486	0	1716
SLU-STR-061	1404	1415	-45225	-31282	16032	0	1993
SLU-STR-062	2235	1770	-49276	-29793	28066	0	2851
SLU-STR-063	2119	1766	-49183	-28899	24198	0	2758
SLU-STR-064	3323	1293	-49520	-22046	38051	0	3566
SLU-STR-065	3786	1162	-46427	-19653	48906	0	3960
SLU-STR-066	1850	980	-45561	-24642	21219	0	2094

SLU-STR-067	2136	1107	-45225	-26348	24384	0	2405
SLU-STR-068	3786	1286	-49276	-22078	45780	0	3998
SLU-STR-069	3555	1283	-49183	-21217	40604	0	3780
SLU-STR-070	3786	1113	-27705	-19276	45590	0	3946

	F1	F2	F3	M1	M2	M3	Ftot
	kN	kN	kN	kNm	kNm	kNm	kN
SLU-GEO-001			-32019				
SLU-GEO-002	439	1147	-32019	-18937	5012	0	1228
SLU-GEO-003	718	688	-32019	-11362	8191	0	994
SLU-GEO-004	439	1147	-25531	-18937	5011	0	1228
SLU-GEO-005	718	688	-25531	-11362	8189	0	994
SLU-GEO-006	1156	854	-39134	-14454	13282	0	1437
SLU-GEO-007	1357	630	-36468	-10561	20385	0	1496
SLU-GEO-008	516	319	-35721	-12439	5972	0	606
SLU-GEO-009	640	535	-35431	-15663	7306	0	834
SLU-GEO-010	1357	841	-38924	-14379	17685	0	1597
SLU-GEO-011	1257	838	-38844	-13609	14350	0	1510
SLU-GEO-012	2294	430	-39134	-7709	26271	0	2334
SLU-GEO-013	2693	318	-36468	-5644	35630	0	2711
SLU-GEO-014	1024	161	-35721	-9943	11768	0	1036
SLU-GEO-015	1270	270	-35431	-11415	14497	0	1298
SLU-GEO-016	2693	424	-38924	-7736	32933	0	2726
SLU-GEO-017	2494	422	-38844	-6994	28472	0	2529
SLU-GEO-018	2693	275	-27407	-5321	32788	0	2706
SLU-GEO-019	1156	1542	-39134	-25817	13282	0	1927
SLU-GEO-020	1357	1318	-36468	-21924	20385	0	1892
SLU-GEO-021	516	1007	-35721	-23802	5972	0	1132
SLU-GEO-022	640	1223	-35431	-27026	7306	0	1381
SLU-GEO-023	1357	1530	-38924	-25742	17685	0	2045
SLU-GEO-024	1257	1526	-38844	-24972	14350	0	1977
SLU-GEO-025	2294	1119	-39134	-19072	26271	0	2552
SLU-GEO-026	2693	1006	-36468	-17007	35630	0	2874
SLU-GEO-027	1024	849	-35721	-21305	11768	0	1330
SLU-GEO-028	1270	958	-35431	-22778	14497	0	1591
SLU-GEO-029	2693	1112	-38924	-19099	32933	0	2913
SLU-GEO-030	2494	1110	-38844	-18357	28472	0	2730
SLU-GEO-031	2693	963	-27407	-16683	32788	0	2860
SLU-GEO-032	1510	854	-39134	-14454	17320	0	1734
SLU-GEO-033	1711	630	-36468	-10561	24423	0	1823
SLU-GEO-034	870	319	-35721	-12439	10010	0	926
SLU-GEO-035	994	535	-35431	-15663	11344	0	1129
SLU-GEO-036	1711	841	-38924	-14379	21724	0	1906

SLU-GEO-037	1611	838	-38844	-13609	18388	0	1815
SLU-GEO-038	2648	430	-39134	-7709	30310	0	2682
SLU-GEO-039	3046	318	-36468	-5644	39668	0	3063
SLU-GEO-040	1378	161	-35721	-9943	15806	0	1387
SLU-GEO-041	1624	270	-35431	-11415	18535	0	1646
SLU-GEO-042	3046	424	-38924	-7736	36971	0	3076
SLU-GEO-043	2848	422	-38844	-6994	32510	0	2879
SLU-GEO-044	3046	275	-27407	-5321	36824	0	3059
SLU-GEO-045	1374	854	-39134	-14454	15775	0	1618
SLU-GEO-046	1575	630	-36468	-10561	22878	0	1697
SLU-GEO-047	734	319	-35721	-12439	8465	0	801
SLU-GEO-048	858	535	-35431	-15663	9799	0	1012
SLU-GEO-049	1575	841	-38924	-14379	20179	0	1786
SLU-GEO-050	1475	838	-38844	-13609	16843	0	1696
SLU-GEO-051	2512	430	-39134	-7709	28765	0	2549
SLU-GEO-052	2911	318	-36468	-5644	38123	0	2928
SLU-GEO-053	1242	161	-35721	-9943	14261	0	1252
SLU-GEO-054	1488	270	-35431	-11415	16990	0	1513
SLU-GEO-055	2911	424	-38924	-7736	35426	0	2942
SLU-GEO-056	2712	422	-38844	-6994	30965	0	2745
SLU-GEO-057	2911	275	-27407	-5321	35280	0	2924
SLU-GEO-058	1728	1542	-39134	-25817	19814	0	2316
SLU-GEO-059	1929	1318	-36468	-21924	26916	0	2337
SLU-GEO-060	1088	1007	-35721	-23802	12503	0	1483
SLU-GEO-061	1212	1223	-35431	-27026	13837	0	1722
SLU-GEO-062	1929	1530	-38924	-25742	24218	0	2462
SLU-GEO-063	1829	1526	-38844	-24972	20882	0	2382
SLU-GEO-064	2866	1119	-39134	-19072	32804	0	3076
SLU-GEO-065	3265	1006	-36468	-17007	42161	0	3416
SLU-GEO-066	1596	849	-35721	-21305	18299	0	1808
SLU-GEO-067	1842	958	-35431	-22778	21027	0	2076
SLU-GEO-068	3265	1112	-38924	-19099	39465	0	3449
SLU-GEO-069	3066	1110	-38844	-18357	35004	0	3261
SLU-GEO-070	3265	963	-27407	-16683	39317	0	3404

	F1	F2	F3	M1	M2	M3	Ftot
	kN	kN	kN	kNm	kNm	kNm	kN
SLU-SIS-001	9410	2477	-31578	-23240	78836	3520	9730
SLU-SIS-002	9626	2477	-31578	-23240	81304	3520	9939
SLU-SIS-003	9626	2477	-27396	-23238	81286	3520	9939
SLU-SIS-004	9828	2627	-32717	-25785	83636	3520	10173
SLU-SIS-005	9863	2588	-32290	-25099	84878	3520	10197
SLU-SIS-006	9716	2533	-32171	-25430	82354	3520	10041

SLU-SIS-007	9738	2571	-32124	-25997	82586	3520	10071
SLU-SIS-008	9863	2625	-32683	-25772	84407	3520	10206
SLU-SIS-009	9845	2624	-32670	-25636	83821	3520	10189
SLU-SIS-010	10029	2552	-32717	-24588	85939	3520	10349
SLU-SIS-011	10100	2532	-32290	-24227	87582	3520	10412
SLU-SIS-012	9806	2505	-32171	-24987	83382	3520	10121
SLU-SIS-013	9849	2524	-32124	-25244	83861	3520	10168
SLU-SIS-014	10100	2551	-32683	-24593	87111	3520	10417
SLU-SIS-015	10065	2551	-32670	-24463	86326	3520	10383
SLU-SIS-016	10100	2525	-27693	-24168	87058	3520	10411
SLU-SIS-017	9410	2477	-27850	-22196	76905	3520	9730
SLU-SIS-018	9626	2477	-27850	-22196	79372	3520	9939
SLU-SIS-019	9626	2477	-23667	-22195	79354	3520	9939
SLU-SIS-020	9410	2477	-28988	-22348	76932	3520	9730
SLU-SIS-021	9735	2627	-28988	-24741	80649	3520	10084
SLU-SIS-022	9770	2588	-28562	-24055	81891	3520	10107
SLU-SIS-023	9623	2533	-28442	-24386	79367	3520	9951
SLU-SIS-024	9645	2571	-28396	-24953	79599	3520	9982
SLU-SIS-025	9770	2625	-28955	-24728	81420	3520	10117
SLU-SIS-026	9753	2624	-28942	-24592	80834	3520	10100
SLU-SIS-027	9937	2552	-28988	-23544	82952	3520	10260
SLU-SIS-028	10007	2532	-28562	-23183	84594	3520	10323
SLU-SIS-029	9714	2505	-28442	-23943	80395	3520	10031
SLU-SIS-030	9757	2524	-28396	-24200	80874	3520	10078
SLU-SIS-031	10007	2551	-28955	-23549	84123	3520	10327
SLU-SIS-032	9972	2551	-28942	-23419	83338	3520	10293
SLU-SIS-033	10007	2525	-23965	-23124	84070	3520	10321
SLU-SIS-034	2823	8257	-31578	-76252	24316	4372	8726
SLU-SIS-035	3039	8257	-31578	-76252	26784	4372	8798
SLU-SIS-036	3039	8257	-27396	-76247	26778	4372	8798
SLU-SIS-037	2823	8257	-32717	-76407	24334	4372	8726
SLU-SIS-038	3149	8407	-32717	-78800	28051	4372	8977
SLU-SIS-039	3184	8367	-32290	-78114	29297	4372	8953
SLU-SIS-040	3037	8313	-32171	-78444	26774	4372	8850
SLU-SIS-041	3058	8351	-32124	-79011	27007	4372	8893
SLU-SIS-042	3184	8405	-32683	-78787	28823	4372	8987
SLU-SIS-043	3166	8404	-32670	-78651	28238	4372	8981
SLU-SIS-044	3350	8332	-32717	-77604	30355	4372	8980
SLU-SIS-045	3421	8312	-32290	-77241	32001	4372	8988
SLU-SIS-046	3127	8285	-32171	-78001	27802	4372	8855
SLU-SIS-047	3170	8304	-32124	-78257	28282	4372	8888
SLU-SIS-048	3421	8331	-32683	-77608	31527	4372	9006
SLU-SIS-049	3386	8330	-32670	-77478	30742	4372	8992
SLU-SIS-050	3421	8305	-27693	-77177	31492	4372	8981
SLU-SIS-051	2823	8257	-27850	-75202	22407	4372	8726

SLU-SIS-052	3039	8257	-27850	-75202	24874	4372	8798
SLU-SIS-053	3039	8257	-23667	-75196	24869	4372	8798
SLU-SIS-054	2823	8257	-28988	-75356	22425	4372	8726
SLU-SIS-055	3149	8407	-28988	-77749	26142	4372	8977
SLU-SIS-056	3184	8367	-28562	-77063	27387	4372	8953
SLU-SIS-057	3037	8313	-28442	-77393	24864	4372	8850
SLU-SIS-058	3058	8351	-28396	-77960	25097	4372	8893
SLU-SIS-059	3184	8405	-28955	-77736	26913	4372	8987
SLU-SIS-060	3166	8404	-28942	-77600	26328	4372	8981
SLU-SIS-061	3350	8332	-28988	-76553	28445	4372	8980
SLU-SIS-062	3421	8312	-28562	-76190	30091	4372	8988
SLU-SIS-063	3127	8285	-28442	-76950	25892	4372	8855
SLU-SIS-064	3170	8304	-28396	-77206	26372	4372	8888
SLU-SIS-065	3421	8331	-28955	-76557	29617	4372	9006
SLU-SIS-066	3386	8330	-28942	-76427	28832	4372	8992
SLU-SIS-067	3421	8305	-23965	-76126	29582	4372	8981
SLU-SIS-068	2823	2477	-35928	-24458	26543	1821	3756
SLU-SIS-069	3039	2477	-35928	-24458	29011	1821	3921
SLU-SIS-070	3039	2477	-31745	-24456	29006	1821	3921
SLU-SIS-071	2823	2477	-37066	-24610	26561	1821	3756
SLU-SIS-072	3149	2627	-37066	-27003	30279	1821	4101
SLU-SIS-073	3184	2588	-36640	-26317	31525	1821	4103
SLU-SIS-074	3037	2533	-36520	-26648	29002	1821	3955
SLU-SIS-075	3058	2571	-36474	-27215	29234	1821	3996
SLU-SIS-076	3184	2625	-37033	-26990	31051	1821	4126
SLU-SIS-077	3166	2624	-37020	-26854	30466	1821	4112
SLU-SIS-078	3350	2552	-37066	-25806	32584	1821	4212
SLU-SIS-079	3421	2532	-36640	-25445	34230	1821	4256
SLU-SIS-080	3127	2505	-36520	-26205	30030	1821	4007
SLU-SIS-081	3170	2524	-36474	-26461	30510	1821	4052
SLU-SIS-082	3421	2551	-37033	-25811	33756	1821	4267
SLU-SIS-083	3386	2551	-37020	-25681	32971	1821	4239
SLU-SIS-084	3421	2525	-32043	-25386	33721	1821	4252
SLU-SIS-085	2823	2477	-23500	-20978	20179	1821	3756
SLU-SIS-086	3039	2477	-23500	-20978	22646	1821	3921
SLU-SIS-087	3039	2477	-19317	-20977	22641	1821	3921
SLU-SIS-088	2823	2477	-24638	-21130	20198	1821	3756
SLU-SIS-089	3149	2627	-24638	-23523	23914	1821	4101
SLU-SIS-090	3184	2588	-24212	-22838	25159	1821	4103
SLU-SIS-091	3037	2533	-24092	-23168	22637	1821	3955
SLU-SIS-092	3058	2571	-24046	-23736	22869	1821	3996
SLU-SIS-093	3184	2625	-24605	-23510	24685	1821	4126
SLU-SIS-094	3166	2624	-24592	-23374	24100	1821	4112
SLU-SIS-095	3350	2552	-24638	-22327	26216	1821	4212
SLU-SIS-096	3421	2532	-24212	-21965	27862	1821	4256

SLU-SIS-097	3127	2505	-24092	-22725	23664	1821	4007
SLU-SIS-098	3170	2524	-24046	-22982	24144	1821	4052
SLU-SIS-099	3421	2551	-24605	-22331	27388	1821	4267
SLU-SIS-100	3386	2551	-24592	-22201	26603	1821	4239
SLU-SIS-101	3421	2525	-19615	-21906	27353	1821	4252
SLU-SIS-102	-9410	-2477	-31578	22199	-76937	-3520	9730
SLU-SIS-103	-9193	-2477	-31578	22199	-74469	-3520	9521
SLU-SIS-104	-9193	-2477	-27396	22198	-74452	-3520	9521
SLU-SIS-105	-8991	-2327	-32717	19657	-72163	-3520	9288
SLU-SIS-106	-8956	-2366	-32290	20341	-70912	-3520	9264
SLU-SIS-107	-9103	-2421	-32171	20011	-73433	-3520	9420
SLU-SIS-108	-9082	-2383	-32124	19443	-73200	-3520	9389
SLU-SIS-109	-8956	-2329	-32683	19670	-71391	-3520	9254
SLU-SIS-110	-8974	-2330	-32670	19805	-71977	-3520	9271
SLU-SIS-111	-8790	-2402	-32717	20853	-69860	-3520	9112
SLU-SIS-112	-8719	-2422	-32290	21214	-68207	-3520	9049
SLU-SIS-113	-9013	-2449	-32171	20453	-72405	-3520	9340
SLU-SIS-114	-8970	-2430	-32124	20197	-71924	-3520	9293
SLU-SIS-115	-8719	-2403	-32683	20848	-68687	-3520	9044
SLU-SIS-116	-8754	-2403	-32670	20979	-69472	-3520	9078
SLU-SIS-117	-8719	-2429	-27693	21269	-68687	-3520	9051
SLU-SIS-118	-9410	-2477	-27850	23237	-78804	-3520	9730
SLU-SIS-119	-9193	-2477	-27850	23237	-76336	-3520	9521
SLU-SIS-120	-9193	-2477	-23667	23235	-76319	-3520	9521
SLU-SIS-121	-9410	-2477	-28988	23088	-78802	-3520	9730
SLU-SIS-122	-9084	-2327	-28988	20695	-75086	-3520	9377
SLU-SIS-123	-9049	-2366	-28562	21379	-73834	-3520	9353
SLU-SIS-124	-9196	-2421	-28442	21048	-76355	-3520	9509
SLU-SIS-125	-9174	-2383	-28396	20481	-76122	-3520	9478
SLU-SIS-126	-9049	-2329	-28955	20708	-74314	-3520	9344
SLU-SIS-127	-9066	-2330	-28942	20843	-74899	-3520	9361
SLU-SIS-128	-8882	-2402	-28988	21891	-72782	-3520	9201
SLU-SIS-129	-8812	-2422	-28562	22252	-71130	-3520	9138
SLU-SIS-130	-9105	-2449	-28442	21491	-75327	-3520	9429
SLU-SIS-131	-9062	-2430	-28396	21235	-74846	-3520	9382
SLU-SIS-132	-8812	-2403	-28955	21886	-71610	-3520	9134
SLU-SIS-133	-8847	-2403	-28942	22017	-72395	-3520	9167
SLU-SIS-134	-8812	-2429	-23965	22307	-71610	-3520	9140
SLU-SIS-135	-2823	-8257	-31578	75212	-22416	-4372	8726
SLU-SIS-136	-2607	-8257	-31578	75212	-19948	-4372	8658
SLU-SIS-137	-2607	-8257	-27396	75206	-19943	-4372	8658
SLU-SIS-138	-2823	-8257	-32717	75065	-22406	-4372	8726
SLU-SIS-139	-2497	-8106	-32717	72672	-18688	-4372	8482
SLU-SIS-140	-2462	-8146	-32290	73355	-17440	-4372	8510
SLU-SIS-141	-2609	-8200	-32171	73024	-19962	-4372	8605

SLU-SIS-142	-2587	-8162	-32124	72457	-19729	-4372	8563
SLU-SIS-143	-2462	-8109	-32683	72685	-17917	-4372	8474
SLU-SIS-144	-2480	-8109	-32670	72820	-18502	-4372	8480
SLU-SIS-145	-2295	-8181	-32717	73868	-16385	-4372	8497
SLU-SIS-146	-2225	-8201	-32290	74228	-14736	-4372	8498
SLU-SIS-147	-2519	-8229	-32171	73467	-18934	-4372	8605
SLU-SIS-148	-2475	-8209	-32124	73211	-18454	-4372	8575
SLU-SIS-149	-2225	-8183	-32683	73863	-15212	-4372	8480
SLU-SIS-150	-2260	-8183	-32670	73994	-15997	-4372	8489
SLU-SIS-151	-2225	-8209	-27693	74278	-15231	-4372	8505
SLU-SIS-152	-2823	-8257	-27850	76242	-24306	-4372	8726
SLU-SIS-153	-2607	-8257	-27850	76242	-21838	-4372	8658
SLU-SIS-154	-2607	-8257	-23667	76237	-21833	-4372	8658
SLU-SIS-155	-2823	-8257	-28988	76096	-24295	-4372	8726
SLU-SIS-156	-2497	-8106	-28988	73703	-20579	-4372	8482
SLU-SIS-157	-2462	-8146	-28562	74386	-19330	-4372	8510
SLU-SIS-158	-2609	-8200	-28442	74055	-21852	-4372	8605
SLU-SIS-159	-2587	-8162	-28396	73488	-21619	-4372	8563
SLU-SIS-160	-2462	-8109	-28955	73716	-19807	-4372	8474
SLU-SIS-161	-2480	-8109	-28942	73851	-20392	-4372	8480
SLU-SIS-162	-2295	-8181	-28988	74899	-18275	-4372	8497
SLU-SIS-163	-2225	-8201	-28562	75259	-16627	-4372	8498
SLU-SIS-164	-2519	-8229	-28442	74498	-20824	-4372	8605
SLU-SIS-165	-2475	-8209	-28396	74241	-20344	-4372	8575
SLU-SIS-166	-2225	-8183	-28955	74894	-17103	-4372	8480
SLU-SIS-167	-2260	-8183	-28942	75025	-17888	-4372	8489
SLU-SIS-168	-2225	-8209	-23965	75309	-17122	-4372	8505
SLU-SIS-169	-2823	-2477	-35928	20988	-20212	-1821	3756
SLU-SIS-170	-2607	-2477	-35928	20988	-17743	-1821	3596
SLU-SIS-171	-2607	-2477	-31745	20987	-17738	-1821	3596
SLU-SIS-172	-2823	-2477	-37066	20839	-20201	-1821	3756
SLU-SIS-173	-2497	-2327	-37066	18446	-16483	-1821	3413
SLU-SIS-174	-2462	-2366	-36640	19130	-15234	-1821	3415
SLU-SIS-175	-2609	-2421	-36520	18800	-17757	-1821	3559
SLU-SIS-176	-2587	-2383	-36474	18232	-17524	-1821	3517
SLU-SIS-177	-2462	-2329	-37033	18459	-15711	-1821	3389
SLU-SIS-178	-2480	-2330	-37020	18594	-16296	-1821	3402
SLU-SIS-179	-2295	-2402	-37066	19642	-14179	-1821	3322
SLU-SIS-180	-2225	-2422	-36640	20003	-12530	-1821	3289
SLU-SIS-181	-2519	-2449	-36520	19243	-16729	-1821	3513
SLU-SIS-182	-2475	-2430	-36474	18986	-16248	-1821	3469
SLU-SIS-183	-2225	-2403	-37033	19637	-13006	-1821	3275
SLU-SIS-184	-2260	-2403	-37020	19768	-13791	-1821	3299
SLU-SIS-185	-2225	-2429	-32043	20058	-13025	-1821	3294
SLU-SIS-186	-2823	-2477	-23500	24448	-26511	-1821	3756

SLU-SIS-187	-2607	-2477	-23500	24448	-24044	-1821	3596
SLU-SIS-188	-2607	-2477	-19317	24446	-24039	-1821	3596
SLU-SIS-189	-2823	-2477	-24638	24299	-26500	-1821	3756
SLU-SIS-190	-2497	-2327	-24638	21905	-22784	-1821	3413
SLU-SIS-191	-2462	-2366	-24212	22590	-21536	-1821	3415
SLU-SIS-192	-2609	-2421	-24092	22259	-24057	-1821	3559
SLU-SIS-193	-2587	-2383	-24046	21692	-23824	-1821	3517
SLU-SIS-194	-2462	-2329	-24605	21919	-22012	-1821	3389
SLU-SIS-195	-2480	-2330	-24592	22054	-22598	-1821	3402
SLU-SIS-196	-2295	-2402	-24638	23102	-20481	-1821	3322
SLU-SIS-197	-2225	-2422	-24212	23462	-18833	-1821	3289
SLU-SIS-198	-2519	-2449	-24092	22702	-23030	-1821	3513
SLU-SIS-199	-2475	-2430	-24046	22446	-22550	-1821	3469
SLU-SIS-200	-2225	-2403	-24605	23097	-19309	-1821	3275
SLU-SIS-201	-2260	-2403	-24592	23228	-20094	-1821	3299
SLU-SIS-202	-2225	-2429	-19615	23518	-19328	-1821	3294

	F1	F2	F3	M1	M2	M3	Ftot
	kN	kN	kN	kNm	kNm	kNm	kN
SLE-RAR-001			-29714				
SLE-RAR-002	338	883	-29714	-14567	3855	0	945
SLE-RAR-003	563	530	-29714	-8740	6424	0	773
SLE-RAR-004	338	883	-25531	-14567	3854	0	945
SLE-RAR-005	563	530	-25531	-8740	6424	0	773
SLE-RAR-006	918	683	-35406	-11563	10539	0	1144
SLE-RAR-007	1077	504	-33273	-8448	16207	0	1189
SLE-RAR-008	410	255	-32676	-9951	4740	0	482
SLE-RAR-009	508	428	-32444	-12531	5798	0	664
SLE-RAR-010	1077	673	-35238	-11503	14047	0	1270
SLE-RAR-011	998	670	-35174	-10887	11386	0	1202
SLE-RAR-012	1835	342	-35406	-6123	21013	0	1867
SLE-RAR-013	2154	252	-33273	-4483	28500	0	2169
SLE-RAR-014	819	128	-32676	-7938	9413	0	829
SLE-RAR-015	1016	214	-32444	-9104	11596	0	1038
SLE-RAR-016	2154	337	-35238	-6146	26341	0	2180
SLE-RAR-017	1995	335	-35174	-5552	22773	0	2023
SLE-RAR-018	2154	218	-27020	-4223	26216	0	2165
SLE-RAR-019	918	1213	-35406	-20304	10539	0	1521
SLE-RAR-020	1077	1034	-33273	-17189	16207	0	1493
SLE-RAR-021	410	785	-32676	-18691	4740	0	885
SLE-RAR-022	508	958	-32444	-21271	5798	0	1084
SLE-RAR-023	1077	1203	-35238	-20243	14047	0	1614
SLE-RAR-024	998	1200	-35174	-19627	11386	0	1560
SLE-RAR-025	1835	871	-35406	-14864	21013	0	2031

SLE-RAR-026	2154	782	-33273	-13224	28500	0	2291
SLE-RAR-027	819	657	-32676	-16678	9413	0	1050
SLE-RAR-028	1016	744	-32444	-17845	11596	0	1259
SLE-RAR-029	2154	866	-35238	-14887	26341	0	2322
SLE-RAR-030	1995	865	-35174	-14293	22773	0	2174
SLE-RAR-031	2154	748	-27020	-12963	26216	0	2280
SLE-RAR-032	1201	683	-35406	-11563	13770	0	1381
SLE-RAR-033	1360	504	-33273	-8448	19437	0	1450
SLE-RAR-034	693	255	-32676	-9951	7970	0	738
SLE-RAR-035	791	428	-32444	-12531	9028	0	899
SLE-RAR-036	1360	673	-35238	-11503	17278	0	1517
SLE-RAR-037	1281	670	-35174	-10887	14617	0	1445
SLE-RAR-038	2118	342	-35406	-6123	24243	0	2145
SLE-RAR-039	2437	252	-33273	-4483	31730	0	2450
SLE-RAR-040	1102	128	-32676	-7938	12643	0	1109
SLE-RAR-041	1299	214	-32444	-9104	14825	0	1317
SLE-RAR-042	2437	337	-35238	-6146	29572	0	2460
SLE-RAR-043	2278	335	-35174	-5552	26003	0	2303
SLE-RAR-044	2437	218	-27020	-4223	29446	0	2447
SLE-RAR-045	1086	683	-35406	-11563	12457	0	1282
SLE-RAR-046	1245	504	-33273	-8448	18125	0	1343
SLE-RAR-047	578	255	-32676	-9951	6657	0	631
SLE-RAR-048	676	428	-32444	-12531	7715	0	800
SLE-RAR-049	1245	673	-35238	-11503	15965	0	1415
SLE-RAR-050	1166	670	-35174	-10887	13304	0	1344
SLE-RAR-051	2003	342	-35406	-6123	22931	0	2032
SLE-RAR-052	2322	252	-33273	-4483	30417	0	2336
SLE-RAR-053	987	128	-32676	-7938	11331	0	995
SLE-RAR-054	1184	214	-32444	-9104	13513	0	1203
SLE-RAR-055	2322	337	-35238	-6146	28259	0	2346
SLE-RAR-056	2163	335	-35174	-5552	24691	0	2189
SLE-RAR-057	2322	218	-27020	-4223	28133	0	2332
SLE-RAR-058	1369	1213	-35406	-20304	15688	0	1828
SLE-RAR-059	1528	1034	-33273	-17189	21355	0	1845
SLE-RAR-060	861	785	-32676	-18691	9887	0	1164
SLE-RAR-061	959	958	-32444	-21271	10945	0	1355
SLE-RAR-062	1528	1203	-35238	-20243	19196	0	1944
SLE-RAR-063	1449	1200	-35174	-19627	16535	0	1881
SLE-RAR-064	2286	871	-35406	-14864	26161	0	2446
SLE-RAR-065	2605	782	-33273	-13224	33647	0	2720
SLE-RAR-066	1270	657	-32676	-16678	14561	0	1430
SLE-RAR-067	1467	744	-32444	-17845	16743	0	1645
SLE-RAR-068	2605	866	-35238	-14887	31490	0	2745
SLE-RAR-069	2446	865	-35174	-14293	27921	0	2594
SLE-RAR-070	2605	748	-27020	-12963	31363	0	2710

SLE-RAR-071	1101	410	-33129	-6938	12606	0	1175
SLE-RAR-072	1292	302	-31849	-5069	17099	0	1327
SLE-RAR-073	655	204	-32084	-7961	7530	0	686
SLE-RAR-074	813	342	-31898	-10024	9276	0	882
SLE-RAR-075	1292	404	-33028	-6901	15803	0	1354
SLE-RAR-076	1197	402	-32990	-6532	13662	0	1263
SLE-RAR-077	1292	262	-27318	-5067	16713	0	1319
SLE-RAR-078	1101	939	-33129	-15678	12606	0	1447
SLE-RAR-079	1292	832	-31849	-13809	17099	0	1537
SLE-RAR-080	655	734	-32084	-16701	7530	0	984
SLE-RAR-081	813	872	-31898	-18765	9276	0	1192
SLE-RAR-082	1292	933	-33028	-15642	15803	0	1594
SLE-RAR-083	1197	932	-32990	-15272	13662	0	1517
SLE-RAR-084	1292	791	-27318	-13808	16713	0	1515
SLE-RAR-085	1384	410	-33129	-6938	15836	0	1443
SLE-RAR-086	1575	302	-31849	-5069	20328	0	1604
SLE-RAR-087	938	204	-32084	-7961	10760	0	960
SLE-RAR-088	1096	342	-31898	-10024	12506	0	1148
SLE-RAR-089	1575	404	-33028	-6901	19033	0	1626
SLE-RAR-090	1480	402	-32990	-6532	16892	0	1534
SLE-RAR-091	1575	262	-27318	-5067	19942	0	1597
SLE-RAR-092	1269	410	-33129	-6938	14523	0	1334
SLE-RAR-093	1460	302	-31849	-5069	19016	0	1491
SLE-RAR-094	823	204	-32084	-7961	9448	0	848
SLE-RAR-095	981	342	-31898	-10024	11193	0	1039
SLE-RAR-096	1460	404	-33028	-6901	17720	0	1515
SLE-RAR-097	1365	402	-32990	-6532	15579	0	1423
SLE-RAR-098	1460	262	-27318	-5067	18630	0	1484
SLE-RAR-099	1552	939	-33129	-15678	17753	0	1814
SLE-RAR-100	1743	832	-31849	-13809	22246	0	1932
SLE-RAR-101	1106	734	-32084	-16701	12678	0	1327
SLE-RAR-102	1264	872	-31898	-18765	14423	0	1535
SLE-RAR-103	1743	933	-33028	-15642	20950	0	1977
SLE-RAR-104	1648	932	-32990	-15272	18809	0	1893
SLE-RAR-105	1743	791	-27318	-13808	21859	0	1914

	F1	F2	F3	M1	M2	M3	Ftot
	kN	kN	kN	kNm	kNm	kNm	kN
SLE-QPE-001	0	0	-29714	0	0	0	0
SLE-QPE-002	563	0	-29714	0	6424	0	563

5 DISTRIBUZIONE DELLE SOLLECITAZIONI IN TESTA PALI

5.1 GEOMETRIA DELLA PALIFICATA DI FONDAZIONE

Diametro dei pali di fondazione e loro numero:

diam **1.5** m

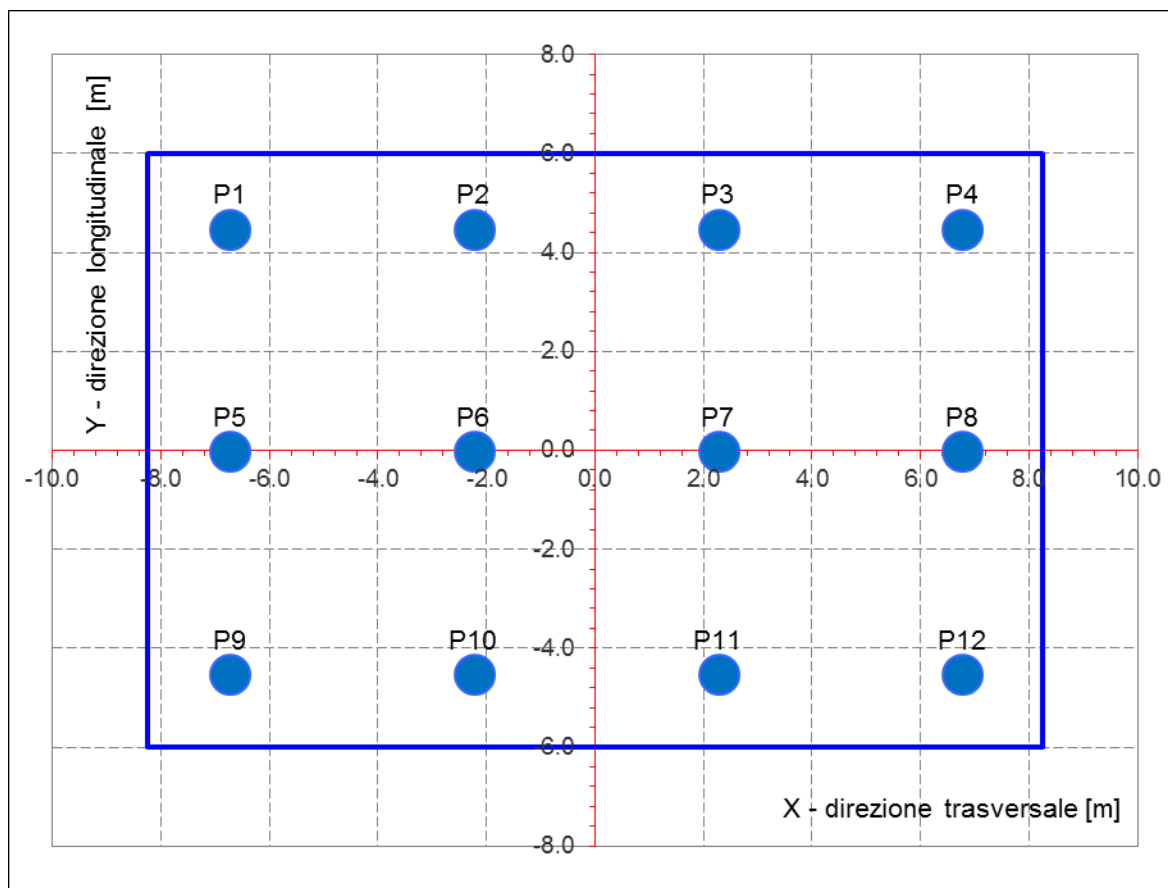
Num tot **12** Numero totale di pali

Geometria del plinto:

dtrasv **16.5** m

dlong **12.0** m

hpl **2.5** m



Le caratteristiche di sollecitazione sul singolo palo sono state determinate a partire dalle sollecitazioni riportate all'intradosso del plinto di fondazione, secondo le seguenti relazioni (*distribuzione rigida delle sollecitazioni*):

$$N_{\max} = F_3 / n_{\text{pali}} + \text{ass}(M_1) / W_{1\text{palificata}} + \text{ass}(M_2) / W_{2\text{palificata}}$$

$$N_{\min} = F_3 / n_{\text{pali}} - \text{ass}(M_1) / W_{1\text{palificata}} - \text{ass}(M_2) / W_{2\text{palificata}}$$

$$H = \sqrt{(F_1 / n_{\text{pali}})^2 + (F_2 / n_{\text{pali}})^2}$$

NB: coordinate riferite al baricentro della palificata

num.	X (trasv)	Y (long)	X2	Y2	WI	Wt
	m	m	m2	m2		
P1	-6.75	4.50	45.6	20.3	3.6E+01	-4.5E+01
P2	-2.25	4.50	5.1	20.3	3.6E+01	-1.4E+02
P3	2.25	4.50	5.1	20.3	3.6E+01	1.4E+02
P4	6.75	4.50	45.6	20.3	3.6E+01	4.5E+01
P5	-6.75	0.00	45.6	0.0	1.0E+99	-4.5E+01
P6	-2.25	0.00	5.1	0.0	1.0E+99	-1.4E+02
P7	2.25	0.00	5.1	0.0	1.0E+99	1.4E+02
P8	6.75	0.00	45.6	0.0	1.0E+99	4.5E+01
P9	-6.75	-4.50	45.6	20.3	-3.6E+01	-4.5E+01
P10	-2.25	-4.50	5.1	20.3	-3.6E+01	-1.4E+02
P11	2.25	-4.50	5.1	20.3	-3.6E+01	1.4E+02
P12	6.75	-4.50	45.6	20.3	-3.6E+01	4.5E+01
P13						
P14						
P15						
P16						
P17						
P18						
P19						
P20						

$\Sigma X2$	$\Sigma Y2$
303.75	162.00
m4	m4

5.2 DISTRIBUZIONE DELLE SOLLECITAZIONI IN TESTA AI PALI

Per ogni palo della fondazione e per ogni combinazione di carico considerata, si riportano a seguire i valori delle forze assiali agenti in testa N_{max} [kN] e N_{min} [kN], il valore del taglio medio incrementato del coefficiente che tiene conto dell'effetto gruppo ($T_{med,gr} = 1.1 * T_{med}$ [kN]), nonché il valore del momento flettente agente alla testa del palo (valore massimo). Per il calcolo di tale valore in funzione del taglio agente alla testa del palo, si rimanda all'elaborato progettuale "IF1N.0.1.E.ZZ.RB.GE.00.0.5.001.A - Relazione geotecnica generale di linea delle opere all'aperto".

D (m)	1.5
kh (kN/m ³)	33333
fck (Mpa)	25
E (Mpa)	31476
J (m ⁴)	0.2485
λ (cm)	500.15

	N_{max}	N_{min}	T_{media}	T_{media_gruppo}	M_{max}
	[kN]	[kN]	[kN]	[kN]	[kNm]
SLU-STR-001	3439	3439	0	0	0
SLU-STR-002	4085	2793	118	130	325
SLU-STR-003	3994	2884	96	105	263
SLU-STR-004	2774	1481	118	130	325
SLU-STR-005	2682	1573	96	105	263
SLU-STR-006	4927	3326	139	153	382
SLU-STR-007	4798	2940	144	159	397
SLU-STR-008	4310	3284	59	64	161
SLU-STR-009	4408	3130	81	89	222
SLU-STR-010	5047	3166	154	170	424
SLU-STR-011	4911	3286	146	160	401
SLU-STR-012	5172	3081	226	248	621
SLU-STR-013	5163	2575	262	288	721
SLU-STR-014	4432	3161	100	110	276
SLU-STR-015	4530	3007	125	138	345
SLU-STR-016	5367	2846	263	290	725
SLU-STR-017	5196	3001	244	269	673
SLU-STR-018	3502	1115	262	288	720
SLU-STR-019	5218	3035	186	205	512
SLU-STR-020	5089	2649	183	201	502
SLU-STR-021	4601	2992	109	120	300
SLU-STR-022	4699	2838	133	146	366
SLU-STR-023	5338	2875	197	217	543
SLU-STR-024	5203	2994	191	210	525
SLU-STR-025	5463	2790	247	271	678

SLU-STR-026	5454	2284		278	305	764
SLU-STR-027	4724	2870		128	141	353
SLU-STR-028	4821	2716		154	169	422
SLU-STR-029	5658	2554		281	310	774
SLU-STR-030	5488	2709		264	290	725
SLU-STR-031	3794	824		276	304	760
SLU-STR-032	5057	3196		168	184	461
SLU-STR-033	4928	2810		176	194	484
SLU-STR-034	4440	3154		89	98	246
SLU-STR-035	4538	3000		109	120	300
SLU-STR-036	5177	3036		184	203	507
SLU-STR-037	5042	3156		175	193	482
SLU-STR-038	5302	2951		259	285	713
SLU-STR-039	5293	2445		296	326	814
SLU-STR-040	4562	3031		134	147	369
SLU-STR-041	4660	2877		159	175	438
SLU-STR-042	5497	2715		297	327	818
SLU-STR-043	5327	2871		278	306	765
SLU-STR-044	3632	985		296	325	813
SLU-STR-045	5007	3246		156	172	430
SLU-STR-046	4878	2860		164	180	451
SLU-STR-047	4390	3204		77	85	212
SLU-STR-048	4488	3050		98	107	269
SLU-STR-049	5126	3086		172	190	474
SLU-STR-050	4991	3206		164	180	451
SLU-STR-051	5252	3001		246	271	677
SLU-STR-052	5243	2495		283	311	778
SLU-STR-053	4512	3081		121	133	333
SLU-STR-054	4610	2927		146	161	402
SLU-STR-055	5447	2766		284	313	782
SLU-STR-056	5276	2921		265	292	730
SLU-STR-057	3582	1035		283	311	777
SLU-STR-058	5428	2825		223	246	615
SLU-STR-059	5299	2439		225	248	620
SLU-STR-060	4811	2782		143	157	393
SLU-STR-061	4909	2628		166	183	457
SLU-STR-062	5548	2665		238	261	654
SLU-STR-063	5413	2784		230	253	632
SLU-STR-064	5674	2580		297	327	817
SLU-STR-065	5664	2074		330	363	908
SLU-STR-066	4934	2660		174	192	480
SLU-STR-067	5032	2506		200	220	551
SLU-STR-068	5869	2344		333	366	916

SLU-STR-069	5698	2499		315	346	866
SLU-STR-070	4003	614		329	362	905

	N_{max}	N_{min}		T_{media}	T_{media_grupo}	M_{max}
	[kN]	[kN]		[kN]	[kN]	[kNm]
SLU-GEO-001	2668	2668		0	0	0
SLU-GEO-002	3228	2108		102	113	282
SLU-GEO-003	3148	2188		83	91	228
SLU-GEO-004	2688	1568		102	113	282
SLU-GEO-005	2608	1648		83	91	228
SLU-GEO-006	3951	2571		120	132	329
SLU-GEO-007	3840	2238		125	137	343
SLU-GEO-008	3419	2534		51	56	139
SLU-GEO-009	3504	2402		70	76	191
SLU-GEO-010	4054	2433		133	146	366
SLU-GEO-011	3938	2536		126	138	346
SLU-GEO-012	4162	2360		194	214	535
SLU-GEO-013	4154	1924		226	249	621
SLU-GEO-014	3525	2429		86	95	238
SLU-GEO-015	3609	2296		108	119	298
SLU-GEO-016	4330	2157		227	250	625
SLU-GEO-017	4183	2291		211	232	580
SLU-GEO-018	3313	1255		226	248	620
SLU-GEO-019	4204	2318		161	177	442
SLU-GEO-020	4092	1986		158	173	434
SLU-GEO-021	3672	2282		94	104	259
SLU-GEO-022	3756	2149		115	127	317
SLU-GEO-023	4307	2180		170	187	469
SLU-GEO-024	4191	2283		165	181	453
SLU-GEO-025	4415	2108		213	234	585
SLU-GEO-026	4407	1671		240	263	659
SLU-GEO-027	3777	2176		111	122	305
SLU-GEO-028	3861	2044		133	146	365
SLU-GEO-029	4583	1904		243	267	668
SLU-GEO-030	4436	2038		227	250	626
SLU-GEO-031	3565	1002		238	262	656
SLU-GEO-032	4063	2459		145	159	398
SLU-GEO-033	3952	2126		152	167	418
SLU-GEO-034	3531	2422		77	85	212
SLU-GEO-035	3616	2289		94	103	259
SLU-GEO-036	4167	2321		159	175	437

SLU-GEO-037	4050	2424		151	166	416
SLU-GEO-038	4274	2248		224	246	615
SLU-GEO-039	4266	1812		255	281	702
SLU-GEO-040	3637	2317		116	127	318
SLU-GEO-041	3721	2184		137	151	377
SLU-GEO-042	4443	2045		256	282	705
SLU-GEO-043	4295	2178		240	264	660
SLU-GEO-044	3425	1143		255	280	701
SLU-GEO-045	4021	2502		135	148	371
SLU-GEO-046	3909	2169		141	156	389
SLU-GEO-047	3488	2465		67	73	184
SLU-GEO-048	3573	2332		84	93	232
SLU-GEO-049	4124	2364		149	164	409
SLU-GEO-050	4007	2467		141	156	389
SLU-GEO-051	4231	2291		212	234	584
SLU-GEO-052	4223	1855		244	268	671
SLU-GEO-053	3594	2360		104	115	287
SLU-GEO-054	3678	2227		126	139	347
SLU-GEO-055	4400	2088		245	270	674
SLU-GEO-056	4253	2221		229	252	629
SLU-GEO-057	3382	1186		244	268	670
SLU-GEO-058	4385	2137		193	212	531
SLU-GEO-059	4274	1804		195	214	536
SLU-GEO-060	3853	2101		124	136	340
SLU-GEO-061	3938	1968		144	158	395
SLU-GEO-062	4488	1999		205	226	564
SLU-GEO-063	4372	2102		198	218	546
SLU-GEO-064	4596	1926		256	282	705
SLU-GEO-065	4588	1490		285	313	783
SLU-GEO-066	3959	1995		151	166	414
SLU-GEO-067	4043	1862		173	190	476
SLU-GEO-068	4764	1723		287	316	791
SLU-GEO-069	4617	1857		272	299	747
SLU-GEO-070	3747	821		284	312	780

	N_{max}	N_{min}	T_{media}	T_{media_gruopo}	M_{max}
	[kN]	[kN]	[kN]	[kN]	[kNm]
SLU-SIS-001	5338	-75	811	892	2230
SLU-SIS-002	5406	-143	828	911	2278
SLU-SIS-003	5057	-491	828	911	2278
SLU-SIS-004	5623	-170	848	933	2332

SLU-SIS-005	5606	-225		850	935	2337
SLU-SIS-006	5534	-172		837	920	2302
SLU-SIS-007	5549	-195		839	923	2309
SLU-SIS-008	5641	-194		851	936	2340
SLU-SIS-009	5621	-176		849	934	2336
SLU-SIS-010	5660	-207		862	949	2372
SLU-SIS-011	5662	-280		868	954	2387
SLU-SIS-012	5552	-191		843	928	2320
SLU-SIS-013	5567	-213		847	932	2331
SLU-SIS-014	5690	-243		868	955	2388
SLU-SIS-015	5664	-219		865	952	2380
SLU-SIS-016	5263	-648		868	954	2386
SLU-SIS-017	4950	-309		811	892	2230
SLU-SIS-018	5019	-377		828	911	2278
SLU-SIS-019	4670	-725		828	911	2278
SLU-SIS-020	5049	-218		811	892	2230
SLU-SIS-021	5206	-374		840	924	2311
SLU-SIS-022	5189	-429		842	926	2317
SLU-SIS-023	5117	-376		829	912	2281
SLU-SIS-024	5132	-399		832	915	2288
SLU-SIS-025	5224	-398		843	927	2319
SLU-SIS-026	5204	-380		842	926	2315
SLU-SIS-027	5243	-412		855	940	2352
SLU-SIS-028	5245	-485		860	946	2366
SLU-SIS-029	5135	-395		836	920	2300
SLU-SIS-030	5151	-418		840	924	2310
SLU-SIS-031	5273	-447		861	947	2367
SLU-SIS-032	5247	-424		858	944	2360
SLU-SIS-033	4846	-852		860	946	2366
SLU-SIS-034	5001	262		727	800	2000
SLU-SIS-035	5070	193		733	806	2017
SLU-SIS-036	4721	-155		733	806	2017
SLU-SIS-037	5100	353		727	800	2000
SLU-SIS-038	5257	196		748	823	2058
SLU-SIS-039	5240	141		746	821	2052
SLU-SIS-040	5168	194		738	811	2029
SLU-SIS-041	5183	171		741	815	2039
SLU-SIS-042	5275	172		749	824	2060
SLU-SIS-043	5255	190		748	823	2059
SLU-SIS-044	5294	159		748	823	2059
SLU-SIS-045	5296	85		749	824	2060
SLU-SIS-046	5187	175		738	812	2030
SLU-SIS-047	5202	152		741	815	2038

SLU-SIS-048	5324	123		750	826	2064
SLU-SIS-049	5298	147		749	824	2061
SLU-SIS-050	4898	-282		748	823	2059
SLU-SIS-051	4614	27		727	800	2000
SLU-SIS-052	4683	-41		733	806	2017
SLU-SIS-053	4334	-390		733	806	2017
SLU-SIS-054	4713	118		727	800	2000
SLU-SIS-055	4870	-38		748	823	2058
SLU-SIS-056	4853	-93		746	821	2052
SLU-SIS-057	4781	-40		738	811	2029
SLU-SIS-058	4796	-63		741	815	2039
SLU-SIS-059	4888	-62		749	824	2060
SLU-SIS-060	4868	-44		748	823	2059
SLU-SIS-061	4907	-76		748	823	2059
SLU-SIS-062	4909	-149		749	824	2060
SLU-SIS-063	4799	-59		738	812	2030
SLU-SIS-064	4815	-82		741	815	2038
SLU-SIS-065	4937	-111		750	826	2064
SLU-SIS-066	4911	-87		749	824	2061
SLU-SIS-067	4510	-516		748	823	2059
SLU-SIS-068	4275	1713		313	344	861
SLU-SIS-069	4343	1645		327	359	899
SLU-SIS-070	3995	1296		327	359	899
SLU-SIS-071	4374	1804		313	344	861
SLU-SIS-072	4530	1648		342	376	940
SLU-SIS-073	4514	1593		342	376	940
SLU-SIS-074	4441	1646		330	363	907
SLU-SIS-075	4456	1623		333	366	916
SLU-SIS-076	4548	1624		344	378	946
SLU-SIS-077	4528	1642		343	377	943
SLU-SIS-078	4567	1610		351	386	965
SLU-SIS-079	4570	1537		355	390	976
SLU-SIS-080	4460	1627		334	367	918
SLU-SIS-081	4475	1604		338	371	929
SLU-SIS-082	4597	1575		356	391	978
SLU-SIS-083	4572	1598		353	389	972
SLU-SIS-084	4171	1169		354	390	975
SLU-SIS-085	2985	932		313	344	861
SLU-SIS-086	3054	863		327	359	899
SLU-SIS-087	2705	515		327	359	899
SLU-SIS-088	3084	1023		313	344	861
SLU-SIS-089	3240	866		342	376	940
SLU-SIS-090	3224	811		342	376	940

SLU-SIS-091	3151	864		330	363	907
SLU-SIS-092	3167	841		333	366	916
SLU-SIS-093	3259	842		344	378	946
SLU-SIS-094	3238	860		343	377	943
SLU-SIS-095	3278	829		351	386	965
SLU-SIS-096	3280	756		355	390	976
SLU-SIS-097	3170	845		334	367	918
SLU-SIS-098	3185	822		338	371	929
SLU-SIS-099	3307	793		356	391	978
SLU-SIS-100	3282	817		353	389	972
SLU-SIS-101	2881	388		354	390	975
SLU-SIS-102	5262	1		811	892	2230
SLU-SIS-103	5193	70		793	873	2183
SLU-SIS-104	4844	-278		793	873	2183
SLU-SIS-105	5168	285		774	851	2129
SLU-SIS-106	5113	269		772	849	2124
SLU-SIS-107	5165	196		785	863	2159
SLU-SIS-108	5142	212		782	861	2152
SLU-SIS-109	5144	303		771	848	2121
SLU-SIS-110	5162	283		773	850	2125
SLU-SIS-111	5130	322		759	835	2089
SLU-SIS-112	5057	325		754	830	2074
SLU-SIS-113	5147	215		778	856	2141
SLU-SIS-114	5124	230		774	852	2130
SLU-SIS-115	5095	352		754	829	2073
SLU-SIS-116	5118	327		757	832	2081
SLU-SIS-117	4688	-73		754	830	2075
SLU-SIS-118	5026	-385		811	892	2230
SLU-SIS-119	4958	-316		793	873	2183
SLU-SIS-120	4609	-664		793	873	2183
SLU-SIS-121	5118	-286		811	892	2230
SLU-SIS-122	4961	-130		781	860	2150
SLU-SIS-123	4906	-146		779	857	2144
SLU-SIS-124	4959	-219		792	872	2180
SLU-SIS-125	4936	-203		790	869	2173
SLU-SIS-126	4937	-112		779	856	2142
SLU-SIS-127	4956	-132		780	858	2146
SLU-SIS-128	4924	-93		767	843	2109
SLU-SIS-129	4850	-90		762	838	2095
SLU-SIS-130	4940	-200		786	864	2161
SLU-SIS-131	4917	-185		782	860	2151
SLU-SIS-132	4888	-63		761	837	2094
SLU-SIS-133	4912	-88		764	840	2101

SLU-SIS-134	4482	-488		762	838	2095
SLU-SIS-135	4926	337		727	800	2000
SLU-SIS-136	4857	406		722	794	1985
SLU-SIS-137	4508	58		722	794	1985
SLU-SIS-138	5017	436		727	800	2000
SLU-SIS-139	4860	592		707	778	1944
SLU-SIS-140	4805	576		709	780	1951
SLU-SIS-141	4858	504		717	789	1973
SLU-SIS-142	4835	519		714	785	1963
SLU-SIS-143	4836	611		706	777	1943
SLU-SIS-144	4855	590		707	777	1944
SLU-SIS-145	4823	630		708	779	1948
SLU-SIS-146	4750	632		708	779	1948
SLU-SIS-147	4839	522		717	789	1973
SLU-SIS-148	4817	538		715	786	1966
SLU-SIS-149	4788	660		707	777	1944
SLU-SIS-150	4811	634		707	778	1946
SLU-SIS-151	4381	234		709	780	1950
SLU-SIS-152	4690	-49		727	800	2000
SLU-SIS-153	4622	20		722	794	1985
SLU-SIS-154	4273	-328		722	794	1985
SLU-SIS-155	4782	50		727	800	2000
SLU-SIS-156	4625	206		707	778	1944
SLU-SIS-157	4570	190		709	780	1951
SLU-SIS-158	4623	117		717	789	1973
SLU-SIS-159	4600	133		714	785	1963
SLU-SIS-160	4601	225		706	777	1943
SLU-SIS-161	4619	204		707	777	1944
SLU-SIS-162	4588	244		708	779	1948
SLU-SIS-163	4514	246		708	779	1948
SLU-SIS-164	4604	136		717	789	1973
SLU-SIS-165	4581	151		715	786	1966
SLU-SIS-166	4552	273		707	777	1944
SLU-SIS-167	4576	248		707	778	1946
SLU-SIS-168	4146	-152		709	780	1950
SLU-SIS-169	4022	1966		313	344	861
SLU-SIS-170	3953	2035		300	330	824
SLU-SIS-171	3605	1686		300	330	824
SLU-SIS-172	4113	2065		313	344	861
SLU-SIS-173	3957	2221		284	313	782
SLU-SIS-174	3902	2205		285	313	783
SLU-SIS-175	3954	2132		297	326	816
SLU-SIS-176	3931	2148		293	322	806

SLU-SIS-177	3933	2239		282	311	777
SLU-SIS-178	3951	2219		284	312	780
SLU-SIS-179	3919	2259		277	305	762
SLU-SIS-180	3846	2261		274	301	754
SLU-SIS-181	3936	2151		293	322	805
SLU-SIS-182	3913	2166		289	318	795
SLU-SIS-183	3884	2288		273	300	751
SLU-SIS-184	3907	2263		275	302	756
SLU-SIS-185	3478	1863		275	302	755
SLU-SIS-186	3238	679		313	344	861
SLU-SIS-187	3169	747		300	330	824
SLU-SIS-188	2821	399		300	330	824
SLU-SIS-189	3329	777		313	344	861
SLU-SIS-190	3173	934		284	313	782
SLU-SIS-191	3118	917		285	313	783
SLU-SIS-192	3171	845		297	326	816
SLU-SIS-193	3148	860		293	322	806
SLU-SIS-194	3149	952		282	311	777
SLU-SIS-195	3167	932		284	312	780
SLU-SIS-196	3135	971		277	305	762
SLU-SIS-197	3062	973		274	301	754
SLU-SIS-198	3152	863		293	322	805
SLU-SIS-199	3129	879		289	318	795
SLU-SIS-200	3100	1001		273	300	751
SLU-SIS-201	3124	975		275	302	756
SLU-SIS-202	2694	575		275	302	755

	N_{max}	N_{min}	T_{media}	T_{media_gruppo}	M_{max}
	[kN]	[kN]	[kN]	[kN]	[kNm]
SLE-RAR-001	2476	2476	0	0	0
SLE-RAR-002	2907	2045	79	87	217
SLE-RAR-003	2849	2103	64	71	177
SLE-RAR-004	2558	1697	79	87	217
SLE-RAR-005	2500	1755	64	71	177
SLE-RAR-006	3500	2401	95	105	262
SLE-RAR-007	3411	2135	99	109	273
SLE-RAR-008	3076	2370	40	44	111
SLE-RAR-009	3143	2264	55	61	152
SLE-RAR-010	3582	2291	106	116	291
SLE-RAR-011	3489	2373	100	110	275
SLE-RAR-012	3670	2231	156	171	428

SLE-RAR-013	3664	1881		181	199	497
SLE-RAR-014	3161	2285		69	76	190
SLE-RAR-015	3228	2179		87	95	238
SLE-RAR-016	3805	2068		182	200	500
SLE-RAR-017	3687	2175		169	185	464
SLE-RAR-018	3074	1430		180	198	496
SLE-RAR-019	3694	2207		127	139	349
SLE-RAR-020	3605	1941		124	137	342
SLE-RAR-021	3270	2176		74	81	203
SLE-RAR-022	3337	2070		90	99	248
SLE-RAR-023	3777	2096		135	148	370
SLE-RAR-024	3684	2179		130	143	358
SLE-RAR-025	3865	2036		169	186	466
SLE-RAR-026	3858	1687		191	210	525
SLE-RAR-027	3355	2091		87	96	241
SLE-RAR-028	3422	1985		105	115	289
SLE-RAR-029	3999	1874		193	213	532
SLE-RAR-030	3881	1981		181	199	498
SLE-RAR-031	3268	1235		190	209	523
SLE-RAR-032	3590	2311		115	127	317
SLE-RAR-033	3500	2045		121	133	332
SLE-RAR-034	3166	2280		61	68	169
SLE-RAR-035	3233	2174		75	82	206
SLE-RAR-036	3672	2201		126	139	348
SLE-RAR-037	3579	2283		120	132	331
SLE-RAR-038	3760	2141		179	197	492
SLE-RAR-039	3754	1792		204	225	562
SLE-RAR-040	3251	2195		92	102	254
SLE-RAR-041	3318	2090		110	121	302
SLE-RAR-042	3895	1978		205	226	564
SLE-RAR-043	3777	2085		192	211	528
SLE-RAR-044	3163	1340		204	224	561
SLE-RAR-045	3553	2348		107	118	294
SLE-RAR-046	3464	2082		112	123	308
SLE-RAR-047	3129	2317		53	58	145
SLE-RAR-048	3196	2211		67	73	183
SLE-RAR-049	3636	2237		118	130	324
SLE-RAR-050	3543	2320		112	123	308
SLE-RAR-051	3724	2177		169	186	466
SLE-RAR-052	3717	1828		195	214	535
SLE-RAR-053	3214	2232		83	91	228
SLE-RAR-054	3281	2126		100	110	276
SLE-RAR-055	3858	2015		196	215	538

SLE-RAR-056	3740	2122		182	201	502
SLE-RAR-057	3127	1376		194	214	535
SLE-RAR-058	3837	2064		152	168	419
SLE-RAR-059	3748	1798		154	169	423
SLE-RAR-060	3413	2033		97	107	267
SLE-RAR-061	3480	1927		113	124	311
SLE-RAR-062	3920	1953		162	178	446
SLE-RAR-063	3827	2036		157	172	431
SLE-RAR-064	4008	1893		204	224	561
SLE-RAR-065	4001	1544		227	249	623
SLE-RAR-066	3498	1948		119	131	328
SLE-RAR-067	3565	1842		137	151	377
SLE-RAR-068	4142	1731		229	252	629
SLE-RAR-069	4024	1838		216	238	595
SLE-RAR-070	3411	1092		226	248	621
SLE-RAR-071	3265	2256		98	108	269
SLE-RAR-072	3242	2067		111	122	304
SLE-RAR-073	3060	2288		57	63	157
SLE-RAR-074	3139	2178		73	81	202
SLE-RAR-075	3345	2160		113	124	310
SLE-RAR-076	3274	2225		105	116	289
SLE-RAR-077	2853	1700		110	121	302
SLE-RAR-078	3459	2062		121	133	332
SLE-RAR-079	3436	1872		128	141	352
SLE-RAR-080	3254	2093		82	90	225
SLE-RAR-081	3333	1983		99	109	273
SLE-RAR-082	3539	1966		133	146	365
SLE-RAR-083	3468	2030		126	139	348
SLE-RAR-084	3048	1505		126	139	347
SLE-RAR-085	3355	2167		120	132	331
SLE-RAR-086	3331	1977		134	147	368
SLE-RAR-087	3149	2198		80	88	220
SLE-RAR-088	3228	2088		96	105	263
SLE-RAR-089	3434	2070		136	149	373
SLE-RAR-090	3364	2135		128	141	352
SLE-RAR-091	2943	1610		133	146	366
SLE-RAR-092	3318	2203		111	122	306
SLE-RAR-093	3295	2013		124	137	342
SLE-RAR-094	3113	2234		71	78	194
SLE-RAR-095	3192	2124		87	95	238
SLE-RAR-096	3398	2107		126	139	347
SLE-RAR-097	3327	2171		119	130	326
SLE-RAR-098	2907	1646		124	136	340

SLE-RAR-099	3602	1919		151	166	416
SLE-RAR-100	3579	1729		161	177	443
SLE-RAR-101	3397	1950		111	122	304
SLE-RAR-102	3476	1841		128	141	352
SLE-RAR-103	3682	1823		165	181	453
SLE-RAR-104	3611	1887		158	174	434
SLE-RAR-105	3190	1362		160	175	439

	N_{max}	N_{min}	T_{media}	T_{media_gruppo}	M_{max}
	[kN]	[kN]	[kN]	[kN]	[kNm]
SLE-QPE-001	2476	2476	0	0	0
SLE-QPE-002	2655	2298	47	52	129

6 VERIFICHE STRUTTURALI DEL FUSTO PILA

6.1 GEOMETRIA DELLA SEZIONE ED ARMATURA

Si riporta a seguire una figura che illustra la geometria della sezione di verifica, nella quale è rappresentata una armatura tipologica.

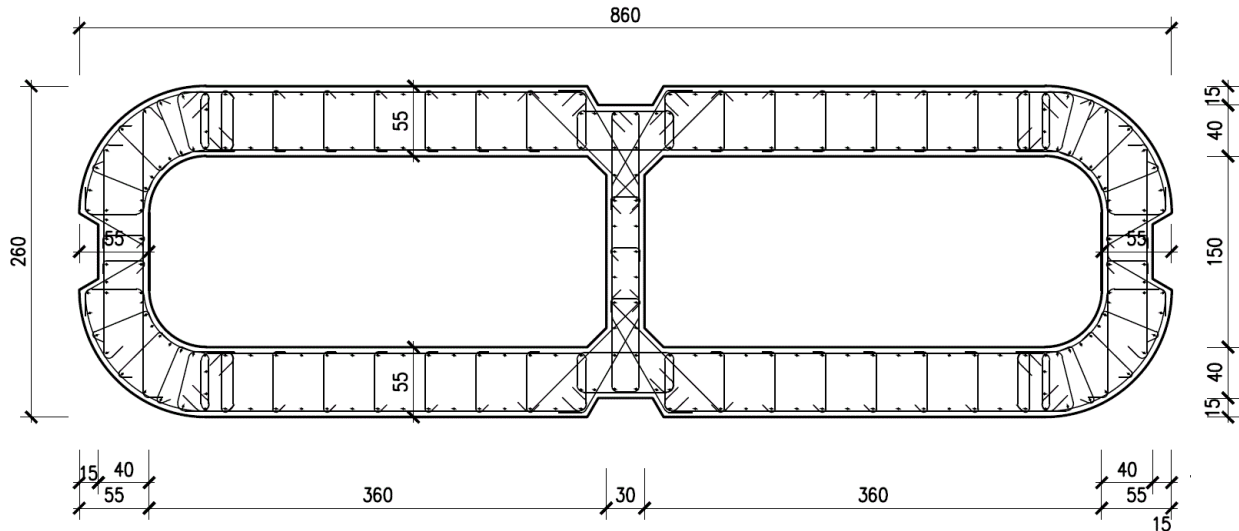


Figura 1 – Geometria della sezione trasversale della pila [cm]

6.1.1 ARMATURA LONGITUDINALE

A seguire è indicata l'armatura flessionale prevista nella sezione di base del fusto pila, in termini di numero di barre presenti nello strato esterno (1° str.), nello strato interno (2° str.), nonché loro diametro f_i [mm].

n barre (1° str.)	124	
f_i barre (1° str.)	26	mm
n barre (2° str.)	122	
f_i barre (2° str.)	26	mm

6.1.2 ARMATURA TRASVERSALE

A seguire è indicata l'armatura a taglio prevista nella sezione di base del fusto pila, all'interno della zona critica.

Direzione longitudinale

Staffe:

Spille:

Spille:

øw	16	mm	øw	8	mm	øw	16	mm
A1b	200.96	mm ²	A1b	50.24	mm ²	A1b	200.96	mm ²
passo	100	mm	passo	100	mm	passo	100	mm
bracci	6		bracci	16		bracci	6	

Direzione trasversale

Staffe:

Spille:

Spille:

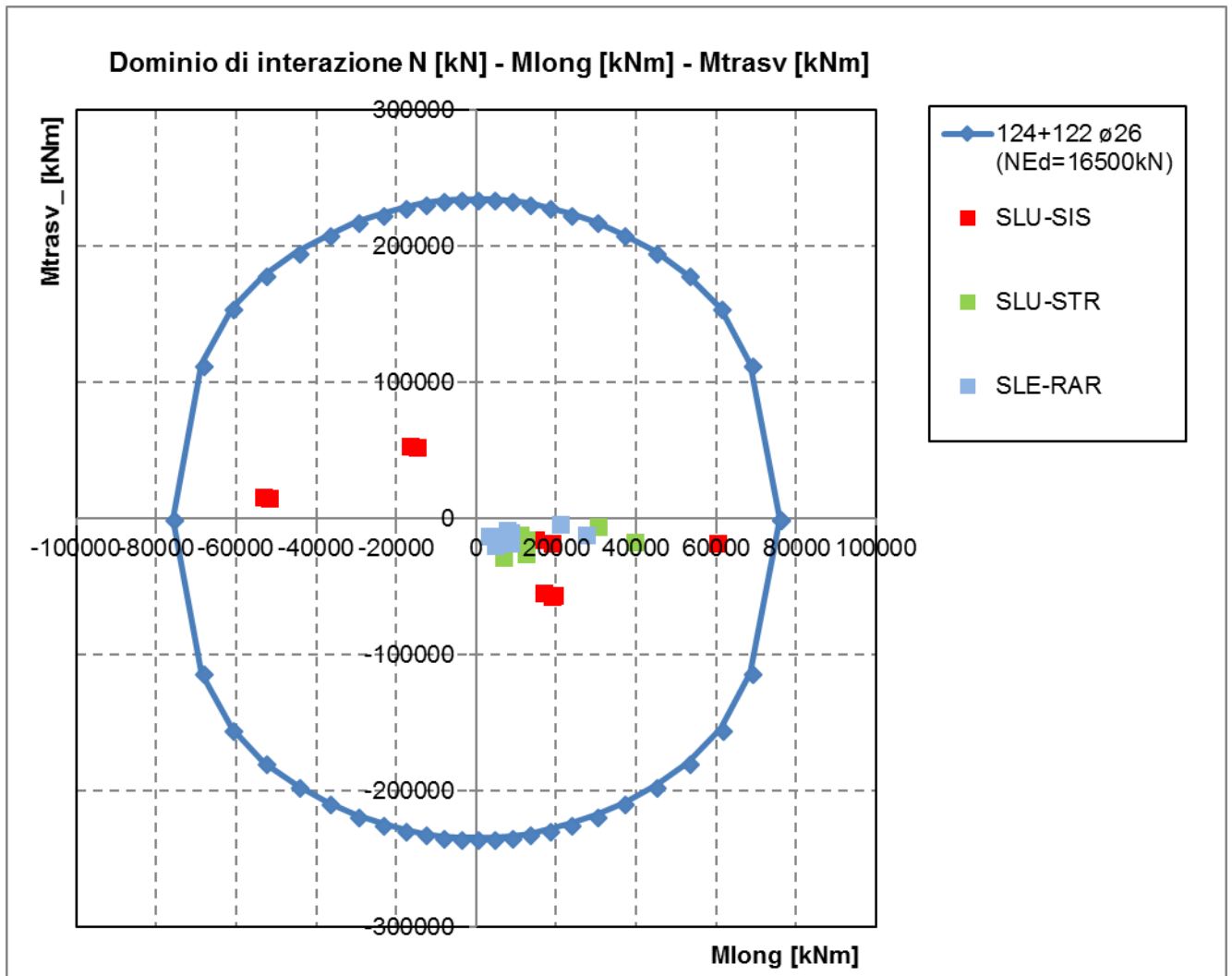
øw	16	mm	øw	8	mm	øw	16	mm
A1b	200.96	mm ²	A1b	50.24	mm ²	A1b	200.96	mm ²
passo	100	mm	passo	100	mm	passo	100	mm
bracci	4		bracci	6		bracci	2	

6.2 VERIFICHE SLU A PRESSOFLESSIONE

La verifica SLU a presso-flessione nelle sezioni critiche si effettua verificando che:

$$FS = (M_{Rd,long}^2 + M_{Rd,trasv}^2)^{0.5} / (M_{Ed,long}^2 + M_{Ed,trasv}^2)^{0.5} \geq 1$$

Sono riportate a seguire le verifiche SLU della sezione di base della pila, espresse in forma sintetica mediante il diagramma di interazione $M_{long} - M_{trasv}$ valutato per una forza assiale corrispondente alla condizione di verifica più severa (SLV-SIS).



Si riportano a seguire le verifiche in forma esplicita nelle due combinazioni di carico più severe, di cui la prima ricadente in condizione statica SLU e la seconda ricadente in condizione sismica SLV.

SLU-STR-065

Verifica C.A. S.L.U. - File: 860x260_246fi26_STR1

File **Materiali** Opzioni Visualizza Progetto Sez. Rett. Sismica Normativa: NTC 2008 ?

Titolo : _____

N° Vertici Zoom N° barre Zoom

N°	x [cm]	y [cm]	N°	As [cm²]	x [cm]	y [cm]
1	-430	30	1	5.3	9	108
2	-427	56	2	5.3	24	109
3	-417	80	3	5.3	35	109
4	-401	101	4	5.3	35	124
5	-380	117	5	5.3	55	124
6	-356	127	6	5.3	75	124

Sollecitazioni
 S.L.U. Metodo n

N_{Ed} kN
 M_{xEd} kNm
 M_{yEd} kNm

P.to applicazione N
 Centro Baricentro cls
 Coord.[cm] xN yN

Tipo rottura
 Lato calcestruzzo - Acciaio snervato

Materiali

 ϵ_{su} ‰ ϵ_{c2} ‰
 f_{yd} N/mm² ϵ_{cu} ‰
 E_s N/mm² f_{cd}
 E_s/E_c f_{cc}/f_{cd} ?
 ϵ_{syd} ‰ $\sigma_{c,adm}$
 $\sigma_{s,adm}$ N/mm² τ_{co}
 τ_{c1}

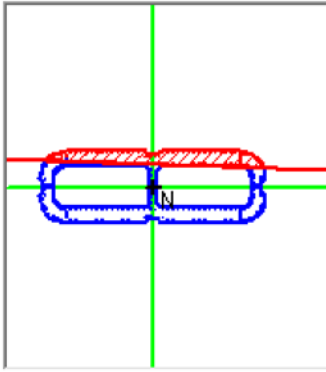
M_{xRd} kN m
 M_{yRd} kN m
 σ_c N/mm²
 ϵ_c ‰
 ϵ_s ‰
 d cm
 x x/d
 δ

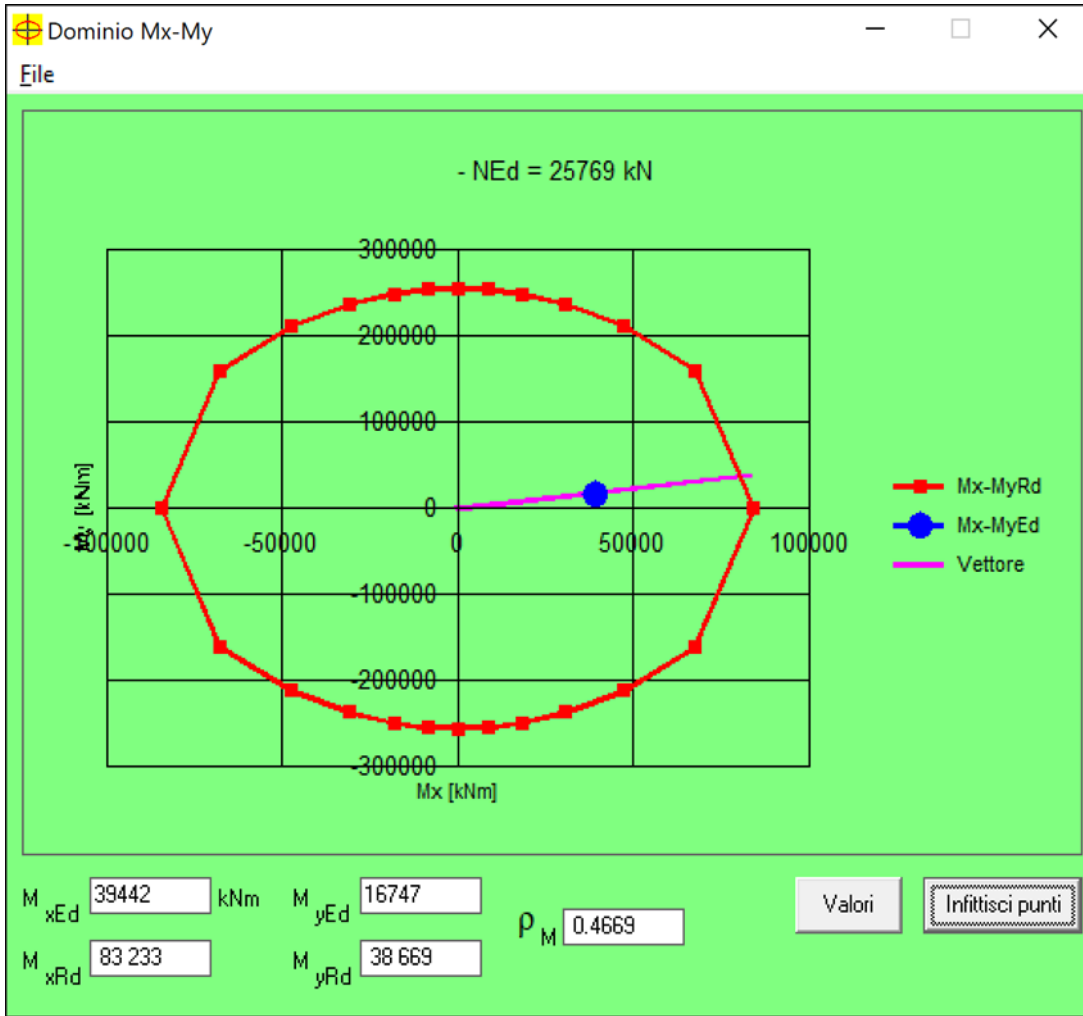
Tipo Sezione
 Rettan.re Trapezi
 a T Circolare
 Rettangoli Coord.

Metodo di calcolo
 S.L.U.+ S.L.U.-
 Metodo n

Tipo flessione
 Retta Deviata

N° rett.
 Calcola MRd Dominio Mx-My
 angolo asse neutro θ°
 Precompresso





roM 0.4669
FS **2.14**

SLU-SIS-011

Verifica C.A. S.L.U. - File: 860x260_246fi26_SIS1_

File Materiali Opzioni Visualizza Progetto Sez. Rett. Sismica Normativa: NTC 2008 ?

Titolo : _____

N° Vertici Zoom N° barre Zoom

N°	x [cm]	y [cm]	N°	As [cm²]	x [cm]	y [cm]
1	-430	30	1	5,3	9	108
2	-427	56	2	5,3	24	109
3	-417	80	3	5,3	35	109
4	-401	101	4	5,3	35	124
5	-380	117	5	5,3	55	124
6	-356	127	6	5,3	75	124

Tipo Sezione
 Rettan.re Trapezi
 a T Circolare
 Rettangoli Coord.

Sollecitazioni
 S.L.U. Metodo n

N_{Ed} kN
 M_{xEd} kNm
 M_{yEd}

P.to applicazione N
 Centro Baricentro cls
 Coord.[cm] xN yN

Tipo rottura
 Lato calcestruzzo - Acciaio snervato

Metodo di calcolo
 S.L.U.+ S.L.U.-
 Metodo n

Tipo flessione
 Retta Deviata

N° rett.

Calcola MRd

angolo asse neutro θ°

Precompresso

Materiali

ϵ_{su} ‰ ϵ_{c2} ‰
 f_{yd} N/mm² ϵ_{cu}

E_s N/mm² f_{cd}

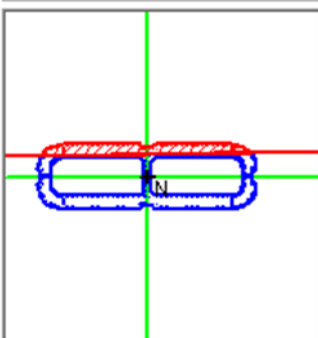
E_s/E_c f_{cc}/f_{cd} ?

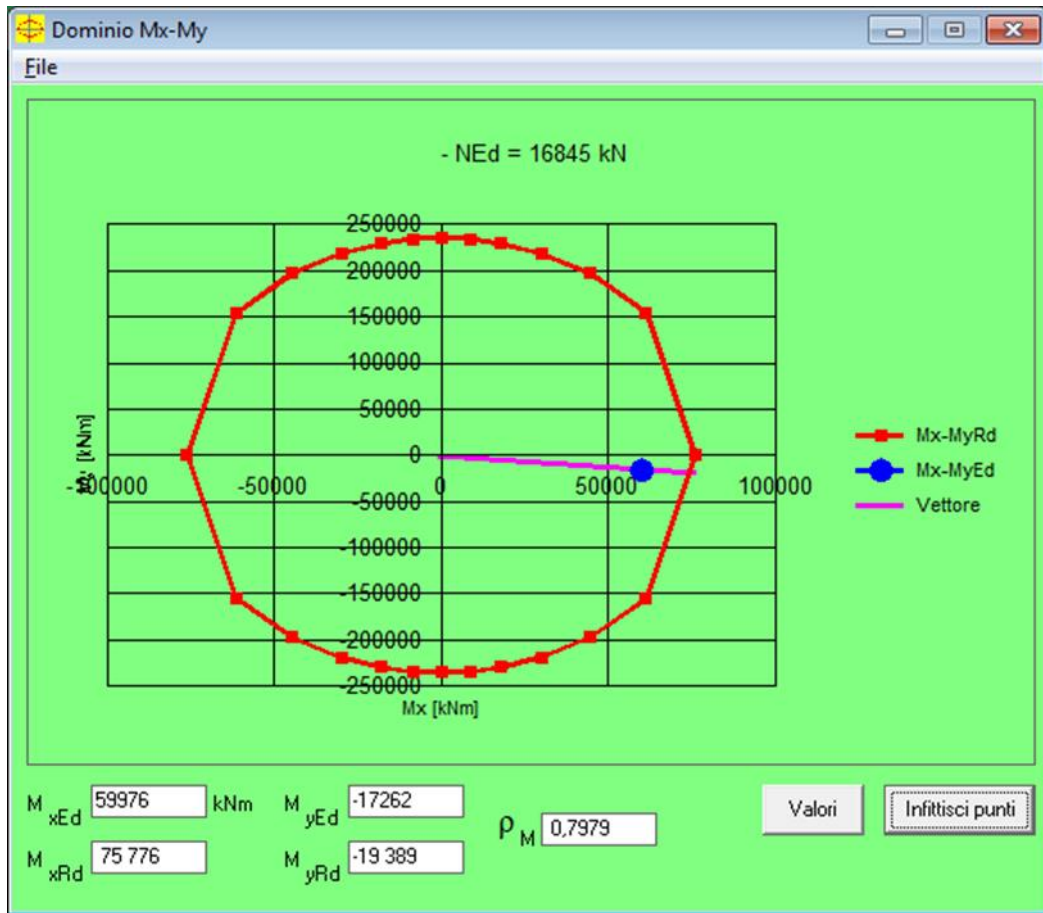
ϵ_{syd} ‰ $\sigma_{c,adm}$

$\sigma_{s,adm}$ N/mm² τ_{co}

τ_{c1}

M_{xRd} kN m
 M_{yRd} kN m
 σ_c N/mm²
 σ_s N/mm²
 ϵ_c ‰
 ϵ_s ‰
 d cm
 x x/d
 δ





roM 0.7979
FS 1.25

6.4 VERIFICHE SLU A TAGLIO

Seguono le sollecitazioni di verifica alla base del fusto pile, calcolate secondo il criterio della gerarchia delle resistenze:

Sollecitazioni - Condizione statica STR

SLU-STR	max	Combo.	F1	F2	F3	M1	M2
			kN	kN	kN	kNm	kNm
<i>max</i>	F1	SLU-STR-065	3786	1162	-25769	-16747	39442
<i>max</i>	F2	SLU-STR-019	1340	1785	-28862	-25419	12047
<i>min</i>	F1	SLU-STR-002	507	1324	-20608	-18542	4517
<i>min</i>	F2	SLU-STR-014	1188	186	-24903	-11065	10687

Sollecitazioni - Condizione sismica SIS (da calcolo diretto con $q=1.5$)

SLU-SIS	max	Combo.	F1	F2	F3	M1	M2
			kN	kN	kN	kNm	kNm
<i>max</i>	F1	SLU-SIS-011	6534	1508	-16845	-17262	59976
<i>max</i>	F2	SLU-SIS-038	2068	4995	-17272	-55840	19338
<i>min</i>	F1	SLU-SIS-102	-5906	-1457	-16133	15545	-51867
<i>min</i>	F2	SLU-SIS-135	-1772	-4858	-16133	52919	-14956

Sollecitazioni - Condizione sismica SIS (da G.R.)

SLU-SIS	max	Combo.	F1	F2	F3	M1	M2
			kN	kN	kN	kNm	kNm
<i>max</i>	F1	SLU-SIS-011	6534	1508	-16845	-17262	59976
<i>max</i>	F2	SLU-SIS-038	2068	4995	-17272	-55840	19338
<i>min</i>	F1	SLU-SIS-102	-5906	-1457	-16133	15545	-51867
<i>min</i>	F2	SLU-SIS-135	-1772	-4858	-16133	52919	-14956

MRd,1	MRd,2	Vgr,1	Vgr,2
kNm	kNm	kN	kN
38396	74463	8112	2262
172373	55819	3102	7492
38371	73795	8403	2186
179062	51869	2658	7287

Verifica - Direzione Longitudinale**Verifica a taglio per sezioni rettangolari armate a taglio (D.M. 14/01/2008)**

classe cls	Rck	40	N/mm ²
resist. Caratteristica cilindrica	fck	33	N/mm ²
	fcd	19	
	coeff. parziale	γ_c	1.5
larghezza membratura resistene a V	bw	1100	mm
altezza membratura resistene a V	H	2600	mm
altezza utile	d	2340	mm
area della sezione	As	1E+07	mm ²
sforzo assiale dovuto ai carichi o precompressione	N	#####	N
	σ_{cp}	5.64	N/mm ²
	α_c	1.25	
Acciaio	fyk	450	N/mm ²
Feb44k	fyd	391	N/mm ²
diametro staffe	ϕ_w	16	mm
Area staffa	A ϕ_w	201	mm ²
0.9 d	z	2106	mm
passo delle staffe (spille)	sw	100	mm
	n° bracci	6	
angolo di inclinazione	θ	37.0	°
deve essere compreso tra 1 e 2.5	cot(θ)	1.33	
angolo di inclinazione armatura rispetto asse palo	α	90	°
	cot(α)	0.00	
	Asw / sw	12.06	mm ² /mm

Taglio resistente per "taglio trazione"	VRsd	13193	kN
Taglio resistente per "taglio compressione"	VRcd	13092	kN

taglio sollecitante	VEd	8403	kN
fattore di sicurezza per GR (par. 7.9.5.2.2)	γ_{Bd}	1.20	
taglio resistente	VRd	10949	kN

VEd < VRd

La verifica è soddisfatta.

FS 1.30

Verifica - Direzione Trasversale**Verifica a taglio per sezioni rettangolari armate a taglio (D.M. 14/01/2008)**

classe cls	Rck	40	N/mm ²
resist. Caratteristica cilindrica	fck	33	N/mm ²
	fcd	19	
coeff. parziale	γ_c	1.5	
larghezza membratura resistene a V	bw	1100	mm
altezza membratura resistene a V	H	8600	mm
altezza utile	d	7740	mm
area della sezione	As	1.1E+07	mm ²
sforzo assiale dovuto ai carichi o precompressione	N	1.7E+07	N
	σ_{cp}	1.83	N/mm ²
	α_c	1.10	
Acciaio	f _{yk}	450	N/mm ²
Feb44k	f _{yd}	391	N/mm ²
diametro staffe	\varnothing_w	16	mm
Area staffa	A _{0w}	201	mm ²
0.9 d	z	6966	mm
passo delle staffe (spille)	sw	100	mm
	n° bracci	4	
angolo di inclinazione	θ	45	°
deve essere compreso tra 1 e 2.5	cot(θ)	1.00	
angolo di inclinazione armatura rispetto asse palo	α	45	°
	cot(α)	1.00	
	Asw / sw	8.04	mm ² /mm

Taglio resistente per "taglio trazione"	VRsd	31003	kN
Taglio resistente per "taglio compressione"	VRcd	79075	kN

taglio sollecitante	VEd	7492	kN
fattore di sicurezza per GR (par. 7.9.5.2.2)	γ_{Bd}	1.25	
taglio resistente	VRd	24802	kN

$VEd < VRd$

La verifica è soddisfatta.

FS 3.31

6.6 VERIFICHE SLE DELLE TENSIONI

La verifica SLE di tipo tensionale si effettua controllando che le massime tensioni normali agenti nella sezione risultino inferiori ai seguenti valori limite:

per le combinazioni SLE-RAR:

- tensione limite nel calcestruzzo: $\sigma_c = 0.55 f_{ck}$
- tensione limite nelle barre: $\sigma_s = 0.75 f_{yk}$

per le combinazioni SLE-QPE:

- tensione limite nel calcestruzzo: $\sigma_c = 0.40 f_{ck}$

SLE-RAR-065

Verifica C.A. S.L.U. - File: 860x260_246fi26_RAR1

File Materiali Opzioni Visualizza Progetto Sez. Rett. Sismica Normativa: NTC 2008 ?

Titolo : _____

N° Vertici **Zoom** **N° barre** **Zoom**

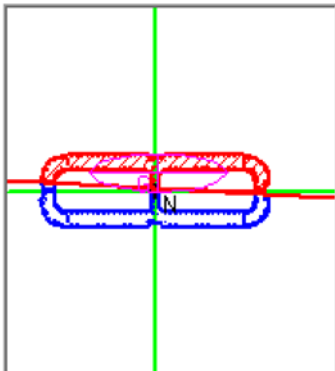
N°	x [cm]	y [cm]	N°	As [cm²]	x [cm]	y [cm]
1	-430	30	1	5.3	9	108
2	-427	56	2	5.3	24	109
3	-417	80	3	5.3	35	109
4	-401	101	4	5.3	35	124
5	-380	117	5	5.3	55	124
6	-356	127	6	5.3	75	124

Tipo Sezione

Rettan.re Trapezi

a T Circolare

Rettangoli Coord.



Sollecitazioni

S.L.U. → **Metodo n** ←

N Ed kN

M xEd kNm

M yEd

P.to applicazione N

Centro Baricentro cls

Coord.[cm] xN

yN

Metodo di calcolo

S.L.U.+ S.L.U.-

Metodo n

Materiali

B450C **C32/40**

ϵ_{su} ‰ ϵ_{c2} ‰

f_{yd} N/mm² ϵ_{cu}

E_s N/mm² f_{cd}

E_s/E_c f_{cc}/f_{cd} ?

ϵ_{syd} ‰ $\sigma_{c,adm}$

$\sigma_{s,adm}$ N/mm² τ_{co}

τ_{c1}

σ_c N/mm²

σ_s N/mm²

ϵ_s ‰

d cm

x x/d

δ

Verifica

N° iterazioni:

Precompresso

La verifica è soddisfatta.

SLE-RAR-022

Verifica C.A. S.L.U. - File: 860x260_246fi26_RAR2

File Materiali Opzioni Visualizza Progetto Sez. Rett. Sismica Normativa: NTC 2008 ?

Titolo : _____

N° Vertici Zoom N° barre Zoom

N°	x [cm]	y [cm]	N°	As [cm²]	x [cm]	y [cm]
1	-430	30	1	5.3	9	108
2	-427	56	2	5.3	24	109
3	-417	80	3	5.3	35	109
4	-401	101	4	5.3	35	124
5	-380	117	5	5.3	55	124
6	-356	127	6	5.3	75	124

Sollecitazioni

S.L.U. Metodo n

N_{Ed} kN

M_{xEd} kNm

M_{yEd}

P.to applicazione N

Centro Baricentro cls

Coord.[cm] xN yN

Materiali

B450C

ϵ_{su} ‰

f_{yd} N/mm²

E_s N/mm²

E_s/E_c

ϵ_{syd} ‰

$\sigma_{s,adm}$ N/mm²

C32/40

ϵ_{c2} ‰

ϵ_{cu}

f_{cd}

f_{cc}/f_{cd} ?

$\sigma_{c,adm}$

τ_{co}

τ_{c1}

σ_c N/mm²

ϵ_s ‰

Tipo Sezione

Rettan.re Trapezi

a T Circolare

Rettangoli Coord.

Metodo di calcolo

S.L.U.+ S.L.U.-

Metodo n

Verifica

N° iterazioni:

Precompresso

La verifica è soddisfatta.

6.7 VERIFICHE SLE A FESSURAZIONE

La verifica SLE a fessurazione si effettua controllando che il massimo valore di apertura delle fessure risulti inferiore ai seguenti valori limite:

per le combinazioni SLE-RAR:

- apertura fessure limite: $w_{lim} = w_1 = 0.30 \text{ mm}$
- c** pos. baric. strato i-esimo [mm]
- ∅** diametro barre strato i-esimo [mm]
- n** numero barre strato i-esimo []
- $\sigma_{s,max}$** Tensione massima barre strato i-esimo [MPa]
- b_{eff}** larghezza efficace [mm]
- $h_{c,eff}$** altezza efficace [mm]
- $A_{c,eff}$** area efficace relativamente ad una singola barre [mm²]
- $\rho_{p,eff}$** percentuale di armatura relativa a $A_{c,eff}$
- k_t** (0.6 carichi brevi; 0.4 lunga durata)
- k_1** (0.8 barre ad. migliorata; 1.6 liscie)
- k_2** (0.5 per flessione; 1 trazione)

Prima condizione di carico SLE-RAR

INPUT		
Rck	40	Mpa
h	550	mm
c1	69	mm
ϕ_1	26	mm
n1	5.000	
c2		mm
ϕ_2		mm
n2	5.000	1/m
d	481	mm
b_{eff}	200	mm
$\sigma_{s,max1}$	108	Mpa
$\sigma_{s,max2}$		Mpa
$h_{c,eff}$	172.5	mm
$A_{c,eff}$	34500	mm ²
$\rho_{p,eff}$	0.015	
k_t	0.6	
k_1	0.8	
k_2	0.5	
k_3	3.4	
k_4	0.425	

OUTPUT		
diff. def. armature-clc		
$\epsilon_{sm} - \epsilon_{cm}$	3.15E-04	-
distanza max fessure		
$s_{r,max}$	478	mm
ampiezza fessure:		
wk	0.150	mm
wlim	0.200	mm
La verifica è soddisfatta.		

7 VERIFICHE STRUTTURALI DEI PALI DI FONDAZIONE

7.1 GEOMETRIA DELLA SEZIONE ED ARMATURA

GEOMETRIA DELLA SEZIONE

Diametro del palo =	1500	mm
Copriferro netto c =	60	mm
Classe di resistenza calcestruzzo =	C25/30	Mpa
Classe di resistenza delle barre =	B450C	MPa

ARMATURA PER I PRIMI 10 ϕ

1° strato di armatura longitudinale

Numero barre long.	24	-
Diametro barre long.	22	mm
Copriferro baricentrico arm. long. c' =	85	mm

2° strato di armatura longitudinale

Numero barre long.	24	-
Diametro barre long.	22	mm
Copriferro baricentrico arm. long. c' =	132	mm

Armatura trasversale

Diametro barre trasv.	14	mm
Passo arm. trasv.	150	mm
Diametro corona esterna =	1366	mm

7.2 VERIFICHE SLU A PRESSOFLESSIONE

Sono riportate a seguire le verifiche SLU della sezione di sommità del palo maggiormente sollecitato, espresse in forma sintetica mediante il diagramma di interazione N – M.

Diagramma di interazione N-M con coordinate sollecitazioni indotte da combinazioni SLU-STR

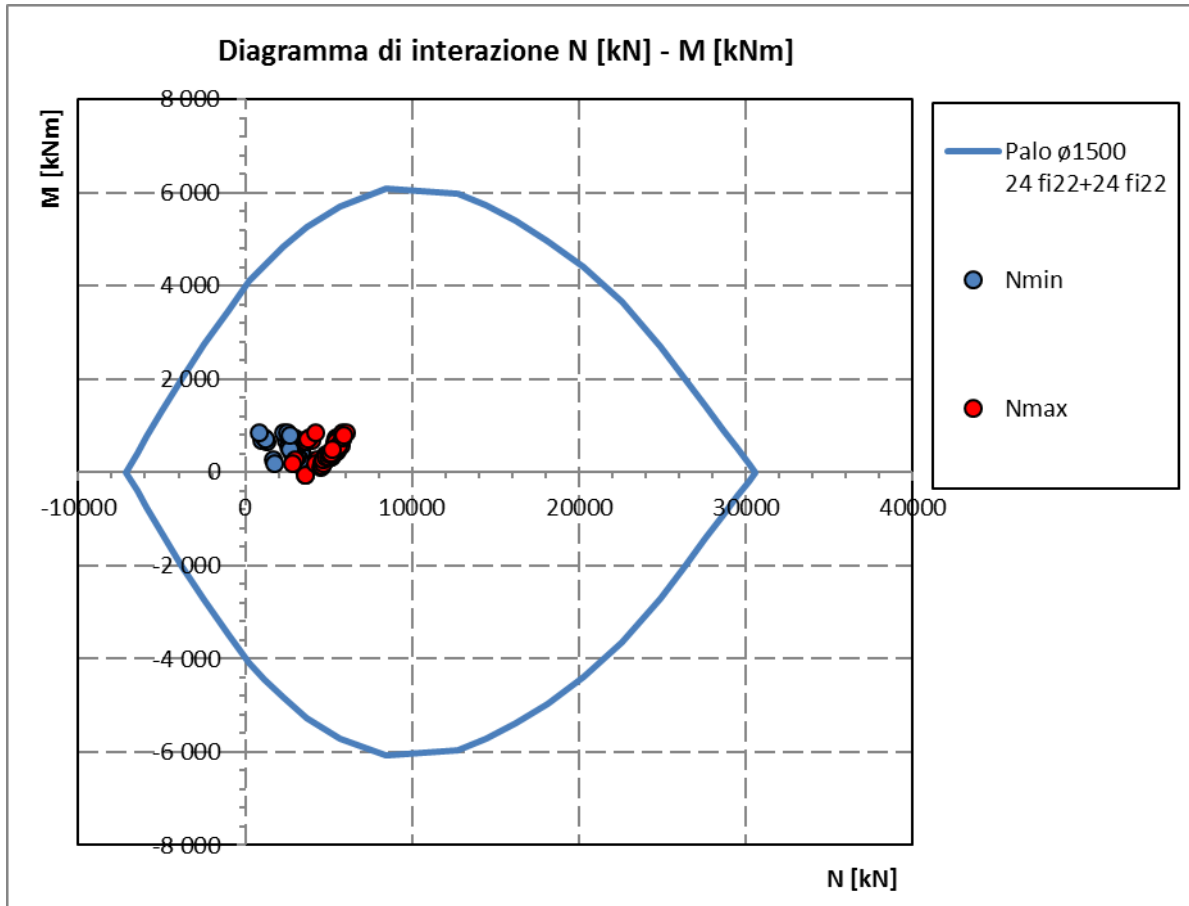
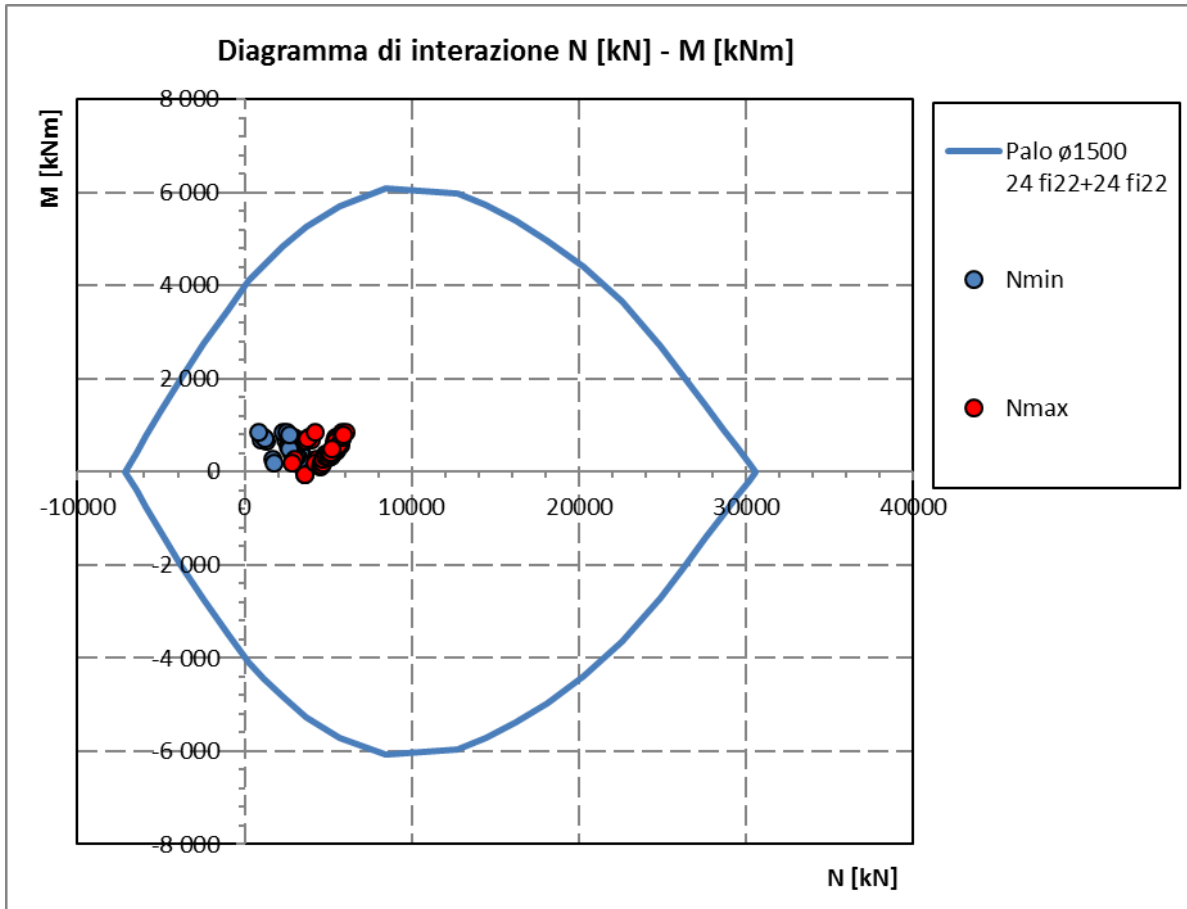


Diagramma di interazione N-M con coordinate sollecitazioni indotte da combinazioni SLU-SIS

La verifica è soddisfatta in quanto le coppie N-M delle sollecitazioni agenti nella sezione di verifica sono interne al dominio di resistenza per ogni condizione di carico indagata.

7.3 VERIFICHE SLU A TAGLIO

Verifica a taglio per sezioni circolari armate a taglio (D.M. 14/01/2008)

classe cls	Rck	30	N/mm ²
resist. Caratteristica cilindrica	fck	25	N/mm ²
	fcd	14	N/mm ²
diametro	Φ	1500	mm
Area sezione	A	1767146	mm ²
copriferro	c	80	mm
Area sezione rettangolare equivalente	Aeq	1486983	mm ²
altezza utile equivalente	d	1177	mm
larghezza equivalente	bw	1264	mm
altezza equivalente	heq	1398	mm
sforzo assiale dovuto ai carichi o precompressione	N		N
	σ_{cp}	0.000	N/mm ²
	α_{cp}	1.00	

Acciaio	fyk	450	N/mm ²
B450C	fyd	391	N/mm ²
diametro staffe (spille)	ϕ_w	14	mm
Area staffa (spilla)	A ϕ_w	154	mm ²
0.9 d	z	1059	mm
passo spirale	sw	150	mm
	n° bracci	2	
angolo di inclinazione biella compressa	θ	21.8	°
deve essere compreso tra 1 e 2.5	cot(θ)	2.50	
angolo di inclinazione armatura rispetto asse palo	α	90	°
	cot(α)	0.00	
	Asw / sw	2.05	mm ² /mm

Taglio resistente per "taglio trazione"	VRsd	2126	kN
Taglio resistente per "taglio compressione"	VRcd	3256	kN

taglio sollecitante	VEd	955	kN
fattore di sicurezza per GR (par. 7.9.5.2.2)	γ_{Rd}	1	
taglio resistente	VRd	2126	kN
	VEd	<	VRd
verifica			

7.4 VERIFICHE SLE DELLE TENSIONI

La verifica SLE di tipo tensionale si effettua controllando che le massime tensioni normali agenti nella sezione risultino inferiori ai seguenti valori limite:

per le combinazioni SLE-RAR:

- tensione limite nel calcestruzzo: $\sigma_c = 0.55 f_{ck}$
- tensione limite nelle barre: $\sigma_s = 0.75 f_{yk}$

per le combinazioni SLE-QPE:

- tensione limite nel calcestruzzo: $\sigma_c = 0.40 f_{ck}$

SLE-RAR-065

Verifica C.A. S.L.U. - File: palo1500_24fi22+24fi22_RAR1

File Materiali Opzioni Visualizza Progetto Sez. Rett. Sismica Normativa: DM 1996 ?

Titolo :

Sezione circolare cava

Raggio esterno: 750 [mm]

Raggio interno: 0 [mm]

N° barre uguali: 0

Diametro barre: 0 [mm]

Copriferro (baric.): 0 [mm]

N° barre: 48 Zoom

N°	As [mm²]	x [mm]	y [mm]
1	380	0	664
2	380	172	641
3	380	332	575
4	380	470	470
5	380	575	332
6	380	641	172

Tipo Sezione

Rettan.re Trapezi

a T Circolare

Rettangoli Coord.

Diagramma della sezione circolare cava con barre distribuite.

Sollecitazioni

S.L.U. Metodo n

N_{Ed}: 0 1544 kN

M_{xEd}: 0 623 kNm

M_{yEd}: 0 0

P.to applicazione N

Centro Baricentro cls

Coord.[mm] xN: 0 yN: 0

Metodo di calcolo

S.L.U.+ S.L.U.-

Metodo n

Materiali

B450C C25/30

ϵ_{su} : 10 ‰ ϵ_{c2} : 2 ‰

f_{yd} : 391.3 N/mm² ϵ_{cu} : 3.5 ‰

E_s : 200 000 N/mm² f_{cd} : 13.28

E_s/E_c : 15 f_{cc}/f_{cd} : 0.8

ϵ_{syd} : 1.957 ‰ $\sigma_{c,adm}$: 9.75

$\sigma_{s,adm}$: 255 N/mm² τ_{co} : 0.6

τ_{c1} : 1.829

σ_c : -2.533 N/mm²

σ_s : 16.08 N/mm²

ϵ_s : 0.08039 ‰

d: 1 414 mm

x: 993.6 x/d: 0.7027

δ : 1

Vertici: 50

Verifica

N° iterazioni: 4

Precompresso

SLE-RAR-018

Verifica C.A. S.L.U. - File: palo1500_24fi22+24fi22_RAR2

File Materiali Opzioni Visualizza Progetto Sez. Rett. Sismica Normativa: DM 1996 ?

Titolo : _____

Sezione circolare cava

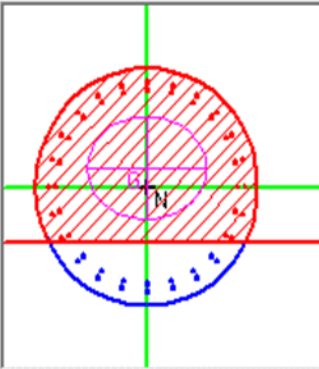
Raggio esterno: 750 [mm]
 Raggio interno: 0 [mm]
 N° barre uguali: 0
 Diametro barre: 0 [mm]
 Copriferro (baric.): 0 [mm]

N° barre: 48 Zoom

N°	As [mm²]	x [mm]	y [mm]
1	380	0	664
2	380	172	641
3	380	332	575
4	380	470	470
5	380	575	332
6	380	641	172

Tipo Sezione

Rettan.re Trapezi
 a T Circolare
 Rettangoli Coord.



Sollecitazioni

S.L.U. Metodo n

N_{Ed}: 0 1430 kN
 M_{xEd}: 0 496 kNm
 M_{yEd}: 0 0

P.to applicazione N

Centro Baricentro cls
 Coord.[mm] xN: 0 yN: 0

Metodo di calcolo

S.L.U.+ S.L.U.-
 Metodo n

Materiali

B450C C25/30

ϵ_{su} : 10 ‰ ϵ_{c2} : 2 ‰
 f_{yd} : 391.3 N/mm² ϵ_{cu} : 3.5 ‰
 E_s : 200 000 N/mm² f_{cd} : 13.28
 E_s/E_c : 15 f_{cc}/f_{cd} : 0.8 ?
 ϵ_{syd} : 1.957 ‰ $\sigma_{c,adm}$: 9.75
 $\sigma_{s,adm}$: 255 N/mm² τ_{co} : 0.6
 τ_{c1} : 1.829

σ_c : -2.04 N/mm²
 σ_s : 8.851 N/mm²
 ϵ_s : 0.04425 ‰
 d: 1 414 mm
 x: 1 097 w/d: 0.7756
 δ : 1

Vertici: 50
 Verifica
 N° iterazioni: 3
 Precompresso

SLE-RAR-068

Verifica C.A. S.L.U. - File: palo1500_24fi22+24fi22_RAR3

File Materiali Opzioni Visualizza Progetto Sez. Rett. Sismica Normativa: DM 1996 ?

Titolo :

Sezione circolare cava

Raggio esterno 750 [mm]
 Raggio interno 0 [mm]
 N° barre uguali 0
 Diametro barre 0 [mm]
 Copriferro (baric.) 0 [mm]

N° barre 48 Zoom

N°	As [mm ²]	x [mm]	y [mm]
1	380	0	664
2	380	172	641
3	380	332	575
4	380	470	470
5	380	575	332
6	380	641	172

Tipo Sezione
 Rettan.re Trapezi
 a T Circolare
 Rettangoli Coord.

Sollecitazioni
 S.L.U. Metodo n

N_{Ed} 0 1731 kN
 M_{xEd} 0 629 kNm
 M_{yEd} 0 0

P.to applicazione N
 Centro Baricentro cls
 Coord.[mm] xN 0 yN 0

Metodo di calcolo
 S.L.U.+ S.L.U.-
 Metodo n

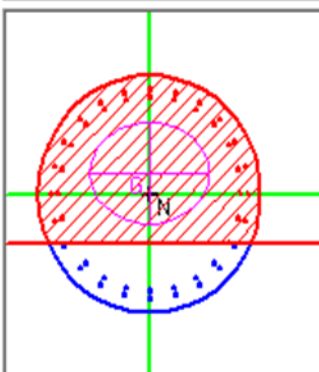
Materiali

B450C C25/30

ϵ_{su} 10 ‰ ϵ_{c2} 2 ‰
 f_{yd} 391.3 N/mm² ϵ_{cu} 3.5 ‰
 E_s 200 000 N/mm² f_{cd} 13.28
 E_s/E_c 15 f_{cc}/f_{cd} 0.8 ?
 ϵ_{syd} 1.957 ‰ $\sigma_{c,adm}$ 9.75
 $\sigma_{s,adm}$ 255 N/mm² τ_{co} 0.6
 τ_{c1} 1.829

σ_c -2.573 N/mm²
 σ_s 12.69 N/mm²
 ϵ_s 0.06343 ‰
 d 1 414 mm
 x 1 064 x/d 0.7526
 δ 1

Vertici: 50
 Verifica
 N° iterazioni: 3
 Precompresso



7.5 VERIFICHE SLE A FESSURAZIONE

La verifica SLE a fessurazione si effettua controllando che il massimo valore di apertura delle fessure risulti inferiore ai seguenti valori limite:

per le combinazioni SLE-RAR:

- apertura fessure limite: $w_{lim} = w_1 = 0.30 \text{ mm}$

Prima condizione di carico SLE-RAR

INPUT		
Rck	30	Mpa
h	1500	mm
c1	85	mm
ϕ_1	22	mm
n1	7.775	1/m
c2	132	mm
ϕ_2	22	mm
n2	7.775	1/m
d	1392	mm
beff	129	mm
x	993.6	mm
$\sigma_{s,max1}$	16	Mpa
$\sigma_{s,max2}$	16	Mpa
$h_{c,eff}$	169	mm
$A_{c,eff}$	21709	mm ²
$\rho_{p,eff}$	0.035	
kt	0.6	
k1	0.8	
k2	0.5	
k3	3.4	
k4	0.425	

OUTPUT		
diff. def. armature-clc		
$\epsilon_{sm} - \epsilon_{cm}$	4.69E-05	-
distanza max fessure		
$s_{r,max}$	467	mm
ampiezza fessure:		
wk	0.022	mm
wlim	0.300	mm
La verifica è soddisfatta.		

Seconda condizione di carico SLE-RAR

INPUT		
Rck	30	Mpa
h	1500	mm
c1	85	mm
ϕ 1	22	mm
n1	7.775	1/m
c2	132	mm
ϕ 2	22	mm
n2	7.775	1/m
d	1392	mm
beff	129	mm
x	1097	mm
σ S_max1	9	Mpa
σ S_max2	9	Mpa
hc,eff	134	mm
Ac,eff	17276	mm ²
ρ p,eff	0.044	
kt	0.6	
k1	0.8	
k2	0.5	
k3	3.4	
k4	0.425	

OUTPUT		
diff. def. armature-cls		
ϵ sm - ϵ cm	2.58E-05	-
distanza max fessure		
s _{r,max}	436	mm
ampiezza fessure:		
wk	0.011	mm
wlim	0.300	mm
La verifica è soddisfatta.		

Terza condizione di carico SLE-RAR

INPUT		
Rck	30	Mpa
h	1500	mm
c1	85	mm
ϕ 1	22	mm
n1	7.775	1/m
c2	132	mm
ϕ 2	22	mm
n2	7.775	1/m
d	1392	mm
beff	129	mm
x	1064	mm
σ S_max1	13	Mpa
σ S_max2	13	Mpa
hc,eff	145	mm
Ac,eff	18691	mm ²
ρ p,eff	0.041	
kt	0.6	
k1	0.8	
k2	0.5	
k3	3.4	
k4	0.425	

OUTPUT		
diff. def. armature-cls		
ϵ sm - ϵ cm	3.70E-05	-
distanza max fessure		
Sf,max	446	mm
ampiezza fessure:		
wk	0.016	mm
wlim	0.300	mm
La verifica è soddisfatta.		

8 VERIFICHE DEL PLINTO DI FONDAZIONE

8.1 VERIFICHE SLU E SLE A TIRANTE-PUNSTONE

Le verifiche SLU e SLE si effettuano controllando che le massime tensioni normali agenti nel tirante di armatura e nella biella compressa di calcestruzzo risultino inferiori ai seguenti valori limite:

per le combinazioni SLU e SLV:

- tensione limite nel calcestruzzo: $\sigma_c = f_{cd}' = 0.5 f_{cd}$
- tensione limite nelle barre: $\sigma_s = f_{yd}$

per le combinazioni SLE-RAR:

- tensione limite nel calcestruzzo: $\sigma_c = 0.55 f_{ck}$
- tensione limite nelle barre: $\sigma_s = 0.75 f_{yk}$

per le combinazioni SLE-QPE:

- tensione limite nel calcestruzzo: $\sigma_c = 0.40 f_{ck}$

Si distinguono due meccanismi di tipo tirante-puntone principali nel plinto di fondazione, illustrati nelle figure seguenti e descritti a seguire:

- un primo meccanismo è innescato dalle azioni trasmesse al plinto dai pali centrali e coinvolge un tirante-puntone parallelo alla direzione longitudinale (evidenziato in verde). Tale meccanismo coinvolge la sola armatura longitudinale inferiore del plinto.
- un secondo meccanismo coinvolge i pali di spigolo ed innesca un tirante-puntone con direzione diagonale (evidenziato in rosso), individuata da un angolo α misurato rispetto alla direzione trasversale. Tale meccanismo coinvolge sia l'armatura longitudinale inferiore del plinto che l'armatura trasversale, pertanto, ai fini delle verifiche del tirante di armatura e della biella di calcestruzzo, si considera composto dalla somma vettoriale di due meccanismi ortogonali disaccoppiati.

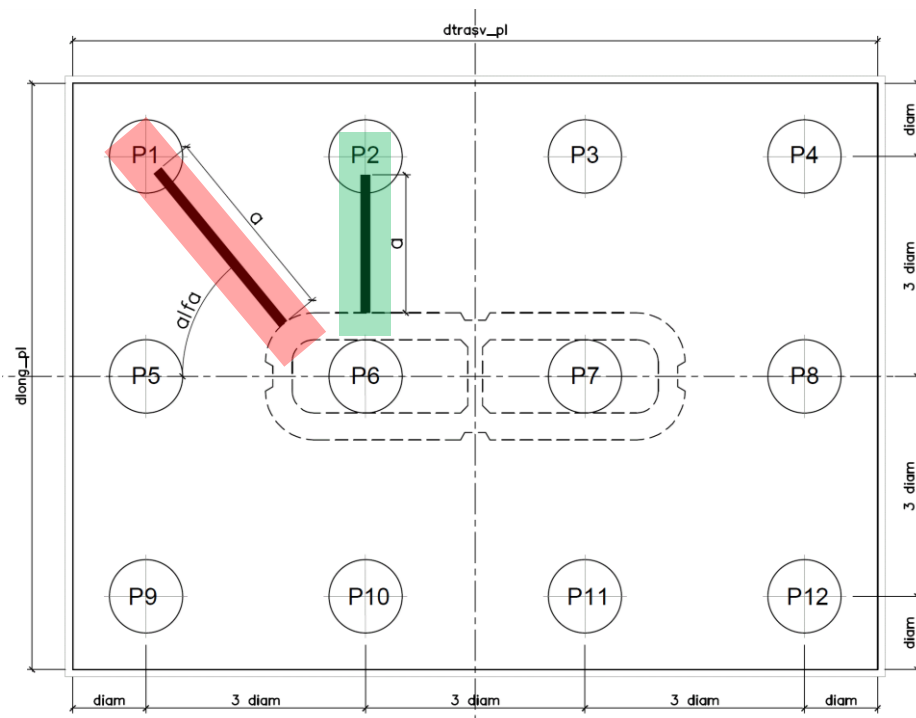


Figura 2 – Vista in pianta - Tirante-puntone longitudinale (verde) e diagonale (rosso)

8.1.1 VERIFICHE RELATIVE AI PALI DI SPIGOLO

Seguono le forze assiali agenti alla testa dei pali nelle condizioni di carico più severe per ogni combinazione di carico:

	Nmax	Nmin
SLU-STR	5869	614
SLU-GEO	4764	821
SIS-SLV	5690	-852
	kN	kN

	Nmax	Nmin
SLE-QP	2655	2298
SLE-RAR	4142	1092
	kN	kN

Seguono le verifiche delle armature superiori ed inferiori del plinto di fondazione:

Armatura inferiore

	Nmax	PEd	T	σ_{s_long}	σ_{s_trasv}	< fyd	C	σ_c	< fcd'
SLU-STR	5869	4618	9721	245	199	VERO	10762	4.7	VERO
SLU-GEO	4764	3514	7396	187	151	VERO	8188	3.6	VERO
SIS-SLV	5690	4439	9344	236	191	VERO	10345	4.5	VERO
	kN	kN	kN	Mpa	Mpa		kN	Mpa	

Armatura superiore

	Nmin	PEd	T	σ_{s_long}	σ_{s_trasv}	< fyd	C	σ_c	< fcd'
SLU-STR	614	-							
SLU-GEO	821	-							
SIS-SLV	-852	2103	4427	272	220	VERO	4901	2.1	VERO
	kN	kN	kN	Mpa	Mpa		kN	Mpa	

Armatura inferiore

	Nmax	PEd	T	σ_{s_long}	σ_{s_trasv}	< 0.75 fyk	C	σ_c	< 0.40 fck'
SLE-QP	2655	1404	2955	75	60	VERO	3272	1.4	VERO
SLE-RAR	4142	2891	6086	154	124	VERO	6738	2.9	VERO
	kN	kN	kN	Mpa	Mpa		kN	Mpa	

Armatura superiore

	Nmin	PEd	T	σ_{s_long}	σ_{s_trasv}	< 0.75 fyk	C	σ_c	< 0.40 fck'
SLE-QP	2298	-							
SLE-RAR	1092	-							
	kN	kN	kN	Mpa	Mpa		kN	Mpa	

Le verifiche sono soddisfatte.

8.1.2 VERIFICHE RELATIVE AI PALI DI INTERMEDI

Forze assiali agenti alla testa dei pali nelle condizioni di carico più severe per ogni combinazione di carico.

	Nmax	Nmin
SLU-STR	5542	900
SLU-GEO	4481	1068
SIS-SLV	5326	-510
	kN	kN

	Nmax	Nmin
SLE-QP	2655	2298
SLE-RAR	3921	1284
	kN	kN

Seguono le verifiche delle armature superiori ed inferiori del plinto di fondazione:

Armatura inferiore

	Nmax	PEd	T	σ_{s_long}	σ_{s_trasv}	< fyd	C	σ_c	< fcd'
SLU-STR	5542	4291	5685	205	-	VERO	7123	2.7	VERO
SLU-GEO	4481	3231	4280	155	-	VERO	5363	2.1	VERO
SIS-SLV	5326	4075	5399	195	-	VERO	6764	2.6	VERO
	kN	kN	kN	Mpa	Mpa		kN	Mpa	

Armatura superiore

	Nmin	PEd	T	σ_{s_long}	σ_{s_trasv}	< fyd	C	σ_c	< fcd'
SLU-STR	900	-							
SLU-GEO	1068	-							
SIS-SLV	-510	1760	2332	234	-	VERO	2922	1.1	VERO
	kN	kN	kN	Mpa	Mpa		kN	Mpa	

Armatura inferiore

	Nmax	PEd	T	σ_{s_long}	σ_{s_trasv}	< 0.75 fyk	C	σ_c	< 0.40 fck'
SLE-QP	2655	1404	1860	67	-	VERO	2330	0.9	VERO
SLE-RAR	3921	2671	3539	128	-	VERO	4433	1.7	VERO
	kN	kN	kN	Mpa	Mpa		kN	Mpa	

Armatura superiore

	Nmin	PEd	T	σ_{s_long}	σ_{s_trasv}	< 0.75 fyk	C	σ_c	< 0.40 fck'
SLE-QP	2298	-							
SLE-RAR	1284	-							VERO
	kN	kN	kN	Mpa	Mpa		kN	Mpa	

Le verifiche sono soddisfatte.

8.2 VERIFICHE SLU A PUNZONAMENTO

Conservativamente, la verifica è stata riferita al palo di bordo maggiormente sollecitato e lo sviluppo del perimetro efficace u è stato definito considerando una distanza dall'impronta caricata (coincidente con la sezione di testa del palo) pari a $d = a \cdot 0.9 H_{pl}$ (H_{pl} = altezza plinto, $a < 2$), come illustrato nella seguente figura.

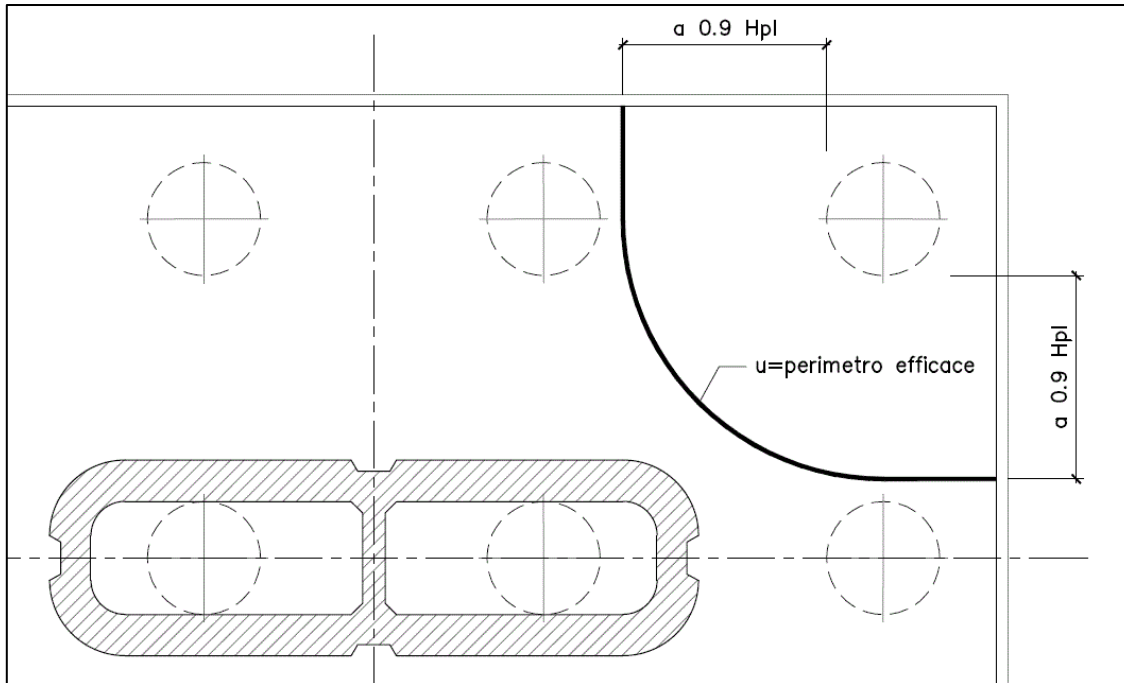


Figura 3 – Perimetro efficace per la verifica a taglio-punzonamento

A seguire si riportano il valore della forza concentrata V_{Ed} [kN] agente alla testa del palo maggiormente sollecitato nella condizione di verifica più severa, il valore del coefficiente a che individua la geometria del perimetro efficace e lo sviluppo u [m] di quest'ultimo.

V_{Ed}	4618	kN
a	1.0	
u	7.7	m

Verifica a punzonamento per sezioni rettangolari SENZA armatura a taglio (NTC08 - EC2-rev05)				
classe cls	C	35	Mpa	
coeff. parziale	γ_c	1.5		
perimetro di verifica	u_1	7700	mm	
altezza soletta	H	2500	mm	
altezza utile	d	2390	mm	
diametro ferro longitudinale teso	ϕ_{lon}	28	mm	
	strati	2		
	passo	150	mm	
percentuale di armatura trasversale teso	ρ_{lx}	0.34%		
diametro ferro trasversale	ϕ_{tra}	28	mm	
	strati	2		
	passo	150	mm	
percentuale di armatura trasv	ρ_{tx}	0.34%		
percentuale di armatura totale	ρ_l	0.34%		
Eventuale compressione long	σ_{c_lon}	0	Mpa	
Eventuale compressione trasv	σ_{c_tra}	0	Mpa	
	σ_c	0.00	N/mm ²	
	k ₁	0.10		
	$C_{r,dc}$	0.12		
	k	1.29		
	v _{min}	0.30	Mpa	
	v_{rd_c}	0.354	Mpa	
	v_{min+k₁σ_{cp}}	0.303	Mpa	
Tensione resistente taglio-punzonamento	v_{rd_c}	0.354	N/mm ²	
taglio sollecitante	VEd	4618	kN	
	vEd	0.251	Mpa	
La verifica è soddisfatta	v_{rd_c}	>	ved	

8.3 VERIFICHE SLE A FESSURAZIONE

La verifica SLE a fessurazione si effettua controllando che il massimo valore di apertura delle fessure risulti inferiore ai seguenti valori limite:

per le combinazioni SLE-RAR:

- apertura fessure limite: $w_{lim} = w_1 = 0.30 \text{ mm}$

Le verifiche riportate a seguire sono riferite al meccanismo tirante-puntone che coinvolge i pali di spigolo (meccanismo diagonale), ossia il più severo tra i due presi in considerazione.

1. Armatura longitudinale inferiore

INPUT		
Rck	35	Mpa
h	2500	mm
c1	54	mm
$\phi 1$	28	mm
n1	6.667	1/m
c2	110	mm
$\phi 2$	28	mm
n2	6.667	1/m
d	2418	mm
beff	150	mm
σ_{s_max1}	154	Mpa
σ_{s_max2}	154	Mpa
$h_{c,eff}$	205.0	mm
$A_{c,eff}$	30750	mm ²
$\rho_{p,eff}$	0.040	
kt	0.6	
k1	0.8	
k2	1	
k3	3.4	
k4	0.425	

OUTPUT		
diff. def. armature-cls		
$\epsilon_{sm} - \epsilon_{cm}$	4.88E-04	-
distanza max fessure		
$s_{r,max}$	548	mm
ampiezza fessure:		
wk	0.267	mm
wlim	0.300	mm
La verifica è soddisfatta.		

1. Armatura trasversale inferiore

INPUT		
Rck	35	Mpa
h	2500	mm
c1	82	mm
ϕ 1	28	mm
n1	6.667	1/m
c2	138	mm
ϕ 2	28	mm
n2	6.667	1/m
d	2390	mm
beff	150	mm
σ s_max1	124	Mpa
σ s_max2	124	Mpa
hc,eff	275.0	mm
Ac,eff	41250	mm ²
ρ p,eff	0.030	
kt	0.6	
k1	0.8	
k2	1	
k3	3.4	
k4	0.425	

OUTPUT		
diff. def. armature-cls		
ϵ sm - ϵ cm	3.63E-04	-
distanza max fessure		
s Γ ,max	758	mm
ampiezza fessure:		
wk	0.275	mm
wlim	0.300	mm
La verifica è soddisfatta.		